

CELLULE DE CARBURANT DE L'EAU

Hydrogène rompant le processus... employant l'eau comme carburant.

Sur des années l'homme a employé l'eau dans beaucoup de manières de rendre sa vie sur terre plus productive. Pourquoi pas, maintenant, employez l'eau comme le carburant pour actionner nos voitures, chauffent nos maisons, volent nos avions ou propulsent des vaisseaux spatiaux au delà de notre galaxie ? Biblique prédisez prévoit cet événement.

Après tout, l'énergie contenue en gallon de l'eau excède 2.5 millions de barils de pétrole une fois égalisée en termes d'énergie atomique. Arrosez, naturellement, est libre, abondante, et l'énergie recyclable.

L'hydrogène rompant le processus dissocie la molécule d'eau par la stimulation de tension, ionise les gaz combustibles par l'éjection d'électron et, puis, empêche la formation de la molécule d'eau pendant l'allumage thermique de gaz... libérant l'énergie explosive thermique au delà des niveaux à gaz « normaux » sous l'état de commande... et le processus d'énergie atomique est ambiant sûr.

L'hydrogène rompant le processus est systématiquement activé et de la façon suivante exécuté :

Section 1

Hydrogène rompant le processus

Méthode

En utilisant le « potentiel de tension » de stimuler la molécule d'eau pour produire l'énergie atomique sur demande

Paramètres opérationnels

Transfonner de palpitation

Le transformateur de palpitation (A/G) intensifie le potentiel d'amplitude de tension ou de tension pendant les opérations de palpitation. L'enroulement primaire est électriquement isolé (aucun raccordement électrique entre l'enroulement primaire et secondaire) pour former figure du circuit d'Intensifier de tension (aa) (1-1). Le potentiel d'amplitude de tension ou de tension est augmenté quand l'enroulement secondaire (a) est enveloppé avec plus de tours de fil. La terre électrique d'isolement (j) empêche l'écoulement d'électron de l'au sol de circuit d'entrée.

Blocage de la diode

Le blocage de la diode (b) empêche « court-circuiter » électrique à l'enroulement secondaire (a) pendant le temps d'impulsion-au loin puisque la diode « seulement » conduit l'énergie électrique dans la direction de la flèche schématique.

Circuit de LC

La bobine de remplissage résonnante © en série avec Excitor-rangent les formes (EUE2) un circuit d'inducteur-condensateur (LC) puisqu'Excitor-Rangez (HEU) les actes ou exécutez comme condensateur pendant les opérations de palpitation, comme illustré dans figure (1-2) quant à figure (1-1).

Les propriétés diélectriques (isolateur à l'écoulement des ampères) de l'eau normale (constante diélectrique étant 78.54 @ 25c) entre les plats électriques (EL/E2) forme le condensateur (HEU). L'eau devient maintenant une partie du circuit d'Intensifier de tension sous forme de « résistance » entre la terre électrique et le positif-potentielle de pulsefrequency... aidant à empêcher l'écoulement d'électron dans le circuit de palpitation (aa) du schéma 1-1.

L'inducteur © prend dessus ou devient un inducteur de modulateur qui intensifie une oscillation d'une fréquence de remplissage donnée avec la capacité efficace d'un réseau de impulsion-formation afin de charger les zones de tension (E1/E2) à un potentiel plus élevé au delà d'entrée appliquée de tension

Les propriétés de l'inductance © et de la capacité (HEU) du circuit de LC « est donc accordées » à la résonance à une certaine fréquence. La fréquence de résonance peut être augmentée ou abaissée en changeant l'inductance et/ou les valeurs de capacité. La fréquence de résonance établie est, naturellement, indépendant d'amplitude de tension, comme illustré dans figure (1-3) quant à figure (1-4).

La valeur de l'inducteur ©, la valeur du condensateur (HEU), et l'impulsion-fréquence de la tension étant appliquée à travers le circuit de LC détermine l'impédance du circuit de LC

L'impédance d'un inducteur et d'un condensateur en série, série de Z est donnée près

$$Z \text{ series} = (X_c - X_l)$$

Where

(Eq 2)

$$X_c = \frac{1}{2\pi f c}$$

(Eq 3)

$$X_l = 2\pi f l$$

$$F = \frac{1}{2\pi \sqrt{LC}}$$

(Eq 1)

$$V_t = I Z$$

La fréquence de résonance (f) d'un circuit de LC en série est indiquée près

(Eq 4)

La loi d'Ohm pour le circuit de LC en série est donnée près

(Eq 5)

RE : Hydrogène rompant la tension de la note WFC 420 LC de Process

La tension à travers l'inducteur © ou le condensateur (HEU) est plus grande que la tension appliquée (h). À la fréquence près de la résonance, la tension à travers les différents composants est plus haute que la tension appliquée (h), et, à la fréquence de résonance, la tension VT à travers l'inducteur et le c :l'apacitor sont théoriquement infini. Cependant, les contraintes physiques des composants et de l'interaction de circuit empêche la tension de l'infini de atteinte.

La tension (VL) à travers l'inducteur © est donnée par l'équation (Eq 6)

La tension (VC) à travers le condensateur est donnée près (Eq 7)

$$Vl = \frac{Vt \cdot Xl}{(Xl - Xc)}$$

$$Vc = \frac{Vt \cdot Xc}{(Xl - Xc)}$$

Pendant l'interaction résonnante, les unipolaires entrants impulsion-forment (h) de figure (1-1) quant à la figure

1-5) produit un tension-effet de étape-remplissage à travers Excitor-Rangent (HEU), comme illustré dans la figure 1-3) et la figure (1-4). L'intensité de tension augmente de zéro « terre-état » à un potentiel positif élevé de tension dans une fonction progressive. Une fois que la tension-impulsion est terminée ou commutée-au loin, le potentiel de tension revient au « terre-état » ou au terre-état proche pour commencer le procédé de débattement de tension plus d'encore.

L'intensité ou le niveau de tension à travers Excitor-Rangent (HEU) peut excéder 20.000 volts de dû à l'interaction du circuit (aa) et est directement liée à impulsion-forment (h) l'entrée variable d'amplitude.

RE : Hydrogène rompant le circuit de la note WFC 420 RLC de Process

L'inducteur © est fait de ou composé de fil résistif (R2) pour limiter plus loin l'écoulement courant de C.C au delà de la réaction d'inductance (XL), et, est donnée près

(Eq 8)

Réseau à double rangée de connexions de RLC

Variable inducteur-lovez (d), semblable à l'inducteur © relié à la zone opposée de tension de polarité (E2) empêche plus loin le mouvement ou le débattement d'électron dans le circuit de

$$Z = \sqrt{R_I^2 + (X_I - X_C)^2}$$

renforçateur de tension. L'amende mobile de bras d'essuie-glace « accorde » « l'action résonnante » pendant les opérations de palpitation. L'inducteur (d) dans le rapport avec l'inducteur © équilibre électriquement le potentiel électrique de tension opposée à travers les zones de tension (E-I/E2).

VIC résistance

$$Z = R_I + Z_2 + Z_3 + R_E$$

Puisque l'enroulement de collecte (a) également se compose de ou est fait en résistif fil-lovez (RI), puis, la résistance totale de circuit est donnée près

(Eq 9)

AU SUJET de là où, est la constante diélectrique de l'eau normale. La loi de l'ohm quant au courant électrique appliqué, qui est

(Eq 10)

$$E = IR$$

$$P = EI$$

Là où

(Eq 11)

RE : Hydrogène rompant la note WFC 420 de Process par lequel

Le courant électrique (p) est un rapport linéaire entre deux variables, tensions (e) et ampères de (i).

Tension dynamique

Énergie de Potencial

La tension est « pression électrique » ou « force électrique » dans un circuit électrique et est connue comme potentiel de tension». Plus le potentiel de tension sont haut, plus grande « la force électrique d'attraction» ou la force répulsive électrique » est appliquée au circuit électrique. Le potentiel de tension est un énergie-état « inchangé » ou « inchangé » quand le « mouvement d'électron» ou le « débattement d'électron» est empêché ou

limité dans le circuit électrique. La tension effectue le travail

À la différence de la tension les frais dans un circuit électrique établit « une force électrique d'attraction ; considérant que, comme les frais électriques dans le même circuit électrique encourage « repousser l'action». Dans les deux cas, le débattement ou le mouvement de charge électrique est directement lié à la tension appliquée. Ces « forces » électriques sont connues en tant que les « fields de tension » et exlibit de bidon une charge électrique positive ou négative.

De même, des ions ou les particules dans le circuit électrique ayant à la différence des frais électriques sont attirés entre eux. Les ions ou les masses de particules ayant la même chose ou comme les frais électriques s'écarteront les uns des autres, comme illustré dans figure (1-6).

En outre, les ions ou les particles chargés electrical peuvent se déplacer vers les fields stationnaires de tension de la polarité opposée, et, est donné par la loi de Newton's deuxièmes

(Eq 12)

$$A = \frac{F}{M}$$

Là où

L'accélération (a) d'une masse de particules (m) a agi dessus par une force nette (f).

Par lequel

La force nette (f) est « la force électrique d'attraction » entre les entités électriquement chargées d'opposé, et, est donné par Law de Coulomb's

(Eq 13)

$$F = \frac{q q'}{R^2}$$

Considérant que

$$V = \frac{q}{eR}$$

La différence du potentiel entre deux frais est mesurée par le travail nécessaire pour réunir les frais, et, est donné près

(Eq 14)

Le potentiel à un point dû à une charge (q) à une distance ® dans un milieu dont la constante diélectrique est interaction atomique à la stimulation de tension

Structure atomique des exliibits d'un atome deux types de masse-entités chargées électriques. Électrons orbitaux ayant les charges électriques négatives (-) et un noyau composé de protons ayant les charges électriques positives (+). Dans l'état électrique stable, le nombre d'électrons électriquement de remplissage de négatif égale le même nombre de protons électriquement de remplissage de positif... ne formant un atome ayant « non » la charge électrique nette.

Toutes les fois qu'un ou plusieurs électrons « sont délogés » de l'atome, l'atome prend une charge électrique positive nette et s'appelle un ion positif. Si un électron combine avec un atome stable ou normal, l'atome a une charge négative nette et s'appelle un ion négatif.

Le potentiel de tension dans un circuit électrique (voir le circuit d'Intensifier de tension quant au schéma 1-1) peut causer un ou plusieurs électrons d'être délogé de l'atome dû à l'attraction opposée de polarité entre à la différence des entités chargées, suivant les indications de figure (1-8) (revoyez la figure _1 =6 quant au schéma 1-9 quant à newton et aux lois du coulomb de la force électrique Ø).

La force électrique résultante d'attraction (les cartels de qq') ou se joint à la différence des atomes ensemble par la liaison covalente aux molécules de forme des gaz, des solides, ou des liquides.

Quand l'atome d'oxygène différent combine avec deux atomes d'hydrogène à de la molécule d'eau en acceptant les électrons d'hydrogène (aa du schéma 1-7), les atomes d'oxygène deviennent le négatif « net » électriquement chargé (-) puisque l'atome d'oxygène restructuré occupe maintenant 10 électrons électriquement chargés de négatif quant à seulement 8 protons électriquement chargés de positif. L'atome d'hydrogène avec seulement le proton it5 chargé positif restant et inutilisé, maintenant, prendre une charge électrique positive " nette » égale à l'intensité électrique des charges négatives des deux électrons (aa') partagé par l'atome d'oxygène... satisfaisant la loi de la physique qui pour chaque action il y a une réaction égale et opposée. Le total de somme des deux atomes chargés positifs d'hydrogène (++) égalant l'atome d'oxygène chargé négatif (-) ne forme " non » une molécule chargée électrique nette de l'eau. Seulement les atomes différents de la molécule d'eau exhibe vis-à-vis des frais électriques.

Dissociation de tension de la molécule d'eau

Le placement d'un potentiel d'impulsion-tension à travers Excitor-Rangent (HEU) tandis qu'empêcher ou empêcher l'écoulement d'électron de dans le circuit d'Intensifieur de tension (aa) fait séparer la molécule d'eau dans ses éléments près, momentanément, tirer les électrons orbitaux partis de la molécule d'eau, comme illustré dans figure (1-9).

La tension-field électrique « positive » stationnaire (E-1) attire non seulement l'atome d'oxygène chargé négatif mais tire également les électrons chargés négatifs partis de la molécule d'eau. En même temps, le field électrique « négatif » stationnaire de tension (E2) attire les atomes chargés positifs d'hydrogène. Une fois que les électrons électriquement chargés de négatif sont délogés de la molécule d'eau, la liaison covalente (partageant des électrons) cesse d'exister, commutation-au loin ou perturbation de la force électrique d'attraction (qq') entre les atomes de molécule d'eau.

Le regam libérée et de movmg d'atomes (électrons de missmg de having) ou capturent la tension une fois appliquée flottante libre d'électrons est commuté-au loin pendant les opérations de palpitation. L'atome libéré et électriquement stabilisé ayant une charge électrique nette de la sortie «zéro » le bain d'eau pour l'utilisation de gaz d'hydrogène.

La dissociation de la molécule d'eau par la stimulation de tension est ci-dessus processus électrique de polarisation de called'The “.

RE : Hydrogène rompant la note WFC 420 de _____ Process

La soumission ou exposer de la molécule d'eau encore à des niveaux de tension plus élevés fait entrer les atomes libérés dans un «état» d'ionisation de gaz. Chaque atome libéré prendre-sur ses propres charge électrique de «filet». Les atomes ionisés avec les électrons chargés négatifs flottants libres sont maintenant braqués (les champs électriques de palpitation de tension de la polarité opposée) par le processus électrique de polarisation... donnant ou superposant une deuxième physique-force (particule-impact) au bain d'eau électriquement chargé. L'oscillation (mouvement de va-et-vient) des particules électriquement chargées par le débattement de tension s'appelle ci-après «l'action résonnante», comme illustré dans figure (1-10).

Atténuer et ajuster la «impulsion-tension-amplitude» en ce qui concerne «la fréquence de tension d'impulsion», maintenant, produit le gaz d'hydrogène sur demande tout en limitant l'écoulement d'ampère.

Interaction de laser

Les diodes électroluminescentes disposées dans Faisceau-Rangent (voir le schéma 1-11) fournit et émet une bande étroite d'énergie légère évidente dans le bain d'eau stimulé par tension, comme illustré dans figure (1-13) quant à la figure (112). L'énergie absorbée de laser (énergie électromagnétique) fait perdre beaucoup d'atomes des électrons tout en fortement activant les ions combustibles libérés de gaz avant et pendant le gaz-allumage thermique. L'intensité de laser ou de lumière est linéaire en ce qui concerne le courant vers l'avant par les LED, et, est déterminé près

(Eq 15)

$$R_S = \frac{V_{in} - V_{led}}{I_{led}}$$

$$P_{watts} = V_{cc} I_t$$

Là où

I_t est le courant vers l'avant indiqué (typiquement 20ma. par diode) ; V mené est la chute de tension de LED (en général 1.7 volt pour les émetteurs rouges).

La loi de l'ohm pour le circuit de LED dans la rangée parallèle, et est donnée près

(Eq 16)

Là où

(I_t) est le courant vers l'avant par la LED faisceau-Rangent : V_{cc} est volts appliqués (en général 5 volts).

Par lequel

L'intensité de laser ou de lumière est variable quant à l'impulsion-fréquence
"Marche/Arrêt" de temps d'utilisation de 1Hz à 65 hertz et ci-dessus est indiquée près

(Eq 17)

$$Le \sqrt{\frac{(ION)^2 \times T1}{T1 + T2}}$$

Le le est intensité de la lumière en watt ; Période active de courant de is de T1 ; Le T2 est off-time courant ; et valeur de =RMS (d'ION) du courant de charge pendant la sur-période.

L'injection de l'énergie de laser dans la polarisation électrique de processus et le contrôle de l'intensité de la lumière-énergie fait atteindre les gaz combustibles un énergie-état plus élevé (amorçant électromagnétiquement les ions combustibles de gaz) qui, alternativement, accélère la production de gaz tout en soulevant les températures de gaz-flamme au delà des niveaux à gaz « normaux ».

L'injection de « Electromagnetically Primed » et ions combustibles « électriquement chargés » de gaz (de l'eau) dans d'autres cavités résonnantes lumière-activées favorise plus loin gaz-rapportent au delà de la stimulation de la tension/laser, comme illustré dans figure (1-16) quant à figure (1-18).

Processus d'Extraction d'électron

Exposant les atomes combustibles déplacés et en mouvement de gaz (sortant le bain d'eau et passant par la cavité résonnante de gaz (t), figure (1-17) quant à figure (1-18) à l'autre ou séparent l'energysource de palpitation de laser (v) à des causes plus élevées des niveaux de tension (E3/E4) plus d'électrons « à écarter » ou « délogés » des atomes de gaz, comme illustré dans figure (1-15) quant à figure (1-8).

L'énergie absorbée de laser « force » ou « guide » les électrons loin du noyau d'atome de gaz pendant la tension-impulsion en prolongation. La tension-impulsion positive se reproduisante (k) attire (qq') que les électrons électriquement chargés libérés de négatif à la tension positive répartissent en zones (E3). Tandis que, en même temps, le potentiel électrique négatif de palpitation de tension (E4) attire (qq') le noyau chargé électrique positif.

Le champ électrique positif de tension (E3) et les champs électriques négatifs de tension (E4) sont

RE : L'hydrogène rompant la note WFC 420 de Process a déclenché « simultanément » pendant la même devoir-impulsion.

Le circuit d'extraction d'électron (BB) de figure (1-14) enlève, capture, et consomme les électrons « délogés » (des atomes de gaz) pour faire entrer dans et atteindre les atomes de gaz « CriticalState », formant les atomes combustibles fortement activés de gaz ayant les électrons absents. Valeurs résistives (R4, R6, R7, et constante de dialectique du gaz Rg) et de la terre électrique d'isolement (w) empêche le « electronflow » ou le « débattement d'électron » de se produire dans le circuit (BB) pendant les opérations de palpitation (à la fréquence de résonance) et, donc, subsistances les atomes de gaz dans le critique-état « » en ne permettant pas au remplacement d'électron de se produire ou avoir lieu entre les atomes mobiles de gaz.

Les électrons chargés négatifs « délogés » « sont détruits » ou « consommés » sous forme de « chaleur » quand le legs consommant d'ampère (s) (tel qu'une ampoule) est positif électriquement activé pendant des opérations de palpitation alternatives. Les ions activés ou par laser amorcés de laser de gaz repousse les électrons « délogés » étant consommés, comme illustré dans figure (1-8) quant à figure (1-20). Le processus d'extraction d'électron (BB), ci-après, s'appelle « le pistolet de gaz d'hydrogène » et est placé sur une Assemblée résonnante de cavité, comme illustré dans figure (1-17) quant à figure (1-18).

Énergie explosive thermique

Exposer l'expulsion « laser-a amorcé » et « a électriquement chargé » les ions combustibles de gaz (sortant de la cavité résonnante de gaz) à l'thermique-étincellent ou la chaleur-zone cause le gaz-allumage thermique, libérant le courant ascendant énergie explosive (GMT) au delà de l'étape de Gaz-Flamme, comme illustré dans figure (1-19) quant à (1-18).

L'interaction atomique thermique (GMT) est causée quand les ions combustibles de gaz (de l'eau) n'unissent pas ou ne forment pas un lien covalent ou un lien covalent entre les atomes de molécule d'eau, comme illustré dans figure (1-19). L'atome d'oxygène ayant moins de quatre électrons covalents (processus d'extraction d'électron) ne peut pas atteindre le « Stable-État » (six à huit électrons covalents requis) quand les deux recherches d'atomes d'hydrogène pour former la molécule d'eau pendant l'allumage thermique de gaz.

L'énergie absorbée de laser (la Virginie. Vb et V c) affaiblit « le lien électrique » entre les électrons orbitaux et le noyau des atomes ; tandis que, en même temps, attraction-force électrique (qq'), étant plus fort que la « normale » due au manque d'électrons covalents. « Ferme à clef sur » et « garde » les électrons d'hydrogène. Ces conditions « anormales » ou « instables » causent les ions combustibles de gaz à l'excédent compensent et ventilation en énergie explosive thermique (GMT). Cet courant ascendant atomique

L'interaction entre les ions combustibles fortement activés de gaz s'appelle ci-après « l'hydrogène rompant le processus. »

Simplement en atténuant ou en changeant l'amplitude de tension dans le rapport direct avec l'impulsion-taux de tension détermine atomique Puissance-Rapportent sous l'état commandé.

Propulsion de fusée

Les cavités résonnantes ajoutées (placées sous l'Assemblée de pistolet de gaz d'hydrogène) disposées en parallèle à vertical Faisceau-Rangent des augmentations que les atomiques Énergie-Rapportent de l'hydrogène rompant le processus subissant le gaz-allumage thermique, comme illustré de figure (1-22) quant à figure (1-18). Ce ClusterAssembly ou Faisceau-forme, ci-après, s'appelle « le moteur de fusée à action hydraulique ».

des Prolonger-fusée-vols portant des charges utiles plus lourdes est réalisés en liquéfiant les ions combustibles « particulièrement traités » de gaz (atomes oxygène-gaz amorcés par laser ayant les électrons absents et atomes amorcés par laser de gaz d'hydrogène) sous pression dans les réservoirs de carburant séparés affixed à un moteur de fusée, comme illustré dans figure (1-21). La poussée de fusée est maintenant commandée par le débit des gaz ionisés combustibles entrant dans la chambre de combustion du moteur de fusée une fois que le gaz-allumage se produit.

En addition

L'hydrogène rompant le processus simplement déclenche et libère l'énergie atomique de l'eau normale en permettant aux ions combustibles sous-critiques fortement activés de gaz de venir ensemble pendant l'allumage thermique de gaz. Le circuit d'Intensifieur de tension apporte sur « le processus électrique de polarisation » ce des commutateurs outre du lien covalent de la molécule d'eau sans consommer des ampères. Le circuit électrique d'extraction diminue non seulement la taille de masse des atomes combustibles de gaz ; mais, produit également, et en même temps « l'énergie électrique » quand les électrons libérés sont dirigés loin de l'Assemblée de pistolet de gaz d'hydrogène.

L'hydrogène rompant le processus a les possibilités de l'énergie thermique d'explosive de releasng jusqu'et au delà derrière 2.5 millions de barils d'huile par gallon de l'eau sous l'état commandé... qui empêche simplement la formation de la molécule d'eau pendant l'allumage thermique de gaz... libérant l'énergie explosive thermique au delà du processus normal de combustion de gaz. L'hydrogène rompant le processus est environnientally sûr.

L'hydrogène rompant le processus est concevoir-variable pour monter en rattrapage à n'importe quel type de legs consommateur d'énergie puisque le pistolet de gaz d'hydrogène peut être réduit à la taille d'une bougie d'allumage automatique ou d'une casserole d'injecteur de gaz d'un avion de chasse ou être agrandi pour former un moteur de fusée. Le prototypage détermine des paramètres opérationnels. L'hydrogène rompant le processus est enregistré et certifié sous la Loi de Traitée de coopération de brevet par l'intermédiaire du permis étranger # 492680 de concession publié le 10 juillet 1989 et du permis étranger # 490606 de concession publié le 15 nov. 1988 par les Etats-Unis d'Amérique quant à l'hydrogène rompant le brevet de processus # 4.826.581 des États-Unis publié le 2 mai 1989, le brevet électrique # 4.936.961 June26 publié des États-Unis de processus de polarisation, 1990, le brevet résonnant 5.149.407 des États-Unis de circuit de renforteur de tension de cavité (VIC) publiés septembre 22, 1992, et d'autres États-Unis ;- brevets en instance sous l'acte de Traitée de coopération de brevet (PCT) dans le monde entier. (voir le WFC « brevets accordés jusqu'ici »).

RE : Hydrogène rompant le processus

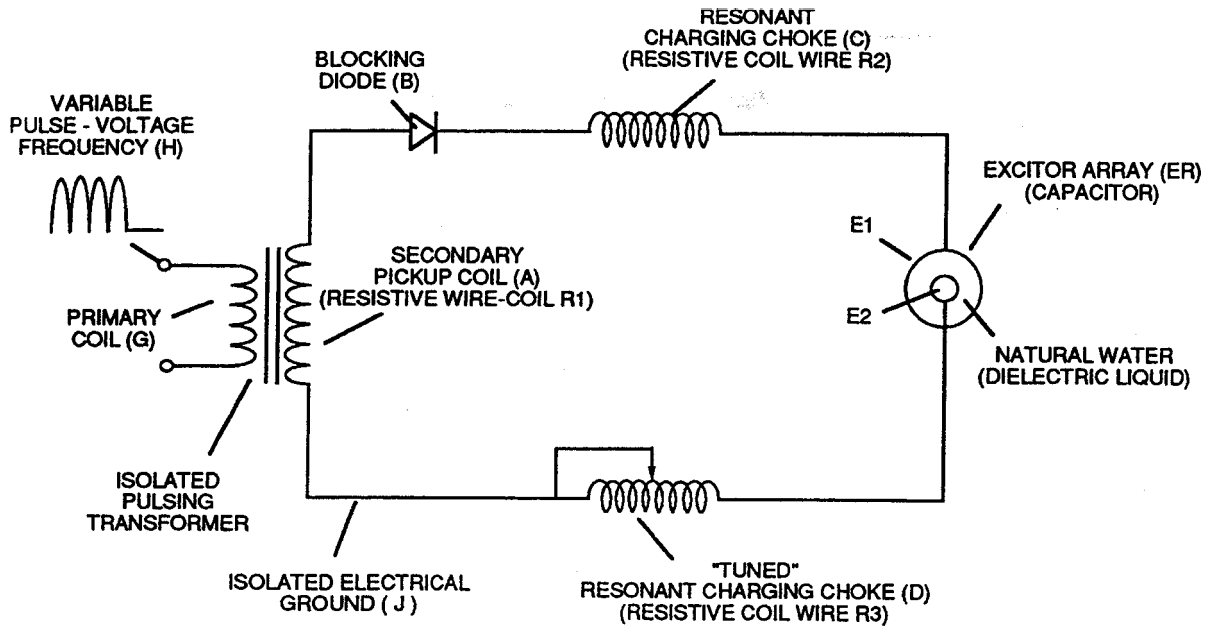


FIGURE 1-1: VOLTAGE INTENSIFIER CIRCUIT (AA)

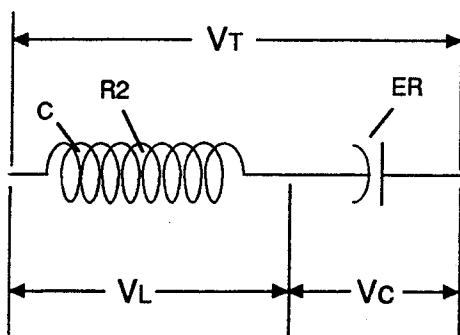


FIGURE 1-2: LC CIRCUIT

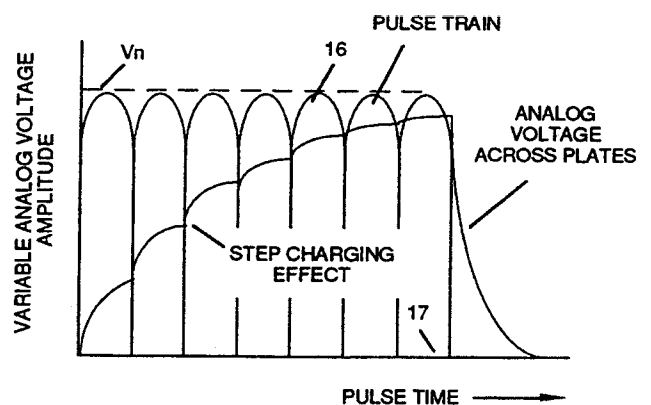


FIGURE 1-3: APPLIED VOLTAGE TO PLATES

RE : Hydrogène rompant le processus

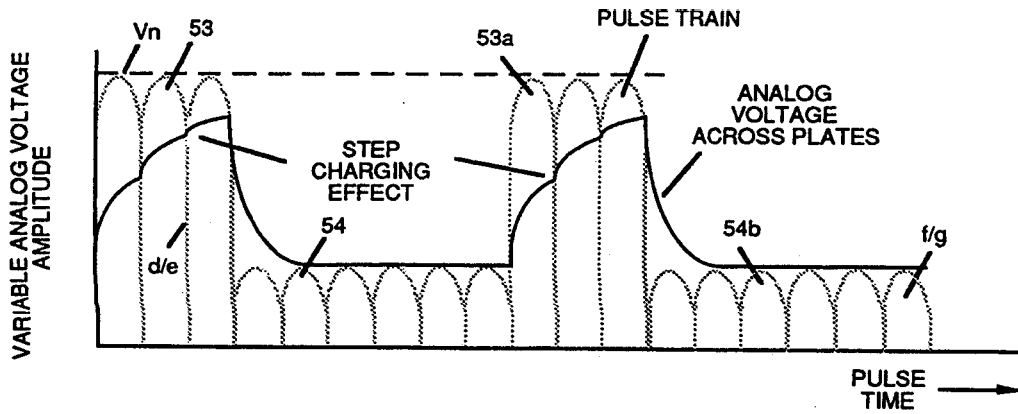


FIGURE 1-4: APPLIED VOLTAGE TO RESONANT CAVITY

FIGURE 1-5: VARIABLE AMPLITUDE GATED UNIPOLAR PULSE-FREQUENCY DYNAMICALLY CONTROLS HYDROGEN GAS-YIELD ON DEMAND WHILE INHIBITING AMP FLOW

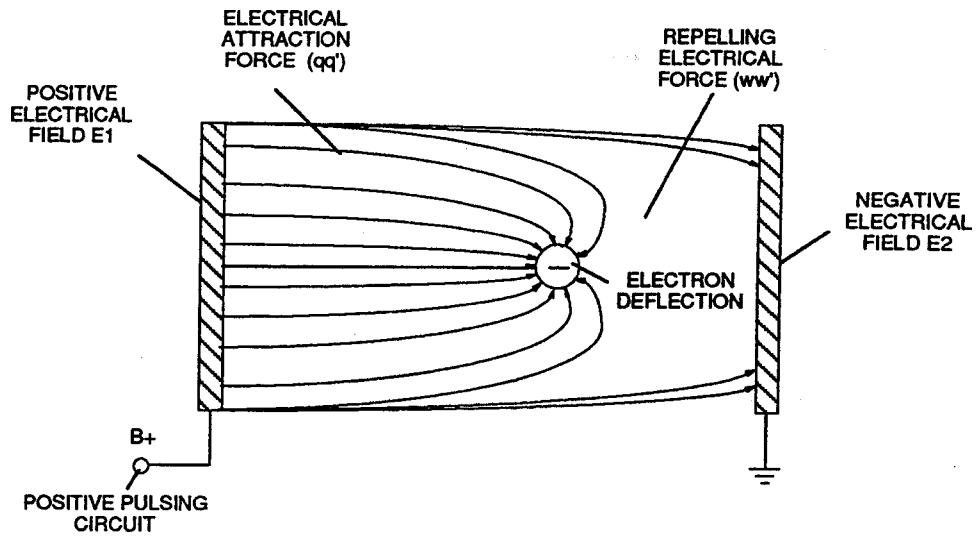


FIGURE 1-6: VOLTAGE POTENTIAL PERFORMING WORK

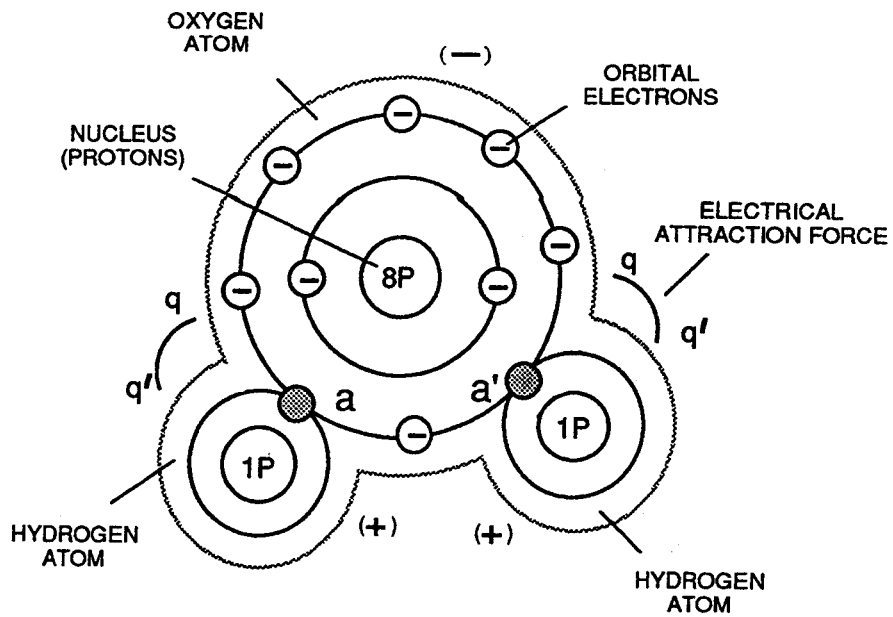


FIGURE 1-7: ELECTRICAL CHARGES OF THE WATER MOLECULE

Stanley A. Meyer 1 - 15

RE : Hydrogène rompant le processus

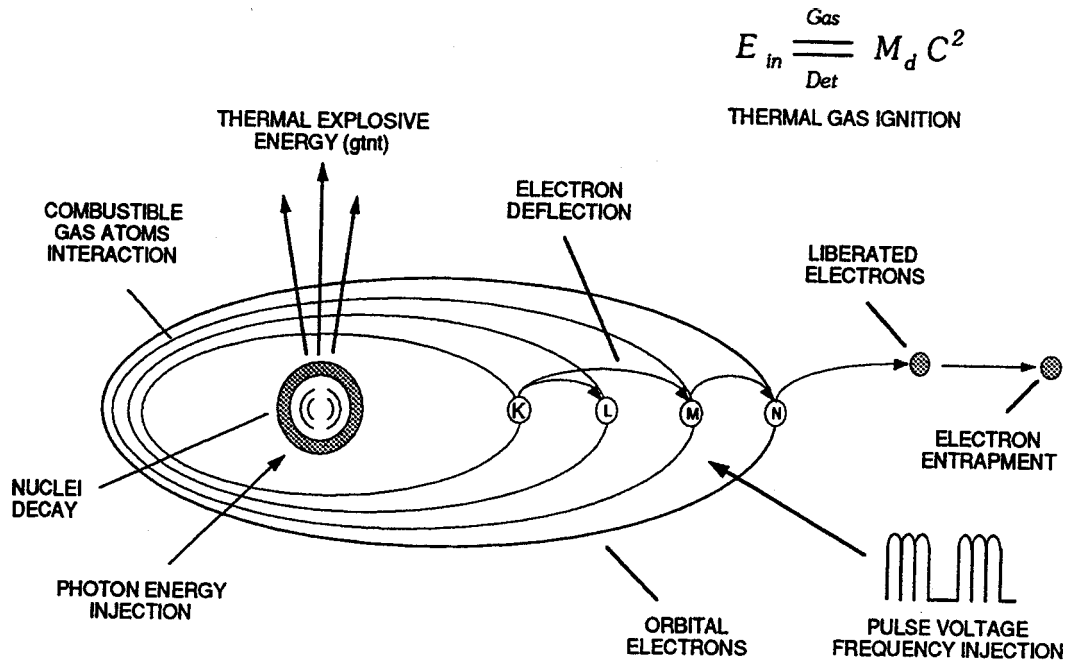


FIGURE 1-8: HYDROGEN FRACTURING PROCESS

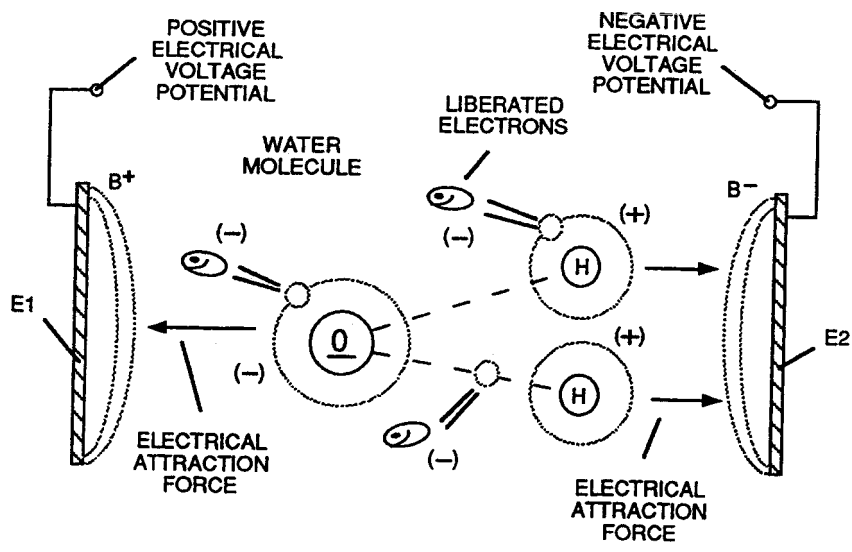


FIGURE 1-9: ELECTRICAL POLARIZATION PROCESS

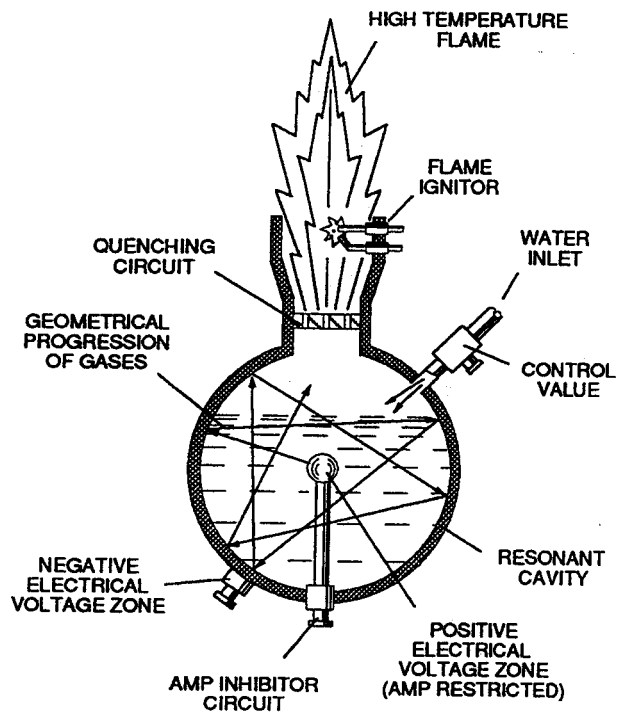


FIGURE 1-10: ELECTRICAL VOLTAGE ZONES FORMING RESONANT CAVITY

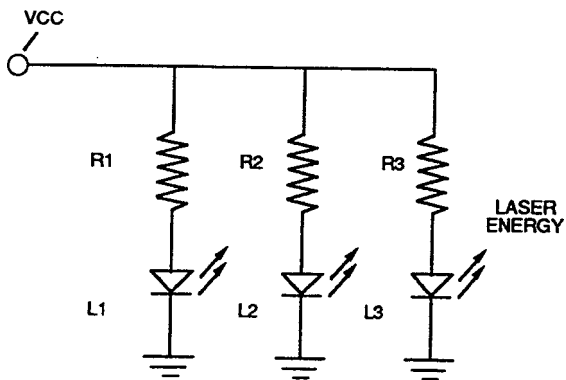


FIGURE 1-11: LED CLUSTER ARRAY

Stanley A. Meyer 1 - 17

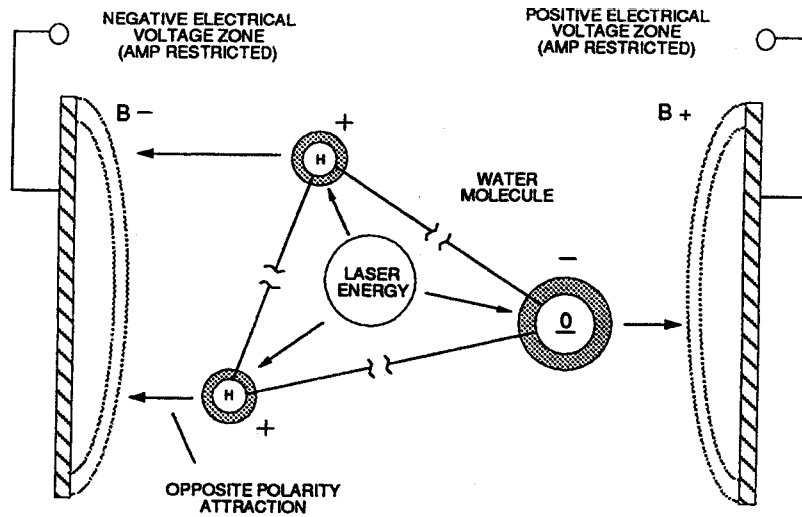


FIGURE 1-12: PHOTON ENERGY AIDS RESONANT ACTION

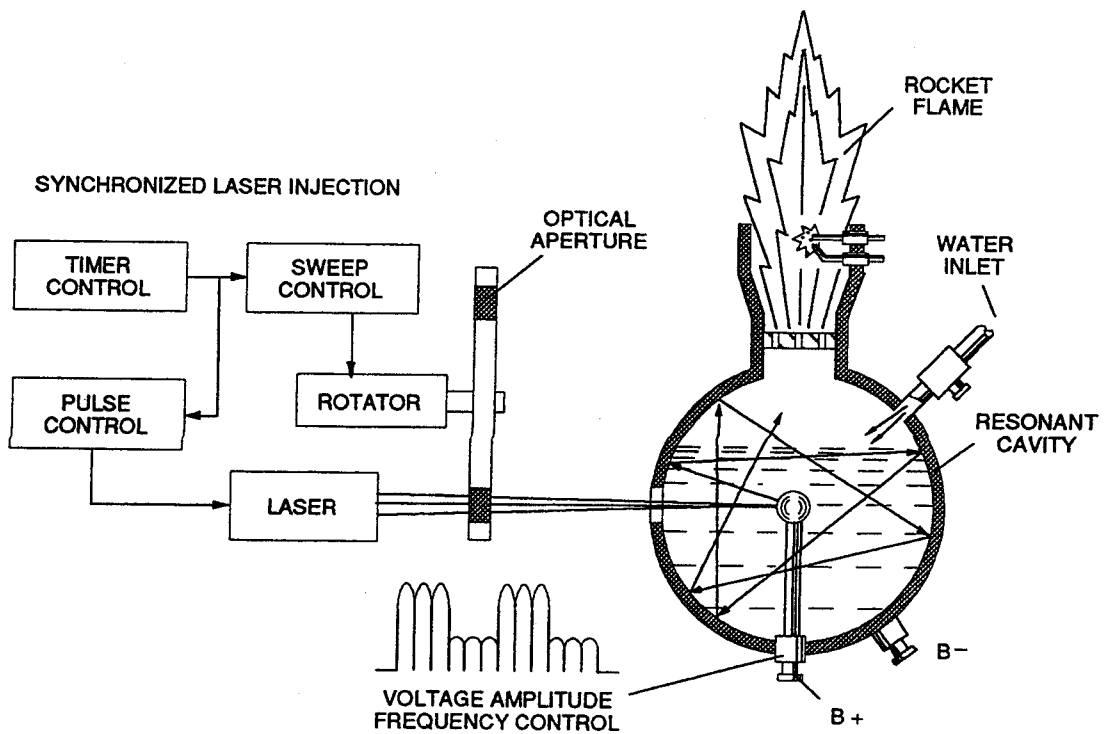


FIGURE 1-13: LASER INJECTED RESONANT CAVITY

RE : Hydrogène rompant le processus

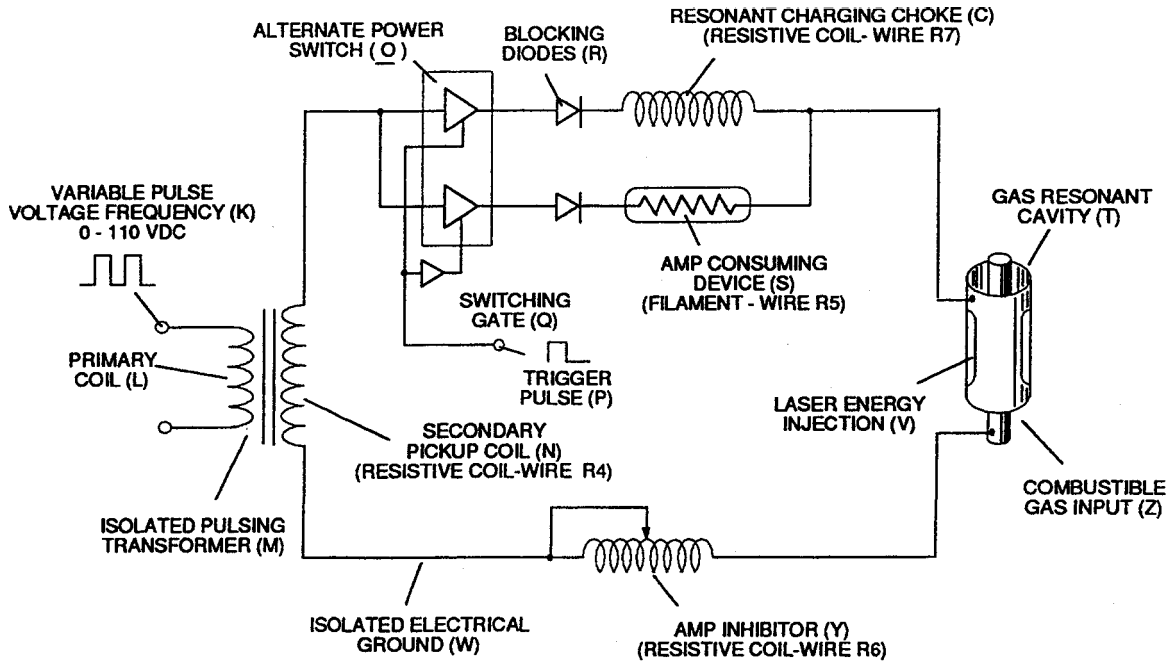


FIGURE 1-14: ELECTRON EXTRACTION CIRCUIT (BB)

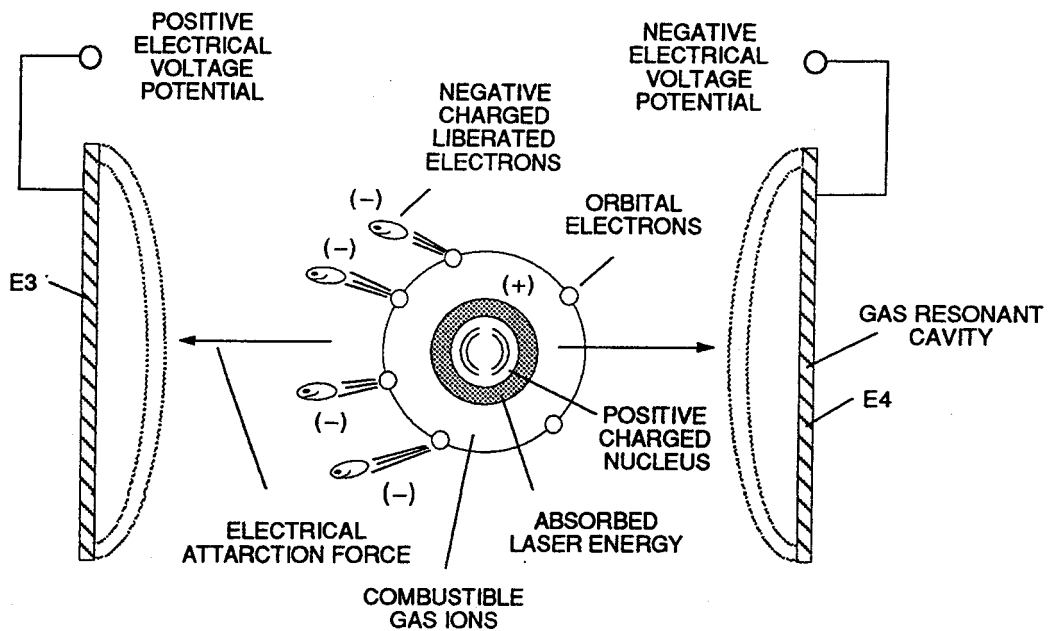


FIGURE 1-15: DESTABILIZING COMBUSTIBLE GAS IONS

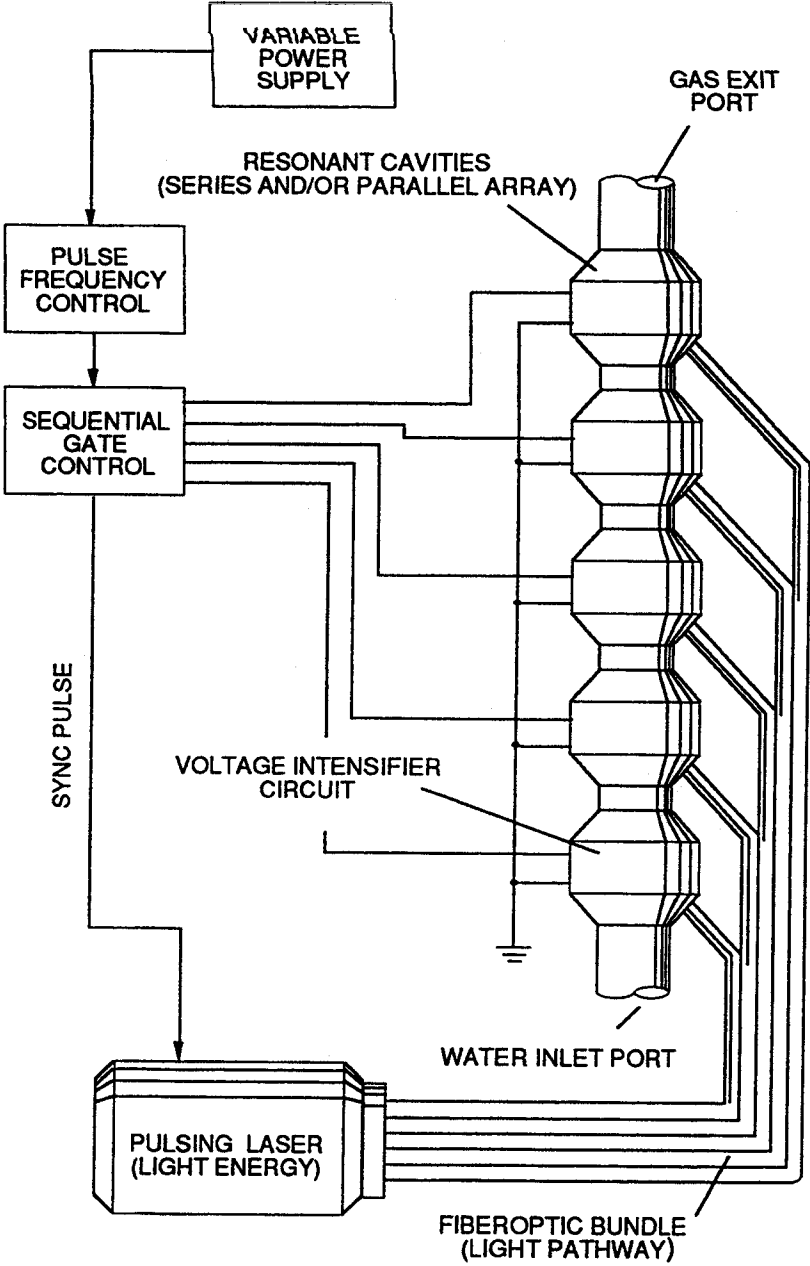


FIGURE 1-16: POWER LOAD DISTRIBUTION

Stanley A. Meyer 1 - 20

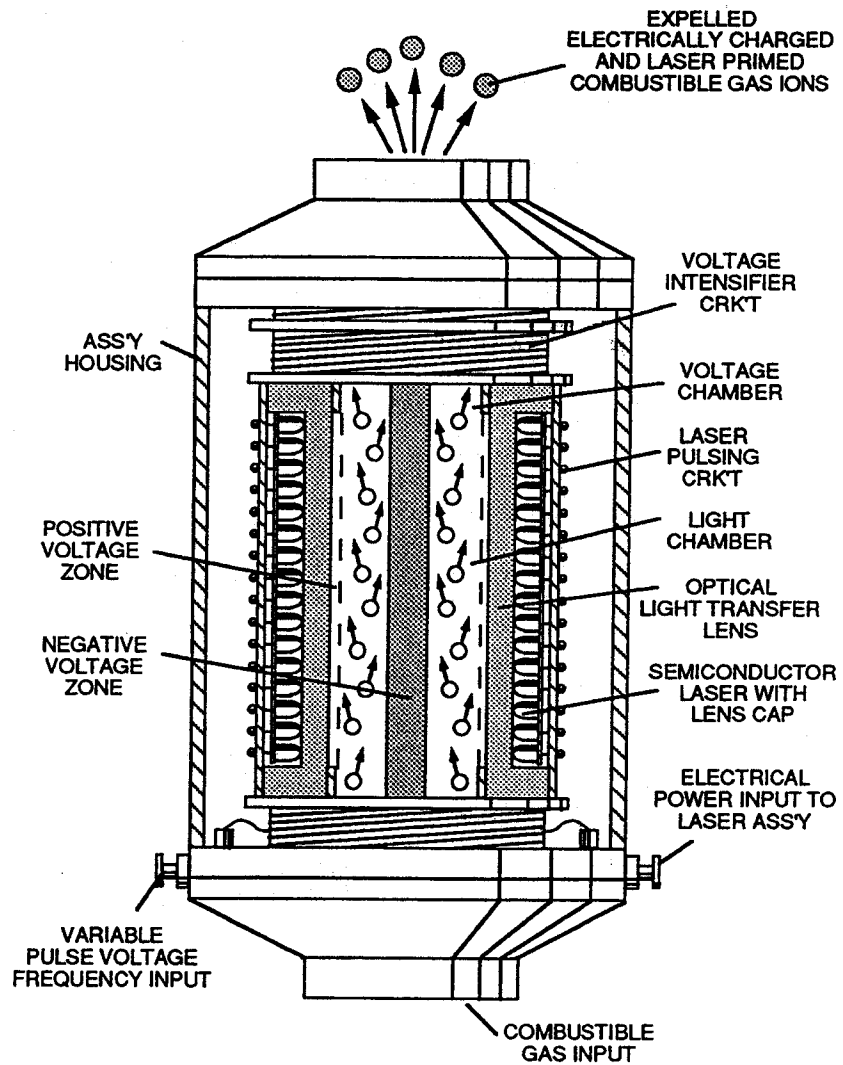


FIGURE 1-17: GAS RESONANT CAVITY

Stanley A. Meyer 1 - 21

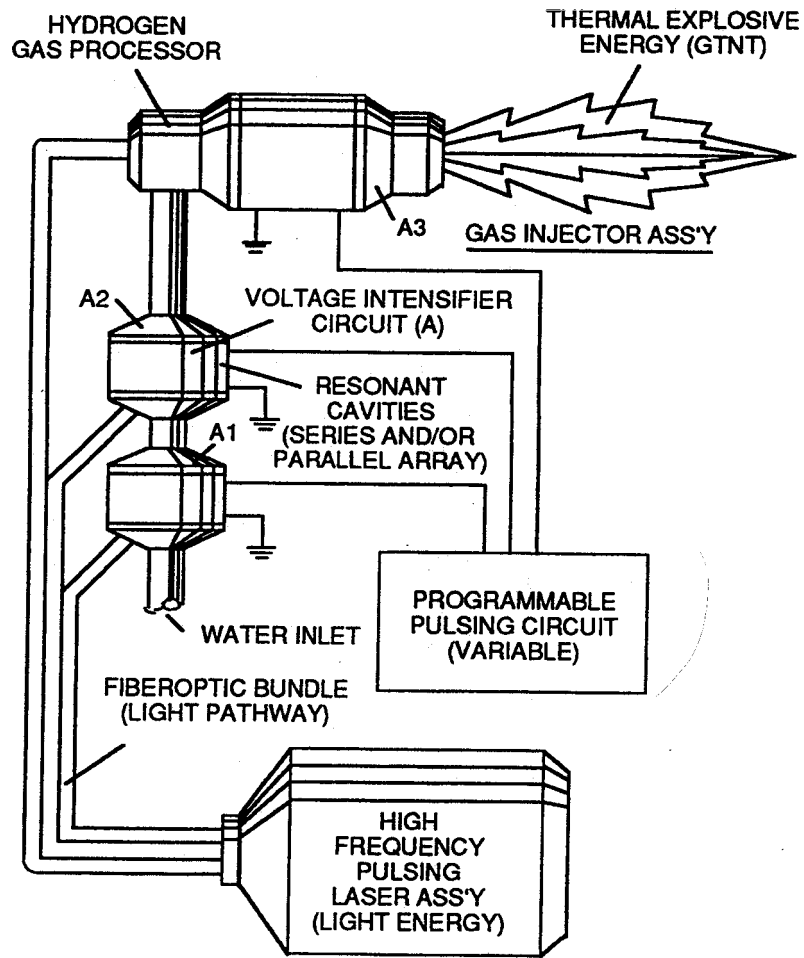


FIGURE 1-18: GAS INJECTOR FUEL CELL

Stanley A. Meyer 1 - 22

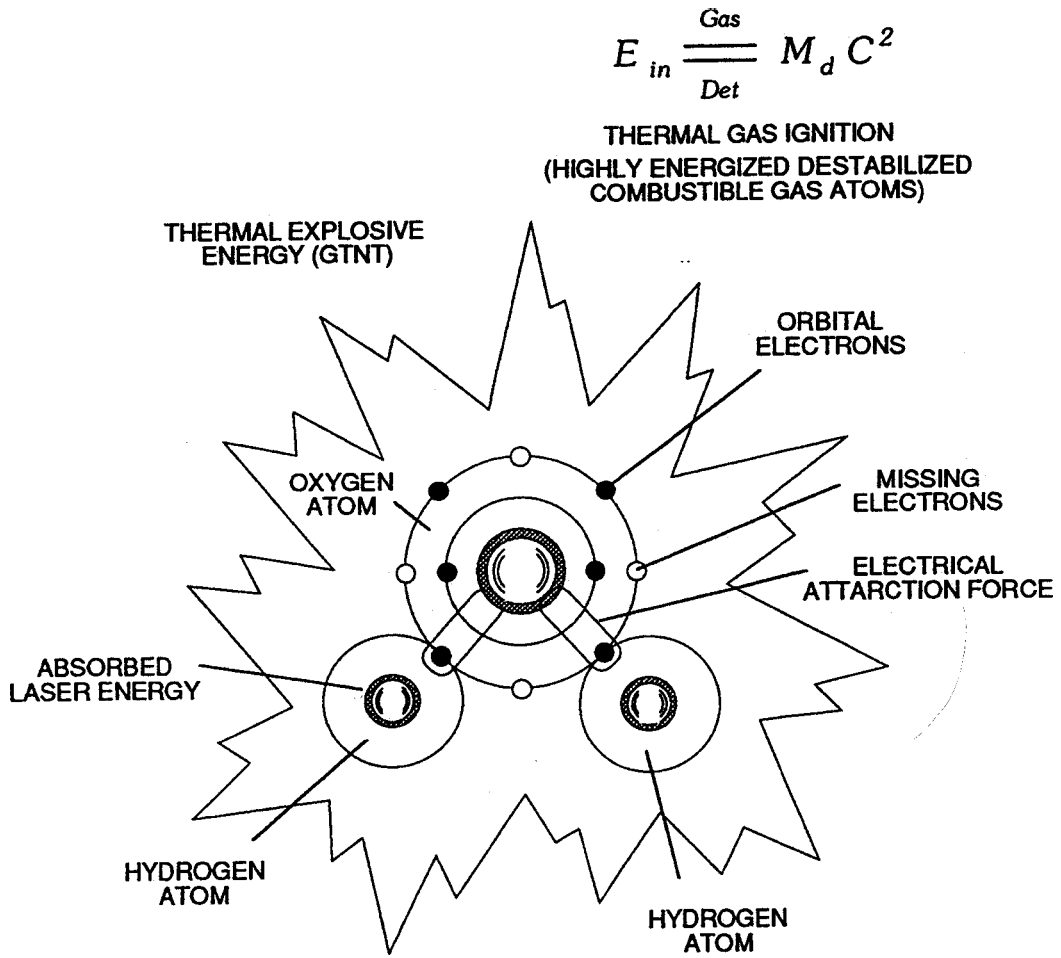


FIGURE 1-19: HYDROGEN FRACTURING PROCESS

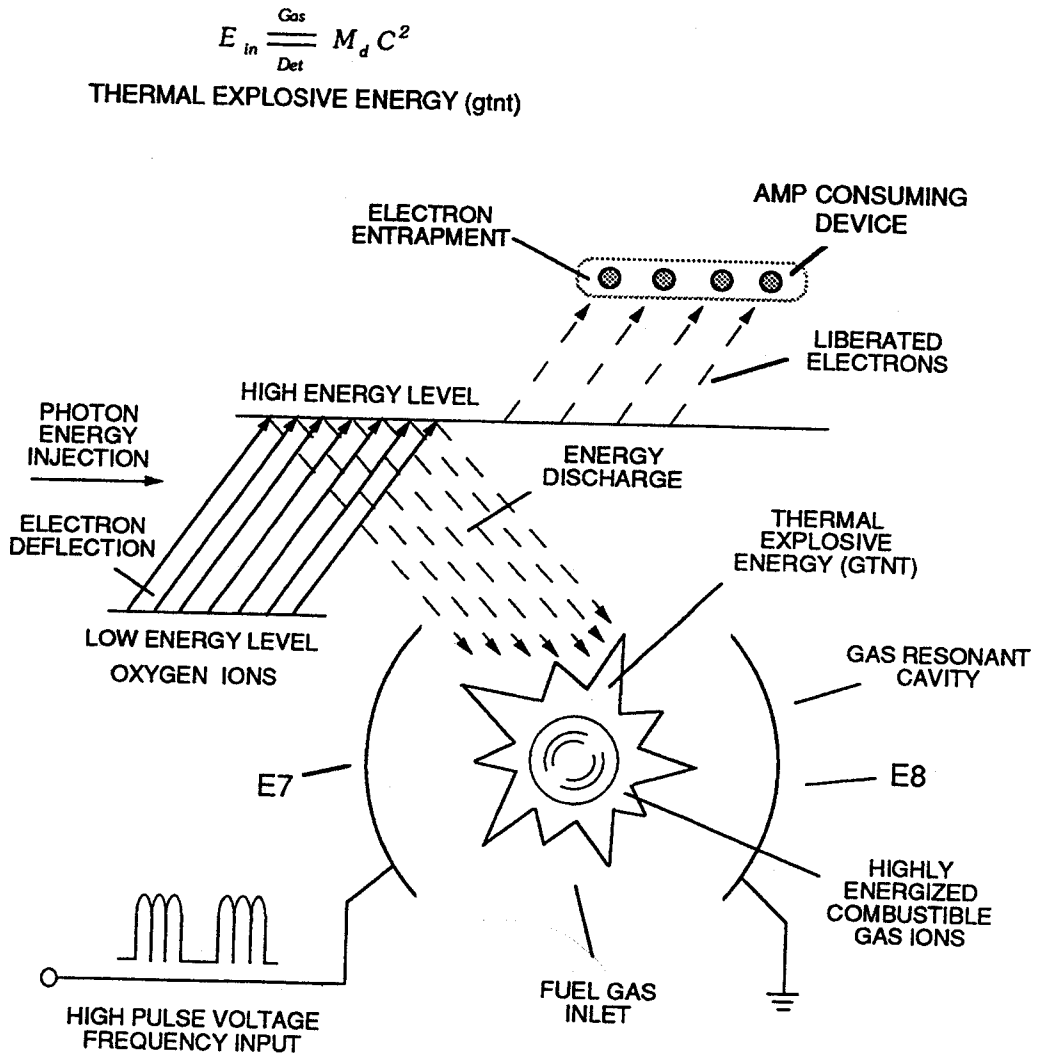


FIGURE 1-20: HYDROGEN GAS PROCESSOR

Stanley A. Meyer 1 - 24

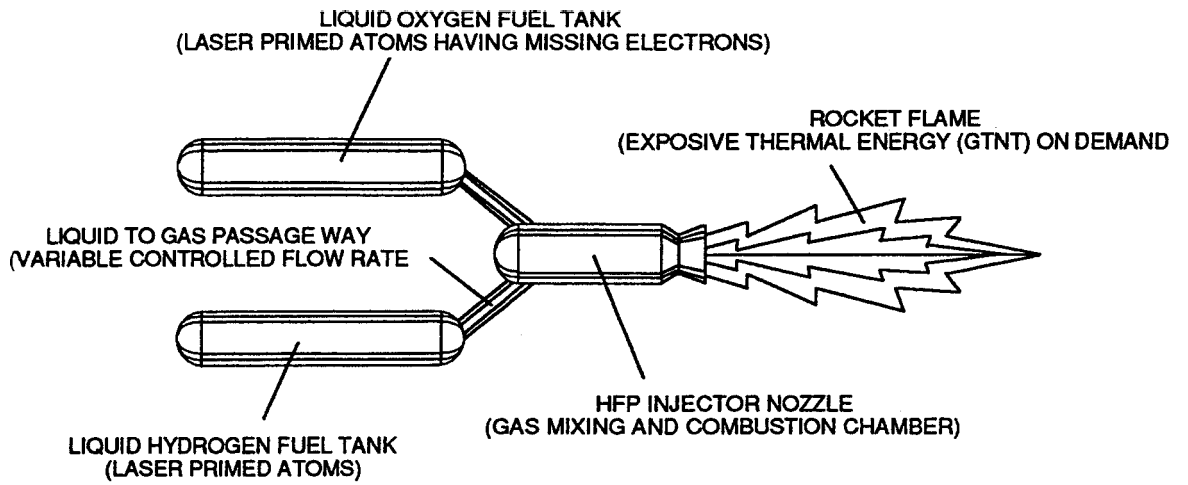


FIGURE 1-21: ATOMIC POWERED ROCKET ENGINE

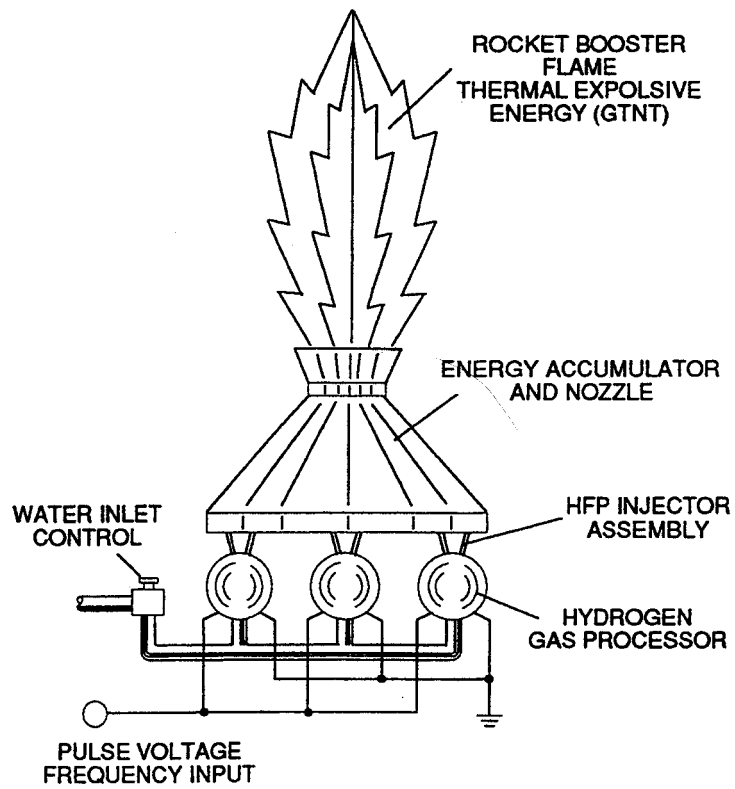


FIGURE 1-22: BOOSTER ROCKET ENGINE

Stanley A. Meyer 1 - 25

CELLULE DE CARBURANT DE L'EAU

Extinction de la technologie de circuit

Rendu du gaz plus sans risque que naturel d'hydrogène

La technologie de circuit de extinction est une combinaison et une intégration de plusieurs Gaz-Processus qui emploie les gaz non-combustibles pour rendre le gaz plus sans risque que naturel d'hydrogène.

, Des gaz de « Non-Burnable » sont employés pour ajuster l'hydrogène « Sans valeur-Taux » sur les niveaux Carburant-À gaz... recyclé pour stabiliser les températures de Gaz-Flamme... entremêlées pour soutenir et maintenir une Gaz-Flamme d'hydrogène... et employées pour empêcher l'allumage par étincelle des gaz d'approvisionnement.

L'utilisation et la réutilisation des gaz non-combustibles permet à la cellule de carburant de l'eau de devenir un système d'énergie de modification.

La technologie de circuit de extinction est systématiquement activée et de la façon suivante exécutée :

Section 2

circuit

Extinction de la technologie de circuit

(Rendant le gaz plus sans risque que naturel d'hydrogène)

Paramètres opérationnels

Tube d'allumage par étincelle

Le tube d'allumage par étincelle (b) est un appareillage tubulaire d'essai (diamètre 1/8) qui détermine et mesure le « Sans valeur-Taux » de différents types de gaz de Burnable entremêlés de l'air ambiant, comme illustré dans figure (2-1).

Étincellent-Ignitor (a) les causes et les débuts le Gaz-Mélange de Burnable (b) pour subir le Gaz-Allumage qui, aux tours, soutient et permet à la combustion de gaz d'avoir lieu... formant et soutenant un GasFlame. L'extension et la Gaz-Flamme mobile voyage (loin de étincelez-ignitor) la longueur linéaire du tube plein de gaz (c) et « est détectée » et « mesurée » (la longueur entre étincellent-ignitor et lumière-détecteur) en une seconde après gaz-allumage. Le procédé de Gaz-Allumage, maintenant, établit le « Brûler-Taux » d'un Gaz-Mélange de Burnable en centimètres par seconde (centimètre-seconde.), comme illustré dans figure (2-2).

Différents types de Gaz-Mélanges de « Burnable » exposés au procédé de Gaz-Allumage ont été examinés, ont mesuré, enregistré et systématiquement disposé quant au centimètre-seconde. la longueur, revoient la barre analogique verticale (2-2). Le procédé de Gaz-Allumage a été effectué plusieurs fois d'établir le Brûler-Taux « moyen »

des Carburant-Gaz qui, alternativement, établit la longueur des barres verticales. Procédé d'injection de gaz

Injectant et entremêlant un gaz non-combustible (d) (gaz non-burnable) avec - 'Gaz-Mélange de Burnable le « (b) « change » ou « change » le gaz-mélange « Brûler-Taux ». Augmentation de la volume-quantité de

Le gaz non-combustible (d) diminue et/ou abaisse le « Brûler-Taux » du Gaz-Mélange (B/D) encore plus. L'entremêlement progressif et commandé des gaz non-combustibles (B/D) a permis la « brûlure

Le taux « d'hydrogène « à abaisser » ou « s'est ajusté » sur « l'allumette » ou... :l'égale o- » « le Sans valeur-Taux » d'autres Carburant-Gaz, voient la ligne de courbe dans figure (2-2).

En termes d'exécution opérationnelle, le gaz de Non-Burnable (d) « pas » appui :.Le processus de la combustion _{J15} puisque le gaz de Non-Burnable (d) « limite » ou « retarde » la vitesse à

circuit

ce que l'atome d'oxygène unit aux atomes d'hydrogène à la combustion de gaz de cause. Le « gaz retardant le processus » est, naturellement, applicable à n'importe quel type ou combinaison de gaz-mélange de gaz de Burnable ou de Burnable.

Régulateur de mélange de gaz

En soi, la cellule de carburant de l'eau permet au « Brûler-Taux » d'hydrogène « d'être changé » ou « d'être ajusté » de 325 centimètre-secondes. à 42 centimètre-secondes. (Co-égalant les niveaux à gaz normaux) depuis les gaz non-combustibles (tels que l'azote, l'argon, et d'autres gaz non-burnable) dérivés de l'air ambiant dissous dans l'eau normale exécute le gaz retardant le processus... soutenant et maintenant une flamme en plein air au delà de 5000 degrés de F, comme illustré dans figure (2 ou 3)

L'eau normale agit et exécute comme « un régulateur de Gaz-Mélange » quand la Carburant-Cellule active électriquement par la stimulation de tension (le processus électrique de polarisation)...produisant un gaz-mélange uniforme (B/D) indépendamment du débit unitaire de gaz de la Carburant-Cellule... produisant a

gaz-mélange uniforme (B/D) seulement une fois nécessaire. Dans le tranquille-état, l'approvisionnement en gaz (OFFRE) étant libérés du bain d'eau « est terminé » et « arrêté » quand la Carburant-Cellule devient « désactivée ». L'eau inutilisée, naturellement, reste comme liquide non-burnable. Les gaz (B/D) au-dessus du bain d'eau « est exhalés » pour la sûreté.

Ajustement de la température de flamme

En capturant et en réutilisant le gaz non-combustible expulsé (d) (dérivé de et fourni par le bain d'eau) de nouveau dans la gaz-flamme ou la Carburant-Cellule soutenue d'hydrogène cause la température de gasflamme « d'être changé » ou « d'être changé » par le gaz retardant le processus, comme illustré dans figure (2-4) quant à figure (2 ou 3). Les gaz de réutilisation (d) commandés par un régulateur d'écoulement de gaz permet à la flamme-température de gaz « d'être ajustée » ou « d'être calibrée » à n'importe quel niveau à gaz (s), en tant qu'ainsi

illustré dans figure (2-2).

« Nouvellement » a formé et a établi des restes de la flamme-température de gaz constants indépendamment du débit unitaire de gaz de la Carburant-Cellule. La réaction continue des gaz non-combustibles (d), ci-après, s'appelle « le procédé de stabilisation de combustion de gaz ».

Automatiquement, le procédé de stabilisation de combustion de gaz change le « Brûler-Taux » des gaz de cellules de carburant (B/D) en obtenant la température désirée de gaz-flamme.

Stanley A. Meyer 2-2

L'allumage par étincelle des gaz de Carburant-Cellule (B/D) est empêché quand le « gaz retardant le processus » est employé en même temps qu'une « extinction du circuit », comme illustré dans figure (2 ou 3), (2-4), (2-5) et 26).

Les gaz non-combustibles (d) sépare et empêche les atomes d'hydrogène pour unir aux atomes d'oxygène à « apporter-sur » ou « lancez » le Gaz-Allumage. Le passaway étroit (au moins $1/8$ s'avancent petit à petit longtemps et ayant un .015 diamètre) empêche les atomes mobiles de gaz de « regrouper ». L'alignement des gaz de Carburant-Cellule (*OFFRE*) à l'intérieur du tubulaire-passaway, ci-après, s'appelle « le circuit de extinction ». Le circuit de extinction « Anti-Étincellent technique » est « indépendant » de Gaz-Vitesse et de Gaz-Pression.

Extinction du bec

Les circuits de extinction additionnels ont arrangé sous des formes d'une configuration de Disque-forme une « extinction du bec » une fois attachés à « éteindre le tube », comme illustré dans figure (2-4) quant à figure (2-6). Multi le disque de Gaz-Port compense la Gaz-Vitesse accrue tandis que « empêchant » l'allumage par étincelle des gaz de Carburant-Cellule. Le Flamme-Modèle de recouvrement re-met à feu le gaz-mélange de expulsion d'hydrogène (B/D) devrait extinction se produire. Le matériel en céramique est employé pour former la « extinction du disque » « empêchent » l'agrandissement de trou-taille dû à la gaz-oxydation.

Les gaz non-combustibles que (d) garde le matériel en céramique « frais-à-le-touchent » en projetant la Gaz-Flamme là-bas et loin de la disque-surface... le disque de extinction reste « se refroidissent » même si la température de Gaz-Flamme excède le melting-point du disque-matériel.

Extinction du tube

Le disque de extinction est prolongé dans un tube flexible pour transporter distances d'excédent de gaz de Carburant-Cellule sans risque les longues, comme illustré dans figure (2-7). Le gazoduc Étinceler-Frappant, ci-après, s'appelle «

Extinction du tube. « Ensemble de bloc catalytique

Une cavité hémisphérique inversée placée sur le dessus. et dans du rapport de l'espace avec la « extinction du disque » assure la gaz-combustion totale par burnable « échappé » ou « inutilisé » de réutilisation

gaz de nouveau dans la gaz-flamme pour le Gaz-Allumage... empêchant la formation de Gaz-Oxyde, comme illustré dans figure (2-8) quant à figure (2-4).

Moteur à combustion interne

Le procédé de stabilisation de combustion de gaz (réutilisant les gaz non-combustibles) est également applicable à faire fonctionner le moteur à combustion interne sans Moteur-Parties changeantes depuis le gaz retardant le processus Brûler-Taux permet à hydrogène « d'égaliser » « le Brûler-Taux » d'essence ou de Diesel-Carburant, comme illustré dans figure (2-2). Le moteur fournit ses propres gaz non-combustibles dérivés de l'air ambiant subissant le processus de gaz-combustion. La température de moteur demeure la même puisque le procédé de stabilisation de gaz est employé.

Système de grille de gaz

L'air ambiant est la source principale des gaz non-combustibles quand les Air-Gaz sont exposés à et traversent une flamme de Øen-Air, comme illustré dans figure (2-10). Le processus de combustion de gaz de la Gaz-Flamme élimine l'oxygène et les atomes burnable de gaz de l'expulsion intoxicante... produire un approvisionnement sans fin en gaz non-combustibles.

Le mélange « a traité » des Air-Gaz avec une source d'offre d'hydrogène établit le gaz retardant le processus... permettant au Gaz-Mélange d'hydrogène d'être transporté sans risque par le système existant de Gaz-Grille.

Paramètres de Øerational

L'utilisation et la réutilisation des gaz non-combustibles, maintenant, rend le gaz d'hydrogène aussi sûr que le gaz naturel ou n'importe quel autre Carburant-Gaz... permettant à la cellule de carburant de l'eau de devenir un système d'énergie de Retrofit.

RE : Extinction de la technologie de circuit

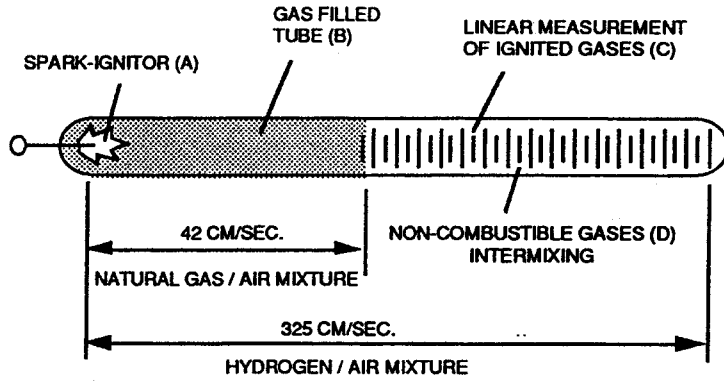


FIGURE 2-1: SPARK IGNITION TUBE

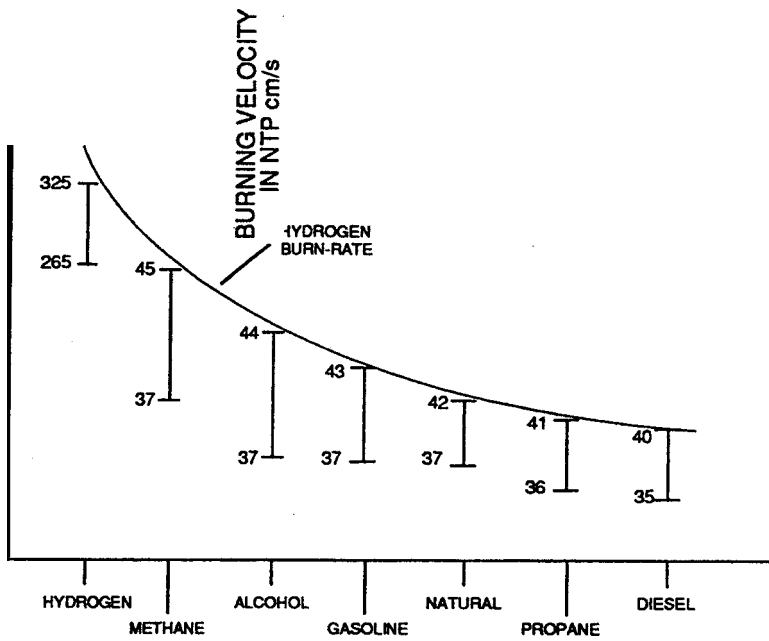


FIGURE 2-2: HYDROGEN BURN RATE

RE : Extinction de la technologie de circuit

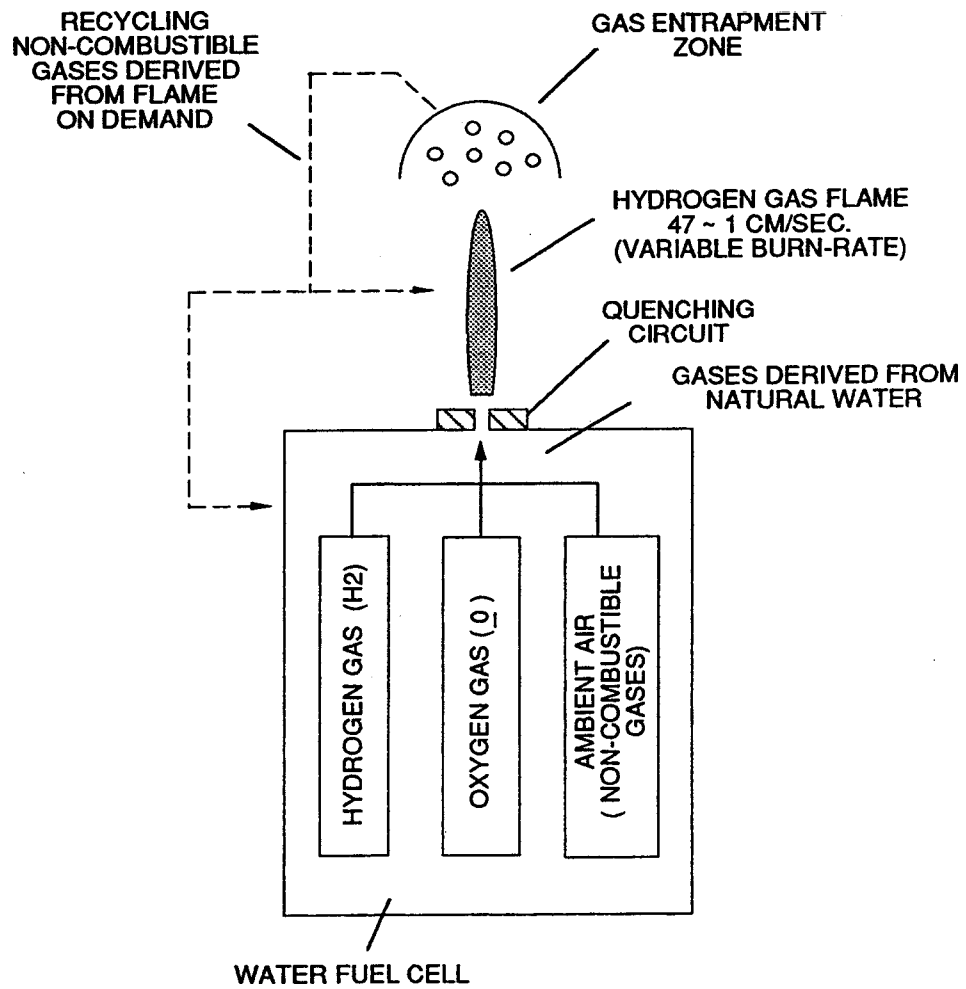


FIGURE 2-3: GAS MIXING REGULATOR

RE : Extinction de la note WFC 421 de

----- Technolo
gy de circuit

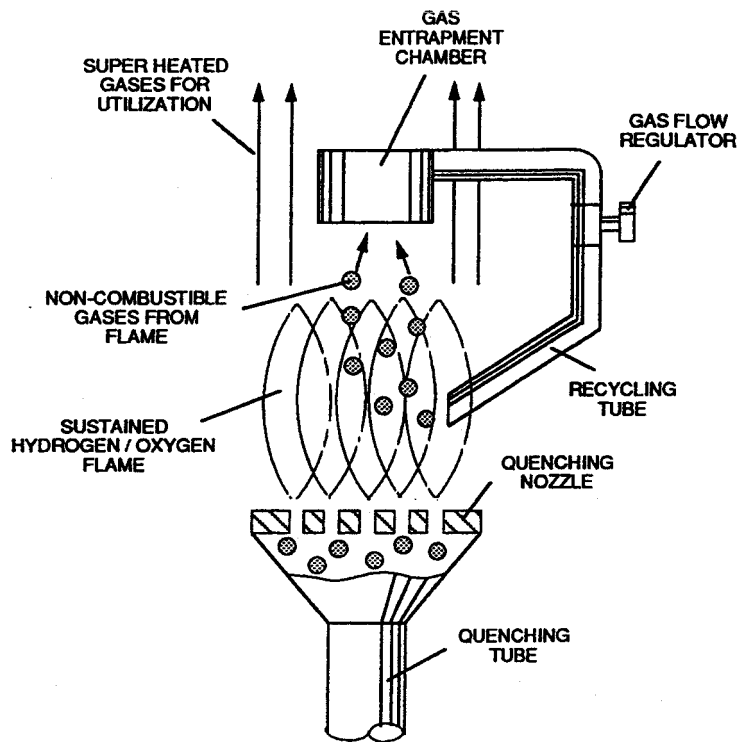
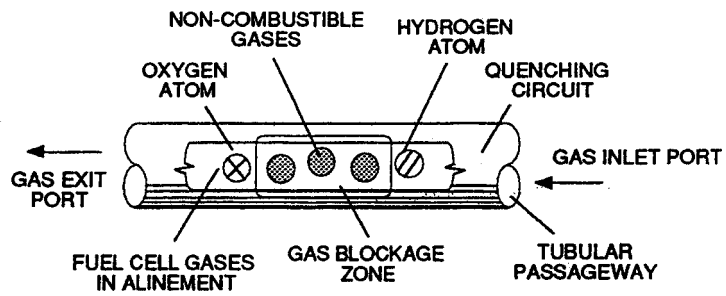


FIGURE 2-4: ADJUSTING FLAME TEMPERATURE



NOTE:

- 1) OXYGEN ATOM MUST UNITE WITH HYDROGEN ATOMS TO CAUSE GAS IGNITION.
- 2) TUBULAR PASSAGEWAY PREVENTS MOVING GAS ATOMS FROM REGROUPING.

FIGURE 2-5: PREVENTING GAS IGNITION

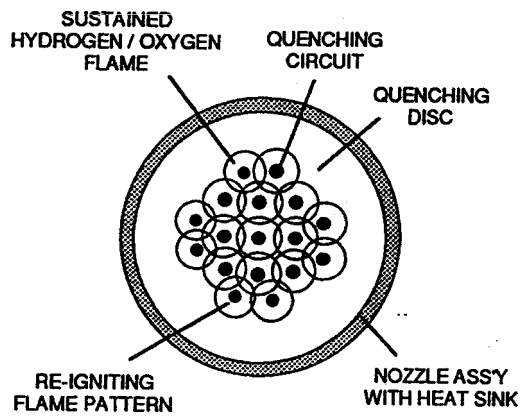


FIGURE 2-6: QUENCHING NOZZLE

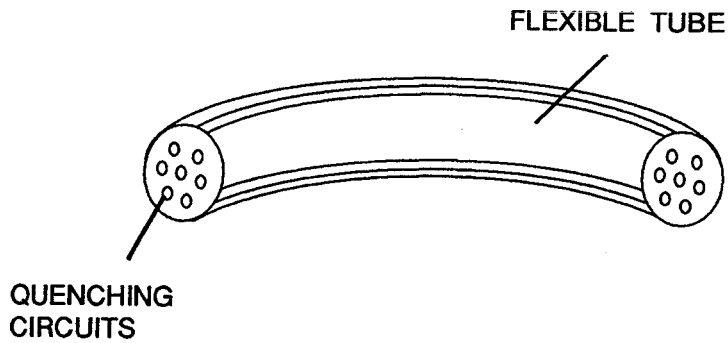


FIGURE 2-7: QUENCHING TUBE ALLOWS HYDROGEN TO BE DISTRIBUTED WITHOUT SPARK-IGNITION

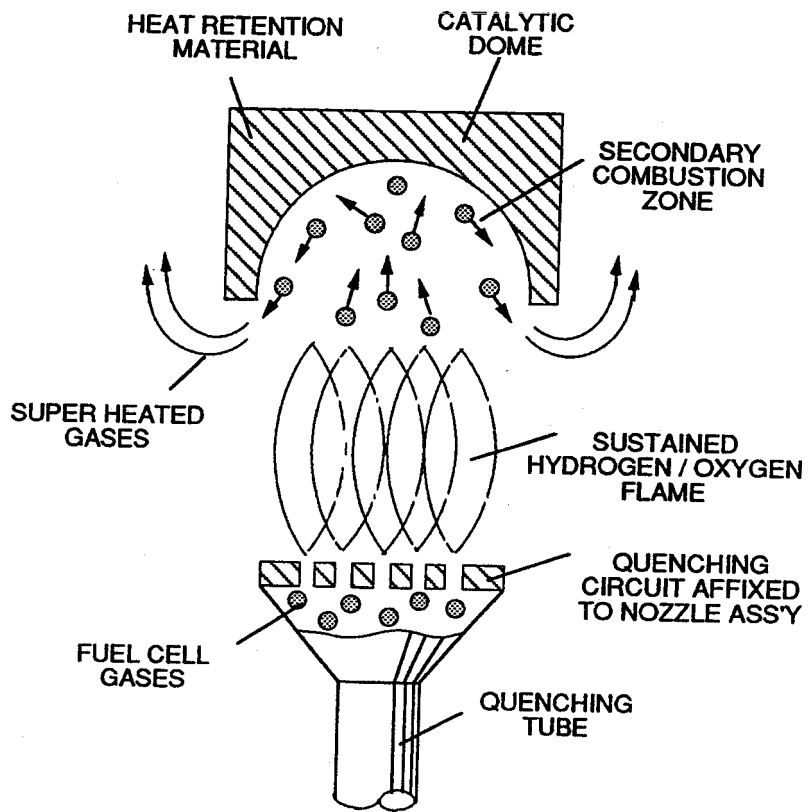


FIGURE 2-8: CATALYTIC BLOCK ASS'Y

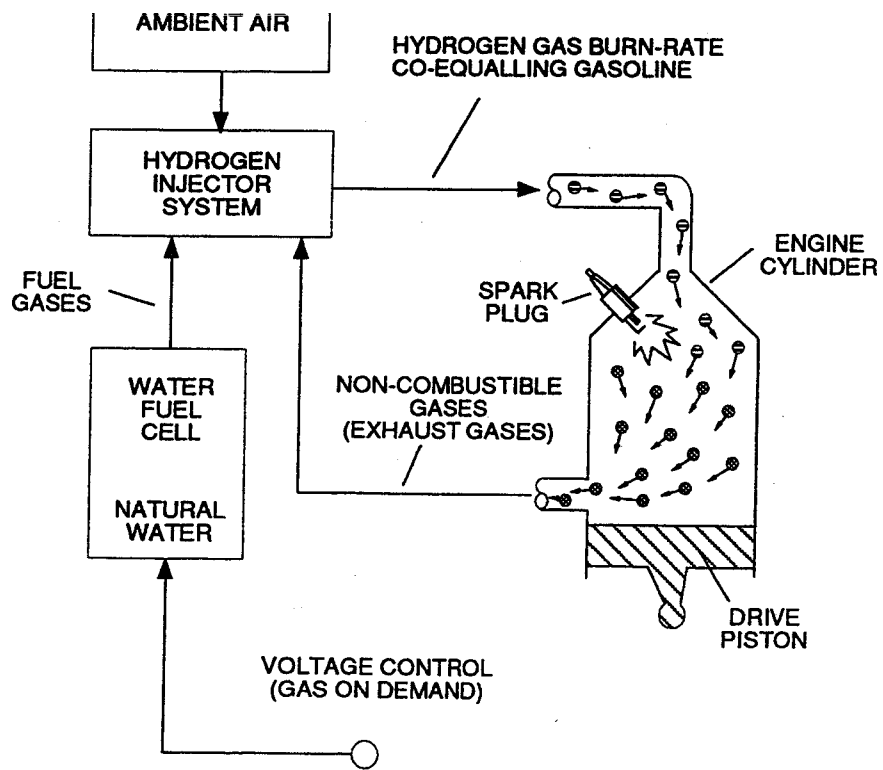


FIGURE 2-9: WATER FUEL CELL RETROFITTED TO A INTERNAL COMBUSTION ENGINE

RE : Extinction de la technologie de circuit

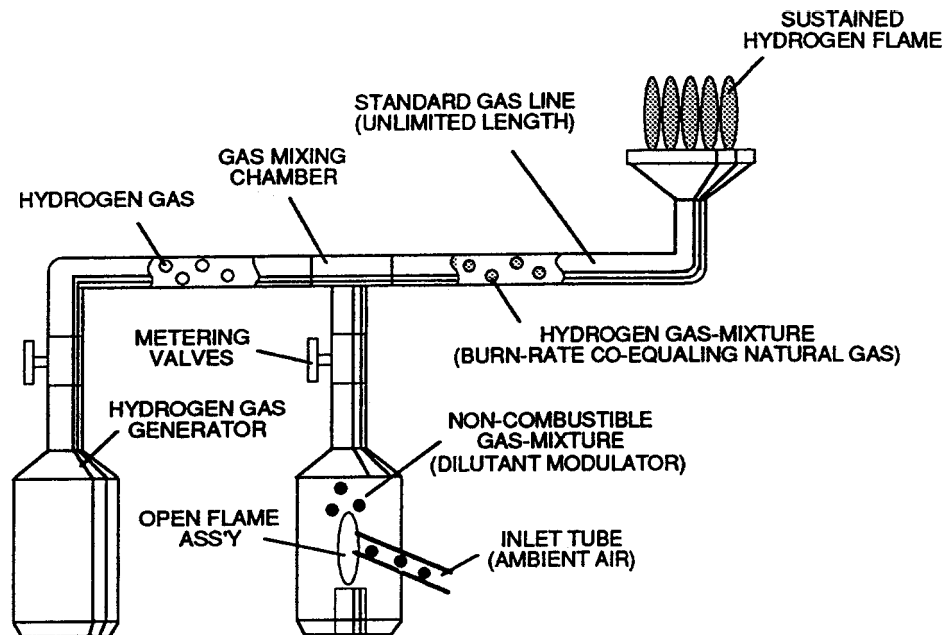


FIGURE 2-10: UTILIZING STANDARD GAS LINE TO TRANSPORT HYDROGEN GAS SAFER THAN NATURAL GAS

320

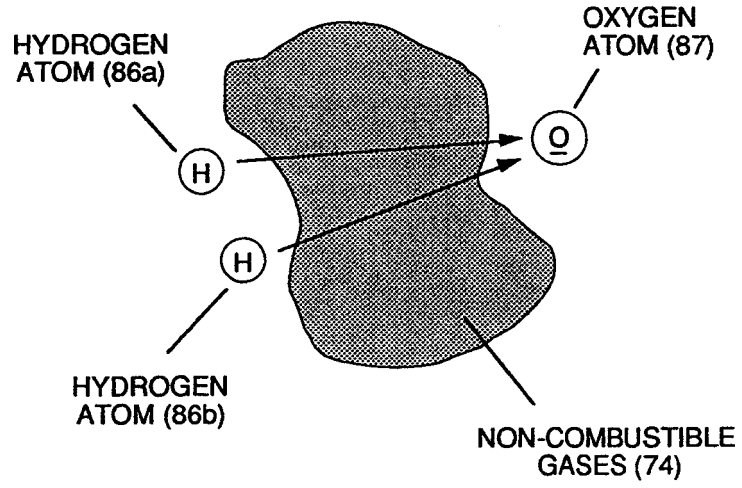


FIGURE 2-11: GAS MODULATOR

Cellule de carburant de l'eau

® de système d'injection de Carburant-Gaz de l'eau de système de gestion de gaz d'hydrogène de WFC

Le système de gestion de gaz d'hydrogène de WFC entoure beaucoup de brevets de traitement dans une pleine approche de système-technologie pour aider à donner une réponse viable au problème d'énergie... en employant la «eau» comme nouveau carburant - source.

Le système de la gestion de gaz d'hydrogène de WFC (GMS) produit non seulement économiquement le «hydrogène - remplissez de combustible» sur demande de l'eau mais, également, rendez l'hydrogène - remplissent de combustible le gaz plus sans risque que naturel... permettant à des voitures, à des camions, ou même à des nettoyages au jet de courir dessus ou d'être actionnés par l'eau.

Le système de la gestion de gaz d'hydrogène de WFC (GMS) est systématiquement activé et exécuté des manières suivantes comme énergie de modification - système... définissant le «mode de l'Operability» sur la façon dont employer la «eau» comme carburant.

Section 3

Note WFC 422 DA

Assemblée d'accélérateur de laser de ® de système d'injection de Carburant-Gaz de l'eau de la GESTION SYSTEM de GAZ d'HYDROGÈNE de WFC (20)

Le circuit d'accélérateur de laser (10) du schéma (4) qui est un élément de l'Assemblée d'accélérateur de laser (20) de figure (3-10) utilise une diode émetteuse d'infrarouge de GaAs (1) de figure (3-9) pour déclencher un récepteur léger de SDP8611 Optoschmitt (2) de figure (3-9) de sur-état tranquille d'état (haute... B+) (13) de logique de rendement (l'irradiance minimum qui commutera le bas de rendement) qui commute ou déclenche l'Optoschmitt (2) produit à l'état fondamental (volts zéro) (12). La longueur d'onde maximale (3) de figure (3-9) étant transmise de la diode émetteuse d'infrarouge (menée) (1) au récepteur d'Optoschmitt (2) est typiquement (935 nanomètre) et permet à la fréquence de base d'Optoschmitt (2) (la vitesse par laquelle l'Optoschmitt change l'état de logique) d'être (100 kilohertz). L'objectif optique (4) de figure (3-10) réoriente et focalise la source lumineuse transmise (3) de figure (3-9) (les vagues légères infrarouges de déplacement) à l'Optoschmitt (2) en passant la source lumineuse par une série d'objectifs concentriques (4a xxx 4n) de figure (3-10) qui devient progressivement plus petite de la surface périphérique externe d'objectif (4a) sur la surface intérieure d'objectif (4n). Les objectifs dans l'espace concentriques (4a xxx 4n) de figure (3-10) fait déclencher l'angle de faisceau de la source lumineuse l'Optoschmitt (2) au delà de l'irradiance minimum qui est nécessaire pour commuter l'Optoschmitt de l'état tranquille (état élevé / B+ de logique) au sur-état (rendement changeant en volts zéro).

La sous-sollicitation linéairement de l'intensité de la lumière est approximativement 1.25mWj le degré C au-dessus de 25 degrés C à une distance spatiale de .500 pouce entre les deux dispositifs infrarouges (1) (2) de figure (3-9) quant à figure (3-10). La source lumineuse transmise (3) est d'ouverture quand une source de courant électrique de 5 volts est appliquée au (1) mené par le resistor chutant (5) par le régulateur de tension (6) relié au système électrique de voiture (7). Ensemble, les dispositifs infrarouges assortis (1) (2) avec l'objectif optique (4) forme le circuit optique (8) de figure (3-9). Grouper les circuits optiques additionnels (8a xxx 8n) dans un arrangement intégré ou linéaire, maintenant, forme le circuit mené de collecte (10) de figure (3-9), suivant les indications de la figure l'ensemble (20) de figure (3-10).

Pour exécuter une fonction de commutateur-logique, lumière - la porte (9) de figure (3-9) quant à figure (3-10) est insérée entre les dispositifs infrarouges assortis (1) (2) et déplacée un déplacement linéaire d'un circuit optique (8x) à un autre circuit optique (8xx), comme illustré dans figure (3-9) (3-10) quant à la figure (37). Une fois que la lumière-porte (9) bloque et empêche le lumière-faisceau de déplacement (3) d'atteindre l'Optoschmitt assorti (8xx), l'obscurcir Optoschmitt (11) (non-activé) change l'état de rendement puisque la force d'irradiance (3) est réduite à, ou au-dessous du point de dégagement... déclenchant vis-à-vis de l'état de logique (12). Comme lumière-porte (9) avance le prochain circuit optique (8xxx) à un nouveau et séparé bas-état

la fonction de logique (12) se produit tandis que les revens optiques précédents du circuit (8xx) de nouveau à la logique de haut-état (13). La lumière-porte avançante (9) exécute encore plus la même commutation (alternative) opposée de logique-état dedans

une façon séquentielle jusqu'à la lumière-porte avançante (9) atteint le dernier circuit optique (8n). Renverser le mouvement de la porte légère (9) exécute la même haute à la basse commutateur-fonction de logique mais à l'envers

ordre séquentiel. Renverser la direction de la lumière-porte (9) rétablit de nouveau l'original

ordre séquentiel de commutation, comme illustré dans figure (3-7) et figure (3-9).

La longévité et la fiabilité de la vie composante est en général 100.000 heures puisqu'a mené le circuit de collecte (10) de figure (3-9) n'utilise aucun contact mécanique pour exécuter la fonction séquentielle de commutateur de logique. la Lumière-porte (9) intégrée avec le circuit mené de collecte (10) composent l'accélérateur de laser (20), suivant les indications de figure (3-10). la Lumière-porte (9) de figure (3-10) est mécaniquement liée à la pédale d'accélération de voiture par la conjugaison de câblage (22).

Le placement opposé des dispositifs infrarouges assortis (1) (2) empêche le déclenchement faux ou faux de l'état de logique du « bas » (12) pendant le déplacement de lumière-porte (9a xxx 9n) du schéma (6) (7) et (8). Si des diodes électroluminescentes (menées) (La xxx dedans) du schéma (8) sont électriquement démontées de l'approvisionnement d'alimentation CC (6), alors les sorties menées du circuit de collecte (10) sont commutateur le « bas » état de logique (12a xxx 12n) qui rejette le signal d'état de logique du « bas » (12), ayant pour résultat un état de « arrêt » au circuit de commande de gaz d'hydrogène (200) de figure (3-1). Le débranchage de l'alimentation d'énergie (6) au choix d'Optoschmitt (2a xxx 2n) de figure (3-9) résultats dans un semblable « a arrêté » la condition au circuit de commande (200), comme encore représenté sur figure (3-1). Des aides du cet le « arrêt » ou état de « Commutateur-au loin » fournissent une cellule de carburant fonctionnelle fiable (120) de figure (3-20) en niant l'accélération indépendante de la volonté du conducteur.

Circuit de commande d'accélération (30)

La lumière-porte mobile (9) de figure (3-9) dans le rapport direct avec le placement physique des circuits optiques (8a xxx 8n), établit une variable de temps (14a xxx 14n) de figure (3-7) des circuits optiques (8x) à un autre circuit optique (8xx) et/ou (8xxx) ou à (8n) puisque le bas état déclenché de logique (12) de figure (3-7) et des mouvements (de 3-8) dans le rapport direct avec la lumière-porte déplacée (9), comme illustré dans figure (3-12). Braquer (se déplacer) la lumière-porte (9) dans la position (8n) prend plus longtemps dans le temps de réponse (14n) que braquant la lumière-porte à la position (8x) et/ou (8xx) ou (8xxxx). Ce temps de réponse variable (14axx... 12... xxI4n) ou signal produit (15) de figure (3-5) est maintenant électriquement transmis au circuit de commande d'accélération (30) de figure (3-5) puisque l'Assemblée d'accélérateur de laser (20) de figure (3-10) convertit le déplacement mécanique (9a xxx 9n) en temps électrique

réponse (14a xxx 14n) de figure (3-7) en déplaçant linéairement (en avant et/ou direction d'inversion) « bas » le signal d'état de logique (12) dans un choix « haut » des signaux de sortie d'état de logique (13a xxx 13n), comme encore illustré dans figure (3-8) et figure (3-12). Dans certains cas signal-logique renversée (12a xxx... 13...

xxI2n) est applicable en employant SDP 8601 Optoschmitt qui commute l'état de logique de l'état tranquille (« bas » « état de logique de haute au ») une fois déactivé.

Puisqu'a mené le circuit de collecte (10) de figure (3-9) actionne jusqu'à 100 kilohertz de gamme ou en haut, sensibilité électrique du l'Opto-circuit (8) fournit une réponse instantanée à l'accélération du conducteur, De-accélération, ou la commande de croisière exige.

Pendant que le rendement de signal (15) du schéma (4) (14a xxx... 12... xxI4n) est reçu par le circuit de commande d'accélération (30) de figure (3-5) quant à figure (3-12), le circuit (30) convertit le temps entrant • signal de réponse (14a xxx... 12... xxI4n) dans une impulsion unipolaire de base de temps variable (16), suivant les indications de figure (3-8). Le circuit (30) balaye électroniquement et automatiquement le rendement signal-rangent (14a xxx... 12... xxI4n) (15) jusqu'à ce que le circuit (30) place, enregistre momentanément, et traduit le temps de réponse (14a xxx... 12) en impulsion unipolaire variable (17/18) de figure (3-8). L'action rapide du circuit de balayage (30) commence toujours à partir de la position (9a) et les mouvements se dirigent (8ax) au point (8axxx) de figure (3-9) (3-12) jusqu'à ce que le logique-point (12) soit détecté. Une fois que le signal de logique (12) est détecté, l'action rapide bascule et réutilise de nouveau à la commencer-position (9a). Ceci qui bascule (chiquenaude en arrière) l'action détermine électroniquement la temps-réponse variable (14a xxx) indépendamment de partout où le point de logique (12) est momentanément déplacé dans l'action de la rangée de circuit (13a xxx 13n). Toggling au débattement complet (13a xxx 13n) se produit dans la gamme (10) du kilohertz ou en haut et ainsi, permet la réponse instantanée aux demandes de l'accélération du conducteur.

du Basculer-temps (balayage - temps) est directement synchronisé d'allumer le déplacement de la porte (9) que, aux tours, le circuit (30) établit plus loin et établit une forme d'impulsion donnée (16) de figure (3-8). Le circuit (30) continue à augmenter la largeur d'impulsion (17axxxx) de figure (3-8) à mesure que le basculer-temps surveillé (de balayage détecté de by<) (14a xxx... 12)) augmente quand le logique-point (12) éloigne plus loin de la commencer-position (9a) à l'arrêter-position (9n), comme encore représenté sur figure (3-13) quant à figure (3-12). La largeur d'impulsion (17a xxx 17n) diminue quand direction (de 12) inverses de logique-point pour commencer. position (9a). En conclusion, le circuit (30) reproduit l'impulsion-forme commandée variable (16) d'une façon répétée continue (16a xxx 16n) de figure (3-13) et transmet électriquement le résultant impulsion-forment le signal (19) au circuit de tension analogique (40), suivant les indications de figure (3-5).

Dans la rétrospection à l'exécution de moteur (atténuation de pédale de gaz) (21) de figure (3-10), une largeur plus large d'impulsion (17a xxx) de la figure (3-13C) augmente (accélère) le moteur T/MN ; considérant que, un plus petit pulse-width (17ax) réduit (De-accélère) le moteur T/MN. La vitesse de croisière (3-13B) de la figure (313) est simplement accomplie quand la largeur d'impulsion

demeure constante.

L'impulsion d'horloge entrante (21a xxx 21n) de figure (3-16) provenant du générateur de fréquence d'impulsion (70) de figure (3-5) établit le balayer-taux (basculer) par lequel l'entrée de signal (15) de figure (3-5) est électroniquement balayée par le circuit (30). L'impulsion d'horloge résultante (21) de figure (3-16) quant à la figure (35) est toujours ajustée pour excéder le temps de réponse du conducteur pour tenir compte de la commande instantanée d'accélération.

Générateur de tension analogique (40)

Le signal numérique produit (19) étant électriquement transmis du circuit de commande accéléré (30) de figure (3-5) est maintenant détecté, traduit, et électroniquement converti en signal de tension analogique (22) qui sont sans interruption proportionnés au signal d'entrée (19) par le circuit de générateur de tension analogique (40) de figure (3-5). Le signal analogique récemment formé (22) de figure (3-14) est un signal de niveau de tension qui change sans interruption dans l'heure et l'amplitude de produire un niveau de tension qui est directement proportionnel au changement physique du train d'impulsion (100 xxx 16n) de figure (3-13). Pendant que la largeur d'impulsion (17ax) de 19 changements de signal (fait cela le niveau de tension analogique produit (23) de figure (3-14). La largeur de élargissement d'impulsion au stopposition (17a xxxx 17n) de figure (3-13) cause le signal analogique (22) de grimper jusqu'à des niveaux plus élevés de tensions ; considérant que, le niveau de tension analogique (22) chute (devenu plus bas en valeur) dans le niveau de tension quand la largeur d'impulsion diminue à la commencer-position (17a). La résultante et le niveau de tension divers (22a xx) change sans à-coup sur une gamme continue des valves de tension (22a xxx 22n) plutôt que dans des étapes discrètes, comme illustré dans le graphique linéaire (23) de figure (3-14).

En termes de fonctionnalité et but, le circuit analogique (40) de figure (3-5) fournit un résultat (commandé) variable de tension (23) dans le rapport direct avec le déplacement léger de la porte (9) qui, aux tours, établit et commande l'action résonnante (160) de figure (3-23) qui produit des gaz de carburant sur demande. Le circuit analogique (40) calibre également la vitesse de marche en ralenti de moteur (22ax) et le moteur maximum T/MN (22a xxx 22n) en ajustant et en maintenant des niveaux bas (24) et à haute tension prédéterminés ou donnés respectivement, comme encore illustré dans figure (3-14). Les valves de tension ou les niveaux (22a xxx 22n) commande simplement le potentiel appliqué de tension à travers l'Assemblée résonnante de cavité (120) de figure (3-22) par le circuit de commande d'amplitude de tension (50) de figure (3-5) que l'IS-IS a électriquement liée à l'enroulement primaire (26) de figure (3-21) du circuit de renforteur de tension (60) de figure (3-5).

Circuit de commande d'amplitude de tension (50)

Le circuit de commande d'amplitude de tension (50) de figure (3-5) exécute plusieurs fonctions simultanément : D'abord, règle le potentiel électrique de tension de batterie de voiture (32) de figure (3-15) étant

RE : Note WFC 422 DA de système de gestion de gaz d'hydrogène de WFC

appliqué à l'enroulement primaire (26) de figure (3-21) ; et deuxièmement, règle la pression de gaz de la cellule de carburant (120) de figure (3-22), comme graphiquement représenté dans figure (3-15).

Chaque étape de normalisation (27) et (28) fonctionne séparément et indépendamment de l'une l'autre mais est ! électroniquement liée ou couplée ensemble pour produire un signal analogique commun (32) ayant un niveau de tension prédéterminé (32a xxx), comme encore représenté sur figure (3-15).

L'étape de régulateur (27) du circuit (50) convertit le potentiel de tension de batterie (29) de figure (3-6) par l'intermédiaire de la borne électrique (31) de figure (3-5) quant à figure (3-6) en signal de tension analogique (32) de figure (3-15) à laquelle correspond mais est électriquement isolée (tension de croisement de deux alimentations d'énergie séparées) dans le signal entrant de volume de gaz (23) de figure (3-14), suivant les indications de figure (35). La gamme variable de tension (32a xxx 32n) d'un (1) jusqu'à douze (12) volts (tension de régulation de batterie) est appliquée à travers l'enroulement primaire (26) du circuit de renforteur de tension (60) de figure (3-21). La deuxième étape de régulateur (28) agit simplement et fonction pendant qu'un régulateur de gaz (33) en empêchant la production de gaz de carburant au delà d'un niveau prédéterminé de pression de gaz (34) de figure (3-15) pendant les opérations de cellules de carburant et, en tant que tels, maintient la pression de gaz constante aux injecteurs de carburant (36) de figure (3-1) indépendamment de l'exécution de moteur (réponse de T/MN). Si par exemple, la production de gaz de carburant est une demande plus grande que, alors, on laisse toujours le signal analogique (32) est réduit au niveau de tension approprié (35) (le niveau de tension détermine directement la pression de gaz par l'intermédiaire de l'action résonnante) exigé pour maintenir la pression de gaz (34), réciproquement, le signal analogique (32) excéder le niveau de tension (35) pendant l'injection (36) de figure (3-1) jusqu'à ce que le gaz-point (34) soit atteint. Dans les cas où les 32 chute de tension linéaires ((valeur descendante) au-dessous du gaz-point (35) intoxiquent alors l'étape de régulateur (28) augmente l'amplitude de tension (32a xxx 32n) (tension analogique) au point de tension (35). Si la pression de gaz (34a xx) si excède le point de gaz (35) pendant l'injecteur en prolongation, la valve de dégagement de pression de gaz (75) de figure (3-24) (gaz exhalant 37 du schéma 3-15) expulse l'extension des gaz de carburant (88) jusqu'à ce que le point de gaz (34) soit ou un circuit de synchronisation de retarder active le circuit de commande de sûreté (14) de figure (3-6) qui, aux tours, coupe ou débranche le courant électrique appliqué (28) au système électrique de cellules de carburant (400) de figure (3-6).

Le circuit logique de gaz (310) de figure (3-5) fournit la fonction de logique au circuit de commande d'amplitude de tension (50) pour maintenir la pression de gaz appropriée d'intoxiquer l'injecteur (36) de figure (3-1) en surveillant électroniquement la pression de gaz réalisée par l'intermédiaire de la sonde de pression (73) de figure (3-24).

En termes d'operability, l'Assemblée d'accélérateur de laser (20) de figure (3-5), maintenant, atténue le potentiel de tension de batterie (32a xxx 32n) qui est électriquement relié à la tension

Circuit de renforteur (60) de figure (3-5).

RE : Générateur de fréquence variable d'impulsion de la note WFC 422 DA de système de gestion de gaz d'hydrogène de WFC (70)

Le circuit (70) de figure (3-5) est multi un générateur d'impulsion-fréquence qui produit plusieurs impulsions d'horloge (simultanément) ayant l'impulsion-fréquence différente mais maintenant configurations d'impulsion de temps d'utilisation de 50% des 39) (, comme illustré dans figure (3-16). La période active d'impulsion (37) et l'impulsion en prolongation (38) sont également déplacées à l'impulsion de devoir de forme (39) qui sont reproduites en succession pour produire le train d'impulsion (41) de figure (3-16). L'augmentation du nombre de devoir palpite (39axxx 39n) jusqu'à la gamme de fréquence d'impulsion de 10Khz ou au-dessus de maintenant forme le signal d'horloge (21) de figure (3-5) qui, aux tours, exécute la fonction de balayage du circuit de commande d'accélération (30) de figure (3-5). Le circuit (70) produit également un indépendant et un signal séparé différents d'horloge (41a xxx 41n) à lesquels est électriquement communiqué et le signal entrant devenu d'horloge (42) pour le circuit à déchenchements périodiques de générateur de fréquence d'impulsion (80) de figure (3-5). Dans les deux cas, la gamme de fréquence d'impulsion de chaque signal d'horloge (21) et (42) peut être changée ou le changement (indépendant commandé de l'un l'autre) pour obtenir la crête : exécution du système de cellules de carburant (100) de figure (3-5).

Générateur de fréquence à déchenchements périodiques d'impulsion (80)

Le circuit à déchenchements périodiques d'impulsion (80) de figure (3-5) commute le « off et les sections de « ON » du signal entrant d'horloge (42) à l'impulsion à déchenchements périodiques par forme (45) qui, alternativement, sont reproduites en succession pour produire le train d'impulsion à déchenchements périodiques (46a xxx 46n) de figure (3-17). Ensemble le train d'impulsion (44a xxx 44n) et formes de l'offtime d'impulsion 43) (ont déclenché le temps d'utilisation d'impulsion (45). Le train d'impulsion (44a xxx 44n) est exactement identique que le train d'impulsion (41a xxx 41n) et sa fréquence établie d'impulsion (le nombre d'impulsion fait un cycle par unité de temps) change uniformément quand le générateur d'impulsion (70) de figure (3-5) est calibré et ajusté aux exploitations du système.

L'impulsion à déchenchements périodiques récemment formée de devoir (45) est proportionnelle au changement physique du train d'impulsion (44a xxx 44n) quand le circuit (80) est ajusté au calibrage. Le train d'impulsion (44a xxx 44n) devient s'élargissent tandis que la largeur en prolongation d'impulsion (43) devient plus petite, simultanément. Réciproquement, vis-à-vis de l'impulsion la formation se produit quand le circuit (80) de figure (3-5) est calibré à l'envers l'ordre.

Circuit de conducteur de cellules (90)

Dans l'un ou l'autre cas, la résultante ou le train d'impulsion divers (47a xxx 47n) (calibrage de 44a xxx 44n) devient le signal d'impulsion à déchenchements périodiques entrant (48) de figure (3-5) au circuit de conducteur de cellules (90) de figure (3-5) à la laquelle exécute une fonction de commutation en commutant le « off et la terre électrique de « ON » étant appliqués

RE : Note WFC 422 DA de système de gestion de gaz d'hydrogène de WFC côté opposé (48) de l'enroulement primaire (26) de figure (3-19). La forme résultante de vague d'impulsion (49a xxx 49n) de figure (3-18) superposé sur l'enroulement primaire (26) est reproduction exacte du train d'impulsion proportionnel (47a xxx 47n). Cependant, chaque train d'impulsion (47) (49) sont électriquement isolés entre eux. Seulement le pont de tension de l'alimentation d'énergie réglée (150) en figure (3-6) à l'offre de batterie (28) se produit, comme illustré dans figure (3-6).

Circuit de renforteur de tension (60)

En intégrant et en joignant ensemble le signal de commande variable d'amplitude de tension (318 xxx 32n) de figure (3-15) avec la commutateur-porte commandée variable (49a xxx 49n) de figure (3-18) à travers l'enroulement primaire (26) de figure (3-22), l'amplitude variable impulsion-forment (51a xxx 51n) de figure (3-19) est électromagnétiquement couplée (action de transformateur) à l'enroulement secondaire (52) de figure (3-22) par le noyau de palpitation (53) de figure (3-23) quant à figure (3-22).

Le signal de tension analogique (32a xxx 32n) de figure (3-15) permet à l'amplitude de tension du train d'impulsion (51a xxx 51n) (navigation verticale de v_o xxx) de figure (3-19) de changer d'un jusqu'à douze volts (offre 28 de batterie de figure 3-6) en atténuant le circuit d'accélérateur de laser (10) de figure (3-5) par l'intermédiaire du circuit de commande de gaz d'hydrogène (100). Le générateur de fréquence variable d'impulsion (70) de figure (3-5) change et ajuste la fréquence d'impulsion (63) (impulsion de temps d'utilisation de 50%) tandis que le générateur de fréquence à débranchements périodiques d'impulsion (80) de figure (3-5) change et ajuste la largeur d'impulsion (54a xxx 54n). Ces dispositifs commandés et variables d'impulsion sont maintenant traduits au train d'impulsion de remplissage résonnant (65a xxx 65n) de figure (3-21) par l'intermédiaire du train d'impulsion unipolaire (64a xxx 64n) de figure (3-20) pendant l'action résonnante (160) de figure (3-26) quand l'accouplement de signal est appliqué à travers la cavité résonnante (170) de figure (3-24) par l'intermédiaire de la zone positive de tension (66).

Le potentiel électrique négatif de tension (61) de la vague d'impulsion (65a xxx 65n) de figure (3-21) est simultanément appliqué à la zone négative de tension (67) par l'intermédiaire de la bobine de remplissage résonnante (62) de la figure (3-22) qui est électriquement liée à l'extrémité opposée de l'enroulement primaire (26). L'accouplement résultant de signal (65a xx 65n) de figure (3-21) le noyau est accompli puisque primaire lovez (26), de palpitation (53), l'enroulement secondaire (52), commutant la diode (55), la bobine de remplissage résonnante (56), la cavité résonnante (170), l'eau normale (68), et les 62) circuits de remplissage résonnant variable de renforteur de tension de formes de bobine ((60) de figure (3-22), comme illustré dans figure (3-22) quant à figure (3-23). La terre électrique négative (61) du circuit de renforteur de tension (60) de figure (3-22) est électriquement isolée dans l'electrical primaire rectifié (48) de figure (3-22).

Le transformateur de palpitation (26/52) de figure (3-22) intensifie le potentiel d'amplitude de tension ou de tension (navigation verticale de v_o xxx) de figure (3-19) pendant les opérations de palpitation.

L'enroulement primaire (26) est électriquement

RE : Note WFC 422 DA de système de gestion de gaz d'hydrogène de WFC

d'isolement (aucun raccordement électrique entre _26 primaire et - secondaire d'enroulement pour former circuit de renforteur de tension (60) de figure (3-22). Le potentiel d'amplitude de tension ou de tension (navigation verticale de Vo xxx) est augmenté quand l'enroulement secondaire (52) est enveloppé avec plus de tours de fil. La terre électrique d'isolement

(61) empêche l'écoulement d'électron de l'au sol de circuit d'entrée (48).

La diode de commutation (55) de figure (3-22) agit non seulement en tant que diode de blocage en empêchant « court-circuiter » électrique à l'enroulement secondaire (52) pendant l'impulsion en prolongation (69) de figure (3-20) puisque la diode (55) « seulement » conduit l'énergie électrique dans la direction de la flèche schématique ; mais, aussi, et en même temps fonctions comme commutateur électronique qui ouvre le circuit électrique (60) pendant l'offtime d'impulsion... permettant à des champs magnétiques des deux enroulements d'inducteur (56/57) de s'effondrer... formant le train d'impulsion (64a xxx 64n).

La bobine de remplissage résonnante (56) en série avec Excitor-Rangent (160) de la figure (25) formes un circuit d'inducteur-condensateur (180) de figure (3-28) puisqu'Excitor-Rangez (66/67) les actes et exécutent comme condensateur (liquide diélectrique entre les plats électriques opposés) pendant les opérations de palpitation. Les propriétés diélectriques (isolateur à l'écoulement des ampères) de l'eau normale (68) de figure (3-28) quant à figure (3-26) (constante diélectrique de l'eau étant 78.54 @ 20C dans 1 pression atmosphérique) entre les plats électriques (66/67) forme le condensateur (57), comme illustré dedans (170) de figure (3-25). L'eau devient maintenant une partie de circuit de renforteur de tension sous forme de « résistance » entre la terre électrique (67) et le potentiel positif de pulsefrequency (66)... aidant à empêcher l'écoulement d'électron dans le circuit de palpitation (60) de figure (3-22).

57) propriétés de l'inducteur (56) et du condensateur (de circuit de LC (180) « est donc accordées » à résonnant à une fréquence donnée. La fréquence de résonance (63) de figure (3-19) peut être augmentée ou abaissée en changeant les 57) valves de l'inductance (56) et/ou de la capacité (. La fréquence de résonance établie est, naturellement, indépendant d'amplitude de tension, comme illustré dans figure (3-21) quant à figure (3-18). La valeur de l'inducteur (56), valeur du condensateur (57), et l'impulsion-fréquence (63) de tension (navigation verticale de Yo xxx)

étant appliqué à travers le circuit de LC a déterminé l'impédance du circuit de LC (le schéma 3-28).

L'impédance de l'inducteur (56) et du condensateur (57) en série, série de Z est donnée près (Eq 1)

$$Z_{series} = (X_c - X_l)$$

là où

(Eq 2)

$$X_c = \frac{1}{2\pi f c}$$

(Eq 3)

$$X_l = 2\pi f l$$

La fréquence de résonance (63) du circuit de LC en série est indiquée près

$$F = \frac{1}{2\pi \sqrt{LC}}$$

(Eq 4)

La loi de l'ohm du circuit de LC (180) de figure (3-28) en série est donnée près

$$V_t = I Z$$

(Eq 5)

La tension à travers l'inducteur (56) ou le condensateur (57) est la tension appliquée plus grande que (49) de la figure (318). À la fréquence près de la résonance, la tension à travers les différents composants est plus haute que la tension appliquée (49), et, à la fréquence de résonance, la tension (V_t) de figure (3-28) à travers l'inducteur et le condensateur sont théoriquement infinies. Cependant, les contraintes physiques des composants et de l'interaction de circuit empêche la tension de l'infini de atteinte.

La tension (V_l) à travers l'inducteur (56) est donnée par équation (Eq 6) -

$$V_l = \frac{V_t X_l}{(X_l - X_c)}$$

La tension (V_c) de figure (3-28) à travers le condensateur est donnée près (Eq 7)

$$V_c = \frac{V_t X_c}{(X_l - X_c)}$$

Pendant l'interaction résonnante, le train d'impulsion unipolaire entrant (64a xxx 64n) de figure (320) quant à figure (3-21) produit un effet de tension de charge d'étape à travers excitor-rangent (66/67) (57) As

ainsi illustré dans figure (3-21). Augmentations d'intensité de tension de zéro « terre-état » à un potentiel positif élevé de tension d'une fonction progressive. Une fois que la tension-impulsion (64) est terminée ou commutateur-au loin, le potentiel de tension revient au « terre-état » (61) ou au terre-état proche (la diode _55 maintient la tension chargée à travers le condensateur _57) pour commencer l'excédent de procédé de débattement de tension encore pendant que le train d'impulsion (64a xxx 64n) continue à être reproduit.

La « intensité ou niveau de tension à travers l'excitator anay (57) peut excéder 20.000 volts de dû à l'interaction de circuit (60) et est directement liée à l'entrée variable d'amplitude du train

$$Z = \sqrt{R_I^2 + (X_L - X_C)^2}$$

d'impulsion (64a xxx 64n).

L'inducteur (56) est fait de ou composé de fil résistif pour promouvoir limite l'écoulement courant de C.C au delà de la réaction d'inductance (XL), et, est donné près

(Eq 8)

Variable inducteur-lovez (62) de figure (3-22), semblable à l'inducteur (56) relié à la zone opposée de tension de polarité (67) empêche plus loin le mouvement ou le débattement d'électron dans le circuit de renforçateur de tension (60). Le bras mobile d'essuie-glace (73) de figure (3-22) amende « accorde » « l'action résonnante » pendant les opérations de palpitation. L'inducteur (62) dans le rapport avec l'inducteur (56) équilibre électriquement le potentiel électrique opposé à travers la zone de tension (66/67).

Puisque l'enroulement de collecte (52) également se compose de ou est fait en résistif fil-lovez, alors, résistance totale de circuit est donné près

(Eq 9)

$$Z = R_I + Z_2 + Z_3 + R_E$$

AU SUJET de là où, est la constante diélectrique de l'eau normale. La loi de l'ohm quant au courant

$$E = IR$$

électrique appliqué, qui est

(Eq 10)

RE : Note WFC 422 DA de système de gestion de gaz d'hydrogène de WFC où,
(Eq 11)

$$P = EI$$

Par lequel,

le courant électrique (p) est un rapport linéaire entre deux variables, tensions (e) et ampères de (i).

La restriction d'ampère au delà « de l'action résonnante » se produit quand l'accouplement de champ magnétique unipolaire (71) de figure (3-23) est permis de chuter simultanément (champ magnétique de palpitation) à travers les deux bobines de remplissage résonnantes (56/62) pendant les opérations de palpitation puisque la masse d'électron est une entité électromagnétique qui est sujette à des champs d'inducteur (56/62) produits par le champ magnétique de palpitation (71a xxx 71n) de figure (3-23). La fuite d'ampère (électron couplant à l'eau) au bain d'eau (68) de figure (3-24) est encore empêchée en encapsulant la cavité résonnante (57) en matériel de delrin (72) de figure (3-25) qui est un isolateur électrique à la tension. Valeurs matérielle d'isolateur de Delrin (les 72) demeurent intact puisque le matériel d'isolation (72) est résilient à l'absorption d'eau.

En soi, alors, le noyau de palpitation (53) de figure (3-23) facilite la restriction d'ampère tandis que le circuit de renforteur de tension (190) « est accordé » (ajustant impulsion-fréquence 49n 63 de train d'impulsion 49a xxx par l'intermédiaire de générateur de fréquence d'impulsion 70 du schéma 3-5) pour assortir les propriétés de fréquence de résonance du bain d'eau (68) de figure (3-22), comme illustré en cellule de carburant (120) de figure (3-24). Le circuit de interface résultant de tension (190), maintenant, expose la molécule d'eau (210) de figure (3-27) à un champ de forte intensité de palpitation de tension (65a xxx 65n) de la polarité opposée (66/67) tandis qu'écoulement limiteur d'ampère dans le circuit (60) de la figure (322).

Dynamique de tension

La tension est « pression électrique » ou « force électrique » dans le circuit électrique (60) et est connue comme potentiel de tension (65a xxx 65n) de figure (3-21). Plus le potentiel de tension (navigation verticale de V_0 xxx) est haut, plus grande « la force électrique d'attraction » (qq') ou « force répulsive électrique » (ww') de

Figure (3-29) est appliquée au circuit électrique (60) de figure (3-22). Le potentiel de tension (65) est un énergie-état « inchangé » ou « inchangé » quand le « mouvement d'électron » ou le « débattement d'électron » est empêché ou limité dans le circuit électrique (190) de figure (3-23).

À la différence des frais de tension dans le circuit électrique (60) intensifie « la force électrique d'attraction » (qq') ; considérant que, comme les frais électriques dans le même circuit électrique (60) encourage « repousser l'action » (ww'), comme illustré dans figure (3-29). Dans les deux cas, le débattement ou le mouvement de charge électrique est directement lié à la tension appliquée (65). Ces « forces » électriques sont connues en tant que champs de tension de « » et peuvent exhiber (67) des charges électriques positive (66) ou négative.

De même, des ions ou les particules chargées (atomes ayant absent ou partageant des électrons entre à la différence des atomes) dans le circuit électrique (60) ayant à la différence des frais électriques sont attirés entre eux. Les ions ou les particules amassent ayant la même chose ou comme les frais électriques s'écartera les uns des autres, comme illustré dedans (220) de figure (3-29).

En outre, les ions ou les particules chargés électriques peuvent se déplacer vers les champs stationnaires de tension ou les zones de tension (66/67) de la polarité opposée, et, est données par la loi de Newton's deuxièmes

(Eq 12)

$$A = \frac{F}{M}$$

Là où, l'accélération (a) d'une masse de particules (m) a agi dessus par une force nette (f).

Par lequel, la force nette (f) soit « la force électrique d'attraction » (le qq') entre l'opposé a électriquement chargé les entités (210) de figure (3-27), et, est donné par la loi de Coulomb's

(Eq 13)

Considérant que, la différence du potentiel entre deux frais est mesurée par le travail nécessaire pour

$$F = \frac{qq'}{R^2}$$

apporter

RE : La note WFC 422 DA de système de gestion de gaz d'hydrogène de WFC les frais ensemble, an~ est donnée près

(Eq 14)

Le potentiel à un point à une charge (q) à une distance R dans un milieu dont la constante diélectrique est (ϵ). Molécule d'eau électriquement chargée

$$V = \frac{q}{\epsilon R}$$

Structure atomique d'un atome (76) et (77) de figure (3-27) objets exposés deux types des entités de masse chargées électriques, des électrons orbitaux (79) ayant les charges électriques négatives (-) et d'un noyau (84) (au moins un proton) faisant charger un élém. élect. positif (+). La charge électrique positive du noyau égale le total de somme de tous les électrons chargés électriques négatifs quand l'atome est dans le « stablestate. » Dans l'état ou le normal-état stable, le nombre d'électrons égale le nombre de protons pour ne donner à l'atome « non » filet la charge électrique.

Toutes les fois qu'un ou plusieurs électrons « sont délogés » de l'atome, l'atome prendre-sur une charge électrique positive nette et s'appelle un ion positif. Si un électron combine avec un atome stable ou normal, l'atome a une charge négative nette et s'appelle un ion négatif.

le « potentiel de tension (65) dans le circuit électrique (60) peut causer un ou plusieurs électrons (79) d'être délogé de l'atome de molécule d'eau (85) de figure (3-26) due à l'attraction électrique opposée de polarité (qq') de figure (3-29) entre à la différence des entités chargées, suivant les indications de (160) de figure (326) quant aux lois de newton et du coulomb de l'électrique-force. Ces mêmes lois de l'électrique-force (le qq') est employé pour combiner ou joindre des atomes ensemble par la liaison covalente (vis-à-vis des forces électriques) pour former une molécule de l'eau (85), comme illustré dedans (210) de figure (3-27).

La molécule liquide de l'eau (210) de figure (3-27) est formée quand les deux atomes d'hydrogène

(77a 1B) prendre-sur « une charge électrique positive » nette (78), qui est, égale « à la charge électrique négative » nette (81) de l'atome d'oxygène (76). La force électrique résultante (qq') entre l'opposé

les 76) atomes chargés électriques de l'hydrogène (77) et de l'oxygène (garde la molécule d'eau (210) intact

quand l'atome d'hydrogène (77) partage son électron (84) avec l'atome d'oxygène (76). La force électrique de la force d'attraction (le qq') entre les atomes de molécule d'eau est déterminé par la taille électrique des atomes d'hydrogène et le déplacement de ses électrons chargés négatifs (84) pendant le partage covalent. L'atome d'oxygène devient élém. élect. négatif chargé (81) depuis l'atome d'oxygène (76), maintenant, a un total de dix électrons chargés négatifs (79a xxx 79n) en son « K » plus « L » orbites tandis que le maintien de lui est les huit protons chargés positifs originaux qui compose le noyau de l'oxygène (83). Puisque le proton d'hydrogène (84) (noyau d'hydrogène) restent (après lien covalent vers le haut), puis l'atome d'hydrogène prendre-sur un positif chargé (78) Co-égalant la charge positive du proton de noyau d'hydrogène (84). Ensemble, toute la charge nette de la molécule d'eau (85) est zéro malgré le fait que chaque atome de molécule d'eau maintient sa charge électrique. En d'autres termes, la molécule d'eau (85) est une molécule électriquement bipolaire ayant une configuration stable des atomes chargés liés ensemble par la force électrostatique (qq'). Les forces électromagnétiques de liaison entre à la différence des atomes (76n7) sont négligeables ou non-existence, depuis électrons d'atome d'oxygène 76) (sont appareillées ensemble, tout en tournant dans la direction opposée qui, alternativement, cause l'atome d'oxygène (76) être électromagnétiquement neutre à l'atome d'hydrogène (77). La théorie d'électron de magnétisme exige des électrons orbitaux de tourner dans la même direction avant qu'un atome puisse montrer un champ électromagnétique. En outre, la force électrique externe (66/67) peut changer les propriétés électromagnétiques d'un atome puisque la force électromagnétique dépend du mouvement des particules chargées dans un domaine électrostatique. le circuit de renforteur de tension (190) de figure (3-23), maintenant, permet la tension dissocie la molécule d'eau (85) en surmontant la force électrostatique de liaison (qq') entre à la différence d'atomes (76n7) tandis qu'écoulement limiteur d'ampère, comme illustré dedans (160) de figure (3-26).

Processus électrique de polarisation

Placement d'un potentiel de tension d'impulsion (65) à travers les plats d'Excitor ($EL !E2$) (la tension répartit en zones 66/67) de figure (3-29) quant à figure (3-26) tandis qu'empêcher et empêcher l'écoulement d'électron dans le circuit de renforteur de tension (190) de figure (3-23) fait séparer la molécule d'eau (210) de figure (3-27) dans ses éléments (les gaz libérés d'hydrogène et de l'oxygène) en

écartant (utilisant

RE : Note WFC 422 DA de système de gestion de gaz d'hydrogène de WFC
forces opposées *solides solubles* d'attraction et RR') ses atomes chargés de molécule d'eau (76n7),
comme illustré dedans (160) de figure (3-26).

Le tension-champ électrique « positif » stationnaire (66) (EL de plat de tension) attire non seulement l'atome d'oxygène chargé négatif (76) mais tire également les électrons covalents chargés négatifs partis (84) de la molécule d'eau (210). En même temps le champ électrique « négatif » stationnaire de tension (67) (plat E2 de tension) attire les atomes chargés positifs d'hydrogène (77a/b). Une fois que l'atome d'oxygène électriquement chargé de négatif (76) est délogé de la molécule d'eau (85), la liaison covalente (partageant des électrons entre les atomes) cesse force électrique d'attraction d'exister, de commutation-au loin et perturber (qq') entre à la différence d'atomes (76/77), comme encore illustré dedans (160) de figure (3-26).

Force électrique d'attraction de polarité opposée (le SS') continue à faire émigrer l'atome d'oxygène chargé négatif (76) au tension-plat positif (E1) (zone positive 66 de tension) ; tandis que, en même temps, vis-à-vis de la force électrique d'attraction de polarité (le RR') fait émigrer les atomes chargés positifs d'hydrogène (77a/b) dans la direction opposée au tension-plat négatif (E2) (zone négative 67 de tension) pendant qu'étape-chargeant tension-ondulez (65) augmentations d'amplitude de tension de plusieurs millivolts à plusieurs centaines de volts pendant chaque train d'impulsion (65a xxx 65n) qui, dans l'application, fait prolonger la molécule d'eau (210) de figure (3-27) les atomes chargés (76/77) (distance croissante entre à la différence des atomes 76/77) au point où les électrons covalents d'hydrogène (84) de figure (3-27) se détache de la force électrostatique (qq'). La duplication réitérée de l'impulsion de tension (65a xxx 65n) continue à séparer ou dédoubler à part d'autres molécules d'eau (85a xxx 85n) qui, aux tours, forme l'hydrogène (86) et le gaz-mélange de l'oxygène (87) (88) de figure (3-24). La dissociation de la molécule d'eau (85) par la stimulation de tension (65) s'appelle ci-dessus « le processus électrique de polarisation », comme illustré dedans (160) de figure (3-26).

Action résonnante

La soumission et exposer de la molécule d'eau (85) encore à des niveaux de tension plus élevés (xxx navigation verticale) (jusqu'et au delà derrière plusieurs mille volts) fait entrer l'of'Figure de bain d'eau (91) (3-30) quant à figure (3-25) dans un état d'ionisation en permettant vis-à-vis des forces de polarité (TT') et (UU') pour éjecter un ou

plus d'électrons (92a xxx 92n) des atomes de bain d'eau (93). Force électrique intensifiée d'attraction (TT') les causes ont délogé les électrons chargés négatifs (92) pour émigrer au tension-plat positif (EL) tandis que force électrique d'attraction (l'UU') fait voyager le noyau chargé positif d'atome (94) vers le négatif tension-plat (E2). Force électrique appliquée d'attraction (TT') et (UU') étant toujours de la tension égale l'intensité mais l'opposé dans la polarité électrique comme amplitude de tension (65) est atténuée.

Réplique des forces plus élevées de tension (TT') et (l'UU') pendant les opérations de palpitation cause un dégagement continu d'autres électrons (92a xxx 92n) d'autres atomes de bain d'eau (93a xxx 93n) qui, dans la pratique, augmente les frais électriques du bain d'eau (91) puisque le bain d'eau (91) est un liquide diélectrique. Atomes de bain d'eau (93a xxx 93n) ayant les électrons absents (92) prendre-sur un élém. élect. positif chargé (aux 95) lesquels est sujet et déplacé par la force électrique négative (UU') ; par lequel, libérée et libérez les électrons flottants de charge négative (92) sont sujets à et se déplacent par la force électrique positive (TT'). Appliqué ensemble, forces électriques (TT') et (l'UU'), maintenant, cause ces déplacer les particules électriquement chargées pour superposer un impact physique au processus électrique de polarisation (160), suivant les indications (170) de la figure (325)... de de ce fait, augmentant gaz-rapportent (88) encore plus.

En atténuant l'amplitude de tension (V_0 xxx Y_n) en même temps que le pulse-width (65a xxx 65n) permet le circuit de renforceur de tension (190) de figure (3-23) à accorder-dans et assortit les caractéristiques résonnantes ou la fréquence de résonance du bain d'eau (91) puisque le bain d'eau (91) maintient toujours ses propriétés diélectriques pendant les opérations de palpitation. À la résonance, le processus électrique de polarisation (160) agit l'un sur l'autre uniformément avec les particules chargées libérées (92/95) de figure (3-25) pour obtenir un plus haut encore gaz-rapportent (88) au débattement maximum de tension (xxx navigation verticale). The a établi la fréquence de résonance est le plus généralement dans la gamme audio de 1 kilohertz jusqu'et au delà derrière 10 KHz ; et dépend de la quantité de contaminants dans l'eau normale. Oscillant et superposant les particules chargées électriques au processus électrique de polarisation à une impulsion-fréquence donnée, maintenant, s'appelle ci-dessus « l'action résonnante », comme illustré dedans (240) de la figure (325).

Pour atteindre maximum gaz-rapportent (88) la cavité résonnante (170) de figure (3-25) sont formés dans une structure tubulaire (le tube d'en général 0.50 po. de diamètre inséré dans le tube de 0.75 po. de diamètre ayant un .0625 air-gap concentrique 3 s'avance petit à petit longtemps) qui fonctionne comme guide d'ondes longitudinal pour augmenter le mouvement de particules dans un écart latéral ou angulaire aux champs appliqués de tension (66/67). Isolé

RE : Note WFC 422 DA de système de gestion de gaz d'hydrogène de WFC

loger (72) empêche la tension couplant au bain d'eau (68) qui permettent à l'amplitude appliquée de tension (xxx navigation verticale) de demeurer constante à travers la production stabilisante de gaz des molécules d'eau (85a xxx 85n)... pendant la stimulation de tension (65), suivant les indications de (120) de figure (3-24). Pour empêcher plus loin la fluctuation de tension pendant l'action résonnante, la technique de boucle de serrure de phase du circuit d'indicateur d'impulsion (110) est utilisée pendant les opérations de palpitation. Le carburant-gaz résultant (88) est maintenant transféré en éteignant le tube (96) de figure (3-41), par et au delà derrière les injecteurs de carburant (36) de figure (3-1) pour l'utilisation de gaz d'hydrogène.

Dans les cas où l'amplitude appliquée de tension est de rester constante tout en favorisant l'action résonnante pendant le commande-état, le train d'impulsion entrant (64a xxx 64n) est indépendant changé de l'amplitude de tension pour atténuer l'intensité de tension (66/67) qui, aux tours, production de gaz d'effet. Dans d'autres applications, l'amplitude de tension (66/67) dans le rapport direct avec impulsion-forment (64a xxx 64n) peut être changée ensemble d'une façon progressive pour commander plus loin la production de gaz. Ou impulsion-formez (64a xxx 64n) peut rester constant tandis que l'amplitude de tension est changée. Dans tous les cas, l'action résonnante est favorisée au gaz d'hydrogène de produit sur demande.

En termes de longévité, les zones de tension (E11E2) se composent de ou sont faites de matériel T304 en acier inoxydable qui est chimiquement inerte à l'hydrogène, à l'oxygène, et aux gaz ambiants d'air (gaz dissous dans l'eau) étant libérés du bain d'eau (68) pendant la stimulation de tension (65). Sous l'essai en laboratoire certifié réel l'expectance qu'en acier inoxydable de TI04life (décomposition matérielle) est .0001 par an puisque la tension (65) est une force physique, installant un environnement de non-produit chimique puisque la consommation d'ampères est limitée à un minimum et « non » électrolyte n'est ajouté au bain d'eau (68). Dans la pratique, la tension en acier inoxydable plaque (E11E2) forme physiquement les zones de tension (66/67) indépendamment de la forme ou de la configuration géométrique de la cavité résonnante (170).

Sous l'allumage de gaz ou le processus normal de combustion de gaz, les Carburant-Gaz libérés (88) de figure (3-39) quant à figure (3-24) produit net un rendement thermique d'énergie explosive (gtnt) d'essence plus grande que d'approximativement 2 rimes de ½.

Processus de modulateur de gaz

Les gaz dissous d'air (97) de figure (3-39) étant uniformément libérée du bain d'eau (85) par l'intermédiaire du processus électrique de polarisation (160) de figure (3-26) est automatiquement entremêlés de l'hydrogène libéré (86) et de 87) atomes de gaz de l'oxygène ((également dérivés de bain d'eau 85) pour former le mélange de Carburant-Gaz (88) de figure (3-24) ayant un brûler-taux de gaz d'hydrogène d'approximativement 47 centimètres par secondes (le centimètre/voient) en air ambiant, comme illustré dedans (330) de figure (3-37). La volatilité du fuelmixture d'hydrogène ou du Carburant-Gaz (88) est réduite de 325 centimètre-secondes. à approximativement 47 centimètre-secondes. depuis les gaz ambiants d'air (97) (les gaz dissous d'air dans l'eau) se compose principalement de gaz non-combustibles (74) (comme l'azote, l'argon, et d'autres gaz non-burnable) de figure (3-39) qui agit et exécute comme un « modulateur de gaz » pendant l'allumage thermique de gaz (98), comme illustré dedans (320) de figure (3-36). Les gaz non-combustibles (74) physiquement retarde et ralentit la vitesse par laquelle l'atome d'oxygène (87) unit (lien covalent vers le haut) aux atomes d'hydrogène (86a/86b) pour apporter dessus et soutenir le procédé d'allumage de gaz (processus de combustion de gaz) (98), comme encore illustré dedans (340) de figure (3-38).

Le bain d'eau (68) de figure (3-39) quant à figure (3-24), maintenant, devient et fonctionne comme « régulateur de mélange de gaz » puisque le rendement thermique plus élevé possible d'énergie explosive (gtnt) disponible à l'hydrogène pendant l'allumage « normal » de gaz (98) est la composition exacte de l'eau où deux atomes d'hydrogène (86a/86b) unissent à l'atome d'oxygène (87).

En soi, l'utilisation du processus électrique de polarisation (160) de figure (3-26) en même temps que l'utilisation (des zones en acier inoxydable chimiquement inertes de tension de matériel T304) (E-I/E2) submergées dans l'eau normale (68) soutient et maintient le rapport de mélange de gaz (88) en empêchant simplement la consommation des 87) gaz de l'hydrogène (86) et de l'oxygène (par « la chaleur électrique » non encourageante ou « l'interaction chimique » liée à la consommation d'ampère. Rappelez-vous, le processus électrique de polarisation (160) est un processus physique qui emploie vis-à-vis de la force électrique d'attraction de polarité (qq') pour effectuer le travail par la

perturbation et le changement outre du lien covalent entre les atomes chargés différents de molécule d'eau.

Pour ramener plus loin le brûler-taux d'hydrogène (330) de figure (3-37) à d'autres niveaux brûlants de combustible fossile, les gaz non-combustibles additionnels (99a xxx 99n) (fourni par l'intermédiaire d'air ambiant 101) est ajoutés à

RE : Note WFC 422 DA de système de gestion de gaz d'hydrogène de WFC

gaz-mélange (88) par le procédé d'allumage de gaz (98) se produisant à l'intérieur des 55) cylindres à combustion interne de piston de moteur ((102), comme illustré dedans (340) de figure (3-38). Pendant que le carburant-gaz (88) entre dans le cylindre de moteur (102) et est exposé au procédé d'allumage thermique de gaz (98), l'entrant et les carburant-gaz mobiles (88) sont convertis en gaz non-combustibles (99) (des gaz passant par le processus de combustion de gaz) depuis les 87) atomes de gaz de l'hydrogène (86) et de l'oxygène (sont consommés pendant la formation de la brume surchauffée de l'eau (103)... libérant l'énergie explosive thermique (gnt) qui, aux tours, fait expulser la piston-action les gaz d'échappement non-combustibles récemment formés (99) pour la réutilisation.

Les gaz d'échappement simultanément libérés et de refroidissements (99) est maintenant dirigés vers le système d'injecteur d'hydrogène (200) qui systématiquement mètre-mélangent et superposent une quantité prédéterminée de gaz non-burnable (99) de figure (3-38) sur les gaz ambiants entrants d'air (101) qui sont dirigées vers le cylindre de moteur (102) soutenir et maintenir « le processus de modulateur de gaz » (320) de figure (3-36) et « le procédé d'allumage de gaz » (98). Essentiellement, alors, les gaz ambiants d'air (101) devient un approvisionnement sans fin en gaz non-combustibles (99A xxx 99n) pendant le procédé d'allumage de gaz.

Le processus résultant et en cours de modulateur de gaz (320) de figure (3-36), maintenant, permet à la cellule de carburant d'hydrogène (120) de figure (3-24) d'être montée en rattrapage à n'importe quel moteur à combustion interne conventionnel (55) de figure (3-1) sans changement de moteur en dosant simplement la quantité appropriée de gaz d'échappement (99a xxx 99n) pour satisfaire à et Co-en égalant tous les niveaux brûlants de type ou de combustible fossile différent, comme encore illustré dedans (330) de figure (3-37).

En termes d'operability et exécution, le processus de modulateur de gaz (320) continue à permettre un moteur à combustion interne conventionnel (55) à la course sur les gaz ambiants d'air ; tandis que, le carburant-gaz (88) ravale non seulement et réduit l'air ambiant de forme d'extraction de l'oxygène (101) mais produit les gaz d'un échappement dans l'environnement sûrs puisque les gaz de non-combustible> (99/74) des deux gaz ambiants d'air (101) et le Carburant-Gaz (88) sont thermiquement inerte pour intoxiquer le procédé d'allumage (98).

RE : Processeur de gaz de la note WFC 422 DA de système de gestion de gaz d'hydrogène de WFC

Obtenir plus haut énergie-rapportée au delà du processus normal de combustion de gaz, les gaz ambiants ionisés d'air (104) de figure (3-31) est maintenant exposée à et entremêlée des Carburant-Gaz (88) avant l'allumage thermique de gaz (98) de figure (3-38), comme illustré dedans (240) de figure (3-31). Pendant que les gaz ambiants d'air (101) entre dans et traverse la chambre de l'air filter (105) vers et au delà de la porte d'air (GG), les gaz mobiles d'air (101) sont exposés aux champs de grande énergie d'une tension (jusqu'et au delà derrière 2.000 volts) (106/107) de la polarité électrique opposée qui fait devenir les gaz ambiants d'air les gaz ionisés (104), comme illustré dedans (260) de figure (3-33). Le champ électrique positif de tension (106) cause les électrons orbitaux chargés négatifs (124a xxx) d'être éjectés de l'atome de gaz (101) dû à la force électrique opposée d'attraction (xx'); tandis que, en même temps, le champ électrique négatif de tension (107) exerce une deuxième force électrique d'attraction (yy') sur noyau chargé positif d'atome de gaz (108)... vis-à-vis des forces électriques d'attraction (xx') et (yy') étant de l'intensité égale, comme encore illustré dedans (260) de figure (3-33).

Une fois que l'éjection d'électron se produit, libérée et libèrent les électrons flottants (117a xxx 117n) continue à émigrer vers la zone positive de tension (106) ; considérant que, l'atome ionisé récemment formé de gaz (ayant électrons absents) (104) continue à se déplacer en avant et par la tubulure d'entrée d'air (109) de figure (3-31) au cylindre de moteur (102) de figure (3-38).

Le processus ionisé résultant de gaz (260) de figure (3-33) est effectué par le circuit d'Electron Extraction (270) de figure (3-34) qui fonctionnent de manière semblable à l'offi~ de circuit de renforteur de tension (60) (3-22) à moins que le dispositif consommant d'ampère (390) (comme une ampoule _11_2 placée entre bobine de remplissage résonnante (56) et la cavité résonnante de gaz (410) de figure (3-34) est ajoutée à

le circuit de palpitation (60) à causer et convertir a libéré les électrons (117a xxx 117n) dans la chaleur radiante - énergie (énergie cinétique) (113) sous forme d'énergie légère (114)... empêchant de ce fait les électrons (117a xxx 117n) de resaisir l'atome de déstabilisation ionisé de gaz du processus de gaz (260)... (101).

La formation réitérée de l'intensité électrique de force de tension ou de tension (65a xxx 65n) de figure (3-21) attire et cause les électrons libérés (117a, xxx 117n) au mouvement électriquement loin de la cavité résonnante de gaz (410) et agit l'un sur l'autre physiquement avec le filament d'ampoule (115) pour lancer et exécuter

RE : Processus cinétique de conversion de la note WFC 422 DA de système de gestion de gaz d'hydrogène de WFC (390), comme encore illustré dedans (270) de figure (3-34). Le processus nouvellement établi et en cours de conversion d'électron (390) continue à faciliter le processus ionisé de gaz (260) en tant qu'autre gaz

les atomes (101a xxx 10In) sont déstabilisés dans la vapeur ionisée de gaz (104a xxx 104n). Le processus de conversion d'électron (390) est naturellement terminé quand le potentiel appliqué de tension d'impulsion (65) est coupé. Le potentiel de tension ou l'intensité de palpitation de tension (65a xx 65n) est ajusté, aussi, sur « accorder-dans » sur les propriétés résonnantes des gaz ambiants d'air (101) puisque l'air ambiant intoxique (101) objets exposés une valeur diélectrique (air-gap d'un électron de résistance de pouce arc-au-dessus de de jusqu'à 17.000 volts appliqués) entre la tension plaque (E3) et (E4), formant le condensateur (410) de figure (334).

Les champs de tension (106/107) sont physiquement configurés (effet de peau) par le matériel T304 en acier inoxydable pour former les plats de tension (E3 !E4) de figure (3-33) qui sont non seulement chimiquement inertes pour intoxiquer la cavité résonnante du procédé d'ionisation (260) mais, aussi, du gaz tubulaire de formes (410) de figure (3-34) ayant approximativement la même taille et la forme de la cavité résonnante liquide (170) de figure (3-25), comme illustré dedans (270) de figure (3-34).

Pour promouvoir déstabilisez l'atome de gaz (104), énergie émise de laser (énergie électromagnétique ayant la masse nulle) (116) est maintenant injecté dans la cavité résonnante de gaz (410) par l'intermédiaire de l'objectif optique (121) et superposé sur le processus ionisé par gaz (260) et plus tard absorbé par le noyau d'atome de gaz (108), comme illustré dedans (260) de figure (3-33) quant à (270) de figure (3-34). L'énergie absorbée de laser (122) de figure (3-35) cause non seulement les électrons ionisés d'orbitales d'atome de gaz (124) d'être braqués loin du noyau d'atome de gaz (108) mais, également, affaiblit la force électrostatique (AA') entre noyau d'atome de gaz (108) et braquer électrons (123a xxx)... permettant même à un plus grand nombre d'électrons (117a xxx) d'être éjecté d'atome ionisé de gaz (104) étant simultanément soumis à processus d'extraction d'électron (260), comme illustré dans (280) de figure (3-35).

Essentiellement, puis, l'interaction de laser (280) avec le processus appliqué de tension (260) fait entrer l'atome de gaz (101) dans les électrons sous-critiques d'état (déstabilisant l'entité de masse d'un atome de gaz) puisque l'énergie absorbée de laser (122) empêche reprennent (des atomes acceptant des électrons) tandis que le circuit d'interface (270) déloge, des captures, et consomment immédiatement les électrons éjectés (117a xxx) en d'autres termes, gaz qu'ambiants d'air (101) a,

maintenant, deviennent électromagnétiquement amorcées

RE : La note WFC 422 DA de système de gestion de gaz d'hydrogène de WFC a déstabilisé les atomes de gaz (104a xxx 100n) ayant les électrons absents.

La diode électroluminescente à semi-conducteurs (118) de figure (3-33) disposée dans faisceau-rangent (118a xxx 118n) monté sur le panneau de circuit imprimé (119) émet une longueur d'onde discrète d'énergie légère (énergie électromagnétique) quand le circuit léger (420) de figure (3-43) est électriquement palpité (126a xxx 126n) par l'intermédiaire du circuit de palpitation variable (125) de façon à changer l'intensité de la lumière (116) pour assortir le taux d'absorption de la lumière du gaz ionisé (104), et, est déterminé en ce qui concerne le courant vers l'avant par mené (118) près

(Eq 15)

Là où

J'ai mené, suis le courant vers l'avant indiqué (typiquement 20ma par diode) ; V mené est la chute de

$$R_s = \frac{V_{in} - V_{led}}{I_{led}}$$

$$P_{watts} = V_{cc} I_t$$

tension menée (en général 1.7 volt pour l'émetteur rouge).

La loi de l'ohm pour le circuit mené dans la rangée parallèle, et, est donnée près

(Eq 16)

Là où

C'est le courant vers l'avant par mené faisceau-rangent ; Vcc est volts appliqués (en général 5 volts) par lequel

L'intensité de laser ou de lumière est variable quant à la fréquence « Marche/Arrêt » d'impulsion de temps d'utilisation de 1hz jusqu'et au delà derrière 10khz, et est indiquée près

$$L_e \sqrt{\frac{(ION)^2 \times T_1}{T_1 + T_2}}$$

(Eq 17)

Le le est intensité de la lumière en watts ; Le T1 est période active courante ; 1 ' 2 est en prolongation courant ; et (ION) = valeur de RMS du courant de charge pendant la sur-période.

En termes d'assemblée, intoxiquez la cavité résonnante (410), le circuit d'extraction d'électron (270), les 121) processeurs optique de gaz de formes d'objectif ((260) de figure (3-31). Dans la rétrospection aux paramètres opérationnels, (des 118) spectres légers mené (s'étendant de l'évident dans la région de la lumière UV) peuvent être choisis pour une application donnée ou électromagnétiquement prédéterminée d'amorçage de gaz (280) puisque le noyau de gaz (108) est plus sensible à la source lumineuse logique plutôt que diffuse. L'amplitude appliquée de tension (navigation verticale de la Virginie xxx), la fréquence appliquée d'impulsion de tension (65a xxx 65n), et le train d'impulsion courante appliqué (126a xxx 126n) sont variable de conception à «accorder-dans » aux propriétés résonnantes de l'atome de gaz (101) tout en stimulant et effectuant le processus de gaz (260) qui atténuent la force électrique (AA') de figure (335) pour perturber l'équilibre de masse d'atome de gaz (104).

Les atomes sous-critiques résultants et récemment formés de gaz (104a xxx 104n) sont dirigés en avant par la tubulure d'entrée d'air (109) de figure (3-31) vers et au delà du port régulateur de gaz d'échappement (370) et du port d'injecteur (36) quant à où le carburant-gaz dosé (88), les gaz d'échappement dosés (99), et cylindres entrants sous-critique dosé de moteur de gaz-mélange de formes des atomes de gaz (104a xxx 104n) les 103) ((102), comme illustré dedans (240) de figure (3-31) (340) de figure (3-38).

Hydrogène rompant le processus

Le gaz de carburant traité entrant d'hydrogène (103) est maintenant exposé au processus thermique d'allumage par étincelle (98) qui déclenchent explosif thermique énergie-rapportent (gtnt) (127) cette piston-action de causes (105) de figure (3-38) pour excéder le processus normal de combustion de gaz lié à l'hydrogène pour aérer le mélange des gaz dans l'état stable. L'interaction atomique thermique (127) est causée quand les ions sous-critiques de gaz (104a xxx 104n) (dérivé du ~de bain d'eau et des gaz ambiants 1 Q1 d'air n'unit pas à ou lier en covalence le lien haut ou covalent avec (laser amorcé) l'atome d'oxygène fortement activé de l'atome d'hydrogène (128) .Sub-critical (129) ayant moins que la quantité normale d'électrons covalents (électrons orbitaux) ne peut pas atteindre le « stable-état » (six à huit électrons covalents requis) quand la recherche de deux atomes d'hydrogène (128 a/b) pour former la molécule d'eau pendant l'allumage thermique de gaz.

L'énergie absorbée de laser (131) du noyau d'atome de gaz d'hydrogène (133) affaiblit la force « de liaison électrique » (CC') entre électron d'atome d'hydrogène (132) et noyau d'atome d'hydrogène (133) ; tandis que, en même temps, l'énergie absorbée de laser (135) empêche l'atome d'oxygène (129) d'atteindre «l'état stable » quand force électrique d'attraction des serrures (de BB') (vis-à-vis de la force électrique d'attraction étant équivalente au nombre d'électrons absents) sur et l'électron parti d'atome d'hydrogène de tractions (132) tout en repoussant la force (le DD') garde les deux noyaux chargés positifs (133/136) à part. Ces » conditions 'anormales « et « instables » couplées à l'interaction thermique (allumage de gaz) sous la compression de gaz (137) de figure (3-42) quant à figure (3-38) (carburant-gaz 88 étant comprimé par l'intermédiaire du piston

RE : Note WFC 422 DA de système de gestion de gaz d'hydrogène de WFC

atomes combustibles de gaz de causes de l'action 105) (129 et 128a/b) à l'affaiblissement... libérant l'énergie explosive thermique (gtnt) (127) sous des moyens de commande. Cette thermique-interaction atomique entre les atomes combustibles sous-critiques de gaz (127 et 128a/b) est, maintenant, ci-dessus après appelé « l'hydrogène rompant le processus. »

Distributeur de laser

Le distributeur de laser (430) de figure (3-44) fonctionne de la façon semblable pendant que l'accélérateur de laser (20) de figure (3-10) excepté la lumière-porte (141) de figure (3-44) tourne dans la même direction de l'étincelle, rotor (142) et étant déplacé vis-à-vis la lame de rotor (142), permettant aux gaz ambiants de processus entremêlés d'air (101) et aux Carburant-Gaz (88) d'entrer dans le cylindre de moteur (102) de figure (3-38), comme illustré dans le circuit de commande d'injecteur (300) de figure (3-4). Le circuit tournant de déclenchement de lumière-porte (430) active séquentiellement l'impulsion formant le générateur (440) de la figure (34) pour produire un train d'impulsion constant de temps d'utilisation de 50% (voir le schéma 3-16 de nouveau) au générateur de tension analogique (40) du système de gestion de gaz d'hydrogène (200) de figure (3-1) quant à la figure (35). Accélérateur enclenchant de laser produit } 1 {JJ} avec le distributeur de laser produit (HH) de la figure (3

1) cause les injecteurs de carburant (36) « d'être accordés » avec le système de gestion d'air (350) du circuit de commande de gaz de la figure (32) et d'hydrogène (100) de figure (3-5) pour maintenir le rapport de Carburant-mélange constant (290) de figure (3-3) pendant l'exécution de moteur. Pendant que l'accélérateur de laser (JJ) avance vers l'exécution de moteur « maximale », 36) augmentations ouvertes de porte-temps d'injecteurs de carburant ((période active) proportionnellement. Le mouvement opposé ou renversé de l'accélérateur de laser (JJ) diminue la période active des injecteurs (36) qui, aux tours, réduit la vitesse de moteur.

Processus d'extraction d'impureté

L'eau suspendue et dissoute souille (144a xxx 144n) (en général 20 pages par minute à 40 pages par minute dans l'eau normale) de figure (3-24) étant uniformément libérée de et superposé sur le bain d'eau restant (68) pendant l'action résonnante (170) sont dirigés vers et des passages par la ligne d'admission de l'eau (145)... causer libérés, se déplacer, et libre-flotter micro-classés souille (144a xxx 144n) pour être déposé à l'intérieur de l'ensemble filtre électrostatique (440) et pour être exposé plus tard aux champs électriques opposés de tension (148/152), comme ainsi pour être illustré dans figure (3-45).

Le négatif électriquement chargé souille (157a xxx 157n) émigre à et enfermé par le poteau électrique positif de tension (147) ; tandis que, simultanément, élém. élect. positif chargé souille (158a xxx 158n) est attiré à et enfermé par le poteau électrique négatif de tension

RE : Note WFC 422 DA de système de gestion de gaz d'hydrogène de WFC (151)... de ce fait, extraire souille (144a xxx 144n) du bain d'eau (68)... produisant le bain d'eau épuré (156) qui sont réutilisés de nouveau dans la cellule de carburant (120) de figure (3-24) depuis l'action résonnante (170) également fonctionnent d'et exécutent comme water>pump (gaz se levant).

Exposer l'eau souille (144a xxx 144n) aux champs appliqués de tension (EIIIE2) produit non seulement élém. élect. chargé souille (157/158) ; mais, également, tue les bactéries qui pourraient être présentes sur le bain d'eau (68). Rincer périodiquement à partir de l'orifice de vidange (rinçant dehors) est tout ce qui est exigent pour assurer et soutenir le procédé de filtration électrostatique (440).

Résonateur de vapeur

Pour assurer plus loin à cellule de carburant appropriée l'exécution facultative pendant des conditions atmosphériques glaciales ou au-dessous de zéro, le résonateur de vapeur (450) de figure (3-46) est inséré dans la cellule de carburant (120) de figure (3-24) et du thermos. l'allié activé par l'intermédiaire du circuit de renforteur de tension (165) qui appliquent directement (166/167) des impulsions de tension électriques alternatives ou opposées (pendant la restriction d'ampère) d'une façon séquentielle à travers la tension plaque *E5IE6*.

Une fois que positif activé, la molécule d'eau (210) du bain d'eau (68) est braquée vers la surface de tension (E5) par l'intermédiaire de vis-à-vis de la force électrique d'attraction (162) et de la force répulsive électrique (161). En renversant simplement à une impulsion de tension négative (167), maintenant, cause la molécule d'eau (210) d'être guidé dans la direction opposée vers la surface de tension (E6)... produisant l'énergie cinétique (165) (impact de panicle) qui, aux tours, chauffe le bain d'eau (68). La formation réitérée des impulsions de tension opposées (166/167) à une impulsion-fréquence donnée continue à chauffer le bain d'eau (68) jusqu'à ce qu'une température désirée soit extension.

Application diesel

En ajustant simplement les Carburant-gaz (88) de figure (3-38) le brûler-taux (330) de figure (3-37) de (43 - 37 centimètres/s) (essence) sur (40 - 35 centimètres/s) (diesel) les niveaux brûlants, maintenant, permet au système de gestion de gaz d'hydrogène de WFC d'être directement monté en rattrapage aux moteurs diesel conventionnels puisque le Carburant-mélange modulé nouvellement établi d'hydrogène (88 - diesel) Co-égale le rapport d'allumage par étincelle (en général .35 - .39) du Diesel-Carburant standard (fossile) une fois comprimé.

Application d'aviation

De même, le système de gestion de gaz d'hydrogène de WFC est idéalement convenu comme énergie de modification

RE : Note WFC 422 DA de système de gestion de gaz d'hydrogène de WFC système aux moteurs d'échange et de nettoyage au jet liés à l'industrie d'aviation... mais dans différentes manières : l'échange des Carburant-kits de WFC peut être semblable à la conception de voiture (340) ; considérant que, des kits d'injecteur de carburant de l'eau (10) de figure (4-1) peuvent alternativement être employés pendant qu'une Carburant-unité d'un seul bloc n'ayant aucun navire prépressurisé qui convertit l'eau directement dans l'énergie explosive thermique (gtnt) sur demande, comme illustré dans la note 423 DA de WFC.

En termes d'interface mécanique : L'Assemblée d'injecteur de carburant de l'eau (10) de figure (4-1) peut remplacer les ports standard d'injecteur de carburant des moteurs de nettoyage au jet existants suivant les indications de (150) de figure (4-13) ; ou soyez utilisé dans l'Assemblée de bec de four (140) de figure (4-12) pour des dessiccateurs de grain ou conventionnel

systèmes de chauffage ; ou soyez de produire utilisée \ .rocket-thrust, comme illustré dedans (160) de figure (4-14) ; ou soyez employé pendant qu'un bec d'injecteur de bougie d'allumage (130) de figure (4-11) pour l'essence et les moteurs diesel... pour mentionner uns.

Paramètres opérationnels

Le système de accouplement et plus tard de intégration de la gestion de gaz d'hydrogène (GMS) (440) avec l'Assemblée de Carburant-Gaz d'hydrogène (450) de l'Assemblée d'injecteur de carburant de figure (3-1) ou de l'eau (10) de figure (4-1) quant au système de la gestion de carburant de l'eau (WFMS) (40) de figure (4-2), maintenant, place vers le haut une pleine technologie système-s'approchent sur la façon dont employer l'eau comme « nouvelle » carburant-source. C'est concept de construction et l'application de système est conforme aux « lois des sciences économiques » depuis l'électronique de puce et l'aide en plastique de technologie d'injection de moule assurent la fiabilité et l'utilisation d'exécution... d'autant plus que la cellule de carburant (120) de figure (3-24) est miniaturisée pour arroser la prise d'injecteur de carburant (40) de figure (42), comme encore illustré dans la note 423

DA de WFC.

200

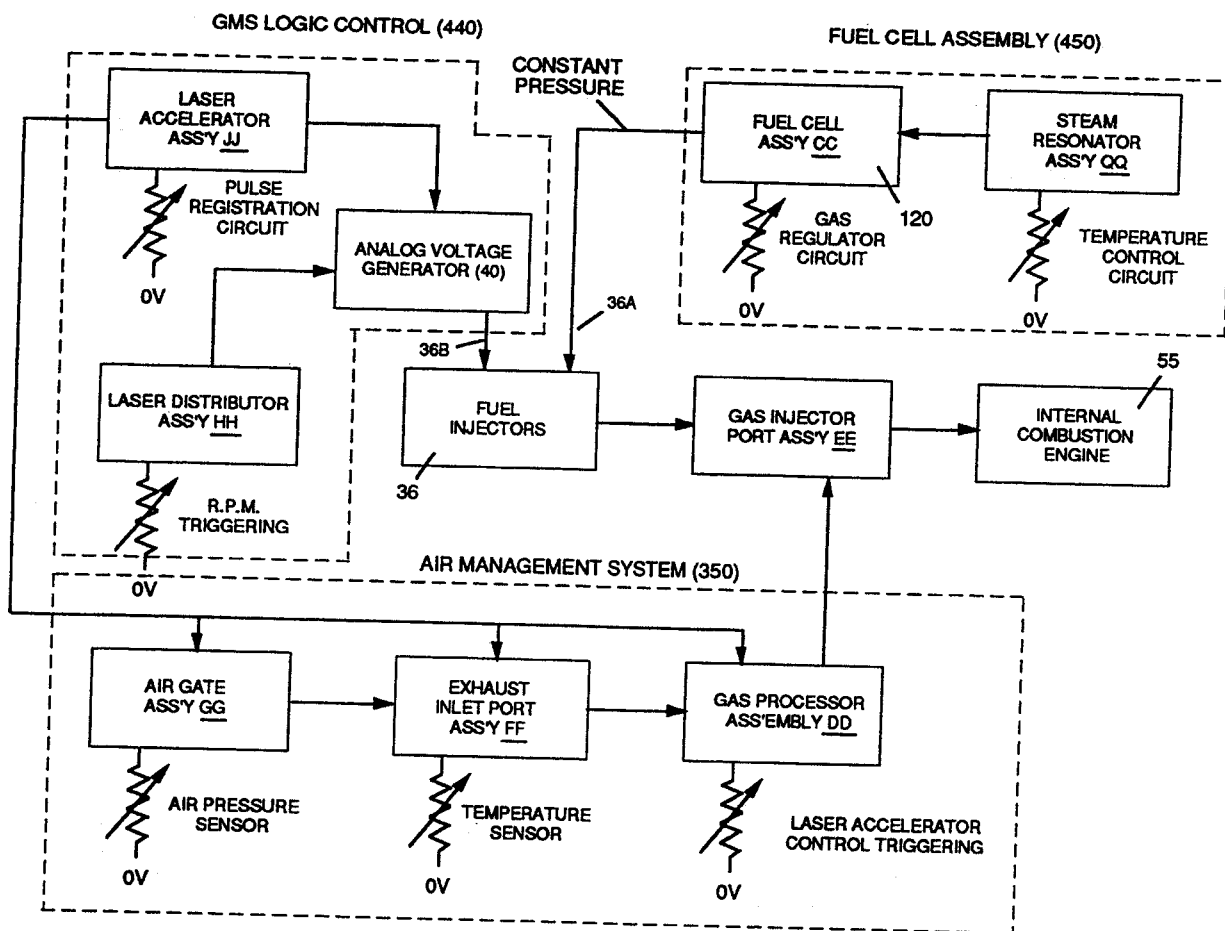


FIGURE 3-1: HYDROGEN GAS MANAGEMENT SYSTEM

350

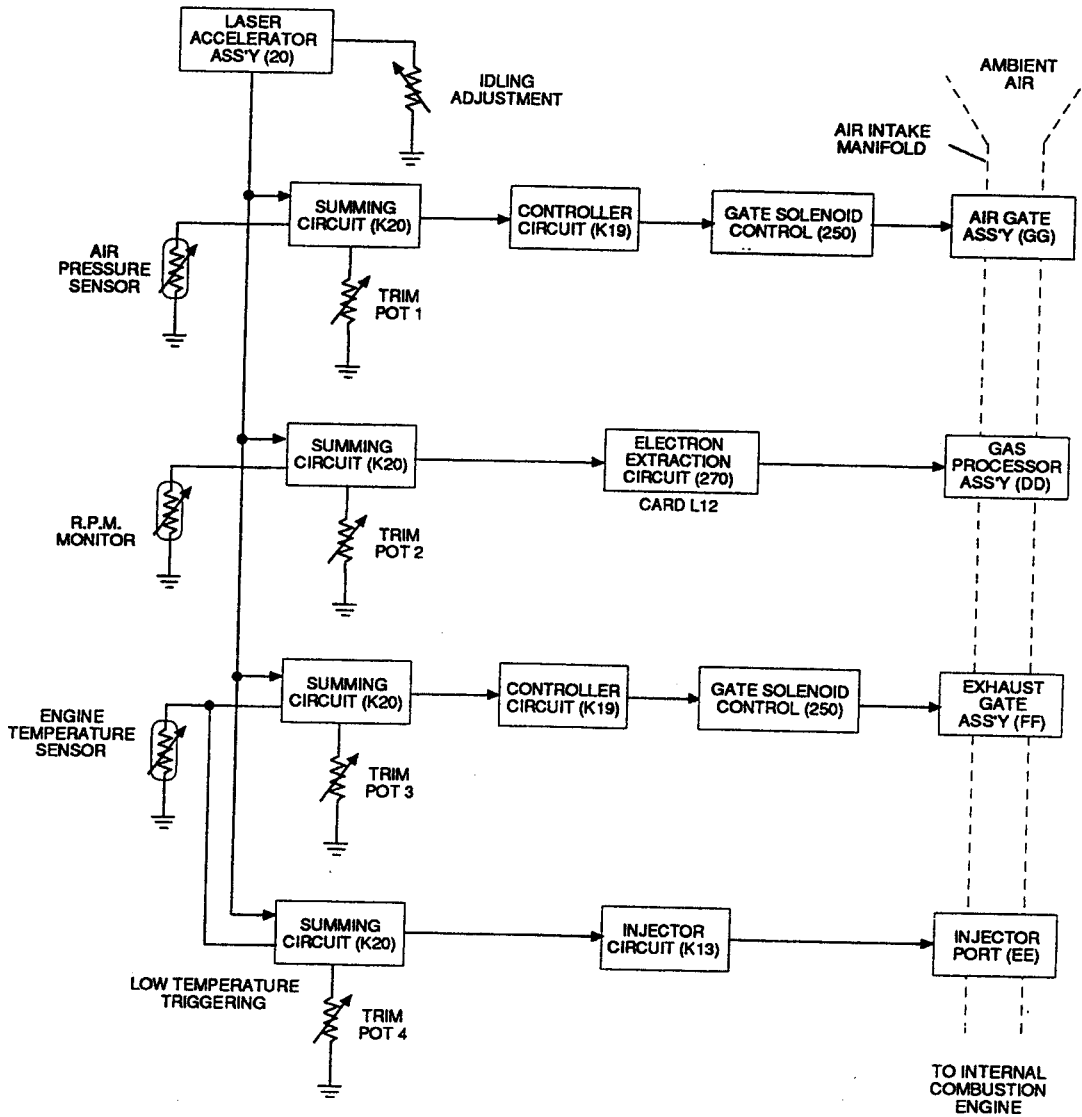
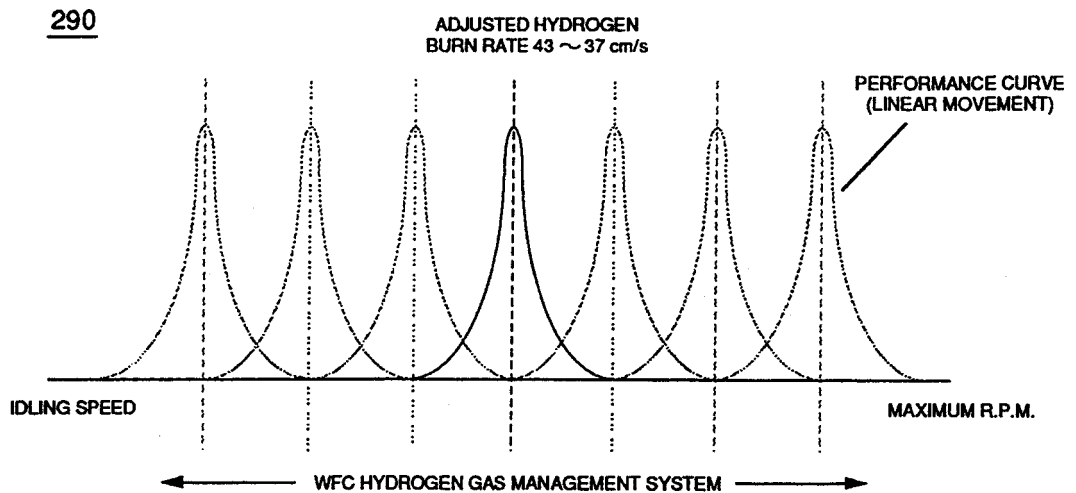


FIGURE 3-2: AIR MANAGEMENT SYSTEM



NOTE:
HYDROGEN GAS BURN-RATE REMAINS
CONSTANT REGARDLESS OF R.P.M.

FIGURE 3-3: HYDROGEN GAS MANAGEMENT PERFORMANCE CURVE

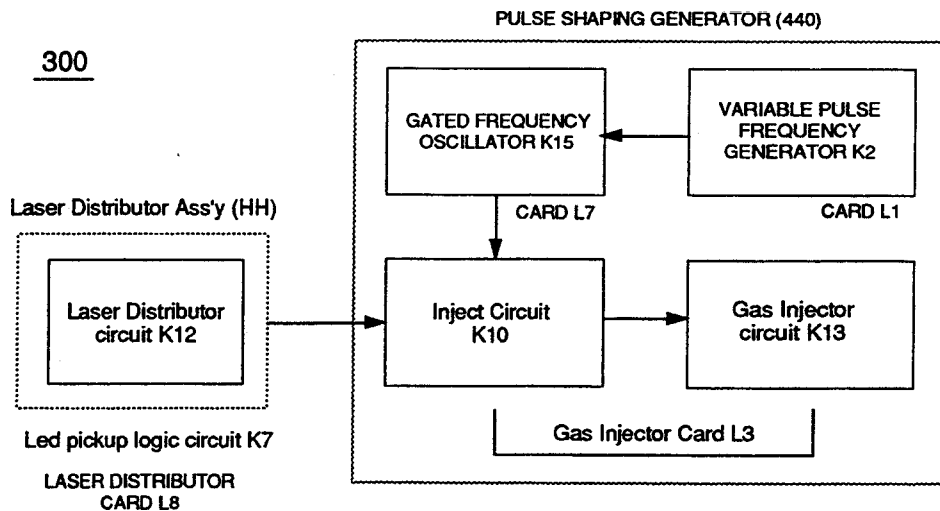


FIGURE 3-4: INJECTOR CONTROL CIRCUIT

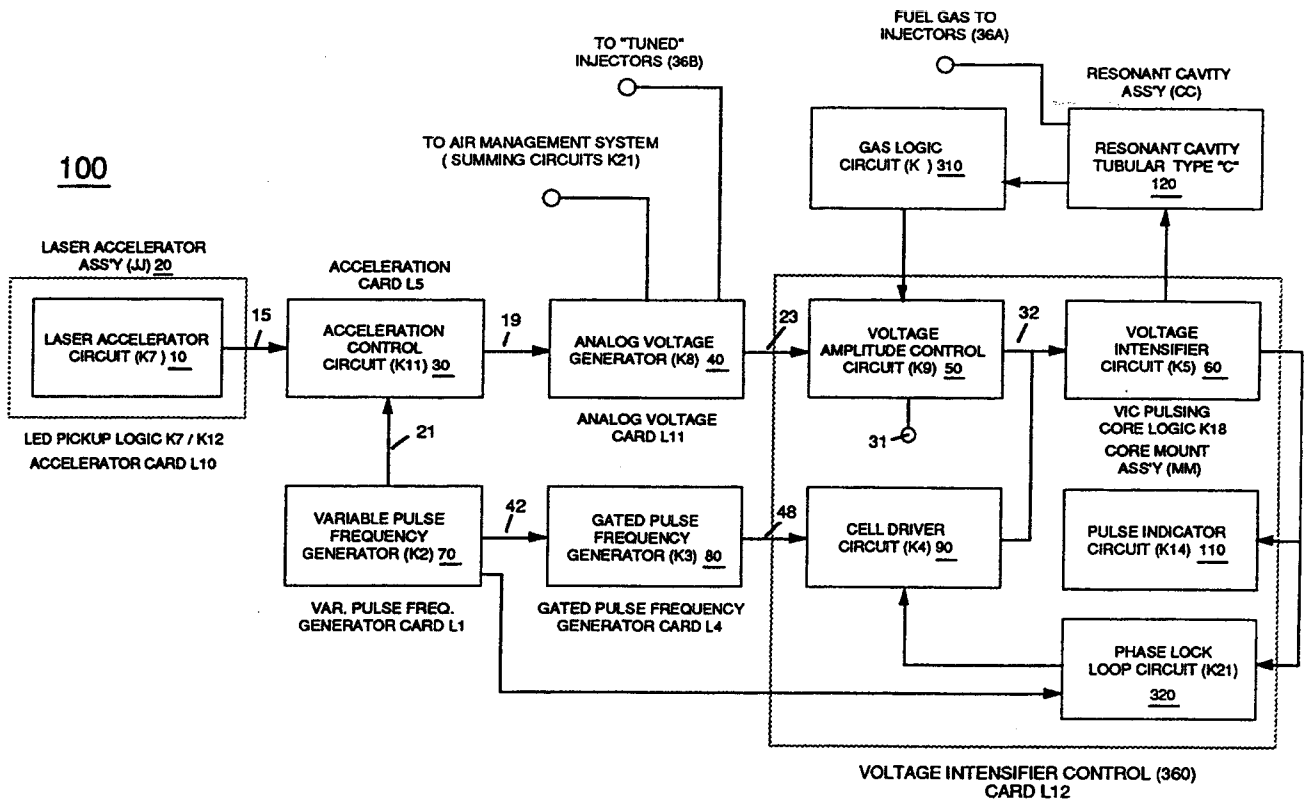


FIGURE 3-5: HYDROGEN GAS CONTROL CIRCUIT

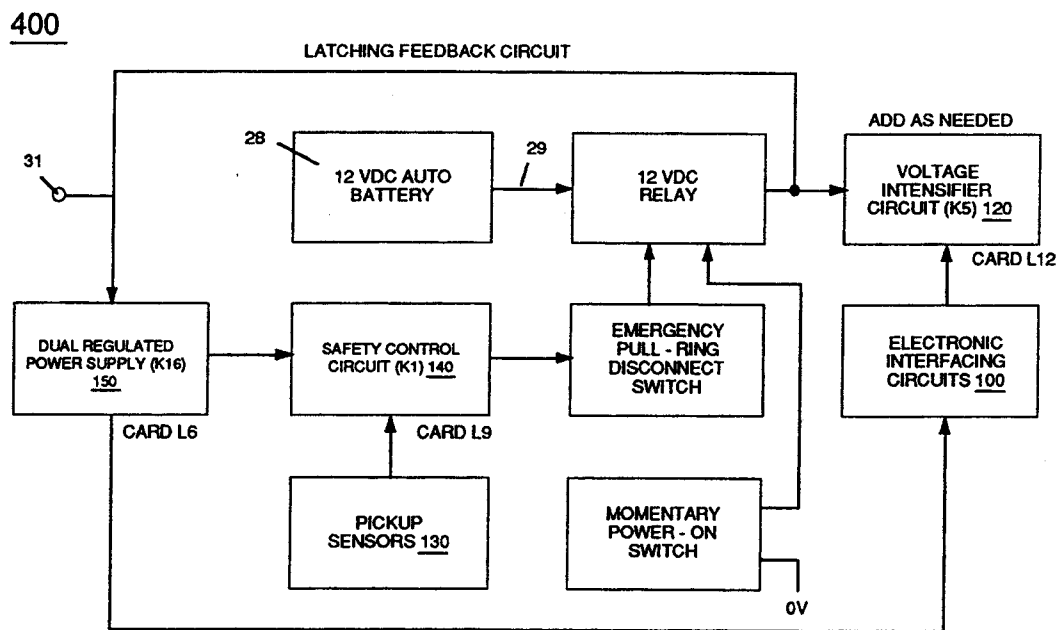


FIGURE 3-6: SAFETY INTERLOCK CIRCUIT

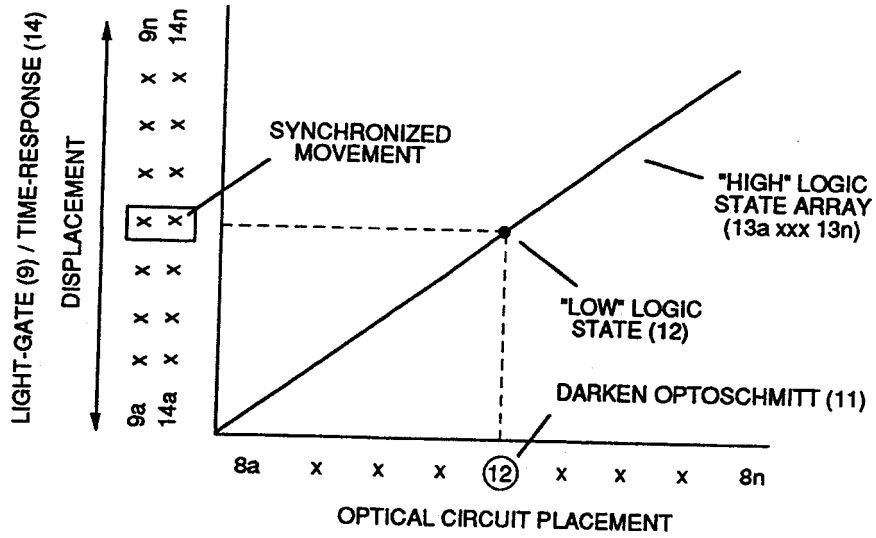


FIGURE 3-7: LASER ACCELERATOR CONTROL FUNCTION

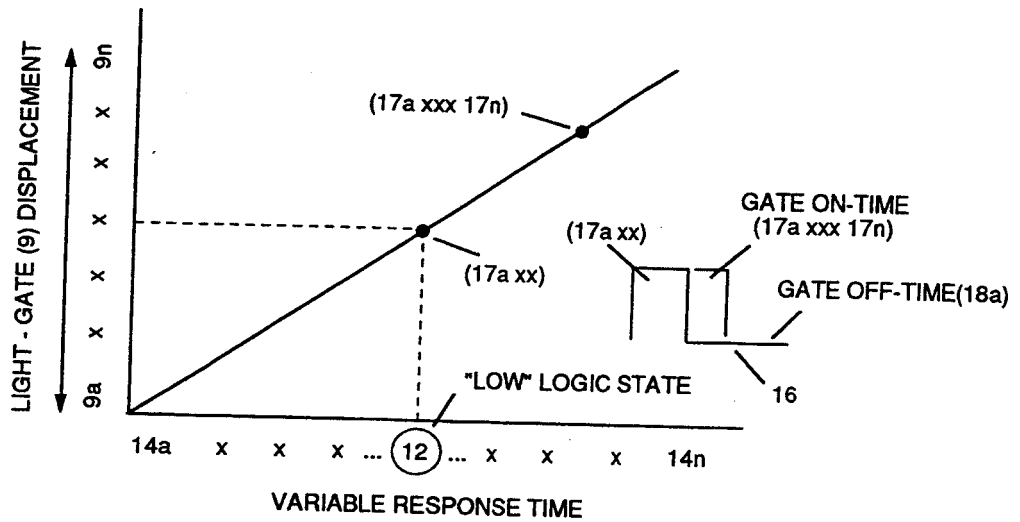


FIGURE 3-8: VARIABLE PULSE WIDTH

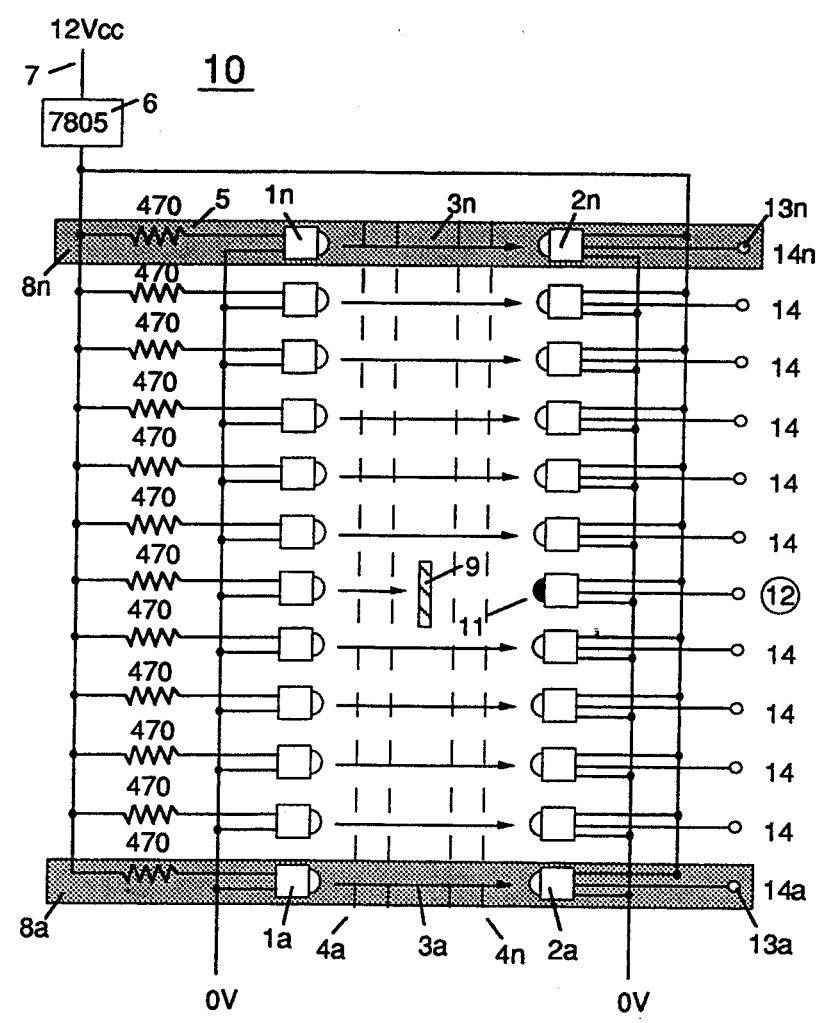


FIGURE 3-9: LED PICKUP CIRCUIT

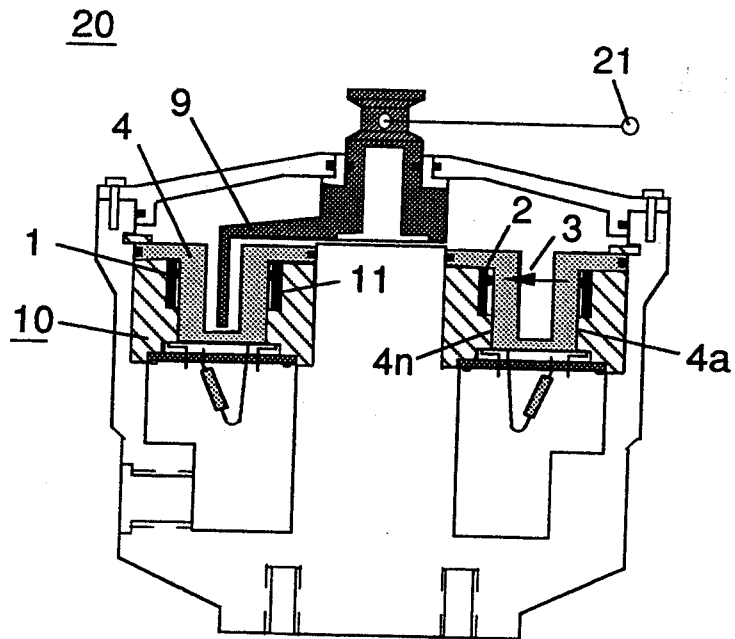


FIGURE 3-10:LASER ACCELERATOR

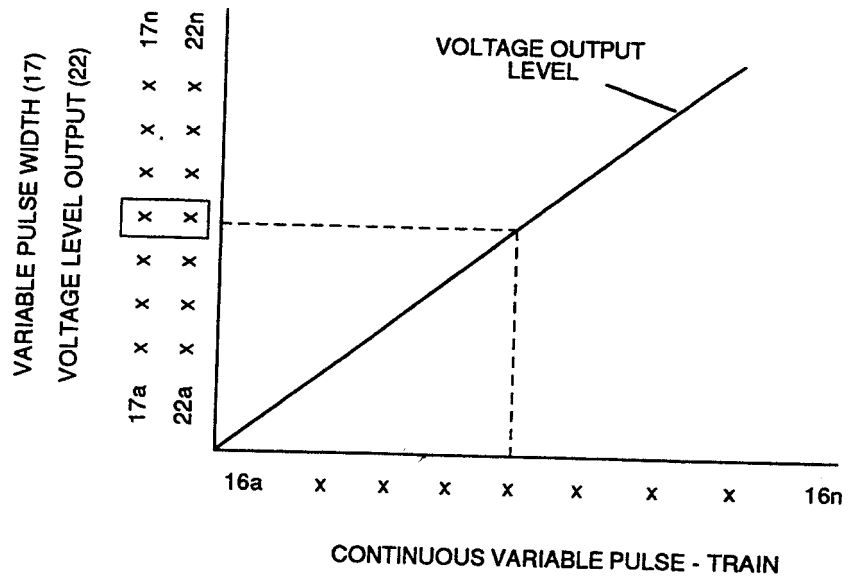


FIGURE 3-11: ANALOG VOLTAGE GENERATOR

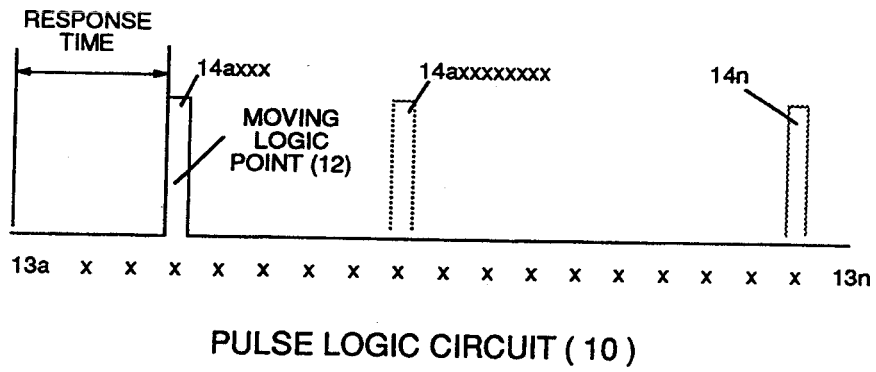


FIGURE 3-12: ACCELERATION CONTROL

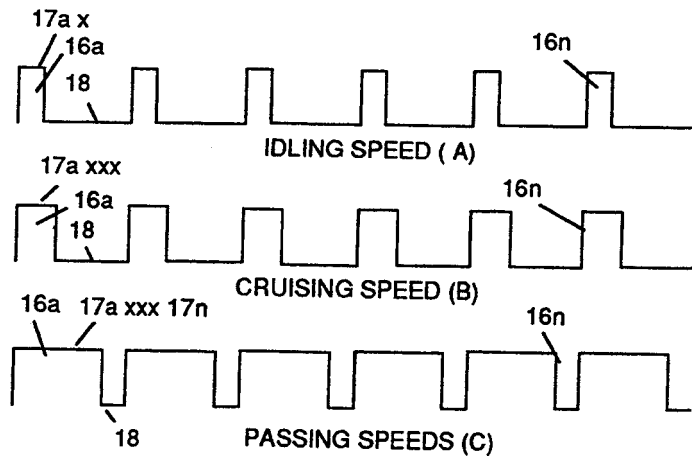


FIGURE 3-13: SPEED CONTROL

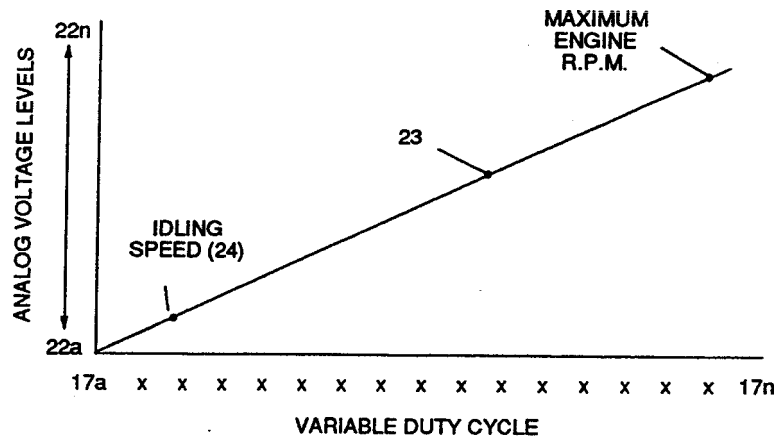


FIGURE 3-14: GAS VOLUME CONTROL

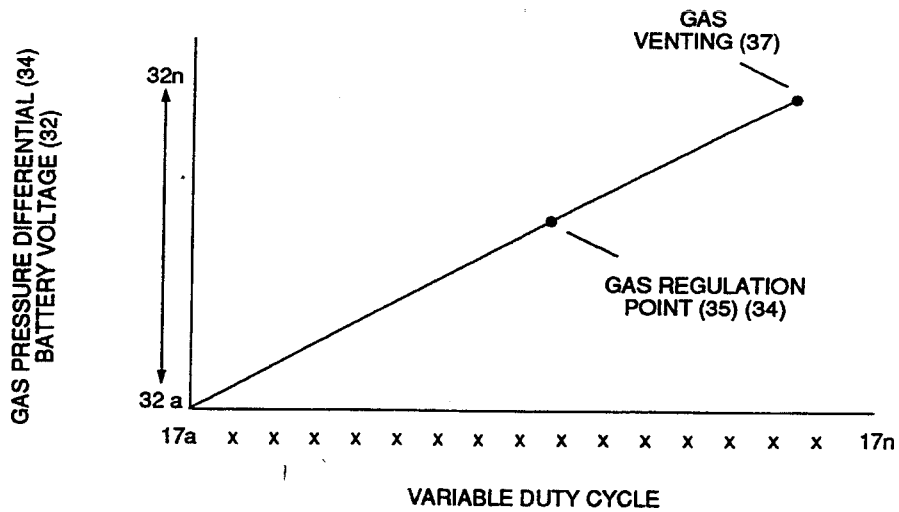


FIGURE 3-15: GAS REGULATOR CONTROL

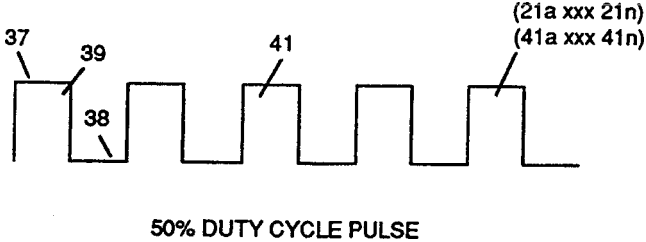


FIGURE 3-16: VARIABLE CLOCK PULSE TRAIN

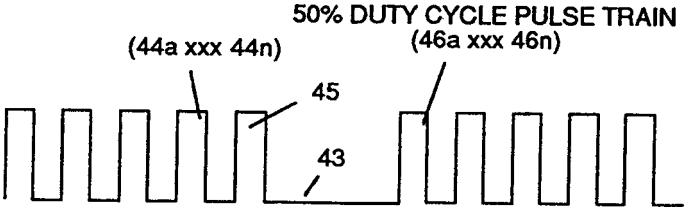


FIGURE 3-17: GATED PULSE TRAIN

ATTENUATING BATTERY VOLTAGE

FIGURE 3-18: VARIABLE AMPLITUDE PULSE TRAIN

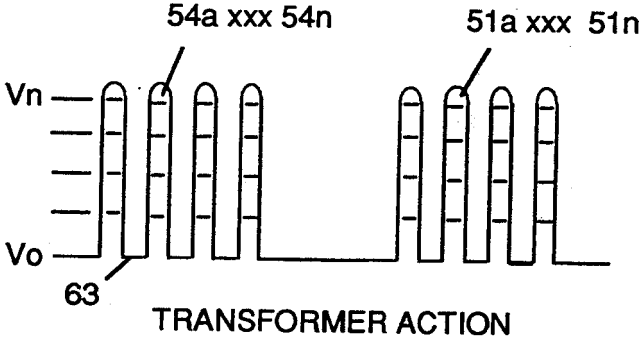


FIGURE 3-19: SETUP VOLTAGE PULSE TRAIN

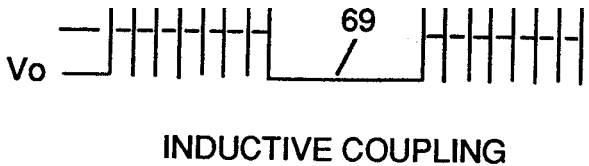
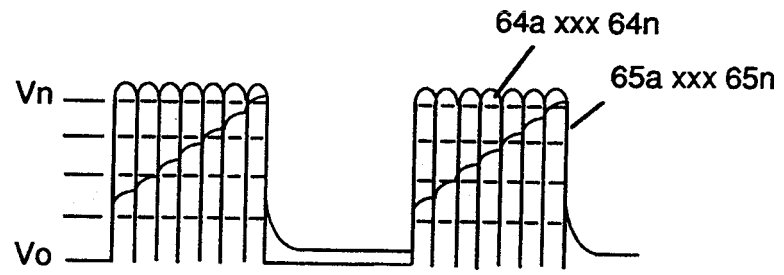


FIGURE 3-20: GATED UNIPOLAR PULSE TRAIN



ELECTRICAL STEP CHARGING EFFECT

FIGURE 3-21: RESONANT CHARGING PULSE TRAIN

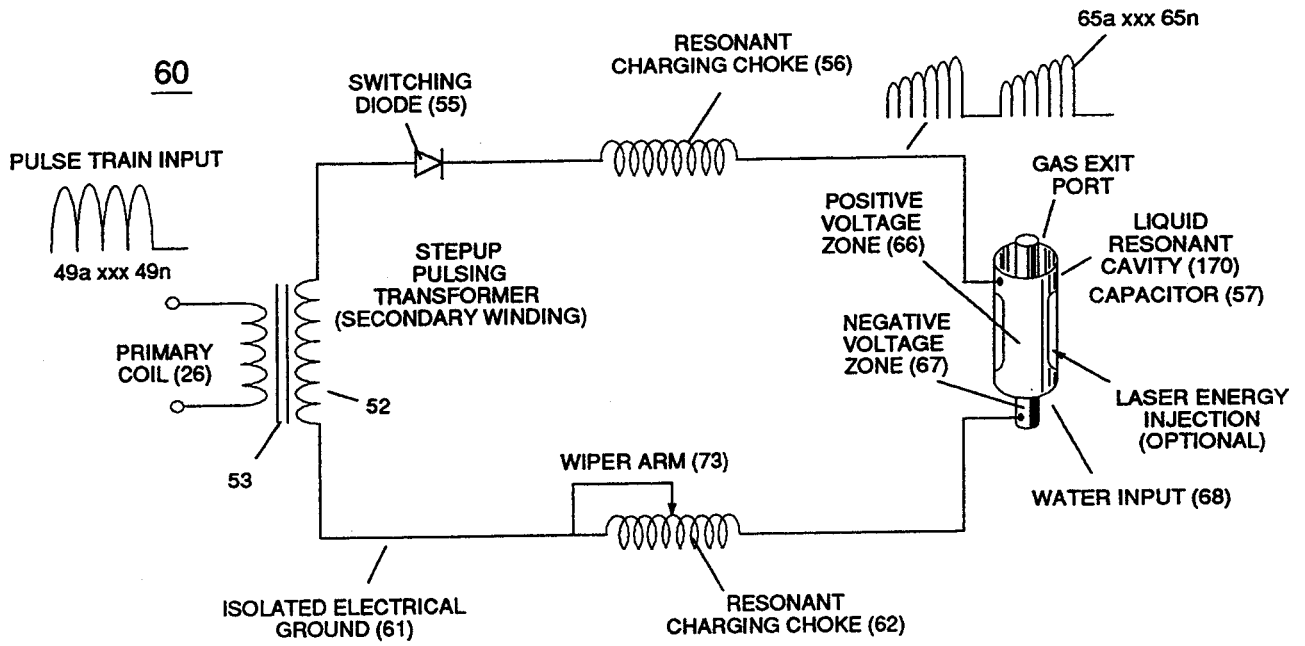


FIGURE 3-22: VOLTAGE INTENSIFIER CIRCUIT

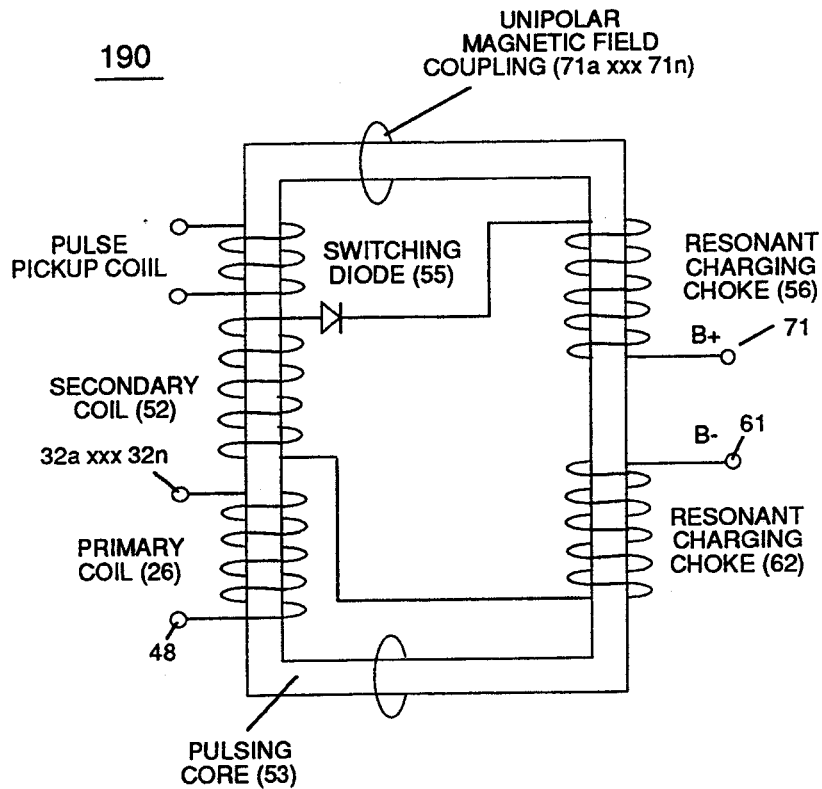


FIGURE 3-23 : PULSING CORE CONFIGURATION

RE : Note WFC 422 DA de système de gestion de gaz d'hydrogène de WFC

120

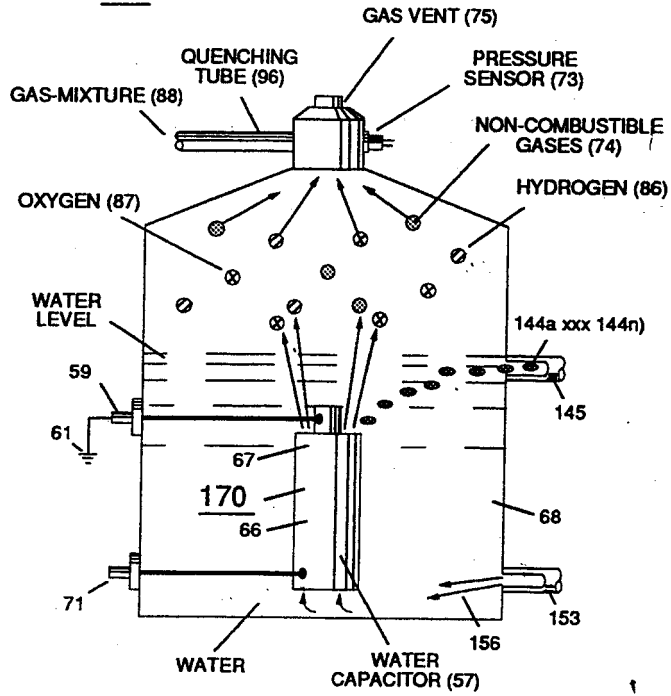


FIGURE 3-24: FUEL CELL

170

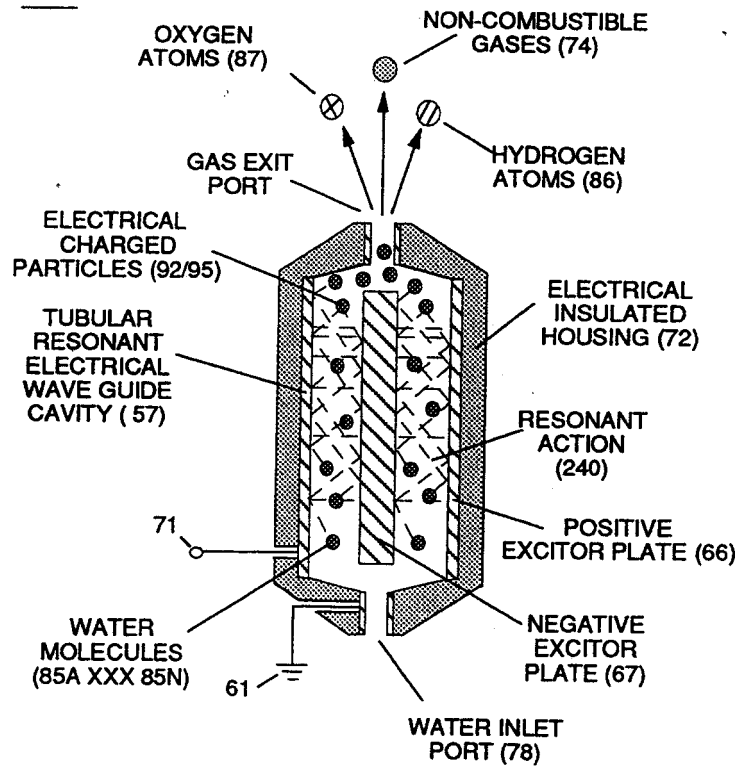


FIGURE 3-25: RESONANT CAVITY

160

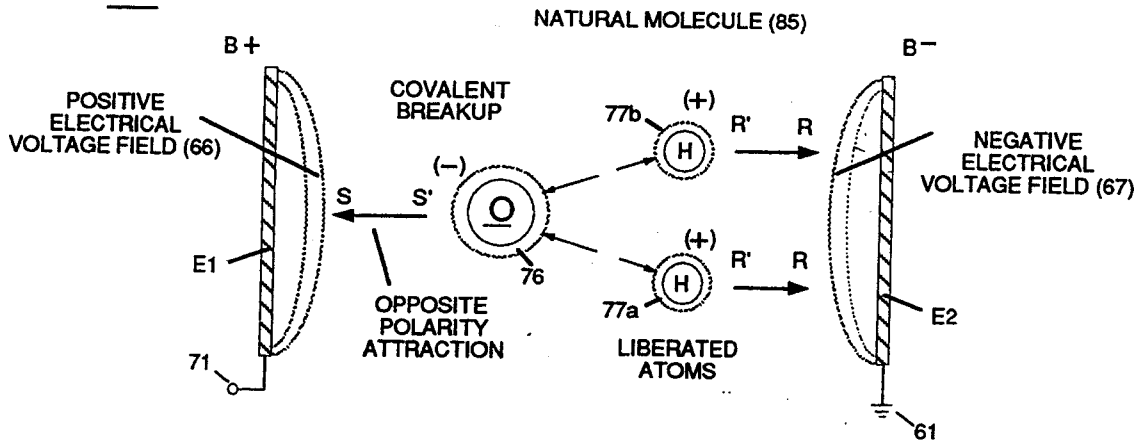


FIGURE 3-26: ELECTRICAL POLARIZATION PROCESS

210

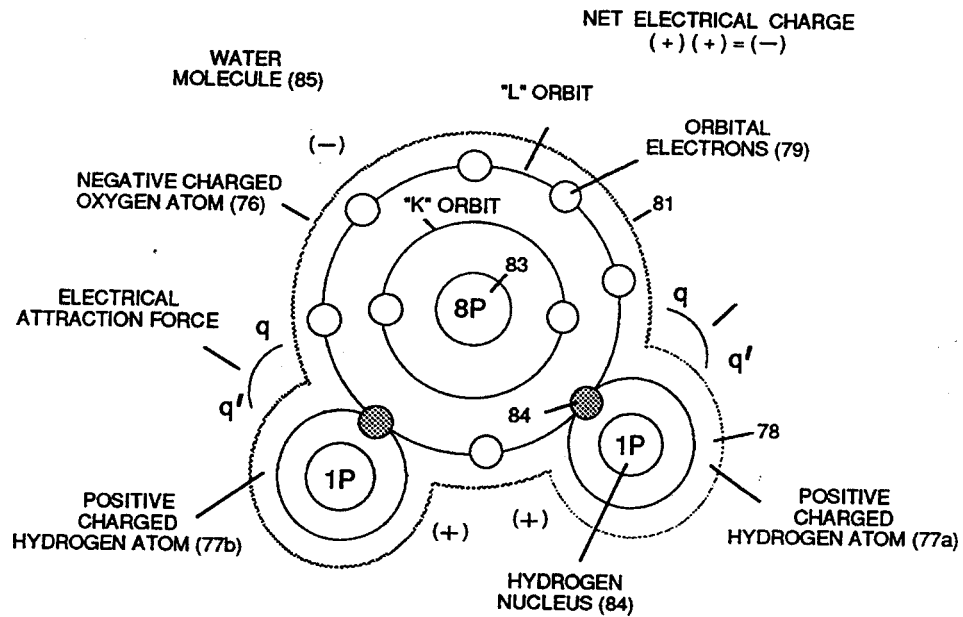


FIGURE 3-27: ELECTRICALLY CHARGED WATER MOLECULE

180

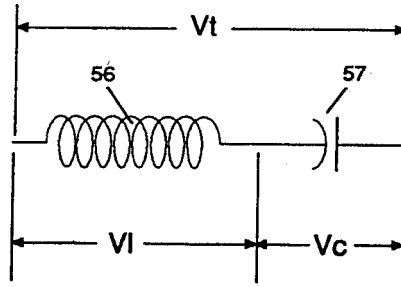


FIGURE 3-28: LC CIRCUIT SCHEMATIC

220

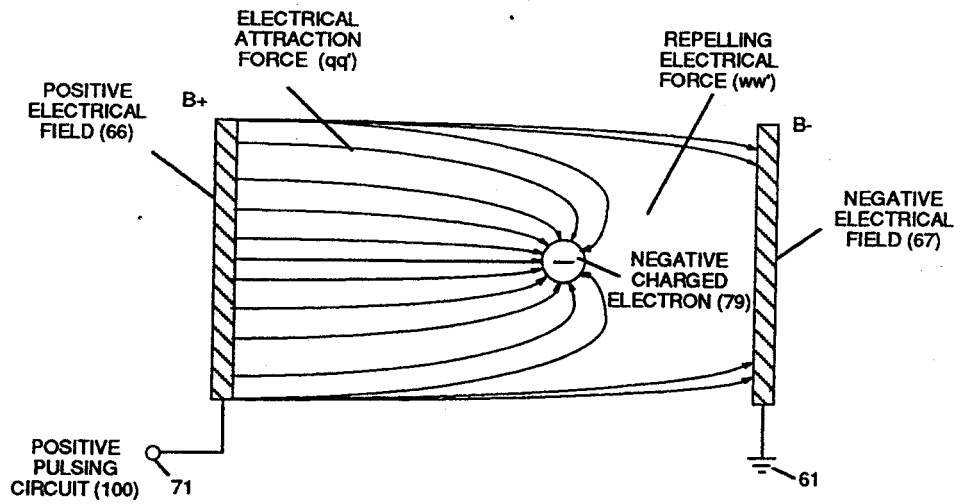


FIGURE 3-29: VOLTAGE DYNAMICS

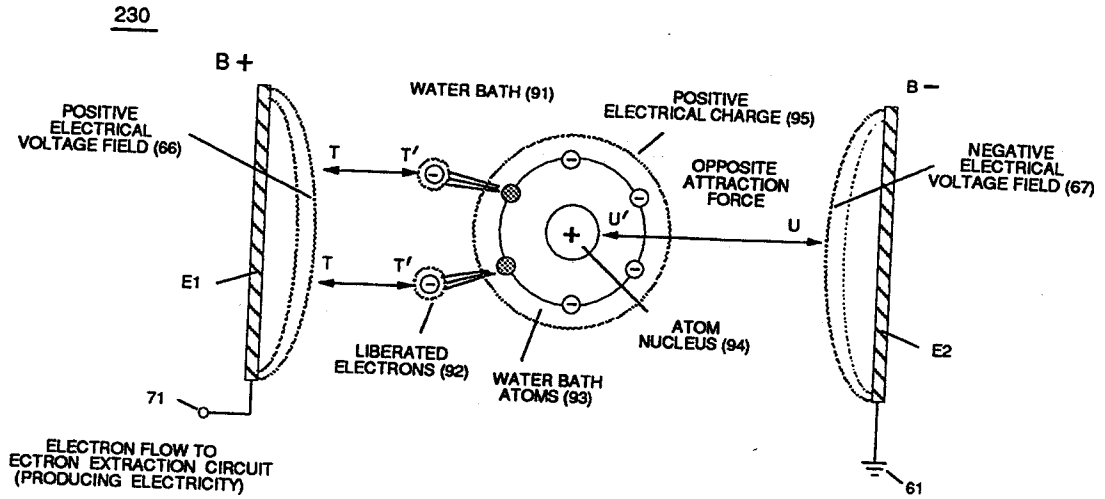


FIGURE 3-30: ELECTRON EJECTION

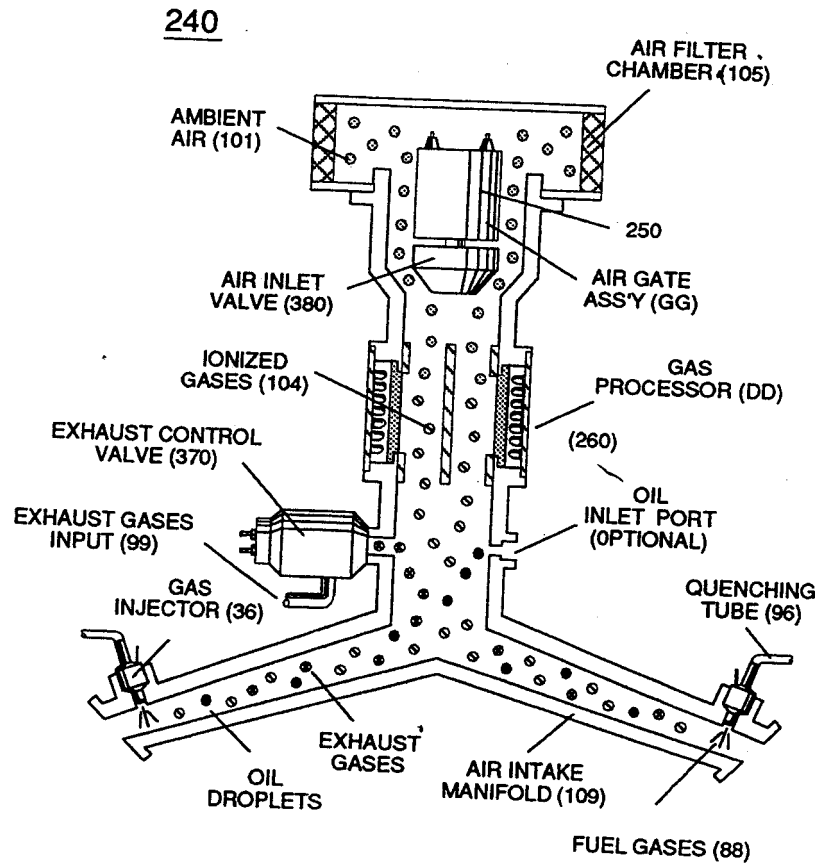


FIGURE 3-31: HYDROGEN GAS INJECTION SYSTEM

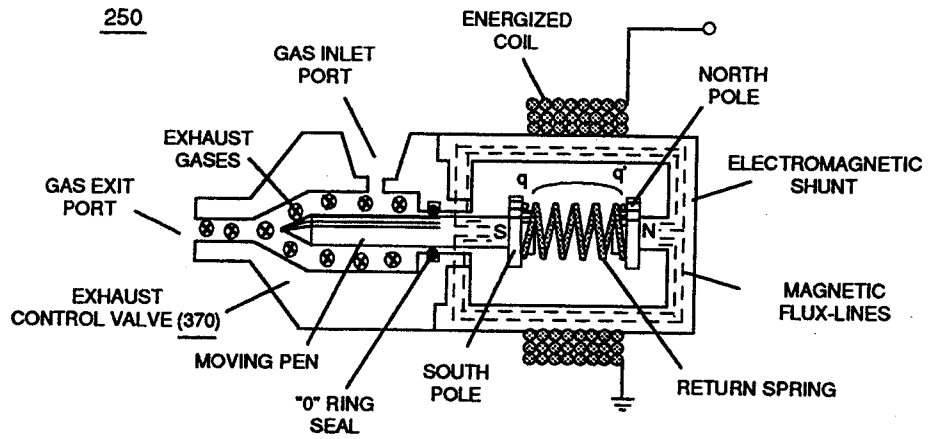


FIGURE 3-32: EXHAUST INLET PORT

260

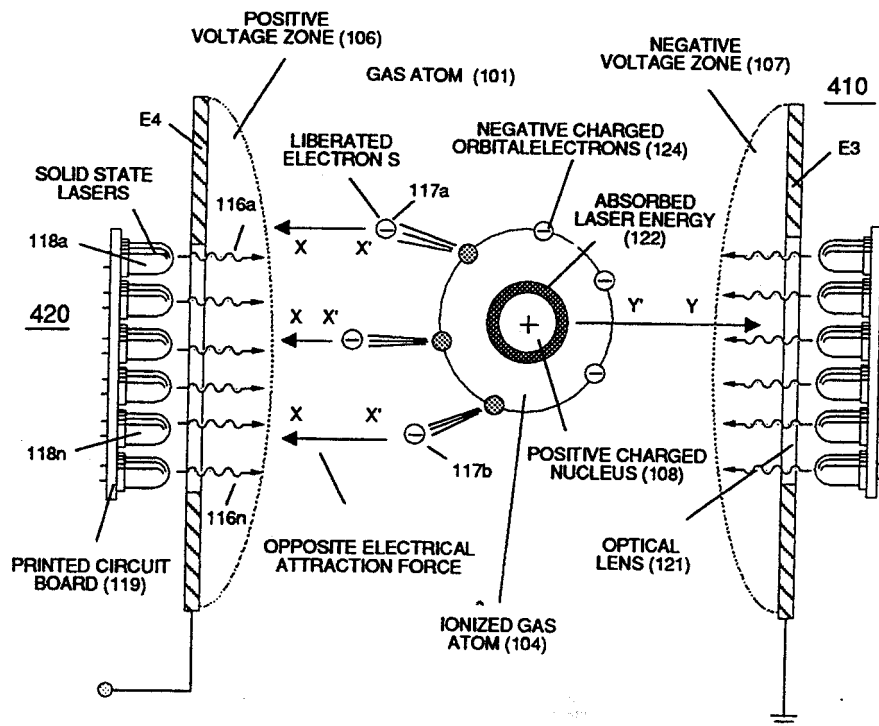


FIGURE 3-33: GAS PROCESSOR

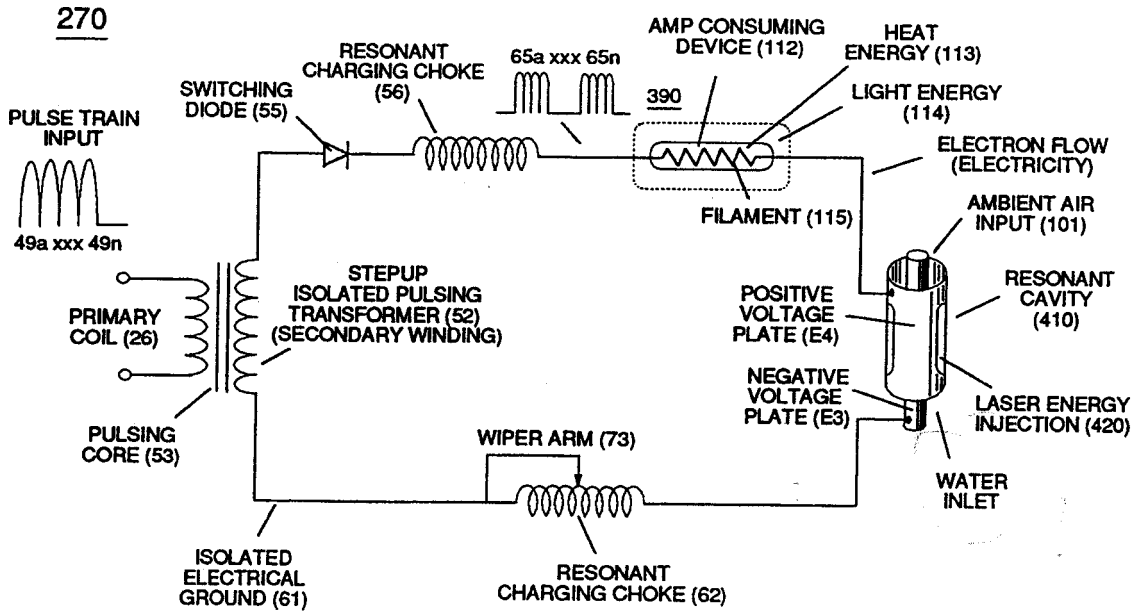


FIGURE 3-34: ELECTRON EXTRACTION CIRCUIT

AMBIENT AIR

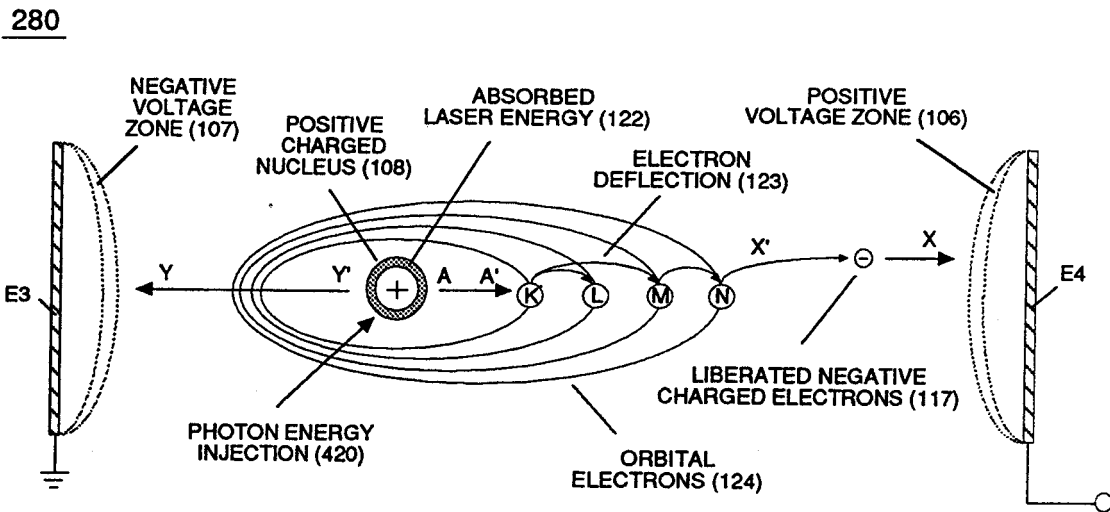


FIGURE 3-35: LASER INTERACTION

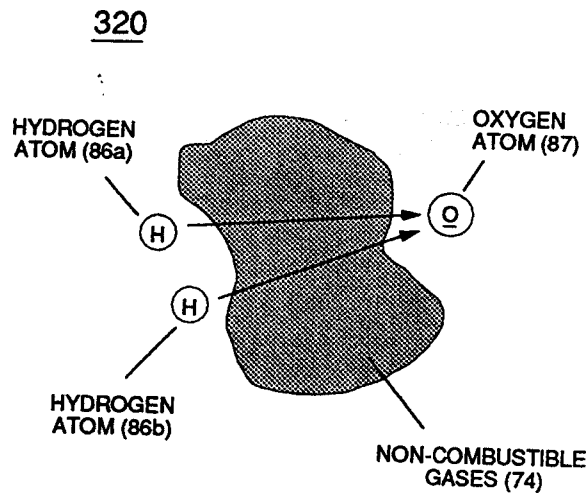


FIGURE 3-36: GAS MODULATOR

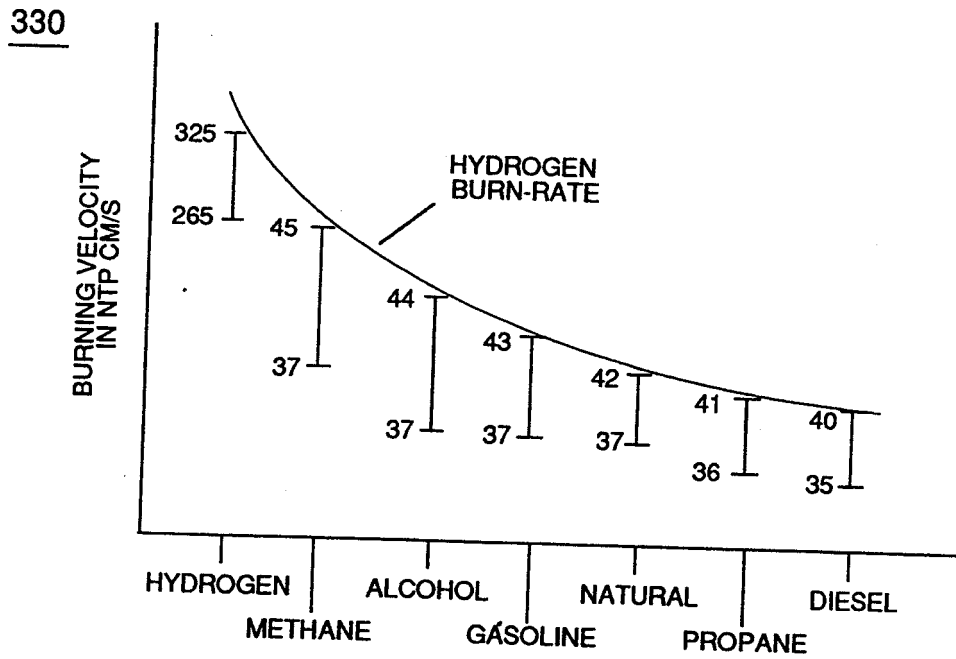


FIGURE 3-37: HYDROGEN BURN-RATE

RE : Note WFC 422 DA de système de gestion de gaz d'hydrogène de WFC

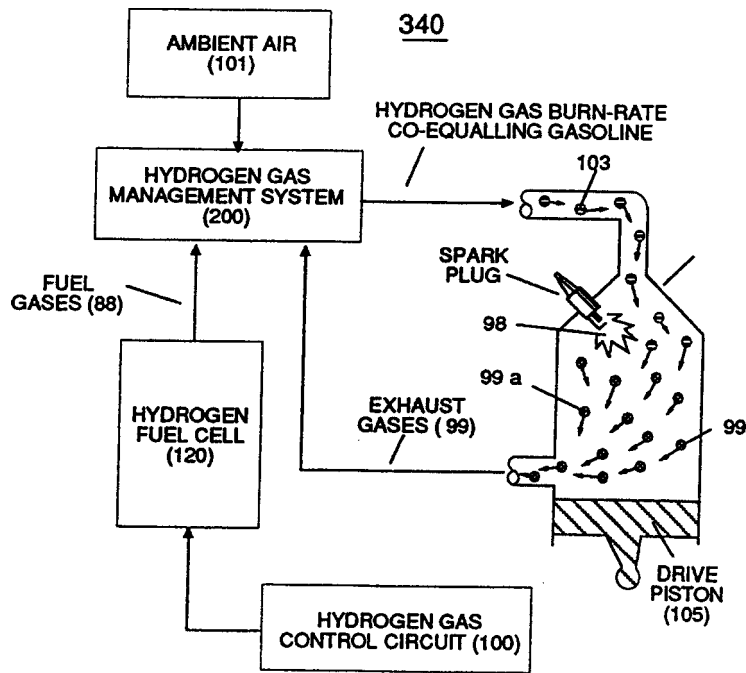


FIGURE 3-38: RETROFIT ENERGY SYSTEM

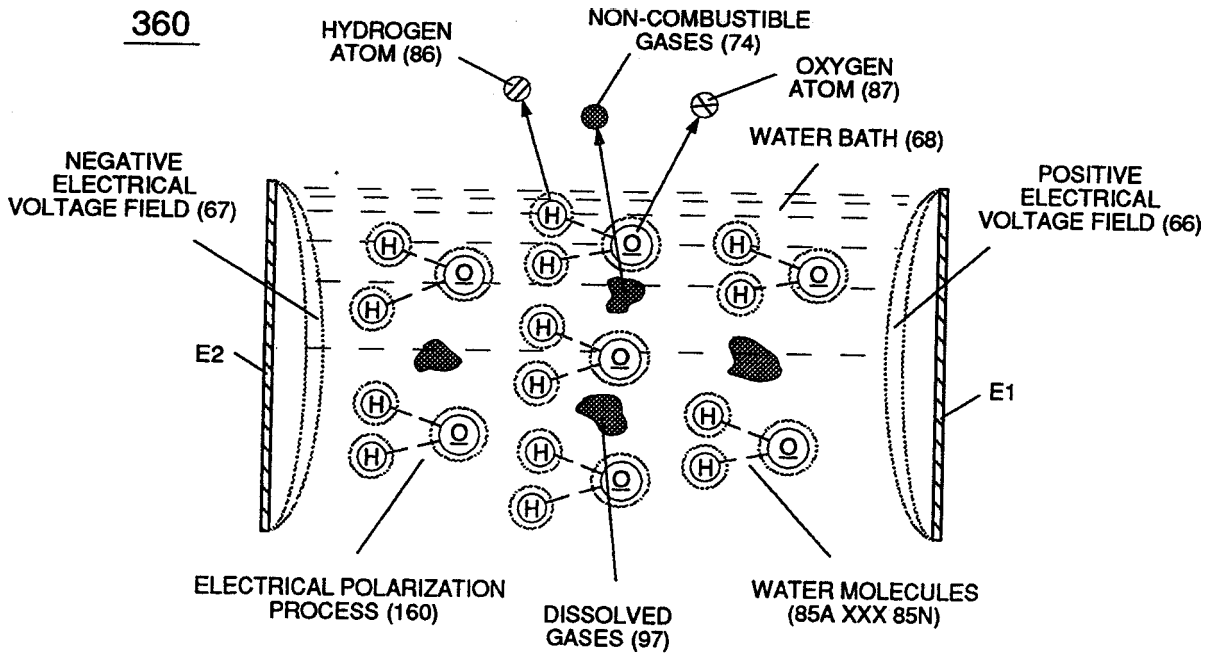
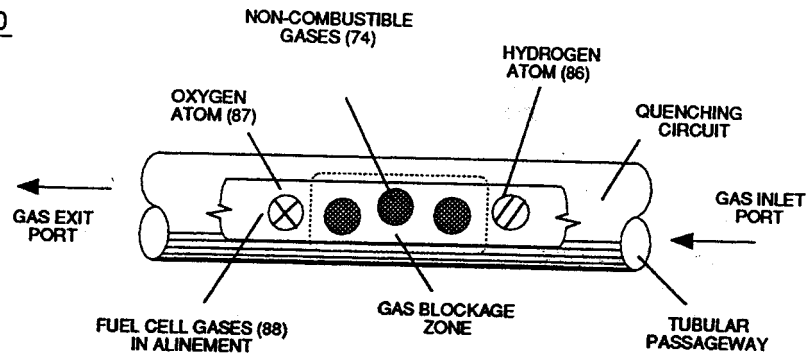


FIGURE 3-39: MULTI-GAS GENERATOR

370

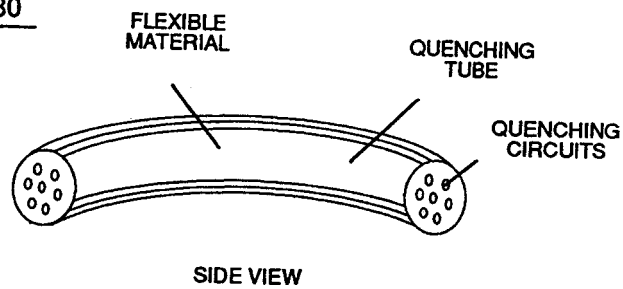


NOTE:

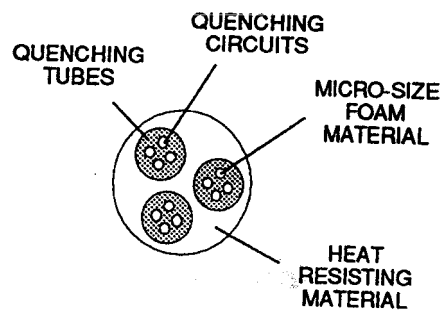
- 1) OXYGEN ATOM MUST UNITE WITH HYDROGEN ATOMS TO CAUSE GAS IGNITION.
- 2) TUBULAR PASSAGEWAY PREVENTS MOVING GAS ATOMS FROM REGROUPING.

FIGURE 3-40: QUENCHING ACTION

380



SIDE VIEW



END VIEW

FIGURE 3-41: SPARK ARRESTING GAS LINE

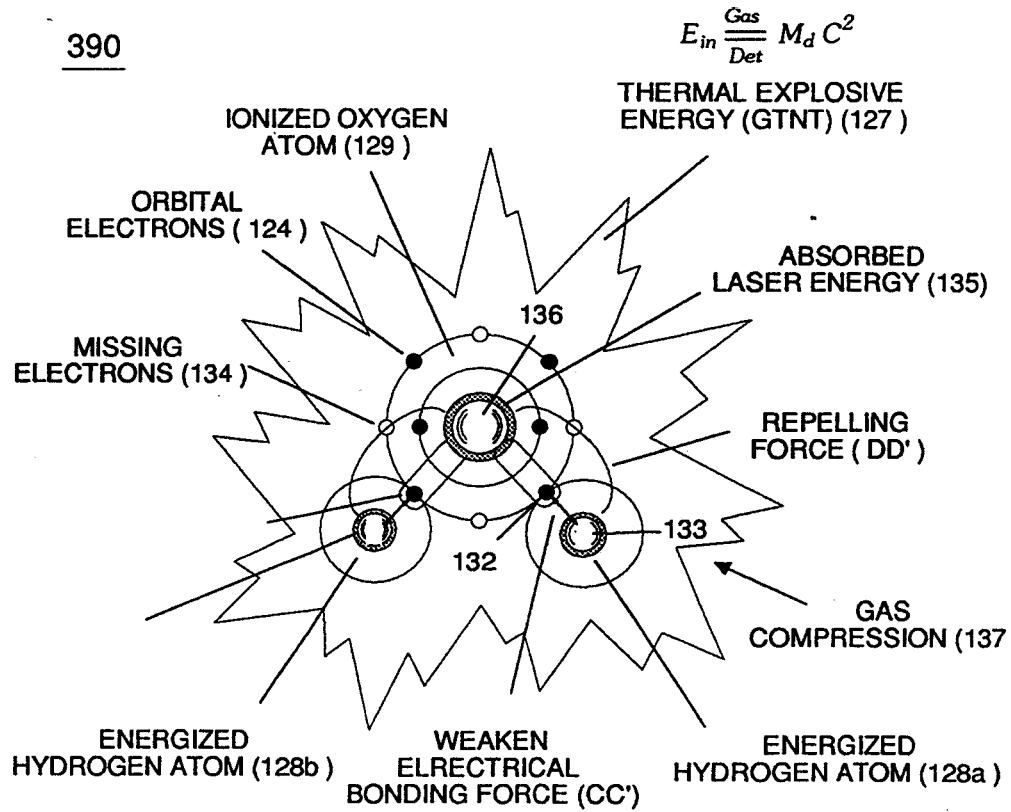


FIGURE 3-42: HYDROGEN FRACTURING PROCESS

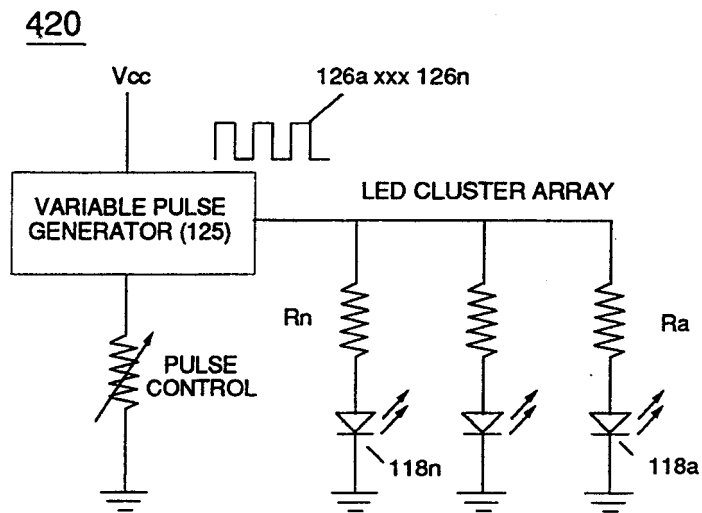


FIGURE 3-43: SOLID STATE LASER ASS'Y

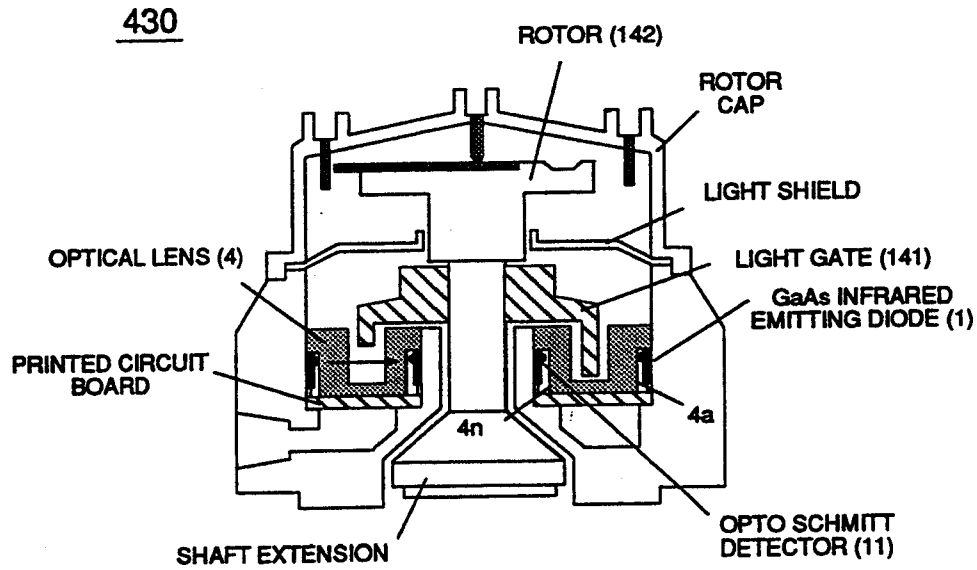


FIGURE 3-44: LASER DISTRIBUTOR

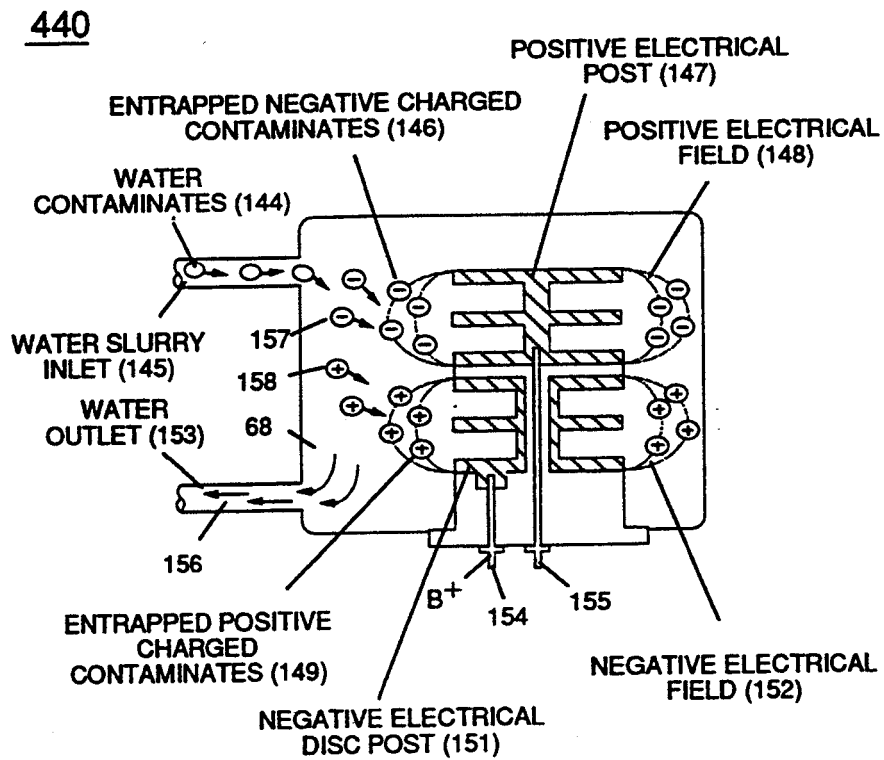


FIGURE 3-45: ELECTROSTATIC FILTER ASS'Y

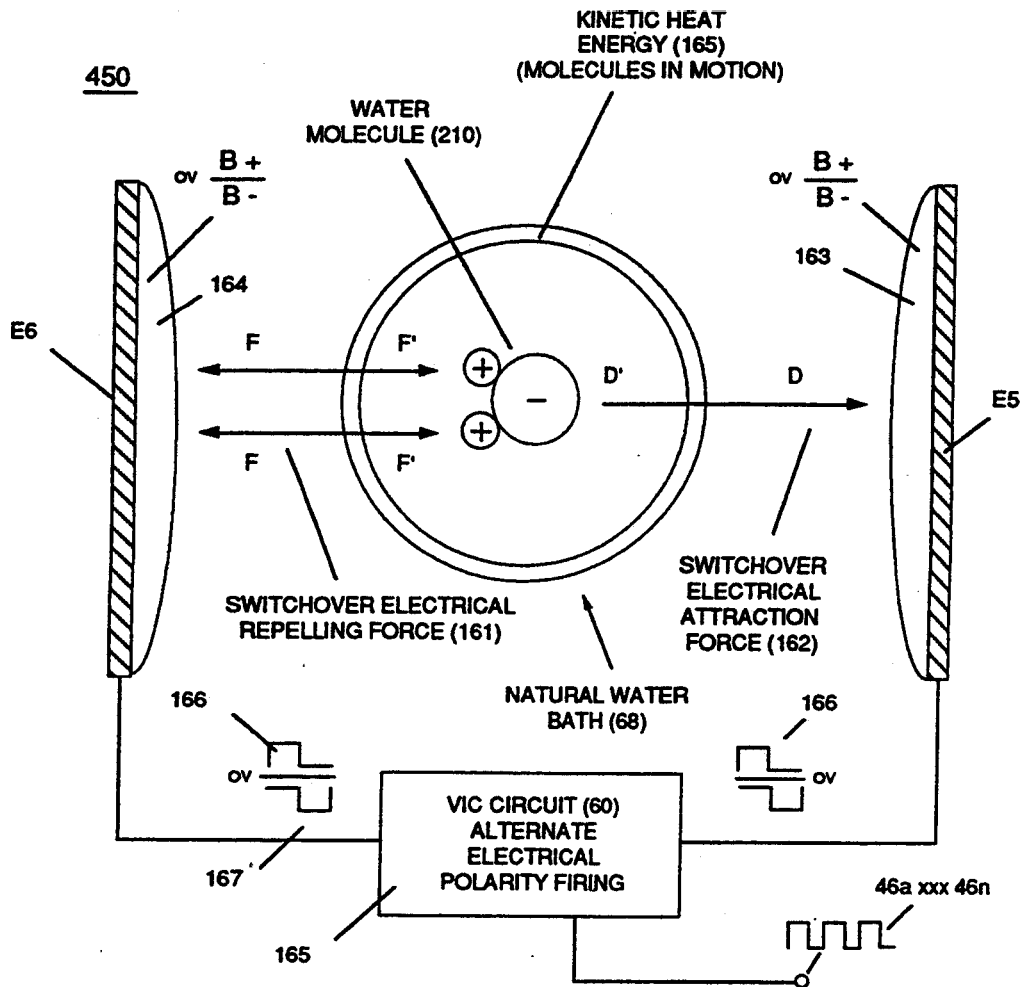


FIGURE 3-46: STEAM RESONATOR

Voir l'original pour les Photos.

Note WFC 423 DA

Cellule de carburant de l'eau

® de système d'injection de carburant de l'eau

Le ® de système d'injecteur de carburant de l'eau traite et convertit arrosez dans un carburant utile d'hydrogène sur demande au point d'allumage de gaz.

Le ® de système d'injecteur de l'eau est variable de conception à être monté en rattrapage en remplaçant des injecteur-ports de combustible fossile apposé aux moteurs de nettoyage au jet conventionnels, système de chauffage, moteurs de fusée, remplacement égal à combustion interne bougies d'allumage de moteur.

Le système de la gestion de carburant de l'eau (WFMS) est a système de commande de logique de calculateur numérique qui active systématiquement l'injection de carburant de l'eau

® de système de la façon suivante... employant l'eau comme carburant.

Section 4

RE : Note WFC 423 DA de système d'injection de carburant de l'eau Stanley A. Meyer 4-1

® de système d'injection de carburant de l'eau

Le système de gestion de gaz d'hydrogène de WFC est idéalement convenu comme système d'énergie de modification à tous les deux

l'échange (moteur de piston rotatoire) et les moteurs de nettoyage au jet de turbine se sont associés à l'industrie d'aviation... mais

dans différentes manières : L'échange des carburant-kits de WFC peut être semblable à la conception de voiture (340) de figure (3-38) de

WFC (422 DA) ; Considérant que, le kit d'injecteur de carburant de l'eau (10) de figure (4-1) peut être alternativement soyez employé comme a

Carburant-unité d'un seul bloc n'ayant aucun navire pressurisé qui convertit l'eau directement en courant ascendant

énergie explosive (gtnt) sur demande, en tant que (10) illustré de figure (4-1) quant à figure (40) de figure (4-2).

Du point de vue fonctionnement, injecteur de carburant de l'eau (10) de figure (4-1) quant à (40) de figure (4-2)

exécute plusieurs fonctionnent simultanément pour produire explosif thermique énergie-rapportent (gtnt) (16) dessus

demande :

La première brume de l'eau (47) de figure (4-4) est injectée dans la chambre de carburant-mélange (35) de figure (45) par

ports de jet d'eau (41a xxx 41n) de figure (4-4) ; Deuxièmement, gaz ionisés d'air (46a xxx 46n) de figure (4

4) (les gaz ambiants d'air amorcés par laser ayant les électrons absents) ont produit par avion ambient Ionizer (80) de

Figure (4-6) quant à figure (4-1) et les gaz non-combustibles (45) de figure (4-4) sont entremêlés de en expulsant l'eau embrumez (47a xxx47n) pour former le mélange d'Eau-carburant (48) par le disque de mélange de gaz (34) de

Figure (4-5) quant à (30) de figure (4-2) ; troisièmement, le mélange mobile résultant d'Eau-Carburant (48) de la figure

(4-5) entre dans l'étape de bougie de tension (180) de figure (4-5) et exposé aux champs de tension d'intensité de h_jgh

(33/36) (en général 2.000 volts ou au-dessus @ de 10 kilohertz ou ci-dessus) de polarité électrique opposée (E7/E8)...

ce qui, alternativement, effectue non seulement le processus électrique de polarisation (160) de figure (3-26) subir

Résonnant diélectrique (240) de figure (3-31) ; mais, également, établit et déclenche l'hydrogène rompant le processus

(390) de figure (3-42) quant à figure (3-6) sous l'état de commande (sur demande) par l'intermédiaire de l'étincelle électrique-statique

allumage (49/51) de figure (4-5)... libérer l'énergie explosive thermique (gtnt) (16) passant au delà du gaz

sortez le port (32) de figure (4-5), comme encore illustré dans figure (4-2) quant à figure (4-1).

Pour assurer la projection appropriée d'énergie-flamme et la stabilité suivante d'énergie-flamme, constantes

la pompe d'eau de déplacement (170) cause et permet les gaz ambiants ionisés d'air (46), non-combustibles

gaz (45), et eau (47) à déplacer sous la pression statique jusqu'à et au delà de 125 livres de livres par pouce carré,

respectivement.

RE : Note WFC 423 DA de système d'injection de carburant de l'eau

Stanley A. Meyer 4-2

La densité d'Énergie-Flamme est augmentée et soutenue en causant les gaz ionisés (46a xxx 46n) de pulvériser le port (42) à guider dans le chemin liquide de jet (41), arrosez ensemble la brume (47) et le gaz ionisé d'air

(46) sont maintenant orientés sur et guidés par le chemin non-combustible de jet de gaz (43)... produisant

mélange en uniforme d'eau-carburant (48), comme illustré dans figure (4-5).

La température d'Énergie-Flamme est réglée en commandant le débit-taux de chaque des fluidemediums

(47 1 451 46) dans le rapport direct avec l'intensité appliquée de tension (33 136), comme encore illustré

dans figure (4-2) quant à figure (4-5). Pour élever l'Énergie-flamme-température encore plus, augmentez simplement

fluide-déplacement (46/47) tout en maintenant ou réduisant le taux de débit de non-combustible gaz (45) pendant une augmentation de l'amplitude appliquée de tension (V_0 xxx de V_0) de figure (4-

2) quant à la tension

Circuit de renforceur (110) de figure (4-9) et du circuit d'extraction d'électron (120) de figure (4-10). À

d'Énergie-flamme de la température augmentation inférieure simplement la quantité de gaz non-combustibles (45a xxx) ou a réduit le débit liquide (45 146/47)) uniformément tout en abaissant l'amplitude de tension d'impulsion (xxx Vo).

Pour établir une température prédéterminée ou donnée d'Énergie-flamme ajustez le fluide-milieu (45 I 46 I 47))

et indépendamment appliqué de l'amplitude de tension (V 0 xxx) de l'un l'autre pour obtenir les résultats désirés.

Le modèle résultant d'énergie-flamme est encore maintenu en permettant mis à feu, comprimé, et gaz mobiles (29) de figure (4-5) à projeter à, de passage par et au delà du bec-port (32) sous pression en raison de l'expansion de gaz provoquée par l'allumage thermique de gaz.

Étape de bougie de tension (180) de figure (4-5) quant à figure de circuit de renforteur de tension (110) (49) As

au circuit d'extraction (1 : ?0) de figure (4-10) exécute plusieurs fonctions simultanément pour lancer et

déclenche explosif thermique énergie-rapportent (gtnt) (16) au delà des niveaux à gaz normaux : Arrosez les gouttelettes (28a xxx 28n) s'échappant de la jet-brume (47) et exposé à l'intensité des champs de tension de la polarité opposée 33/36) sont stimulés pour subir le processus électrique de polarisation (160)

de figure (3-26)... qui non seulement sépare et dédouble les atomes différents de la molécule d'eau mais également

cause les atomes différents (atomes d'hydrogène 77a/77b et atome d'oxygène 76) à l'éjection d'électron d'expérience

(230) de figure (3-30) quant à (71) de figure (4-10) depuis le circuit de renforteur de tension (110) de figure (4-9)

empêche et empêche l'écoulement d'électron pour entrer dans le procédé d'allumage de gaz (180), comme encore illustré dedans

Figure (4-8).

RE : Note WFC 423 DA de système d'injection de carburant de l'eau Stanley A. Meyer 4-3

Les atomes nouvellement libérés de molécule d'eau (l'oxygène 76 et atomes d'hydrogène 77a/77b) immédiatement interactif avec les gaz ambiants ionisés d'air amorcés par laser (7a xxx 7n du schéma 1-15) (voir le WFC

note 420) pour causer les atomes combustibles déstabilisés fortement activés et de masse de résultante de gaz (93a

xxx 93n) de figure (4-10) pour exécuter l'hydrogène rompant le processus (80) de figure (49) quand la force électrostatique (14/16) met à feu thermiquement (agitation cinétique) le mélange déstabilisé d'eau-carburant (93a xxx

93n) sous la compression de gaz... empêchant la formation de la molécule d'eau pendant le gaz thermique

équation satisfaisante de détonation de gaz d'énergie d'allumage....

(Eq 18)

Quels états

Cela, toutes les fois que la masse-taille d'un atome combustible de gaz est diminuée (Md), explosif thermique

énergie-rapportez (gtnt) est augmenté (Ein) pendant la combustion de gaz de thennal (/de gaz/détonation.), en tant qu'ainsi

illustré dans (100) figure (4-8) quant à (90) de figure (4-7).

Les gaz ambiants entrants d'air (5a xxx 5n) deviennent laser amorcé et se sont ionisés en passant par l'air ambiant Ionizer (processeur de gaz) (80) de figure (4-6) quant (10) de figure (4-1) à depuis le circuit d'extraction d'électron (120) de figure (4-10) non seulement capture et consomme les électrons éjectés (7a xx 7n) de figure (4-8) ; mais, empêche également l'écoulement d'électron dans le processus de déstabilisation de gaz (180), en tant qu'ainsi illustré dans figure (4-5).

.

En termes de fiabilité et sûreté d'exécution, gaz ionisés d'air (46a xxx 46n) et eau liquide (47a xxx 47n) ne deviennent pas l'énergie activée (volatil) jusqu'à ce que le mélange d'eau-carburant (48) atteigne la tension

Étape de bougie (180). Retards et commandes non-combustibles injectés des gaz (45a xxx 45n) la combustion

taux de l'hydrogène rompant le processus (100) de figure (4-8) pendant le gaz-allumage.

Dans l'autre ou des applications alternatives, le laser amorcé a ionisé l'oxygène liquide (68) de figure (1-21) (voyez

Note 420 de WFC) et hydrogène liquide amorcé par laser (69) de figure (1-21) stockée dans les carburant-réservoirs séparés

peut être employé au lieu du carburant-mélange (48) ; ou, l'air ambiant liquéfié seul intoxicique (6) avec l'eau-source

(8) peut, également, être substitué comme carburant-source (48) pour déclencher l'hydrogène rompant le processus (100).

Les Assemblées additionnelles d'injecteur de WFC (20) de figure (4-1) sont arrangées dans le faisceau

RE : Note WFC 423 DA de système d'injection de carburant de l'eau Stanley A. Meyer 4-4

la rangée (20a xxx 20n) à augmenter énergie-rapportent le rendement (16a xxx 16n) de figure (4-12/4-13/4-14).

L'injecteur de WFC (10) de figure (4-1) quant à (30) de figure (4-2) est variable de conception à être modifiable en remplaçant des ports d'injecteur de combustible fossile a apposé aux moteurs de nettoyage au jet (voir le schéma 4-13), chauffant

systèmes (le schéma 4-12), moteurs de fusées (le schéma 4-14), ou même bougies d'allumage de voiture (130) de figure (4-11)

ce qui emploie simplement le système de mesure liquide de système de la gestion de carburant de l'eau (WFMS) (40) pour commander le gaz

allumage (16), comme illustré dedans (40) de figure (4-2). Palpitation séquentielle de l'injecteur de carburant de l'eau (20/30) de

Figure (4-1) quant à (40) de figure (4-2) est système activé par la soupape à vanne d'impulsion (190) de figure (4-1) à

davantage de commande une énergie-flamme prédéterminée (16).

Essentiellement, puis, le système d'injecteur de carburant de l'eau (40) simplement transforme et convertit l'eau en

un carburant utile d'hydrogène sur demande au moment où l'allumage de gaz... de ce fait, la Co-égal ou le remplacement

normes de sûreté de combustible fossile... particulièrement quand gaz ambiants d'air (400 xxx 46n) et non-combustible ionisés

les gaz (45a xxx 45n) sont entremêlés de l'alimentation en eau (47) avant le carburant entrant de l'eau Prise d'injecteur (20/30), comme illustré dedans (40) de figure (4-2) quant à (10) de figure (4-1).

RE : Note WFC 423 DA de système d'injection de carburant de l'eau Stanley A. Meyer 4-5

RE : Note WFC 423 DA de système d'injection de carburant de l'eau Stanley A. Meyer 4-6

RE : Note WFC 423 DA de système d'injection de carburant de l'eau Stanley A. Meyer 4-7

RE : Note WFC 423 DA de système d'injection de carburant de l'eau Stanley A. Meyer 4-8

RE : Note WFC 423 DA de système d'injection de carburant de l'eau Stanley A. Meyer 4-9

RE : Note WFC 423 DA de système d'injection de carburant de l'eau Stanley A. Meyer 4-10

RE : Note WFC 423 DA de système d'injection de carburant de l'eau Stanley A. Meyer 4-11

RE : Note WFC 423 DA de système d'injection de carburant de l'eau Stanley A. Meyer 4-12

RE : Note WFC 423 DA de système d'injection de carburant de l'eau Stanley A. Meyer 4-13

Équilibre d'énergie atomique de l'eau

D'où est-ce que l'énergie vient si la tension est employée pour séparer la la molécule d'eau dans elle est les gaz composants pour l'utilisation de gaz d'hydrogène ?

Est-il possible d'atténuer les champs électriques des atomes combustibles de gaz pour augmenter là la force avant l'allumage de gaz ?

Par quelle façon est-ce que l'équilibre d'énergie atomique des atomes combustibles de gaz peut-il être changé pour augmenter explosif thermique énergie-rapportent ?

De la pression électrique de la polarité opposée est-elle seulement exigée pour osciller l'ouverture d'énergie des atomes combustibles de gaz pour permettre l'utilisation de l'énergie universelle ?

La stimulation de tension de la molécule d'eau par le processus électrique de polarisation, maintenant, place vers le haut et déclenche l'hydrogène rompant le processus pour le perfectionnement d'énergie... et est exécutée de la façon suivante :

Section 5

Équilibre d'énergie atomique de l'eau en utilisant l'eau comme carburant

Abstrait

L'équilibre d'énergie atomique de l'eau est activé et exécuté dans une séquence d'opérations dans un instant de temps. L'hydrogène rompant le processus simplement déclenche et libère l'énergie atomique de l'eau normale par le retard et ralentissant la réforme de la molécule d'eau étant soumise à l'état sous-critique pendant l'allumage thermique de gaz. Le circuit de renforceur de tension apporte sur le processus électrique de polarisation ce des commutateurs outre du lien covalent de la molécule d'eau sans ampère influxing. Le pompage d'énergie subissant « la propagation résonnante » de l'effort électrique opposé oscille la « ouverture d'énergie » des atomes combustibles de gaz pour augmenter le niveau d'énergie atomique des atomes combustibles de gaz avant l'allumage de gaz. Le processus d'extraction d'électron ionise les gaz combustibles fortement activés pour diminuer la masse atomique tandis que l'Impulsion-Fréquence appliquée de tension de polarité électrique opposée lance le processus de déclenchement le débattement une fois que maximum de tension est réalisé... libérant l'énergie explosive thermique (gtnt) au delà des niveaux à gaz normaux. L'énergie contenue en gallon de l'eau excède 2.5 millions de barils de pétrole une fois égalisée en termes d'énergie atomique. Arrosez, naturellement, est libre, abondante, et l'énergie recyclable.

Pompage d'énergie

Une fois à la différence des atomes de la molécule d'eau (210) sépare dans elle est les gaz composants par le processus électrique de polarisation (160), nouvellement libérée et plus tard l'hydrogène flottant librement (77 a/b), l'oxygène (76), et les gaz dissous d'air (97) (voir le schéma 325 de la note 420 DA de WFC) submergés sur le bain d'eau (68) sont encore soumis à la stimulation d'impulsion-tension (solides solubles/rr «_ IL »/UU ')... exerçant la pression électrique de la polarité opposée au niveau atomique, comme illustré dans figure (5-1) quant à figure (5-2) et figure (5-8).

Causes et formes appliquées des champs de tension (66-E1/67-E2) les deux forces opposées d'attraction Rue - ST) et (RU - RU ') à travers l'atome exposé d'hydrogène (77) puisque le négatif chargé :l'électron d'hydrogène (1) est attiré et guidé vers le champ positif stationnaire de tension (66) ; tandis que le proton chargé positif d'hydrogène (3) (noyau d'hydrogène) est attiré et, simultanément, déplacé la direction opposée vers le champ stationnaire de tension (67)... causant l'élongation du chemin orbital de l'électron mobile (1)... changeant le taux de division du temps de l'électron... s'appliquant et superposant

RE : Équilibre d'énergie atomique de la note WFC 424 de l'eau

tension électrique (4) sur la force opposée d'attraction (l'AA') qui existent entre l'électron orbital chargé négatif (1) et le proton chargé positif (3)... qui, dans l'ordre, applique et superpose la tension électrique (5) aux forces opposées d'attraction (le ZZ') qui existe et occupe l'espace entre les particules de proton amasse (6a xxx 6n) et l'ouverture d'énergie (7).

Enclenchée ensemble, « la tension électrique résultante des forces » (4/5) est directement liée à l'intensité de tension (rue - ST/RU - RU) des champs appliqués de tension (66/67) qui est variable quant à l'amplitude appliquée de tension (V_0 xxx). L'amplitude croissante de tension (xxx navigation verticale) augmente encore plus la tension électrique (4/5) étant appliquée à l'ouverture d'énergie (7) ou vice versa. Cette augmentation ou diminution établie de la pression électrique (4/5), cause maintenant l'ouverture d'énergie (7) à agrandissent ou deviennent plus petite quant à l'amplitude appliquée de tension (navigation verticale de V_0 xxx), respectivement. Une fois que l'impulsion de tension appliquée de la polarité opposée (66/67) est terminée pendant l'impulsion en prolongation, alors l'ouverture d'énergie (7) s'ajuste automatiquement pour maintenir une force donnée puisque chaque oscillation d'ouverture (expansion d'ouverture) émet une quantité discrète d'énergie universelle (9) dans le proton (3) par l'intermédiaire de la voie d'énergie (ZZ'), comme illustré dans figure (5-1).

La palpitation réitérée des champs appliqués de tension (66/67), maintenant, oscille l'ouverture d'énergie (7) pour émettre même une plus grande quantité d'énergie universelle (9a xxx 9n) dans le spectre d'énergies du noyau de proton (3) à absorber de ce fait..., augmentant la force de l'atome d'hydrogène encore plus.... guidant l'électron d'hydrogène (1) à un état d'énergie plus élevée, comme illustré dedans (520) de figure (5-3). L'état résultant d'énergie d'augmentation est directement lié à la fréquence appliquée de tension d'impulsion à un niveau de tension prédéterminé.

De même, l'atome d'oxygène libéré (76) et d'autres gaz dissous d'air (97) submergés sur le bain d'eau (68) subissent et éprouvent le pompage d'énergie semblable (520) (oscillation d'ouverture) de l'ouverture là respective d'énergie (11a xxx 11n) une fois exposés à la stimulation de tension (66/67), comme encore illustré dans figure (5-2). Dans cette phase d'application, vis-à-vis de la force d'attraction (le BB') fournit un chemin de transfert d'énergie (12) à chaque proton respectif (3a xxx 3n) d'ouverture d'énergie (11) qui sont centralement formées pendant le proton groupant... établissant le noyau (14) de figure (5-2).

Propagation résonnante

Ceux-ci ont fortement activé et ont libéré les atomes de bain d'eau (76n7/97), maintenant, action résonnante de causes pour se produire à un taux progressif pendant la stimulation continue de tension... menant au

RE : Équilibre d'énergie atomique de la note de l'eau WFC 424 après des paramètres opérationnels de production de gaz d'hydrogène pour l'utilisation d'énergie de l'eau normale :

L'action résonnante (21) (point d'oscillation de particules) se produit quand la fréquence appliquée de tension d'impulsion (46) de figure (5-5) est ajustée sur « accorder-dans » sur la résonance diélectrique de l'eau par l'intermédiaire du circuit de renforceur de tension (60) de figure (5 - 3) ; considérant que. l'amplitude appliquée de tension (navigation verticale de V_0 xxx) qui est l'indépendant de la fréquence de résonance est ajustée sur des atomes de bain d'eau de cause pour entrer momentanément dans l'état d'ionisation de Liquide-à-gaz.... éjectant les électrons chargés négatifs... formant les atomes chargés positifs ayant les électrons absents... former les atomes chargés négatifs par la capture électronique. comme illustré dedans (520) dans figure (5-3) quant à la figure (5-4A) et la figure (5-4B).

Composer l'action (22) (débattement des particules chargées électriques) par la stimulation de tension facilite l'action résonnante en superposant l'impact de particules sur à l'élément. élect. Processus de polarisation (160).

Action résonnante (21), composant l'action (22), injection de laser (17). et le pompage d'énergie (520), maintenant, permet la production des gaz d'hydrogène et de l'oxygène de l'eau dans la progression géométrique à l'hydrogène d'ensemble vers le haut rompant le processus (90). comme illustré dans la figure (5-4C) quant à figure (5-5).

Déclenchement du processus

Pendant que la brume de l'eau (68a xxx 68n) est injectée et dosée dans la cavité résonnante (180) de figure (5-5) (injecteur de carburant de l'eau) sous pression, la tension résonnante appliquée d'impulsion (46) exécute plusieurs fonctions séquentiellement dans un instant de temps : la brume de l'eau de convertis (68) dans elle est l'hydrogène de gaz de composant (77 a/b). l'oxygène (76). et gaz ambiants d'air (97) ; ionise momentanément les gaz libérés par l'éjection d'électron (230), et met à feu thermiquement le gaz-mélange combustible ionisé sous « la pression électrostatique » qui atténue directement les ouvertures d'énergie (7a xxx 7n) (520)... libérant l'énergie explosive thermique (gtnt) au delà des niveaux à gaz normaux sur demande, comme illustré dans figure (5-5). Une fois qu'une quantité de quantum d'énergie explosive thermique (gtntn de gtnta xxx) est libérée alors les gaz combustibles reviennent à l'état stable en formant la brume désactivée de l'eau (531). suivant les indications de (530) de figure (5-6).

RE : Équilibre d'énergie atomique de spectre de recyclage d'énergie de la note WFC 424 de l'eau

Une fois expulsé dans l'atmosphère de la terre (541), la brume de l'eau (d'eau d'atomes en partie déactivés dépensée par énergie de molécule) (531) re-est exposée à l'énergie du soleil (534) pour laisser et causer le processus d'absorption d'énergie de photon (532) de la figure (5-7) que cela, maintenant, revitalise et renvoie les atomes déactivés de molécule d'eau (531a xxx 531n) à l'état stable d'énergie (538) quand la brume épuisée de l'eau (531) subissent le processus d'évaporations de l'eau (531) pour former les formations de nuage d'humidité (533) qui, quand et après formé, sont continuellement exposés à rayons entrants du soleil (539a xxx 539n) jusqu'à ce que les gouttelettes de pluie (535) retournent nouvellement molécules d'eau re-activées (538a xxx 538n) pour mettre à la terre l'alimentation en eau (536)... accomplissant le spectre ouvert de recyclage d'énergie (530) pour la réutilisation d'énergie, comme encore illustré dedans (530) de figure (5-6). Le processus d'absorption d'énergie de photon (531) de figure (5-7), naturellement, peut se produire dans un instant de temps.

Dans l'application de l'utilisation

L'hydrogène rompant le processus (390) de figure (3-42) simplement déclenche et libère l'énergie atomique (gtnt) de l'eau normale (85) de figure (3-26) en retardant et en empêchant la réforme de la molécule d'eau étant soumise à l'état sous-critique (520) de figure (5-3) pendant l'allumage thermique de gaz (100) de figure (4-8) quant à (70) de figure (4-5). Le circuit de renforceur de tension (110) de figure (4-9) apporte sur « le processus électrique de polarisation » (160) de figure (3-26) cette des commutateurs outre du lien covalent (550) de figure (5-8) de la molécule d'eau sans ampère influxing. Pompage d'énergie (500) de figure (5-1) quant (510) derrière figure (5-2) subissant « la propagation résonnante » de l'effort électrique opposé (ST-ST'/RU-RU') oscille la « ouverture d'énergie » (7a -- 7n) des atomes combustibles de gaz pour augmenter le niveau d'énergie atomique (voir le graphique Qill du schéma 6-4 des atomes combustibles de gaz avant l'allumage de gaz. Le processus d'extraction d'électron (230) de figure (3-30) quant à (270) de (3-34) ionise les gaz combustibles fortement activés pour diminuer la masse atomique tandis que la forme d'onde de déplacement appliquée de tension (57) de figure (6-2) de la polarité électrique opposée (E9-66/E10-67) lance le processus de tension-déclenchement (600) de figure (6-3) le débatement une fois maximum de tension (Vo - la Virginie - Vb - Vc - navigation verticale) de figure (6-4) est réalisé au l'Activation-Point (E9d) de figure (6-2)... libérant l'énergie explosive thermique (gtnt) du niveau atomique de la molécule d'eau. L'énergie contenue en gallon. de l'eau excède 2.5 millions de barils de pétrole une fois égalisé en termes d'énergie atomique. Arrosez, naturellement, est libre, abondant et énergie-recyclable.

RE : Équilibre d'énergie atomique de Commutateur-Au loin covalent de la note WFC 424 de l'eau

Le Commutateur-Au loin covalent se produit une fois guidée et la voie orbitale prolongée d'électron (541) atteint un point où appliqué vis-à-vis de l'effort électrique (ST-ST'/RU-RU') (le Z-Z') d'A-A'/est assez suffisant pour causer l'action gyroscopique (542) de particules de noyau (543a xxx 543n) d'être réduit dans la tourner-vitesse orbitale... qui, en se produisant, affaiblit directement la liaison covalente de la molécule d'eau (q-q') en atténuant les champs électromagnétiques de chaque structure d'atome de la molécule d'eau (210) de figure (3-27) (note WFC 422DA) étant soumise à et subissant le processus électrique de polarisation (160) de figure (3-26) (note WFC 422DA), comme encore illustré dans (550) de figure (5-8).

Équilibre d'énergie atomique

La vitesse orbitale de opposition du facteur de force (548) (- de masse de particules se déplaçant par un champ électrostatique 544 ayant une charge électrique négative 546 et montrant un champ électromagnétique 547) (549) de l'électron mobile (s) (la xxx dedans) est continuellement compensée et surmontée quand une quantité discrète d'énergie universelle (9) entre dans et agit l'un sur l'autre avec le spectre d'énergies de l'atome par l'énergie stable laissant et de maintien de l'ouverture d'énergie (7)... - état de l'atome même si d'autres stimulus d'énergie ne sont pas disponibles au delà de l'incorporation physique de l'atome... comme l'absence de l'absorption de lumière du soleil (photon). Voir la note de l'annexe (b) (3).
Ouverture d'énergie de l'atome

L'ouverture d'énergie (7) de figure (5-8) existe dans toutes les structures atomiques (différents atomes) et fonctions comme valve à sens unique d'énergie quand le vortex entrant d'énergie transfère une quantité donnée ou discrète « d'énergie universelle » (ayant le potentiel d'énergie plus élevée) dans le spectre d'énergies de l'atome pour compenser et maintenir « l'équilibre d'énergie atomique » pendant l'état « tranquille » ou « actif » de chatouiller l'oscillation de panicle comme générateur d'énergie (exemple, rebondissant des électrons dans sinusoïdal-ondulent la forme à son chemin orbital pour causer des oscillations d'onde électromagnétique)... permettant l'afflux « de l'énergie universelle » (énergie légère) au vortex vers l'intérieur vers la pièce de centre de la spinvelocity orbital « gyroscopique » des panicles de noyau étant déplacés autour d'un axe commun de rotation... « l'action gyroscopique » résultante réglant l'intensité de débit centripète ou d'écoulement « de l'énergie universelle » dans le rapport direct avec la tourner-vitesse orbitale de particule-structurer géométrique (les particules enclenchantes groupées en rapport de l'espace entre eux) a placé dans le mouvement orbital, comme illustré dedans (570) de figure (5-10).

RE : Équilibre d'énergie atomique de déclencheur d'énergie solaire de la note WFC 424 de l'eau

Le spectre de recyclage d'énergie (530) est réalisé depuis expulser la molécule d'eau déactivée (s) (538a xxx 538n) de figure (5-7) est/sont opto-sensible à l'énergie de photon (537a xxx 537n) du fait photonenergy (537) se compose d'énergie radiante électromagnétique transmise par l'intermédiaire de l'espace par des impulsion-oscillations connues sous le nom de « fréquence de longueur d'onde » et, est exprimé par un quantum d'énergie électromagnétique en équation suivante

(Eq 31)

$$E = hT$$

Là où,

(e) est l'énergie, (h) est la constante de Planck des erg-deuxièmes (de temps d'énergie X) (6.547×10^{-27}), et le (v) est

la fréquence liée au photon.

L'élan du photon dans la direction de la propagation transversing le milieu de l'espace est ainsi exprimé par l'équation suivante

(Eq 32)

$$hT/c$$

Là où,

(c) est le quantum d'énergie électromagnétique a porté dedans un peu et se déplacer avec la vitesse de la lumière, comme ainsi illustré dans figure (5-11). Photon optique ayant des énergies correspondre aux longueurs d'onde entre les nanometres 120 et 1800... de ce fait, propageant la lumière du soleil ou ses rayons directs (539a xxx 539n) de figure (5-6).

Exposer l'expulsion a déactivé les gouttelettes de l'eau (531) de figure (5-6) à la lumière du soleil entrant (534) de figure (5-7), maintenant, le processus d'absorption de photon de causes (537) pour braquer l'électron orbital (s) à un énergie-état plus élevé (538) loin du noyau d'atome comme ainsi illustré dedans (520) de figure (5-3) quant à (540) de figure (5-7) une fois que le noyau d'atome absorbe l'énergie affluante de photon (537). L'électron braqué (s), alternativement, applique une augmentation/plus grand électrique-soumettent à une contrainte (A A) sur la tourner-vitesse gyroskopique des particules de noyau (570) de figure (5-10) quant (550) derrière figure (5-8)... faisant osciller l'ouverture d'énergie (7) de figure (5-10) comme « générateur d'énergie »... déchargeant l'énergie universelle (9) de figure (5-10) dans le noyau d'atome' ... permettant à l'ajustement de niveau d'énergie atomique (540) de figure (5-7) d'avoir lieu, comme illustré dedans (970) de figure (512)... re-activant la molécule d'eau pour la réutilisation d'hydrogène, comme illustré dedans (530) de figure (5-6).

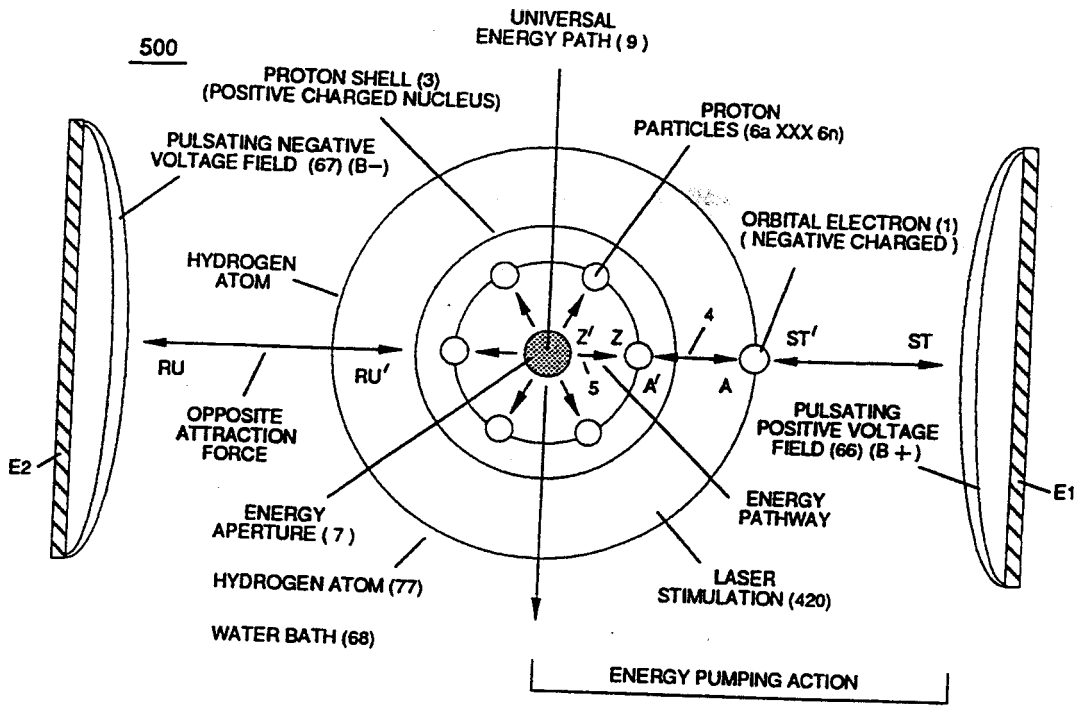


FIGURE 5-1: HYDROGEN ENERGY BALANCE

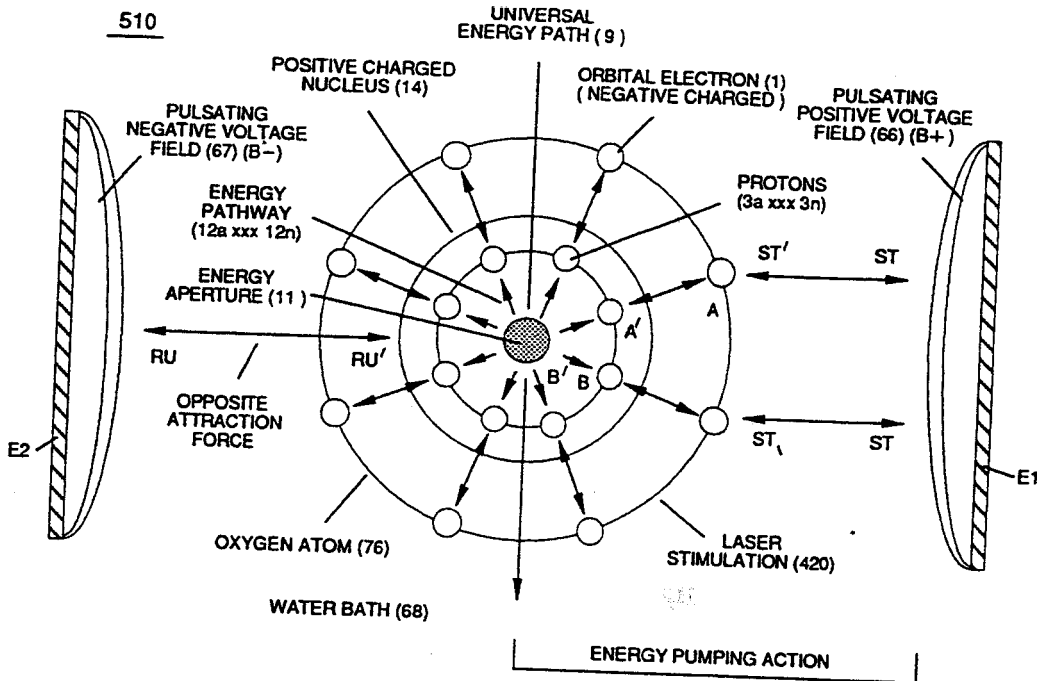


FIGURE 5-2: OXYGEN ENERGY BALANCE

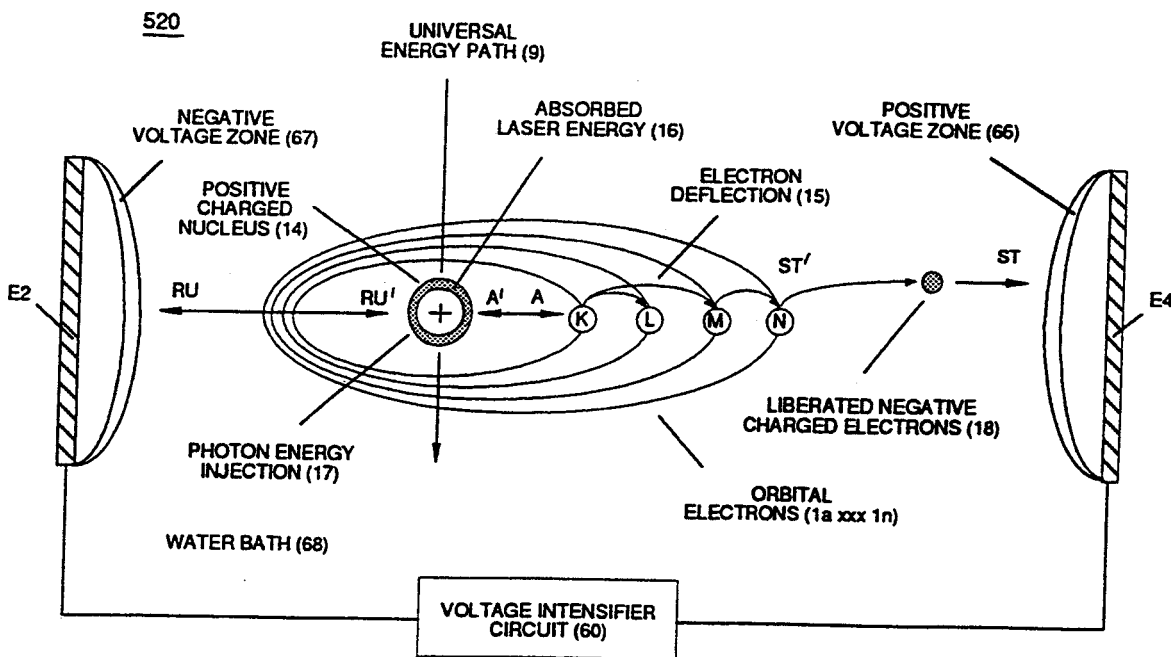


FIGURE 5-3: ENERGY PUMPING ACTION

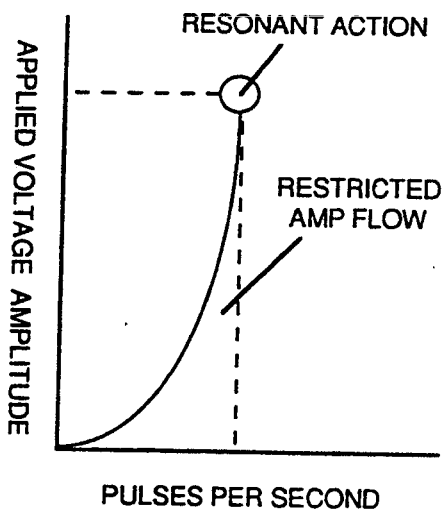


FIG. 5-4A: TRIGGERING RESONANCE

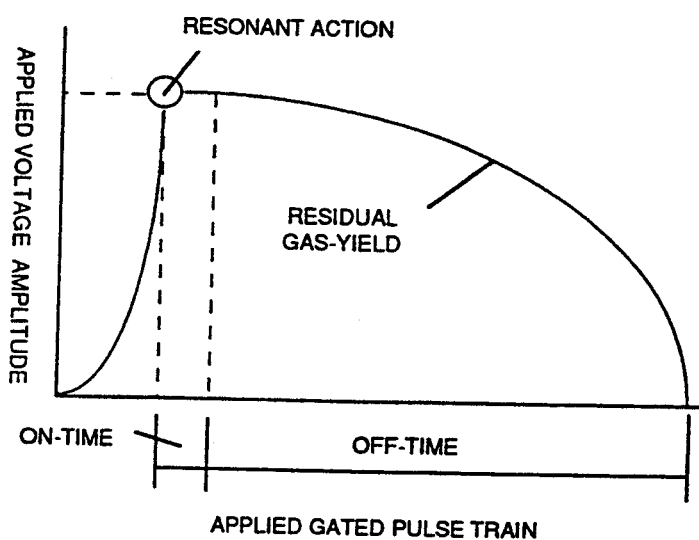


FIG. 5-4B: SUSTAINING RESONANCE

RE : Équilibre d'énergie atomique de la note WFC 424 de l'eau

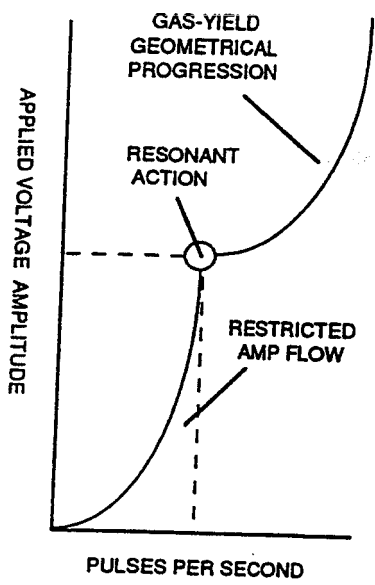


FIGURE 5-4C: RESONANT PROPAGATION

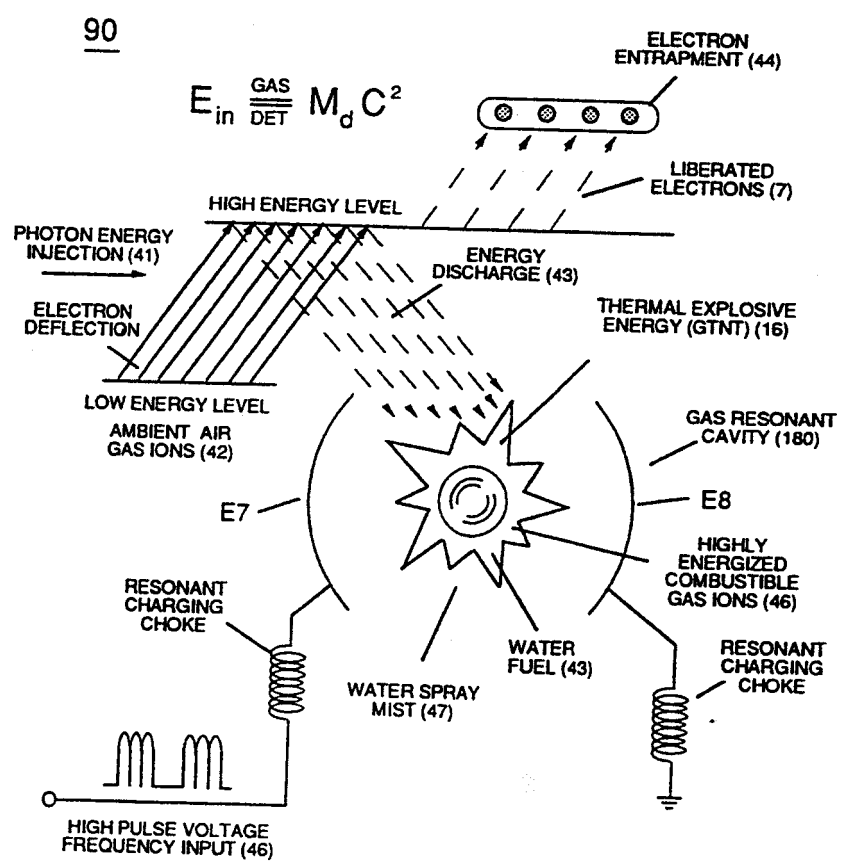


FIGURE 5-5: VOLTAGE IGNITION

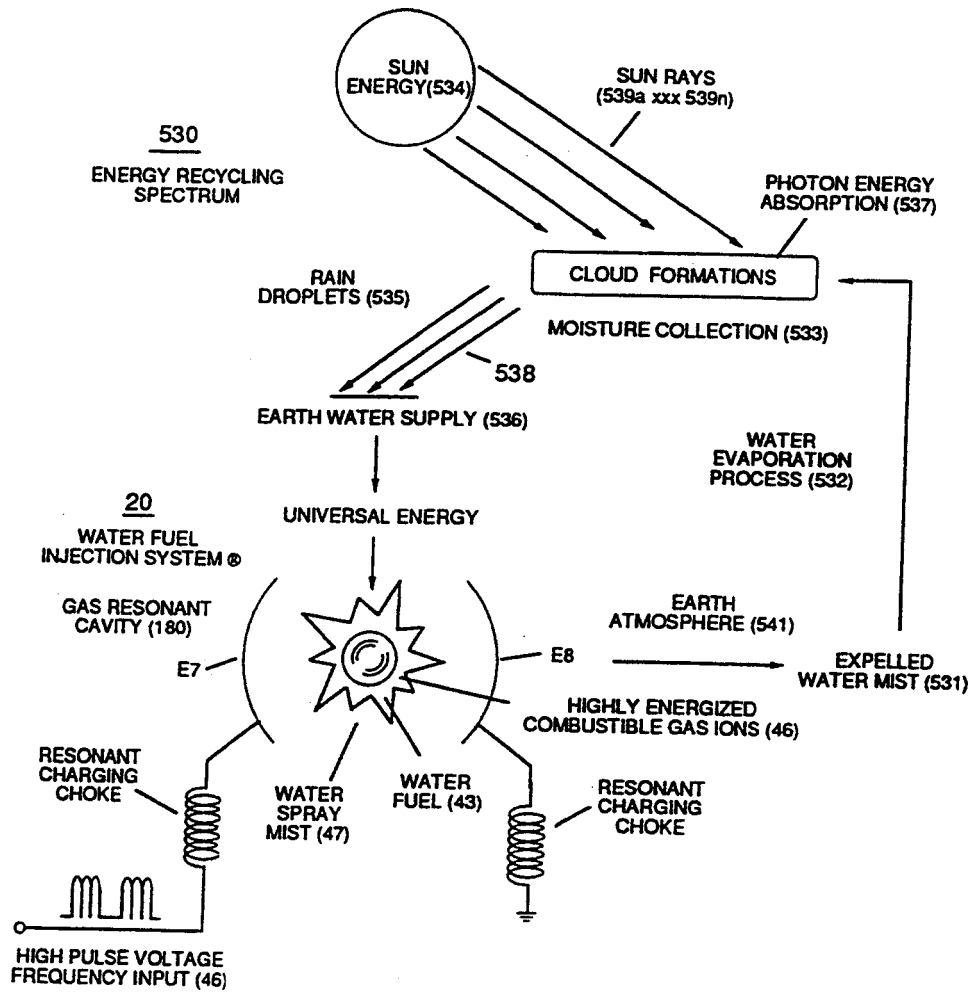


FIGURE 5-6: OPEN ENDED ENERGY SYSTEM

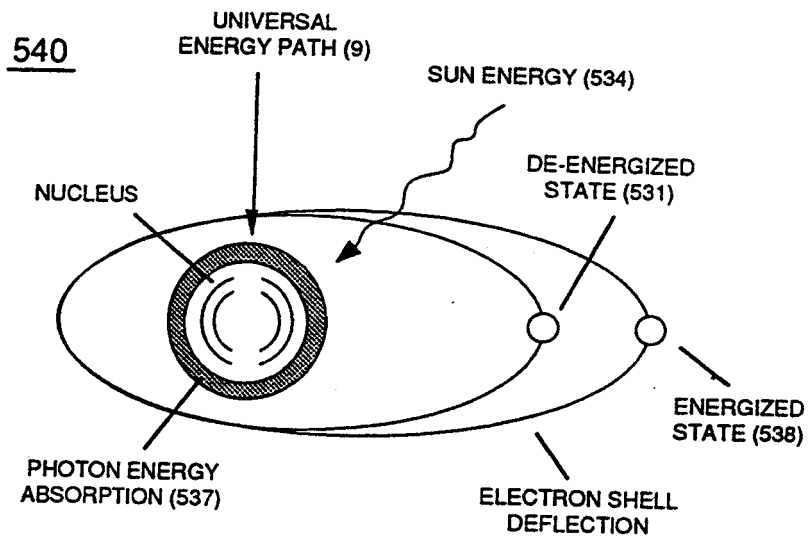


FIGURE 5-7: ATOMIC ENERGY LEVEL ADJUSTMENT

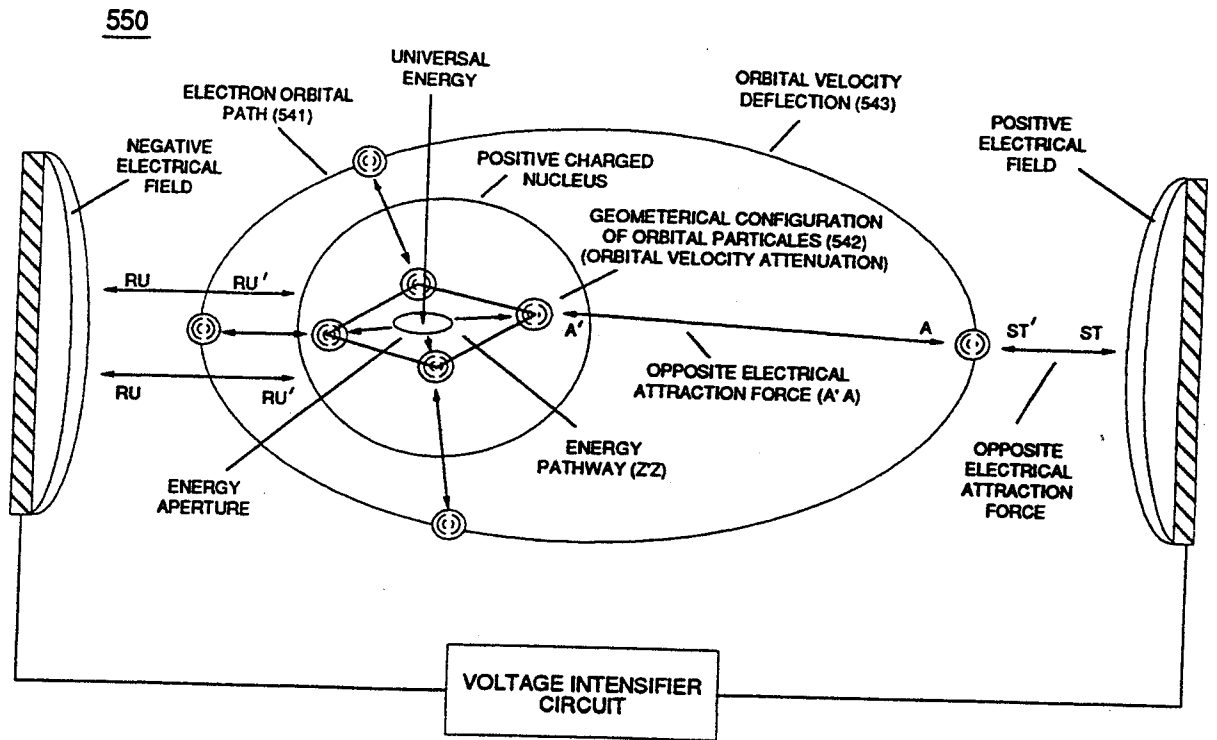


FIGURE 5-8: COVALENT SWITCH-OFF

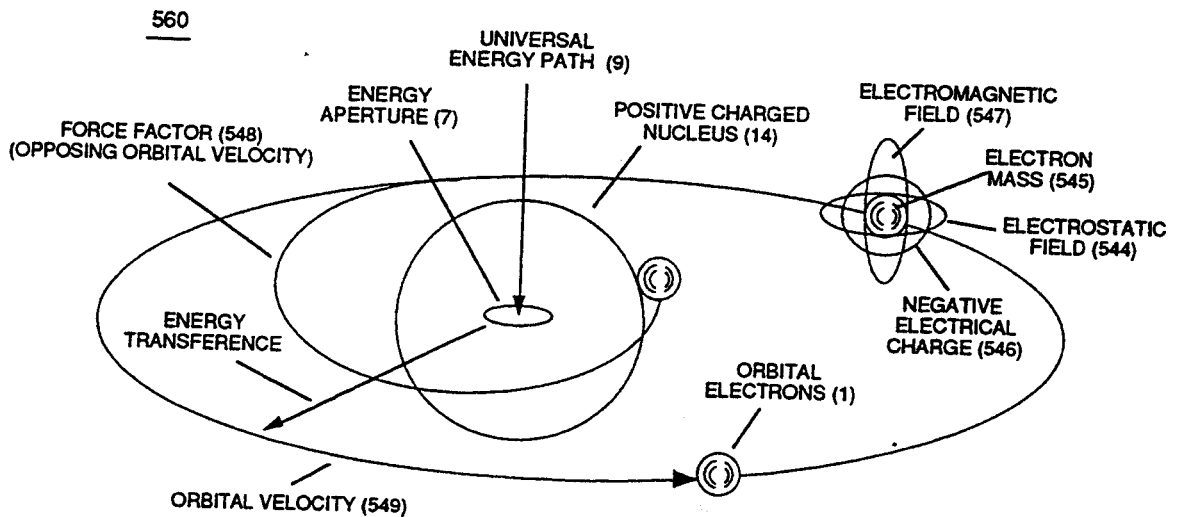


FIGURE 5-9: ATOMIC ENERGY EQUILIBRIUM

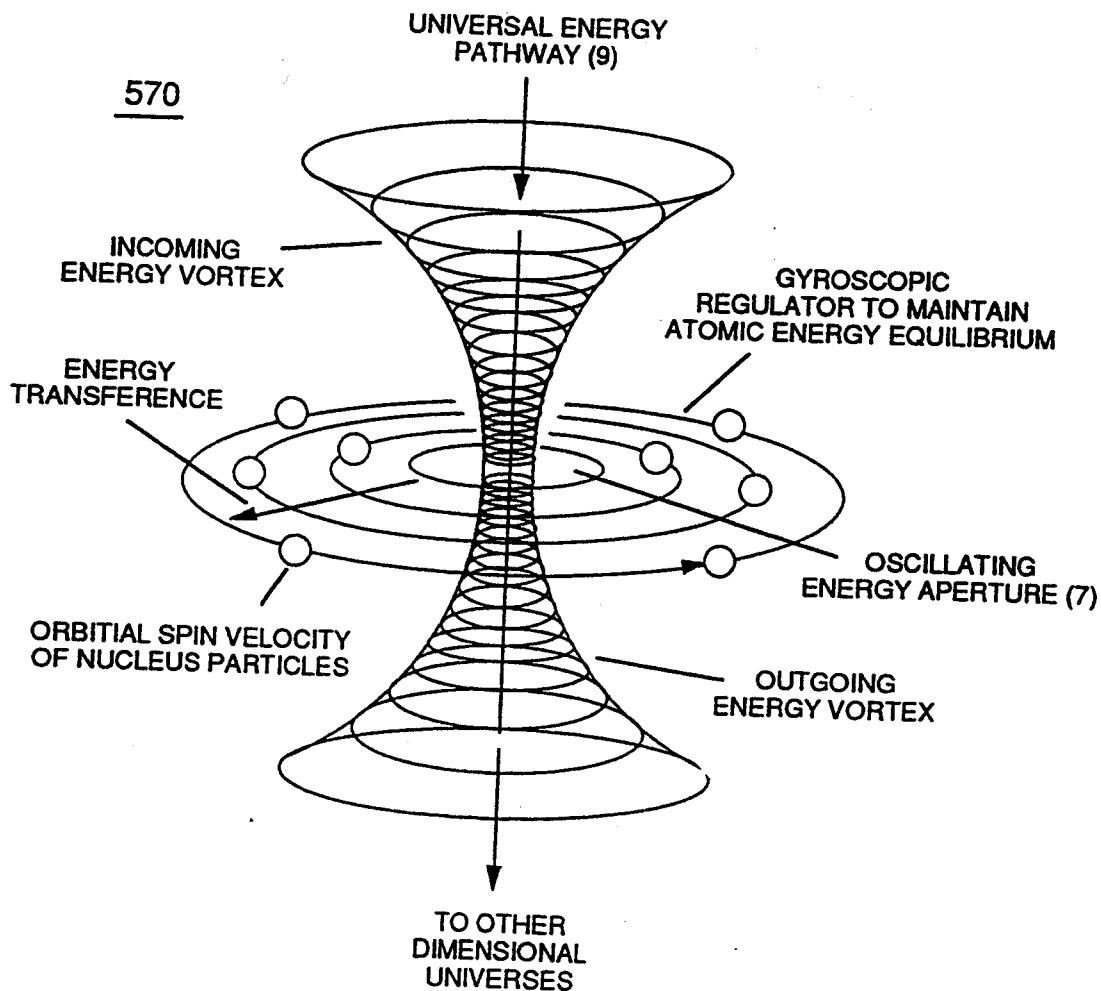


FIGURE 5-10: ENERGY APERTURE OF THE ATOM

960

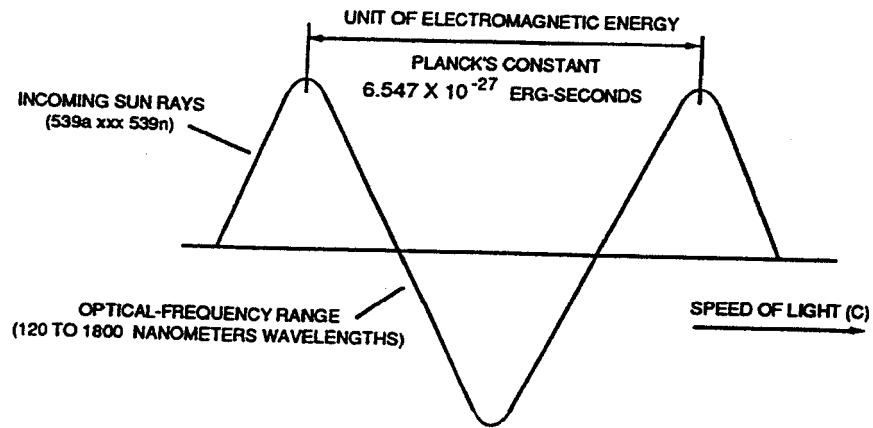


FIGURE 5-11: OPTICAL PHOTON

970

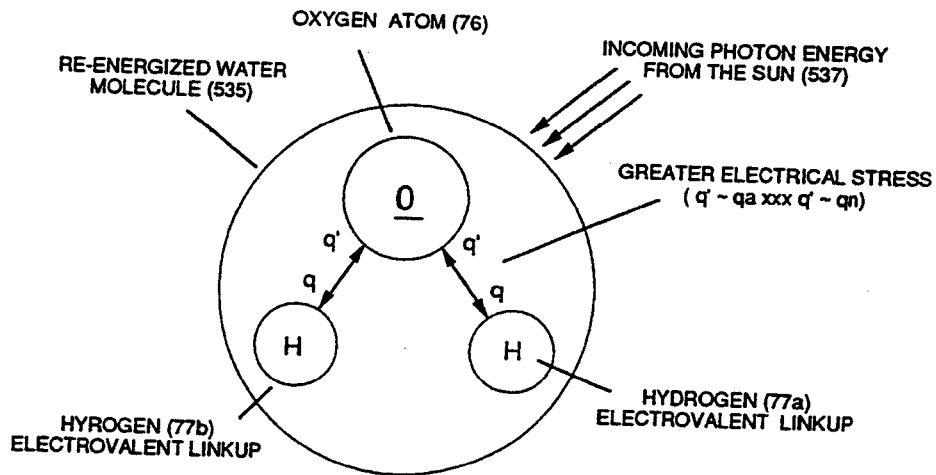


FIGURE 5-12: ENERGY ACTUATOR

Injecteur de carburant de l'eau : Cavité résonnante de cône

Accorder-dans aux propriétés diélectriques de l'eau par la tension la stimulation permet à un sequent des événements de se produire dans un instant de temps :

Superposant « l'effort électrique » de la polarité opposée de tension à la liaison covalente de commutateur-au loin pour effectuer le processus électrique de polarisation de l'eau.

Propagation de l'utilisation de l'énergie universelle par « énergie - oscillation d'ouverture » des atomes combustibles de gaz de dégagement de l'eau.

Oscillation encourageante de particules comme « générateur d'énergie » pour promouvoir la « perfection d'énergie » les ions combustibles de gaz avant le gaz-allumage une fois que l'éjection d'électron se produit.

Déclenchant les atomes combustibles « fortement activés » de gaz de l'eau par « élém. élect. atomique déchargé » pendant qu'une pression électrostatique toujours croissante de polarité opposée de tension sous la résonance d'impulsion est appliquée à travers la molécule d'eau... libérant l'énergie explosive de thermal (gtnt) sur demande de la façon suivante :

Section 6

RE : Injecteur de carburant de l'eau de la note WFC 425 de système d'injection de
carburant de l'eau (cavité résonnante de cône)

Potentiel de tension de la polarité électrique opposée (rue - *ST* - RU - le RU') de figure (5-1) (note WFC 424) « équilibre intitulé d'énergie atomique de l'eau » est encore augmenté en connectant simplement électriquement le lover-ensemble de circuit de renforceur de tension (VIC) (580) de figure (6-1) avec 'la cavité résonnante de cône » (590) de figure (6-2), comme schématiquement illustré dedans (60) de figure (3-22) quant à la configuration de noyau d'impulsion (190) de figure (3-23) (note WFC 422 DA) « système de gestion intitulé de gaz d'hydrogène de WFC.

Pendant qu'entrants à déchenements périodiques impulsion-forment (46a xxx 46n) de figure (3-17) « sont électroniquement accordés » pour ajuster l'offtime d'impulsion (T2) pour compenser la « élévation » et « chute » de l'accouplement de champ magnétique (71a xxx 71n) pour une impulsion-fréquence résonnante prédéterminée établie et déterminée par la valeur diélectrique de l'eau normale dans le rapport direct avec la valeur diélectrique géométrique de configuration de cavité résonnante... de l'eau étant 78.54 puisque l'atome d'oxygène de molécule d'eau (85) « L » l'orbite (76) occupe les électrons maximum de l'allocation huit (79a xxx 79n), le train d'impulsion unipolaire à déchenements périodiques calibré (64a xxx 64n) de figure (3-20) est outputted de la bobine résonnante (56) et électriquement transmis à la surface conique externe positive (E9) ; tandis que, en même temps, négatif potentiel de élém. élect. intensité de force (67) (potentiel négatif de tension) est élém. élect. dirigé vers intérieur conique surface (E10), formant « en plein air » conique cavité (570) ayant parallèle côté (dans d'autres tension-surfaces non linéaires de cas) dans l'espace rapport (en général .010 espace) avec diminuant circonférence-secteur) (d'E9a xxx E9n/E10a xxx E10n) dans la progression linéaire. Ensemble, les côtés parallèles (E9/E10) non seulement fonctionne comme « guide d'ondes de tension » (570) mais, aussi, agit et exécute comme « un circuit de renforceur de tension » quand l'impulsion-fréquence à déchenements périodiques appliquée (64a xxx 64n) voyage la longueur de la cavité conique (570) vers le port de sortie (32). À chaque point progressif d'amplitude diminuante de tension du surface-secteur de circonférence (E9a - b - c - d - E9n) l'intensité augmente (Vna - b - c - d - Vnn) uniformément, comme illustré dedans (600) de figure (6-3) quant aux formes d'onde de déplacement de tension (730a - b - c) de figure (7-12), voir la note de WFC (426).

Le point d'activation (E9a) expose l'écoulement d'eau (85) à la forme d'onde de tension (64) de figure (6-1) pour commencer le processus de conversion d'eau-à-énergie (100) ; à la tension du point d'activation (E9b) l'intensité est

accru suffisamment pour effectuer le processus électrique de polarisation (160) de figure (3-26) ; le point d'activation d'onward toward (E9c) et au delà de l'étape universelle d'amorçage d'énergie (500) de la figure (51) se produit ; une fois que le point d'activation (E9c) est atteint le procédé d'ionisation de gaz (230) de figure (3-30) a lieu ; et en conclusion, le point d'activation (E9d) met à feu thermiquement (agitation atomique) le gaz-mélange combustible « Énergie-Amorcé » (520) de figure (5-3) quant à (100) de figure (4-8) par « décharge électrostatique » tout en étant soumis « à la pression électrostatique » toujours croissante. Toute l'activation se dirige (E9a - b - c - d) exécutant leurs fonctions respectives dans l'ordre séquentiel dans un instant de temps puisque niveau de tension appliqué de l'intensité (en général 20.000 volts entrés ou ainsi) peut être prolongée ou accrue jusqu'à et au delà de 90.000 volts étendez-vous dans une milliseconde ou moins.

Effilez les injecteurs de carburant de l'eau

Le guide d'ondes de tension (570) permet aux points d'activation (E9a xxx E9n) de transpirer depuis le guide d'ondes (570), maintenant, des fonctions pendant qu'un circuit de extinction (370) de figure (3-40) pour empêcher l'allumage de gaz jusqu'aux gaz de déplacement (sous la pression statique) sont sortis hors et loin du port de sortie (32) de la figure (62)... produisant explosif thermique énergie-rapportent (16), comme encore illustré dedans (70) de figure (4-5) « tension intitulée déclenchant ». Fondamentalement, puis, processus d'activation (590), maintenant, conception - les formes arrosent l'injecteur de carburant (20) de figure (4-2) quant (30) derrière figure (4-11) (note WFC 423 DA)... permettant aux injecteurs de carburant de l'eau (20a xxx 20n) de remplacer les spark-plugs de moteur et les ports à combustion interne standard d'injecteur de combustible fossile, comme graphiquement illustré dans figure (140) de figure (4-12) « modification intitulée de four, » (150) de figure (4-13) « modification intitulée de moteur de nettoyage au jet, » et (160) de figure (4-14) « la modification intitulée de moteurs de fusée. »

Lover-Ensemble de renforçateur de tension

Le processus d'activation (590) de figure (6-2) quant à (100) de figure (4-8) est réalisé puisque l'écoulement d'ampère est limité pour entrer dans la tension déclenchant le processus (70) de figure (4-5) par le lover-ensemble de renforçateur de tension (580) de figure (6-1). En soi, paramètres de conception des lover-structures (580) de figure (6-1) détermine la « efficacité » (fuite réduisante au minimum d'ampère) par quant à la laquelle la « intensité de tension du potentiel opposé » (600) de figure (6-3) peut effectuer le travail pour déclencher l'hydrogène rompant le processus (520) de figure (5-3) (note WFC 424 DA) (100) de figure (4-8) (note WFC 423DA), comme graphiquement dénoté dedans (750) de figure (7-14) du circuit intitulé de la note de WFC (les 425) VIC Matrix - explosion instantanée de l'eau.

RE : Note WFC 425 de système d'injection de carburant de l'eau tri - construction

d'enroulement

Les enroulements résonnants de bobine (56/62) de figure (3-23) (note WFC 422 DA) se composent de fil enduit par film en acier inoxydable de l'inductance 430F ou 430FR (salut valeur diélectrique) (en général .004 Ga. ou plus petit) ce qui sont axialement Bifilar (développé en spirales) enroulé au sujet de la bobine de noyau (502), la formation individuelle spirale-enveloppent (intérieur à la circonférence externe et à être égal-longueur) les enroulements (501a xxx 501n) électriquement reliés dans l'ordre sequencial à l'enroulement résistif de collecte de forme (503).

Le fil d'aimant enduit par film primaire de l'enroulement (26) (en général .030 Ga.) est longitudinal enveloppé dans le rapport de l'espace sur et bidirectionnels posés (507a xxx 507n) à travers spirale-enveloppent des enroulements (501a xxx 50 dedans) pour accomplir la cavité de bobine (504).

L'enroulement secondaire de collecte (52) de figure (3-23), également, se compose de spirale individuelle enveloppée love (505a xxx 505n) (en général .002 Ga. le fil d'aimant) s'est électriquement relié dans l'ordre séquentiel à formez la cavité de bobine (506) sur lesquelles est placé et dans le rapport de l'espace avec la cavité primaire d'enroulement (504).

La bobine résonnante (503), la bobine primaire (504), et la bobine secondaire (506), maintenant, composent et forment structurellement le lover-ensemble de renforçateur de tension (VIC) (530) de figure (4-6) quand le matériel en acier électrique de noyau (53) forme une voie fermée d'induction magnétique centralement par et autour (VIC) du lover-ensemble (530), comme schématiquement illustré dedans (190) de figure (3-23) (note WFC 422 DA).

Interaction électromagnétique

Les résultants tri-lovent la configuration (enroulement primaire 26 de noyau 53 d'inductance - la bobine love 56/62 - - enroulement secondaire 52), maintenant, permettent l'accouplement de champ magnétique (71a xxx 71n) au passage par des les deux résonnant-lovent (56/62) et l'enroulement secondaire (52) simultanément quand l'enroulement primaire (26) est palpité a activé par entrant impulsion-forment (46a xxx 46n). De cette manière, les flux-lignes magnétiques (71a xxx 71n) sont

induites dans spirale-enveloppent les enroulements (505a xxx 505n) pour produire l'accouplement d'inductance (511a xxx 51 dedans) entre chaque secondaire spirale-love (505a xxx 505n) qui sont parallèle formé à augmenter les flux-lignes magnétiques (71a xxx 71n)... produisant intensifient le potentiel de tension du positif

intensité électrique (potentiel positif de tension) par l'interaction d'inductance/capacité à travers le lover-ensemble secondaire (52) tout en gardant l'opposition à électromagnétique augmentent jusqu'à un minimum.

Les flux-lignes magnétiques (71a xxx 71n) étant émises du côté opposé de l'enroulement primaire (26) induit un accroissement plus ultérieur du potentiel positif de tension (64 un xxx) depuis l'inductance/capacité (Cd/DL) de figure (7-3) interaction, également, se produit dans des les deux bobines de remplissage résonnantes simultanément dans le rapport d'équilibre avec la même impulsion sequent (46)... produisant l'accouplement d'inductance (512a xxx 512n) (RP/Rp1/Rp2) de figure (7-8) dans le rapport parallèle avec le champ de extension (71), en tant qu'avant. L'ordre de palpitation résultant (49a xxx - T1/T2 - xxx 49n) de figure (7-1) permet la tension (T1) à travers les bobines d'inductance (56/62) tandis que l'écoulement courant traîne par 90°.

Ensemble, le champ magnétique externe (71), le champ d'accouplement d'inductance (512a xxx 512n), valeur résistive ($Z2 + Z3$) d'en acier inoxydable fil-lovent (56/62), et la valeur diélectrique (valeur ohmique ou résistive) ($Re >$ des aides de l'eau et effectuent le processus de restriction d'ampère (520) de figure (5-3) tout en permettant à l'amplitude appliquée de tension d'être électriquement transmise sans dégradation de signal. (voir les équations résistives de circuit (Eq 9) (note WFC 420, de nouveau) quant VIC au circuit de Matrix (690) de figure (7-8).

Le potentiel dynamique résultant de tension (600) de figure (6-3), maintenant, exécute l'hydrogène rompant le processus. (390) de figure (3-42) (note WFC 422 DA) de façon à permettre à l'oscillation de particules d'avoir lieu pendant qu'un générateur d'énergie de " " (voir la note WFC 424 intitulée équilibre d'énergie atomique de l'eau) pour augmenter plus loin explosif thermique énergie-rapportent (16a xxx 16n) (70) de figure (4-5) (Memo.WFC 423 DA), comme graphiquement illustré dedans (610) de figure (6-4).

L'injecteur (590) de figure (6-2) et du lover-circuit de renforçateur de tension (580) de figure (6-1) quant à (190) de figure (3-23) est électroniquement lié avec le système de la gestion de carburant de l'eau (WFMS) (40) de figure (4-2) (note WFC 423DA) pour former « le ® du système d'injection de carburant de l'eau » quant au lequel déclenche et effectue le processus d'activation de tension (600) de figure (6-3) (730)

de figure (7-12).

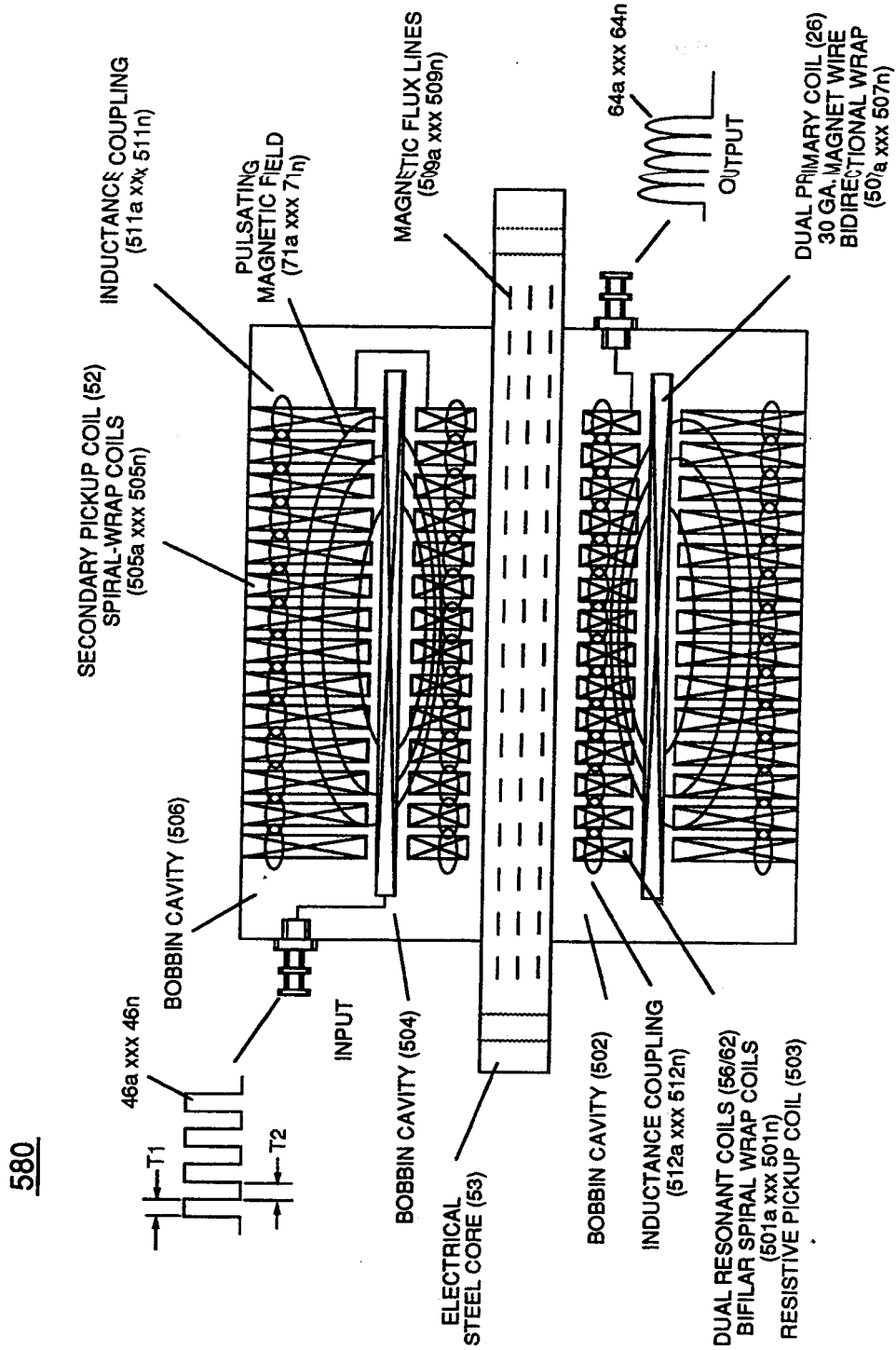
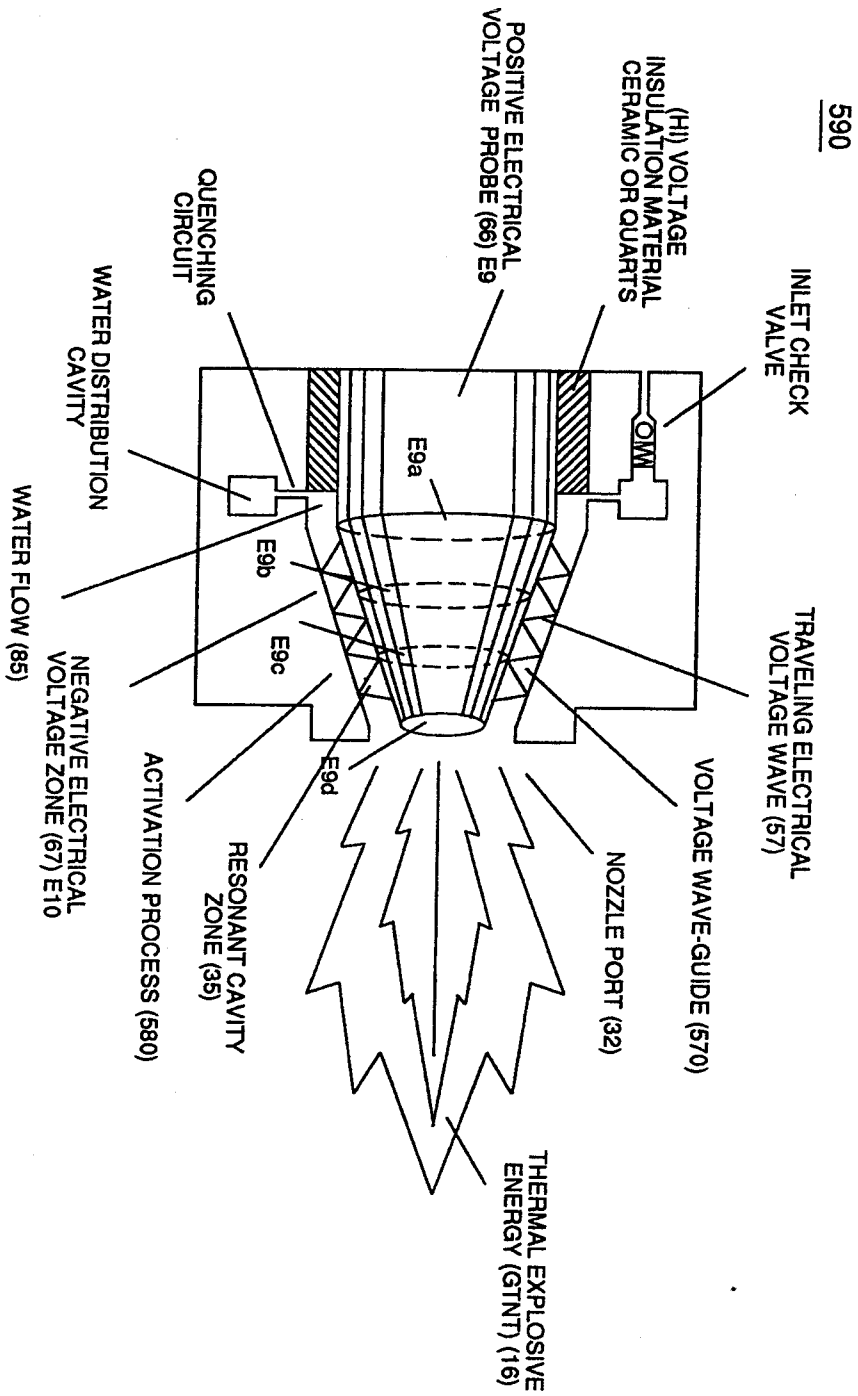


FIGURE 6-1: (VIC) COIL ASSEMBLY

580

RE : Note WFC 425 de système d'injection de carburant de l'eau



RE : Note WFC 425 de système d'injection de carburant de l'eau

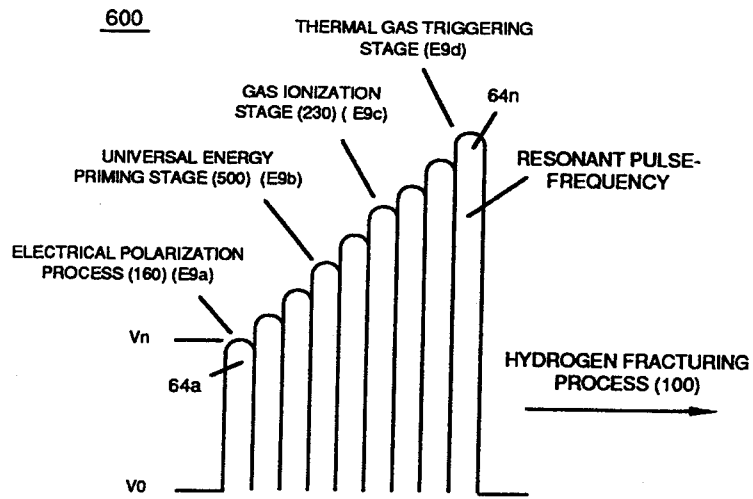


FIGURE 6-3: DYNAMIC VOLTAGE POTENTIAL

610

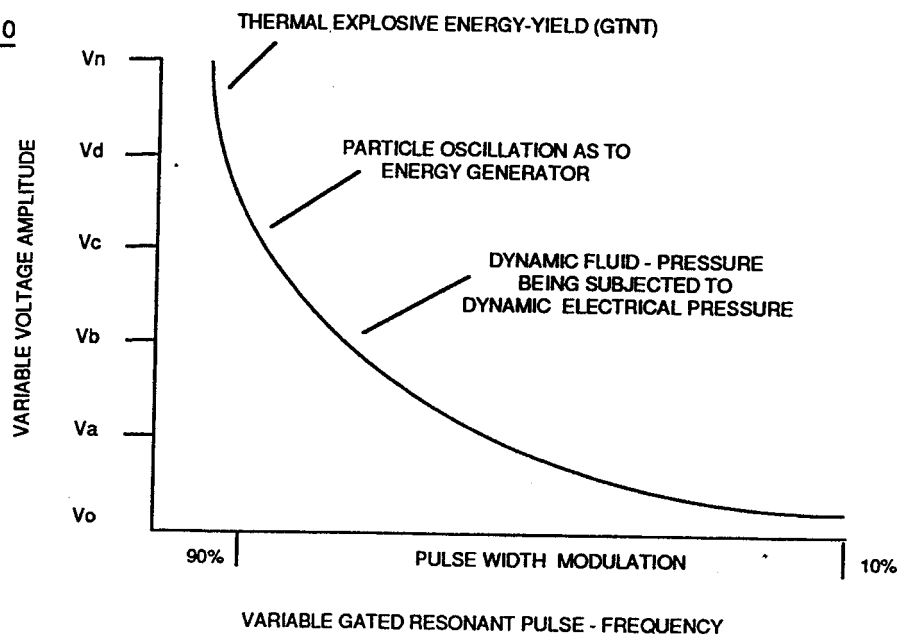


FIGURE 6-4: PARTICLE OSCILLATION AS TO ENERGY GENERATOR

VIC circuit de Matrix

Explosion instantanée de l'eau

VIC le jeu de bobine est particulièrement conçu pour permettre le potentiel de tension de « vis-à-vis de la force électrique d'attraction » de l'intensité à haute tension » à » immédiatement " libèrent l'énergie explosive thermique (gtnt) de l'eau normale.

Le circuit de renforceur de tension tire profit « du phénomène de rebond d'électron » pour déclencher l'hydrogène rompant le processus sans ampère influxing.

Lié avec VIC le jeu de bobine, les actes d'injecteur de carburant de l'eau et exécute comme « amplificateur de tension » en changeant simplement le guide de vague de tension de l'une ou l'autre forme une forme « de compression » ou « augmentée » de vague de tension que l'intensité électrique de tension d'augmentations au delà de la tension appliquée d'excitation outputted VIC de l'enroulement.

Le ~Mode de l'Operability " VIC du jeu de bobine est systématiquement - activé par une entrée de signal programmable, et est exécuté de la façon suivante :

Section 7

RE : VIC circuit de la note WFC 426 VIC Matrix de circuit de Matrix

Explosion instantanée
de l'eau

Le « mode-de-operability » VIC du jeu de bobine permet le potentiel de tension de la polarité opposée de tension à l'augmentation et soit atténué jusqu'à et au delà de 20 kilovolts tandis que la fuite empêchante et limitrice d'ampère dans la gamme de milliampères... établissant le paramètre opérationnel de l'utilisation « vis-à-vis de la force électrique d'attraction » « de l'intensité à haute tension » « immédiatement » libère l'énergie explosive thermique (gtnt) de l'eau normale. Le circuit de renforteur de tension tire profit « du phénomène de rebond d'électron » pour déclencher l'hydrogène rompant le processus sans ampère influxing. La cavité résonnante de cône fonctionne comme « amplificateur de tension » une fois liée avec VIC le circuit.

Le circuit de renforteur de tension (60) de figure (3-22) (note WFC 422 DA) quant à figure (1-1) (note WFC 420) et le circuit de renforteur de tension (620) de figure (7-1) sont spécifiquement conçus pour limiter l'écoulement d'ampère pendant les opérations de palpitation programmables (49a xxx 49n) mais dans différents modes opérationnels : Le circuit de la tension VIC (60) utilise de cuivre fil-s'enveloppent pour former les bobines de remplissage résonnantes (56/62) de figure (3-22) en même temps que la diode de commutation (55) pour encourager et se servir des phénomènes « de rebond d'électron » (700) de figure (7-9) à aider à favoriser l'effet de remplissage d'étape (628) de figure (7-7) en empêchant la décharge électrique de la cavité résonnante (140 - 170) depuis bloquer des fonctions de diode pendant que « ouvrez » le commutateur pendant l'impulsion en prolongation ; considérant que, VIC le circuit de perfectionnement de tension (VIC - VB) (620) de figure (7-1) incorpore l'utilisation des enroulements en acier inoxydable de wirewrap (614/615) d'accomplir la formation d'unipolaire à déchenchements périodiques impulsion-ondulez (T3 xxx 64n de 64a xxx) sans éprouver la « déformation de signal » ou « signalez la dégradation » (empêchant le transformateur sonnante pendant la propagation de signal) en tant que niveaux de tension élevés (- xx Vc- xx Vd - la navigation verticale xx) tout en permettant la réduction du Condensateur-Espace (CP) (616) de figure (7-11) l'espacement de largeur (57 de figure 325 ~35 du schéma 6-2) (en général .060 - .010) respectivement. comme illustré en cavité résonnante tubulaire (170) quant à la cavité résonnante de cône (620) de figure (7-1).

La diode de commutation (55) de figure (3-22) empêche l'écoulement bidirectionnel d'électron (écoulement courant dans une direction seulement) depuis le blocage - la diode (55) conduit seulement « l'écoulement courant » dans la direction de la schéma-flèche tout en étant placé en ligne avec VIC l'interaction d'impédance de circuit ($R1 + Z2 + Z3 \cdot Re$), comme mathématiquement extrapolé dans la diode d'équation de circuit (Eq 9)... (55) étant placée entre l'enroulement secondaire de collecte (52) et la bobine de remplissage résonnante (56) pour agir en tant que commutateur électronique en ouvrir-position pendant l'impulsion en prolongation (T2) de figure (7-8) tout en empêchant l'écoulement d'électron

RE : VIC note WFC 426 de circuit de Matrix

à l'envers la direction quand le champ électromagnétique s'effondrant de l'inducteur (L1) (FL1) produit une autre forme d'onde unipolaire d'impulsion (64a - 64b)... produisant la forme d'onde unipolaire de tension (64a xxx 64n) pendant la période active répétée du l'impulsion-signal (46a xxx 46n) (étain de TLA xxx)... permettant la formation d'une fréquence à déchenchements périodiques d'impulsion-impulsion-formez (64a/64b - T3 - 64a/64b) quand l'impulsion en prolongation (T3) est l'entrée-signal plus grand que de temps-période (T2)... (49a xxx 49n) étant Impulsion-Forment où l'offtime d'impulsion (de T2) (T2) est ajusté permet unipolaire Impulsion-Forment (T3 xxx 64n de 64a xxx)... la production Tension-ondulent le signal (64a xxx 64n) étant un doubleur d'impulsion-fréquence dû à la réactance d'inductance (FL) de l'enroulement d'inducteur (56) de figure (3-22) quand le champ magnétique s'effondrant (fi) de la figure (7-3b) re-a coupé lover-s'enveloppent (L1) pendant chaque impulsion en prolongation (T2)... produisant une deuxième forme d'onde unipolaire de tension (64b) pendant l'élévation et la chute du champ magnétique (71), comme encore illustré dedans (620) de figure (7-1).

Résistance (Rs)

Dans la référence à l'utilisation en acier inoxydable (s/s) lover-enveloppez (614/615), valeur résistive de fil (Rsl/Rs2) de figure (7-8) (typiquement ohms 11.6K par enroulement) est assez suffisant à empêchent l'oscillation d'écoulement de courant dans le rapport direct avec l'impédance de circuit (Eq. 9) puisque « l'écoulement courant » est également limité dans la gamme du milliampère (s) due (s/s) à la capacité matérielle de composition en fil (Rsl/Rs2) de s'opposer à l'interaction d'électron ou à l'échange d'électron d'une structure atomique à l'autre ; tandis que, en même temps, la conduite et permettre de la transmission du « potentiel de tension » à travers la superficie de circonférence (effet de peau) (66/67) de figure (7-11) quant à figure (590) de figure (6-2) à apporter-sur et exécutent les phénomènes de guide d'ondes de tension (57) de figure (6-2)... causant et permettant l'effort électrique appliqué de la polarité opposée de tension (ST-ST - RU-RU) pour déclencher l'hydrogène rompant processus (390) de figure (3-42) dans un instant du temps... libérant énergie explosive thermique (gtnt) (16) de figure (4-5) sur demande de l'eau normale (85) de figure (3-26) puisque la valeur diélectrique (au sujet de) de (Eq.9) du carburant de l'eau (85) est encore rapprochée dans l'équation de capacité (Eq.22), comme illustré dedans (650) de figure (7-4) quant au guide d'ondes conique de tension (720) de figure (7-11)... permettant à la valeur diélectrique de l'eau (au sujet de) d'être une pièce du circuit de renforçateur de tension (110) de figure (4-9) possibilités de limiter l'écoulement d'ampère pendant l'opération de palpitation de tension (49a xxx 49n) de (620) de figure (7-1) quant VIC au circuit de Matrix (690) de figure (7-8)... laisser appliqué vis-à-vis du potentiel de tension (ST-ST - RU-RU) pour effectuer le travail sans ampère « influjing », comme systématiquement représenté dans VIC le circuit de Matrix (690) ci-dessous.

Inductance (FL)

L'interaction composante favorise la réactance composante pendant les opérations de palpitation de C.C

RE : VIC note WFC 426 de circuit de Matrix

tout en permettant à l'amplitude variable de tension (Vo - la Virginie - Vb - navigation verticale) de figure (7-13) d'être atténué indépendamment de la fréquence d'impulsion de tension (49a xxx 49n), comme ainsi illustré dedans (600) de figure (6-3).

Le circuit de remplissage résonnant (630) de figure (7-2) étant un circuit de LC est éventé quand l'inducteur (614) de figure (7-1) est électriquement lié pour effiler le condensateur (720) de figure (7-11) en série arrangement. L'inducteur (614) est une blessure isolée de fil dans une voie en spirale autour de la cavité de bobine (580) de figure (6-1) pour former l'enroulement de progression de tension (710) de figure (7-10) quant à (580) de figure (6-1). Le condensateur (E9/E10) de figure (6-2) quant à (720) de figure (7-11) est formé quand 67) les Eau-Espaces conique extérieur (66) et intérieur conique externe de formes de surface ((616) de figure (7-11) quant à figure (590) de figure (6-2) ayant placé là entre le bain d'eau diélectrique (85/au sujet de), comme schématiquement illustré dans le contour de matrice dedans (670) de figure (7-6) quant à (690) de figure (7-8) et davantage de de détaillé dans l'effet de remplissage électrique (650) de figure (7-4).

Composant réactance à C.C palpitant transforme inducteur (614) de figure (7-1)/condensateur (E9/E10) de figure (7-11) circuit de LC de figure (7-2) dans une bobine de remplissage résonnante (quant aux 614) lesquels intensifie une oscillation unipolaire d'une fréquence de remplissage donnée avec la capacité efficace d'un réseau de impulsion-formation (64a xxx 64n) de figure (7-1) (600) de figure (6-3) la tension de charge répartit en zones (E9/E10) à un potentiel plus élevé au delà... de capacité distribuée agissante l'un sur l'autre entrée par tension appliquée (Cda xxx Cdn) et d'inductance distribuée (vacarme de diamètre xxx) de figure (7-3) de l'enroulement d'inducteur (614) (7-1) avec « l'effet de remplissage électrique » d'apporté dessus par la valeur diélectrique du bain d'eau (85/au sujet de), comme pictorialement illustré dedans (650) de figure (7-4). La valeur diélectrique établie de l'eau (85) étant de 78.54 ohms puisque l'électron «L» orbite de la molécule d'eau (210) de figure (3-27) occupe le nombre maximal permis de huit électrons quand le lien covalent « de l'atome d'oxygène différent (76) et des atomes d'hydrogène (77a/b) se produit » « . ' molécule d'eau stabilisante (85) dans l'existence... de ce fait, stabilité moléculaire de maintien de l'eau en s'opposant à l'échange des électrons d'une source extérieure d'électron (ampère induisant le circuit) au delà de la structure moléculaire (85). L'interaction d'électron (mouvement des électrons par le milieu liquide de l'eau) est encore empêchée puisque l'eau normale souille (144a xxx 144n) de figure (3-24) est normalement moins de 20 que l'eau distillée de page par minute..., naturellement, est généralement Ippm laboratoire-examiné ou moins, comme illustré dedans (760) de figure (7-15) quant à (750) de figure (7-14).

Capacité (Cd)

. Le condensateur (E9/E10) de figure (7-1) quant à figure (650) de figure (7-4) dans le rapport direct avec l'espace de l'eau (616) devient la cavité résonnante de cône (720) de figure (7-11) suivant les indications de (590) de

RE : VIC note WFC 426 de circuit de Matrix

Figure que (6-2) puisque l'espace de l'eau (616) est occupé par un liquide diélectrique (au sujet de) aussi ci-dessus avant identifié en tant qu'eau normale (85) ne faisant ajouter aucun électrolyte là-dessus... généralement l'eau de pluie (85f) (750) de figure (7-14) étant presque exempte de souille en raison du processus d'évaporation de l'eau (532) de figure (5-6)... l'eau de pluie (850) étant un liquide-isolateur quant au lequel limite l'écoulement des ampères... un liquide résistif (ayant une valeur ohmique de 78.54 ohms) ce des prendre « une charge électrique » quand le potentiel appliqué de tension (66/67) de figure (7-1) (650) de figure (7-4) cause et établit la polarisation moléculaire Alinement (617) de figure (7-4) par la rotation moléculaire électrique (vis-à-vis de la force électrique d'attraction pour tourner et placer l'alignement de particules) de chaque molécule d'eau (85a - 85b - 85c - 85n). étant soumis aux forces électriques opposées d'attraction (solides solubles - rr '). De manière semblable, (s/s) le matériel TI04 en acier inoxydable qui forme les zones de tension (E9/EI0) subissent l'alignement de particules de sa structure atomique dans l'infrastructure atomique du plat-matériel (E9/E 10) une fois exposé aux mêmes champs électriques appliqués de tension (66/67) après qu'un temps pré-réglé... faisant produire le mouvement électrique moléculaire dans le surface-matériel (E9/EI0)... qui, après l'occurrence, l'orientation électrique moléculaire récemment formée (625a xxx 625n) de figure (7-4) demeure dans l'alignement atomique électrique après l'impulsion en prolongation (T2). faciliter le transfert du potentiel de tension pendant la période active d'impulsion (T1). en permettant à l'effet extérieur résultant de polarité (effet de peau) (624) de figure (7-7) de fournir « un champ de charge électrique » atomique résiduel suffisant à l'aide maintenez l'alignement moléculaire des atomes de l'eau (617) pendant les opérations de palpitation, comme illustré dedans (680) de figure (7-7). En soi, alors, la cavité résonnante (720) de figure (7-11) quant à (650) de figure (7-4) forme le condensateur (HEU) de figure (7-1) quand le liquide diélectrique de l'eau (85) est placé ou injecté entre les plats de conduite électriques (E9/EI0) tandis que le potentiel appliqué de tension de la polarité opposée (66/67) est directement exposé aux molécules d'eau (85a xxx 85n), comme représenté en cavité résonnante de cône (590) de figure (6.;2) quant à (650) de figure (7-4).

L'inducteur (614) et l'inducteur (615) de figure (7-1) quant à (670) de figure (7-6) est blessé ou lover-enveloppé (voir l'équation multicouche Eq. 20) d'une telle façon quant à l'augmentation que l'intensité magnétique de flux (vacarme de diamètre xxx) de figure (7-3) quant à (580) quant à figure (6-1) dans la référence à (710) de figure (7-10) entre les tours (618a xxx 618n) de lover-s'enveloppent (640). Les tours de circulaire-spirale du fil (formant les surfaces électriques parallèles) est séparés par un matériel enduisant isolé de diélectrique quant à qui forme une série de condensateurs (Cda xxx Cdn) quand les flux-lignes magnétiques (619a xxx 619n) produit le champ électromagnétique d'accouplement (621) pendant la période active d'impulsion (TI), comme illustré dedans (640) de la figure (73) (690) de figure (7-8). La valeur de résistance de série (Rs) dedans (670) de figure (.76) quant à (690) de figure (7-8) et (670) de figure (7-6) est déterminée par la composition de ~e du matériel de fil en termes de sa valeur ohmique (résistivité électrique) par section transversale indiquée de longueur et de diamètre : Le remplissage résonnant obstrue (614/615) 430F/franc 36 un .006) (s/s) fil en acier inoxydable de GT (

RE : VIC note WFC 426 de circuit de Matrix

égales 60 ohms micro par centimètre ; L'enroulement primaire (622) 22 un .028) fil de cuivre de GT (égale 5.1933 ohms par poids de livre ; L'enroulement secondaire de collecte (623) 35 un .007) fil de cuivre de GT (égale les ohms 13K par poids de livre. L'enduire-matériau de polymère de «Himol» de la marque de fabrique «Pyre-ML» est employé pour donner la résistance thermique et mécanique (s/s) à l'enduit en acier inoxydable du fil (614/615) ; le fil d'aimant classe (622/623) l'enduit solderable d'émail d'isolation de Nysol d'utilisations (veste en nylon de polyuréthane) comme bouclier-matériau électrique... tous les enduits diélectriques faisant par un 3KV efficace valeur diélectrique de mil et la formuler spécifiquement pour supporter la température ambiante des véhicules à moteur _ de C. 40 ° à 1550.

Réactance d'inductance (Rs - Cd - FL)

La réactance d'inductance se produit quand la résistance (Rs), la capacité (Cd), et l'inductance (FL) agit l'un sur l'autre ensemble pendant le C.C palpitant (49a xxx 49n), comme schématiquement représenté dedans (690) de figure (7 - 8).

La réactance d'inductance augmente non seulement la tension à travers l'eau-condensateur (HEU) au delà du potentiel appliqué de tension (626) de figure (7-7) mais, également, établit le « champ d'impédance » (FL) à travers les inducteurs (L1-L2) de figure (7-6) qui agit et exécute comme les bobines de remplissage résonnantes (614/615) de figure (7-1) ont par le passé placé du côté opposé du condensateur (HEU) formant le circuit résonnant d'effet de tension (670) de figure (7-6), à mesure qu'illustré dedans (620) de figure (7-1) quant à (690) de figure (7-8). Les deux inducteurs (L1/L2) sont blessure de Bifilar dans la longueur égale pour optimiser la force de champ électromagnétique (FL) dans l'intensité électromagnétique égale (FL1 = FL2) pour encourager et favoriser phénomène « de rebond d'électron » (700) de figure (7-9) tout en ajustant l'Impulsion-Fréquence de signal d'entrée (de forme d'onde programmable d'impulsion) (49a xx 49n) sur « accorder-dans » sur le « la propriété diélectrique » (au sujet de) de l'eau (85)... faisant être l'écoulement d'ampère réduisent à une valeur minimum tandis que permettant le potentiel de tension (627) de figure (7-7) d'aller vers l'infini si les composants électroniques lui permettraient de se produire, en tant que graphiquement illustré dedans (750) de figure (7-14). Le champ d'inductance (L1-FL1) exécute « l'effet de remplissage de capacité » (628) ; tandis que, en même temps, le gisement d'inducteur (L2- FL2) limite le mouvement d'électron par VIC le circuit de réseau d'impédance (620) de figure (7-1) puisque des serrures du champ d'inductance (FL2) sur le champ magnétique d'électrons (647) de figure (5-9) pour bloquer le mouvement de l'écoulement d'électron vers l'electronflow de empêchement de ce fait et empêchant positif du potentiel de tension (66)... pour passer par ou arc-au-dessus du l'eau-espace de condensateur (CP) de figure (7-8) un tel électron bloquant l'action s'appelle ci-dessus « l'Effect'' empêchant d'électron (631), comme dénoté dedans (670) de figure (7-6) quant à (750) de figure (7-14). À des niveaux de tension plus élevés d'amplitude d'elevated.or (xxx navigation verticale de Ve xxx Vf xxx), champ électromagnétique primaire d'accouplement

(RP) de figure (7-8) transmis près

RE : VIC note WFC 426 de circuit de Matrix

la manière du Palpiter-Noyau d'inductance (190) de figure (3-23) quant VIC au jeu de bobine (580) de la figure (61) entre dans et traverse les deux inducteurs (L1/L2) simultanément et les offres non seulement autres électron-coulent la restriction (RP 1/Rp2) dans les bobines d'inducteur (56/62) mais augmentent automatiquement le potentiel de tension (xxx navigation verticale de V g xxx Vh xxx) de l'intensité opposée de tension de la grandeur égale (66/67) à travers la cavité résonnante (140 - 170)... surmontant n'importe quelle perte potentielle de signal d'impulsion due à l'interaction résistive (Rsl/Rs2) du fil-matériel de l'un ou l'autre ou les deux noyaux d'inducteur (L1/L2) de la formation des champs d'inductance (FL1 !FL2) pendant la période active se reproduisant d'impulsion (T1 xxx un T1 n). L'effet empêchant d'électron (631) en rapport direct avec l'effet de perfectionnement de tension (528) est accompli depuis 430F en acier inoxydable/franc de fil-matériel est « inductif électromagnétique » aux flux-lignes électromagnétiques entrantes (71a xxx 71n) (RP) sans (s/s) inducteur-fil-lovent (L1/L2) devenir... mise en parallèle de manière permanente magnétisée et exécution de la même caractéristique électromagnétique du fil de cuivre quand il vient à la réforme de champ magnétique (RP - RP 1 - Rp2) de figure (7-8), comme encore illustré dans les domaines électromagnétiques d'accouplement (71 - 511 - 512) de figure (6-1) qui encourage, apporter-sur, et effectuent le procédé d'incitation de tension (580) de Figure (6-1) quant (620) derrière figure (7-1) sans ampère « influxing » (écoulement empêchant d'ampère) entre le potentiel positif de tension (66) et le potentiel négatif de tension (67) electtically appliqué à travers les cavités résonnantes (140 - 170).

Composants intégrés de circuit

Rallongeant l'inducteur (L1/L2) des longueurs applique un potentiel encore plus élevé de tension (66/67) à travers le condensateur résonnant (140 - 170) (HEU) puisque la réactance d'inductance « stocke » l'énergie et, est exprimés près

(Eq 19)

$$W_a = \frac{L I^2}{Z}$$

Là où,

(Wa) est l'énergie en Joules (les Watt-secondes) ; (l) est l'inductance en Henry ; et (i) est le courant en ampères.

La réactance d'inductance détermine directement l'énergie « stockée » (Wa) qui est commandée par le potentiel de tension d'entrée atténué ou changé par l'amplitude de tension (la Virginie de Vo xxx xxx V b - navigation verticale de Vf xxx Vg xxx) de figure (7-13) et/ou l'Impulsion-Fréquence à déchenchements périodiques (49a xxx 49n - T3 - 49a xxx 49n), ou tous les deux.

RE : VIC note WFC 426 de circuit de Matrix

La réactance d'inductance exécute plusieurs fonctions simultanément ou les stimulus donnés : les augmentations ont appliqué l'amplitude de tension (la Vo - navigation verticale), la fréquence d'entrée de doubles (64a * 64b) quand l'impulsion de temps d'utilisation de 50% (T1 = T2) est entrée, effectuée « l'effet de remplissage d'étape » (680) de figure (7-7) quand l'impulsion en prolongation (T2) est moins que la période active d'impulsion (T1)... déterminant l'oscillation de tension du niveau de tension le plus élevé (navigation verticale) au point de commutateur-au loin de volts (Vff), et établissant l'impédance (FL) qui réduit au minimum la perte de chaleur d'entrée électrique puissance (49) en altérant le mouvement d'électron.

L'inducteur (L1) agit et exécute de manière semblable à l'inducteur (L2) puisque les deux inducteur (L1/L2) sont physiquement la même taille et la forme.

Explosifs thermiques Énergie-Rapportent (gtnt) (16a xxx 16n) immédiatement produit à partir de l'eau (85) est déterminé par Voltage Amplitude (xxx navigation verticale), temps d'utilisation du train d'impulsion (T1 - T2 un T2 n du - xxx T1), Impulsion-Fréquence à déchenchements périodiques de longueur appliquée du potentiel (49a xxxx 49n - T3 - 49a xxx 49n), de l'inducteur de tension (L1/L2), longueurs secondaire d'enroulement de collecte (de 523) (FL3a xxx FL3n), d'espace-espacement diélectrique (CP), ou de n'importe quelle combinaison en.

Enroulement multicouche

L'inductance d'un enroulement multicouche de section transversale rectangulaire peut être calculée près au-dessous de la formule quand la linéarisation du maximum a distribué la capacité (roucoulement de Cda xxx) et a distribué l'inductance (vacarme de Dla xxx) de figure (7-3) pour intensifier la force de champ d'inductance (FLa xxx FLn) pour fonctionner pendant qu'un multiplicateur de tension en états de commutateur-au loin (612a xxx 612n), comme illustré dedans (710) du ~. Figure (7-10) quant VIC au jeu de bobine (580) de figure (6-1) et, est exprimée :

(Eq 20)

$$L = \frac{0.8 (N \times A)^2}{6A + 9B + 10C} \quad \text{Bobbin Cavity}$$

Là où,

(l) est l'inductance en microhenrys, (n) est le nombre de tours, (a) est le rayon moyen en pouces, (b) est la longueur de l'enroulement en pouces, (c) est la profondeur de l'enroulement en pouces.

RE : VIC condensateur résonnant de cône de la note WFC 426 de circuit de Matrix (ERT)

Le condensateur (HEU) est automatiquement formé quand le liquide diélectrique de l'eau (au sujet de) est placé entre les plats de conduite électriques (EIIIE2) de figure (1-1) la page (1-13) (note WFC 420).

Le matériel T304 en acier inoxydable est employé pour former les Tension-Plats électriques (EIIIE2) qui « agissent l'un sur l'autre » pas chimiquement (chimiquement inerte) (taux de décomposition moins de de .0001 examiné par laboratoire/année) avec les gaz d'eau libérés (hydrogène _86, l'oxygène _87, et gaz non-combustibles W étant exposés à un impulsion-champ de forte intensité de tension (64a xxx 64n) avec l'écoulement négligeable d'ampère. Les plats électriques ci-dessus ont appelé des plats de « Excitor » ou les zones de tension (E1/E2) peuvent prendre-sur la configuration différente des formes maximiser le potentiel dynamique de tension (600) de figure (6-3) pour l'application différente de l'utilisation : (35a) Vague électrique constante de déplacement de tension par la cavité résonnante cylindrique linéaire (cavité tubulaire 730A), (35b) (concentrant l'intensité électrique) vague électrique de compression de déplacement de tension par la cavité résonnante cylindrique de cône (730B), (35c) vague électrique de extension de déplacement de tension par la cavité résonnante cylindrique non linéaire (730C)... ou toute combinaison de surface de tension en... chaque conception résonnante de cavité agissant et fonctionnant comme guide d'ondes de tension (570) et l'espace-taille (35) assez suffisamment pour permettre la « extinction de l'effet » pour avoir lieu, comme illustré dedans (730) de figure (7-12) quant à (370) de figure (3-40).

La propriété diélectrique de l'eau (étant de 78.54 ohms @ de 25° C) permet le stockage '« de la charge électrique » quand une différence potentielle de tension existe entre les Tension-Plats électriques (EIIIE2) quant à (E9IEI0).

La capacité (CP) de figure (7-6) quant à (690) de figure (7-8) est detennined par la superficie (a) des Tension-Plats électriques (E1/E2 - E9/E10), la distance (d) entre les plats électriques (en pouces), et le pennittivity (ordre technique) de la propriété diélectrique de l'eau (85) et, est exprimé en équation suivante :

(Eq 21)

$$C = \frac{0.2249 e A}{d Eo} \text{ Picofarads}$$

RE : VIC note WFC 426 de circuit de Matrix

Là où,

(Ordre technique) est la constante diélectrique du Libre-Espace de l'eau établie par VIC le circuit (690) de figure (7-8) capacité de limiter l'écoulement d'ampère, (e/ordre technique) rapport est la constante diélectrique de l'eau, (a) est la superficie de la cavité résonnante et, est exprimé en ci-dessous équation :

(Eq 22)

$$\text{area (A) } = \frac{h}{2} (a + b) \text{ Taper Resonant Cavity}$$

Là où,

(h) est longueur longitudinale de cavité résonnante conique, (a) étant le point de surface de circonférence de casserole de sortie (E9d) de figure (6-2), (b) étant le point cylindrique de surface de circonférence (E9a) de figure (6-2) où les stats extérieurs coniques, (a) les points de surface de circonférence de (b) (E9a) (E9d) detennined respectivement près au-dessous de l'équation exprimée : (voir le diagramme 720 du schéma 7-11)

(Eq 23)

$$\text{Circumference Surface Point (E9) } = \pi D$$

Là où,

(d) est section transversale de diamètre de la surface cylindrique au point indiqué (E9a - E9n), (x) étant la constante mathématique 3.1416.

Réactance de capacité

La réactance de capacité est déterminée par la résistance d'isolation (Rs+ au sujet de) et l'inductance (LIII2) agissant l'un sur l'autre ensemble pendant la palpitation de C.C.

La propriété diélectrique de l'eau s'oppose à la fuite d'ampère (au sujet de) tandis qu'une autre propriété de l'eau prendre-sur « une charge électrique ». Constante de subsistances de la température de l'eau (droite) (frais-à-le-touchez) (au sujet de) puisque l'écoulement d'ampère demeure minimal. L'inductance de plat (LC) est réactance d'inductance de l'inducteur (L1)

RE : VIC note WFC 426 de circuit de Matrix

et réactance d'inductance du Inductor (L2) en série avec le condensateur résonnant (140 - 170) de figure (7-6) quant à (690) de figure (7-8).

En termes de réactance composante, les inducteurs (L1L2) devraient toujours être plus grands que le condensateur (HEU) de figure (7-2) afin de maximiser la restriction d'ampère pour augmenter le « débattement de tension » (le RR') de *solides solubles* - 617a xxx 617n - de figure (7-4) et, est exprimé par :
(Eq 24)

Considérant que,

$$Z = X_L - X_C$$

Le condensateur (HEU) devrait rester dû relativement petit à la valeur diélectrique de l'eau pour obtenir explosif thermique maximum Énergie-Rapportent (16a xxx 16n) de figure (4-5) et plus tard de l'établissement éteignant le circuit (370) de figure (3-40) pour empêcher l'allumage de gaz à l'intérieur du guide d'ondes de déplacement de tension (590) de figure (6-2) quant à (730) d'hydrogène de figure (7-12)... à apporter-sur et de déclenchement rompant le processus (390) des gaz une fois libérés et de extensions de figure (3-42) d'eau (100) de figure (4-8) passages au delà du procédé d'allumage de déclenchement de tension du port de sortie (E9d)... (90) de figure (5-5)... utilisant le potentiel dynamique de tension (600) de figure (6-3) de l'effort électrique opposé (le RR') de *solides solubles* - 617 - pour causer à l'agitation atomique thermique (90) de figure (4-7) (la chaleur cinétique par mouvement atomique) que, en se produisant au port de sortie de gaz (32) de figure (4-5), étinceler-met à feu le gaz-carburant de extension de l'eau (45/46/47) de figure (4-5) pendant l'eau injectent le cycle (70) de figure (4-5)... libérant l'énergie explosive thermique (gtnt) (16) sous l'état de commande.

Résistance de circuit

Le total VIC « résistance de circuit » à l'écoulement courant de C.C est exprimé et déterminé par :

(Eq 9)

$$Z = R_I + Z_2 + Z_3 + R_E$$

Là où,

(R1) est la valeur résistive de l'enroulement secondaire de collecte (52) de figure (7-8) plus la force de champ magnétique du champ primaire d'accouplement (71) dans le rapport direct avec la force de champ d'inductance (RP) qui est déterminée par le nombre de tours de fil qui composent secondaire lover-s'enveloppent (52), (Z2) sont déterminés par la force de champ d'inductance (FL1) et la valeur résistive (RS1) (en général 11.6 KQ) de

RE : VIC note WFC 426 de circuit de Matrix

en acier inoxydable (s/s) fil-lovez (56) (LI) en étant exposé à la force magnétique externe de champ d'accouplement (RP), (Z3) est déterminé par la force de champ d'inductance (FL2) et la valeur résistive (RS2) (typiquement 11.6KQ) d'en acier inoxydable (des sls) fil-love (62) (L2) en étant exposé à la même force magnétique externe de champ d'accouplement (RP)... chaque obstruer-love (LII2) être de la même valeur d'impédance puisque les deux lover-s'enveloppe (56/62) est Bifilar enroulé ensemble sur un spoolbobbin simple, (au sujet de) est la propriété diélectrique de l'eau et c'est la valeur résistive est typiquement (78.54 Q) puisque la « eau de pluie » (85f) contient moins que 20ppm de n'importe quel type de souillent en raison du processus d'évaporation de l'eau (530) de figure (5-6). (voir le circuit 690 de VIC Matrix du schéma 7-8 quant à l'eau Chan (760) de figure (7-15), de nouveau)

Action de transformateur

Le noyau d'inductance (53) de figure (6-1) composée de stratifications en acier électriques orientées « par grain » intensifient la tension appliquée (49) quand l'accouplement de champ magnétique (71) de figure (7-8) croix plus d'au Lover-enroulement secondaire de collecte (52) qui a plus de tours de fil que Coilwinding primaire (26) par des courants de « remous » qui induit les lignes magnétiques de flux des forces (71a xxx 71n) émanant loin du matériel de noyau d'aimant (53) et causé par enroulement primaire (26) étant électriquement activé pendant les opérations de palpitation (T1 xx un T1 n), comme illustré dedans (690) de la figure

(7-8). L'induction magnétique (71a - 71n) est déterminée par Inductance Permeability (μL) du matériel de noyau (53) avec VIC la capacité de la géométrie de circuit d'intensifier le potentiel de tension (Vo - navigation verticale) par la « action de transformateur », et est exprimée en équations suivantes :

(Eq 25)

$$\frac{E_p}{E_s} = \frac{N_p}{N_s} \quad \text{and} \quad \frac{E_p}{E_s} = \frac{I_s}{I_p}$$

Là où,

(PE) est la tension induite dans l'enroulement primaire (26), (es) est tension induite dans l'enroulement secondaire (52), (Np) est le nombre de tours de fil qui composent primaire Lover-S'enveloppent (504) de figure (6-1), (NS) sont le nombre de tours de fil qui composent secondaire Lover-S'enveloppent (505) de figure (6-1), (es) sont l'écoulement courant établi (sous la charge) dans le Lover-Enroulement secondaire (52), (IP) sont la quantité d'écoulement courant dans le Lover-Enroulement primaire (26) quand électriquement « a activé » pendant les opérations de palpitation (49a xxx 49n - T3 - 49a xxx 49a).

RE : VIC note WFC 426 de circuit de Matrix

Les tours que le rapport du VIC Transformateur (26/52) est déterminé par l'équation suivante :

(Eq 26)

$$T = \frac{Ns}{Np}$$

Là où,

(Ns) est le nombre de tours de fil pour chaque cavité de bobine (505) de figure (6-1) quant à (710) de figure (7-10) qui sont en série l'arrangement électriquement relié (505a xxx 505n) au fonn secondaire Lover-S'enveloppent (52), (Np) sont le nombre de tours de l'enroulement primaire (26) fil-enveloppé au sujet de la cavité de bobine (504)... chaque cavité de bobine adhérant à l'équation (Eq 20), comme illustré dedans

$$Z = T^2$$

(710) de figure (7-10).

Le rapport d'impédance VIC du transformateur est déterminé par :

(Eq 27)

Là où,

(1 ' 2) est la somme de la force de champ magnétique (FL4) de l'enroulement primaire (26) et du induit

champ magnétique (FL3) de l'enroulement secondaire de collecte (52) pendant chaque cycle d'impulsion (TI) dans le rapport direct avec l'impulsion réitérée faisant un cycle (T1 xxx un T1 n) et agir l'un sur l'autre de les deux champs magnétiques (FL31FL4),

et est exprimé en équation suivante :

$$M = \frac{La}{4}$$

(Eq 28)

Là où,

(m) est l'inductance mutuelle exprimée en mêmes unités .as (L_1) , (L_2) est toute l'inductance de l'enroulement primaire (26) et de l'enroulement secondaire (52) avec faciliter de champs.

RE : VIC note WFC 426 de circuit de Matrix

L'inductance d'accouplement (RP) entre l'enroulement primaire (26) et l'enroulement secondaire (52) est encore extrapolée dans l'équation suivante :

(Eq 29)

$$L_t = \frac{1}{\frac{1}{L_1 + M} + \frac{1}{L_2 + M}} \quad \text{Transformer}$$

Là où,

(Lieutenant) est toute l'inductance, (L1) et (L2) sont l'inductance enroulements de chaque des différents transformateur (26) (52), (m) sont l'inductance mutuelle de chaque enroulement de transformateur (26/52) étant dans le rapport parallèle avec faciliter de champs.

L'inductance d'accouplement (Rp1) et (Rp2) dedans (690) de figure (7-8) en outre est exprimée en équation suivante :

(Eq 30)

Là où,

$$L_{tcc} = L_1 + L_2 + 2M \quad \text{Choke Coils}$$

(Lieutenant cc) est toute l'inductance des enroulements de bobine (FL1 - FL2), (L1) et (L2) sont l'inductance de chaque enroulement individuel de bobine (56) (62) en série avec les 52 potentiels électriques secondaire de tension d'enroulement ((700) de figure (7-9) et étant exposée au même champ magnétique du transformateur de tension (26 - 53 - 52) (RP) avec faciliter les champs, (m) est l'inductance mutuelle des enroulements de bobine (L1/L2) puisque le champ magnétique de transformateur (RP) est le champ magnétique externe d'excitation (Rp1/Rp2) par le noyau de palpitation unipolaire (53).

VIC le jeu de bobine (580) de figure (6-1) quant à (690) de figure (7-8) dans la référence au circuit schématique (620) de figure (7-1) est construit de façon à tourner ainsi et placer des enroulements d'inducteur (26 - 52 - 56 - 62) pour être de la même orientation électromagnétique de polarité, le repère (e)..., permettant aux champs d'inductance (FL1 - FL2 - FL3 - FL4) de faciliter de ce fait un un autre pendant le même ordre du l'impulsion-temps (T1)..., permettant à l'effet de remplissage d'inductance (660) de figure (7-5) et à l'effet résonnant de tension (670) de figure (7-6) d'agir l'un sur l'autre avec les propriétés diélectriques de l'eau (au sujet de) causer et empêcher l'électron coulent (SI) depuis des « électrons » magnétiques

RE : VIC note WFC 426 de circuit de Matrix

le champ (547) de figure (5-9) serrures sur les champs électromagnétiques des enroulements activés de chaque bobine (FL1/FL2) pendant l'excitation de tension (V_o - navigation verticale) qui, maintenant, apporte dessus et permet « au phénomène de rebond d'électron » (700) de figure (7-9) d'avoir lieu. (Voir la note 1 de l'annexe B)

Phénomène de rebond d'électron

Potentiel à haute tension de la différence (V_o - navigation verticale) (*solides solubles* - 617 - le RR') est accompli quand les lignes magnétiques de flux de la force (71a xx 71) (RP) émanant loin du noyau de palpitation magnétique en circuit fermé (53) de figure (190) pénètre les lover-enroulements d'inductance (52 - 56 - 62) simultanément pendant chaque période active d'impulsion (T1 n de TLA xxx) comme programmable impulsion-formez (T3 49n de 49a xxx - 49a xxx 49n) est ajusté sur le « air - dans » sur la propriété diélectrique de l'eau (au sujet de)... entraînant l'inductance mutuelle (μ_1) (voir les équations Eq 28 à Eq 30) transformer la capacité distribuée (Cda xxx Cdn) de figure (7-3) de chaque inductance love (52 - 56 - 62) dans un potentiel logique de tension (Y_o •• La navigation verticale) égalant la somme de potentiel de tension (V_p) s'est développée à travers les enroulements de chaque collecte ($V_{pT} + V_{pl} + V_{p2}$)• produisant le potentiel dynamique de tension (600) de figure (6-3) pendant (49a xxx 49n - T3 - 49a xxx 49n)... l'établissement de palpitation réitéré et effectuant la palpitation vis-à-vis de l'attraction électrique à l'avant (~ RR - T3 du ~ 617 des solides solubles - le ~ 617 des solides solubles - RR') de figure (7-4) quant à la tension

Dynamique (220) de figure (3-29)... déclenchant l'hydrogène rompant le processus (90) de la figure (5~5) quant (100) derrière figure (4-8)... libérant immédiatement l'énergie explosive thermique (gtnt) (16) de l'eau (85) sur demande, comme illustré en cavité résonnante de cône (590) de figure (6-2) quant à (70) de figure (4-5). Le potentiel dynamique résultant de tension de la différence (vis-à-vis de force électrique d'attraction) (*solides solubles* - 617 •... le RR') a lieu dans la phase d'équilibre de l'intensité électrique égale (66 = 67) de la polarité opposée (le potentiel électrique positif _66 de tension égale le potentiel électrique négatif 66 depuis le coefficient de tension d'inductance (FL1/FL2), coefficient de tension de tension de la capacité (Cd1/Cd2), et le coefficient de tension de résistance (Rs1/Rs2) à travers les enroulements de bobine (L1/L2) sont les mêmes valeurs... laissant, le phénomène de rebond de tension (700) de figure (7-9) à préformer.

L'accouplement de champ magnétique (71) de figure (7-9) entrant dans et passant par le Lover-enroulement secondaire (52) de figure (7-8) causes et produit les ions de cuivre (643a xxx 643n) (atomes chargés positifs 542a xxx 542n ayant les électrons absents) quand la force externe mobile de champ électromagnétique (71a xxx 71n) est assez suffisante pour déloger les électrons électromagnétiquement chargés (641a xxx 641n) des atomes de cuivre composant le matériel de cuivre de fil (52). Collectivement, les ions de cuivre chargés électriques positifs résultants (642a xxx 642n) supplémentaires ensemble produit le potentiel positif de tension (629) étant électriquement appliqué à obstruer-lovent (56) ; considérant que, les électrons chargés électriques négatifs « libérés » (641a xxx 641n) supplémentaires ensemble fournit la tension négative

RE : VIC note WFC 426 de circuit de Matrix

Potentiel (631) à l'extrémité opposée du fil secondaire (52) étant électriquement relié à l'enroulement de bobine (62). Une fois que le Lover-enroulement secondaire (52) est désactivé par le déplacement (champ magnétique s'effondrant pendant le T2 en prolongation d'impulsion de champ magnétique externe (71), les électrons délogés (641a xx 641n) reviennent aux ions de cuivre chargés positifs (642a xx 642n)... se terminant et commutant outre du potentiel opposé de tension (629 - 631) quand l'état électrique positif des atomes de cuivre change de nouveau à la charge électrique nette de zéro. Soutenant et maintenant le potentiel induit résultant de tension (Vo - navigation verticale) sans « électron déchargé » (écoulement empêchant d'électron) par l'enroulement de bobine (62) tandis que, en même temps, empêchant (empêchement) tous les électrons additionnels ou autres d'entrer dans la fil-zone de cuivre secondaire (52) par l'enroulement de bobine (56) s'appelle ci-dessus le « rebond d'électron Phénomène » (EbP), comme illustré dedans (700) de figure (7-9).

Électriquement lié en série ensemble, phénomène de rebond d'électron (EbP), tension

Coefficient d'inductance (F11/F12), coefficient de tension de capacité (Cd1/Cd2), tension

Le coefficient de résistance (Rsl/Rs2), et le coefficient diélectrique de résistance à l'eau (au sujet de) laisse Potentiel de tension (Vo - navigation verticale) de polarité électrique opposée d'effectuer le travail (RR') 617 de *solides solubles* _ _

sans ampère influxing « de ce fait, ne permettant pas l'introduction de l'écoulement d'électron dans l'hydrogène rompant le processus (90) de figure (5-5) pendant la stimulation de tension (*solides solubles* » - _ le RR') 617... causant « l'électron groupant » (641a xxx 641n) pour avoir lieu dans la zone de cuivre de fil (52) pendant l'écoulement empêchant d'électron » de l'ontime d'impulsion « (T1)... pour maintenir vis-à-vis du potentiel de tension (66/E9 _ 67/E10) à travers l'espace résonnant de l'eau (616) pendant le processus de convertir l'eau-carburant (85) en énergie explosive thermique instantanée (gtnt)... donc, produisant un physique force-rapportent (Fy) pendant le gaz-allumage (70) de figure (4-5) qui est directement liée au volume liquide de l'eau (85) par cycle d'injection et intensité résonnante appliquée de tension (Yo - navigation verticale), comme illustré dedans (590) de figure (6-2) quant à (90) de figure (5-5).

. Naturellement, en pratique de l'interaction composante, une quantité minutieuse de fuite d'ampère est présent et se produit en raison des limitations de composant électronique mais est négligeable quant à l'exécution globale de l'hydrogène rompant le processus (590) de figure (6-2) en étant soumis à l'un ou l'autre une de formes d'onde électriques de déplacement de tension (730a - b - c) de figure (7-12), voit le graphique de tension (750) de figure (7-14) de nouveau.

Commutateur-Au loin d'amplitude de tension

Des niveaux de tension du désaccord (navigation verticale de la Virginie xxx) est réalisés près simplement commutation-dans ou commutation-dehors le membre des Lover-cavités secondaires (505a xx 505n) (voyez 740 du schéma 7-13) dans direct

RE : VIC note WFC 426 de circuit de Matrix

rapport avec les surfaces résonnantes de tension de cône (E9/10) de figure (6-2) qui agit et des perfonns comme « amplificateur de tension » quand la forme d'onde de compression (b) de figure (7-12) est intensifiée au port de sortie (32) de figure (6-2). En commutant le membre de secondaire Lover-Rangez (505a xxx 505n) maximise le transfert de courant électrique à partir de l'enroulement primaire (26) à l'enroulement secondaire (52) en gardant l'amplitude de tension de Impulsion-forment (49a xx 49n - T3 - 49a xxx 49n) la constante.

Mode d'Operability

Le « mode-de-operability » établi VIC du jeu de bobine (580) de figure (6-1), maintenant, permet le potentiel de tension (navigation verticale) de la polarité opposée de tension (66/solides solubles - 67/RR') à l'augmentation et soient atténués jusqu'à et au delà de 20 kilovolts tandis que la fuite empêchante et limitrice d'ampère en milliampères s'étendent... établissement du paramètre opérationnel de l'utilisation vis-à-vis de la force électrique d'attraction (solides solubles - RR') d'intensité à haute tension (navigation verticale) pour libérer immédiatement énergie explosive thermique (gtnt) de l'eau normale. La forme d'onde de compression de tension (35b) et la forme d'onde de extension de tension (35c) augmente l'intensité de la palpitation appliquée vis-à-vis de la force électrique d'attraction (55' - RR'a xxx solides solubles - RR'n) encore autre pendant chaque nouveau impulsion-cycle (prochain T2 de T2) à travers le watergap (616)... Energyield explosif thermique croissant (gtnt) à des énergie-niveaux plus élevés (gtntn de gtnta xxx) au delà de la tension appliquée d'excitation (navigation verticale) en changeant simplement les surfaces de tension (35b/35c) à mesure que dans la référence aux surfaces linéaires de tension (35a), à mesure qu'illustré dedans (730) de figure (7-12). L'impulsion en prolongation (T2) de Fjgure (7-8) quant à (620) de figure (7-1) est ajustée pour compenser l'élévation et la chute du champ magnétique d'accouplement (71) pour produire les formes d'onde unipolaires appliquées (64a xxx 64n) entrant dans les guides d'ondes (35a/35b/35c). Moins de contaminants de l'eau produit net encore plus haut énergie-rapportent (gtnta xxx 85a - gtntn de 85h xxx), comme illustré dans le diagramme de l'eau (760) de la figure (715). En termes d'explosif thermique énergie-rapportez (gtnt) sous la pression dynamique de la compression approximativement que 7.4 microlitres (de μ l) d'un liquide-volume d'une gouttelette de l'eau par cycle d'injection sont tout ce que des ~s requis pour courir le moteur dunaire du boguet 1600cc 50hp VW I.C. à 65 M/H sur la route ouverte ; considérant que, 325 un camion-moteur diesel typique de la HP I.C. exigerait environ 48.1 les microlitres (de μ l) d'une gouttelette de l'eau par injection font un cycle pour accomplir la même exécution ouverte de route. (voir l'eau de WFC contre des

équations de teneur en énergie d'essence (note WFC 429).

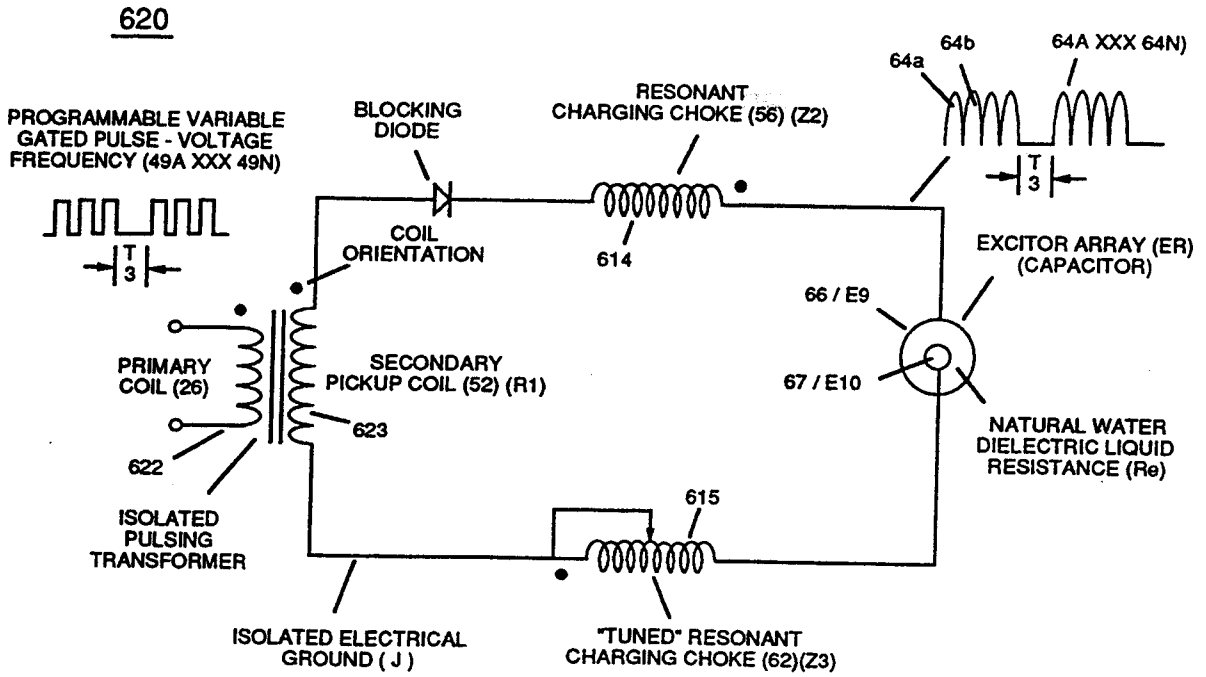


FIGURE 7-1: VIC IMPEDANCE NETWORK

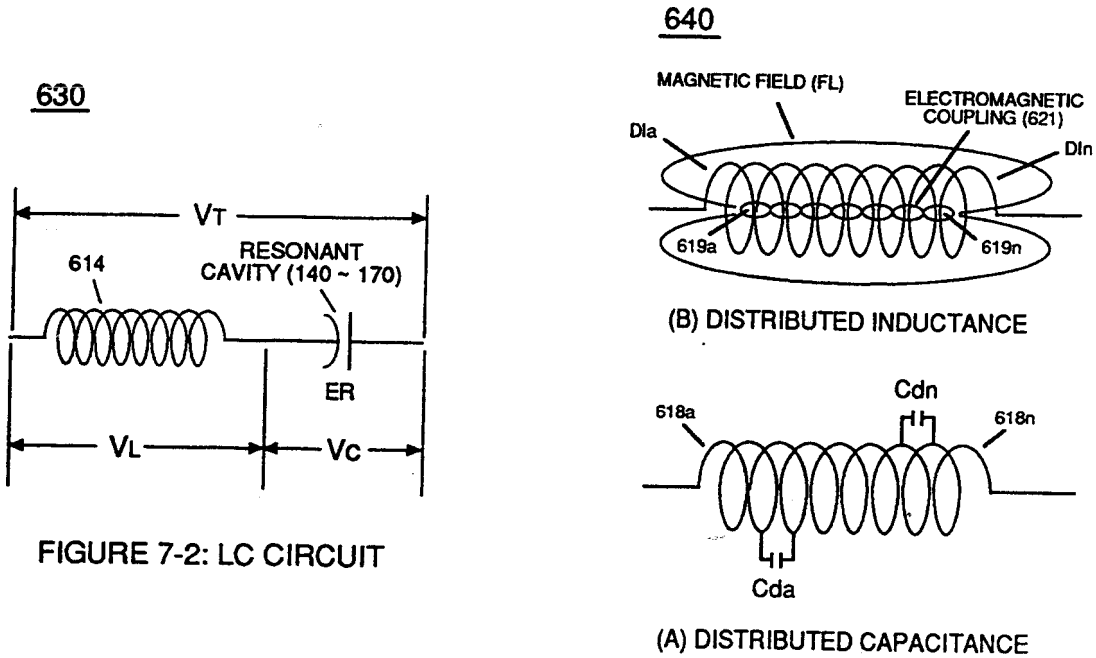


FIGURE 7-2: LC CIRCUIT

FIGURE 7-3: COIL INTERACTION

650

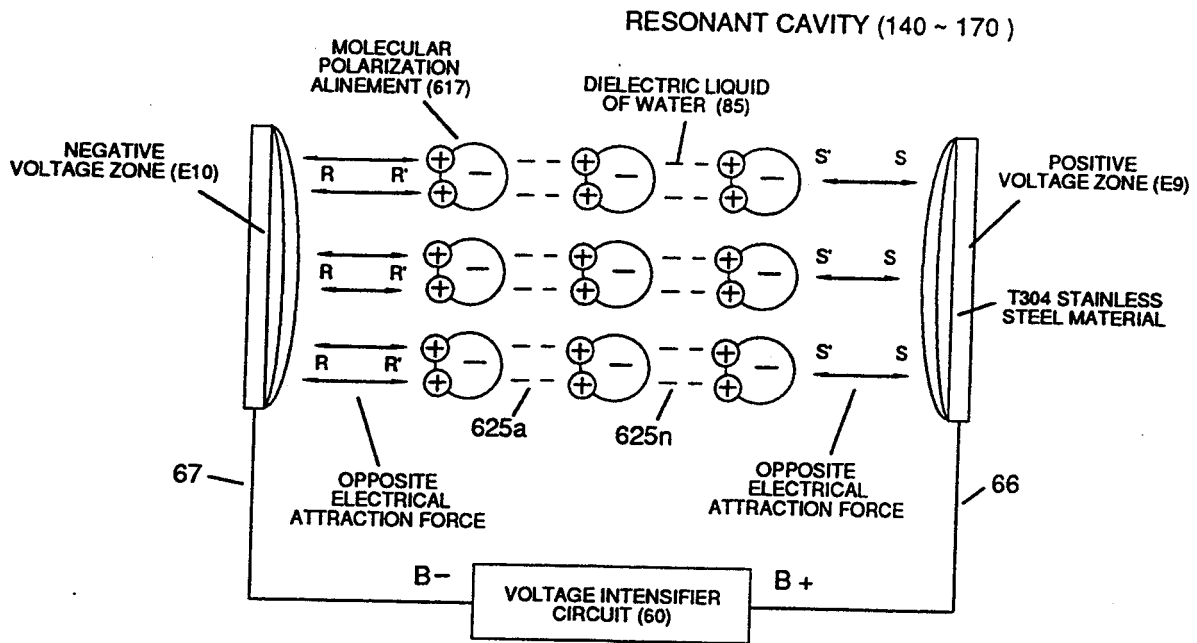


FIGURE 7-4: ELECTRICAL CHARGING EFFECT

660

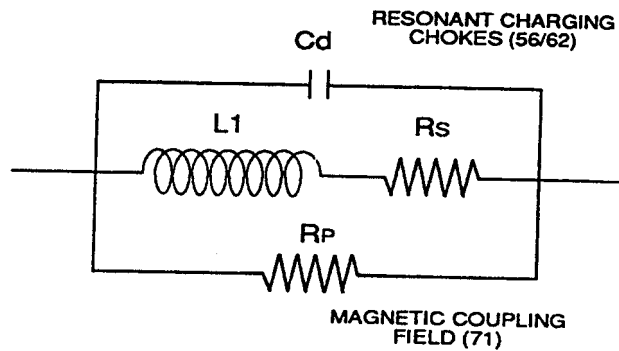


FIGURE 7-5: INDUCTANCE CHARGING EFFECT.

670

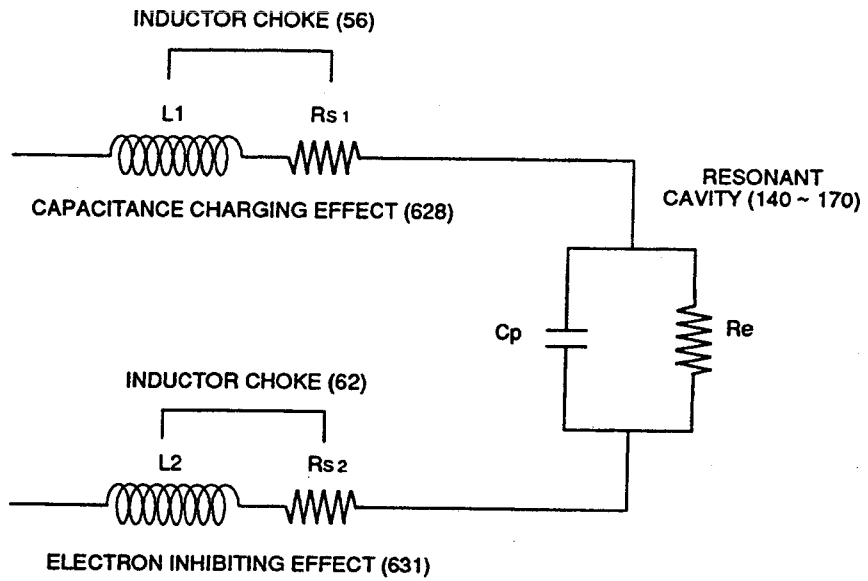


FIGURE 7-6: RESONANT VOLTAGE EFFECT

680

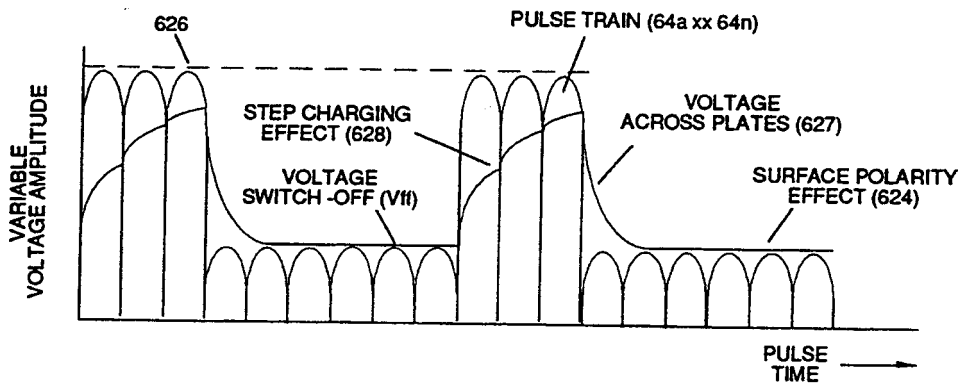


FIGURE 7-7: VOLTAGE CHARGING EFFECT

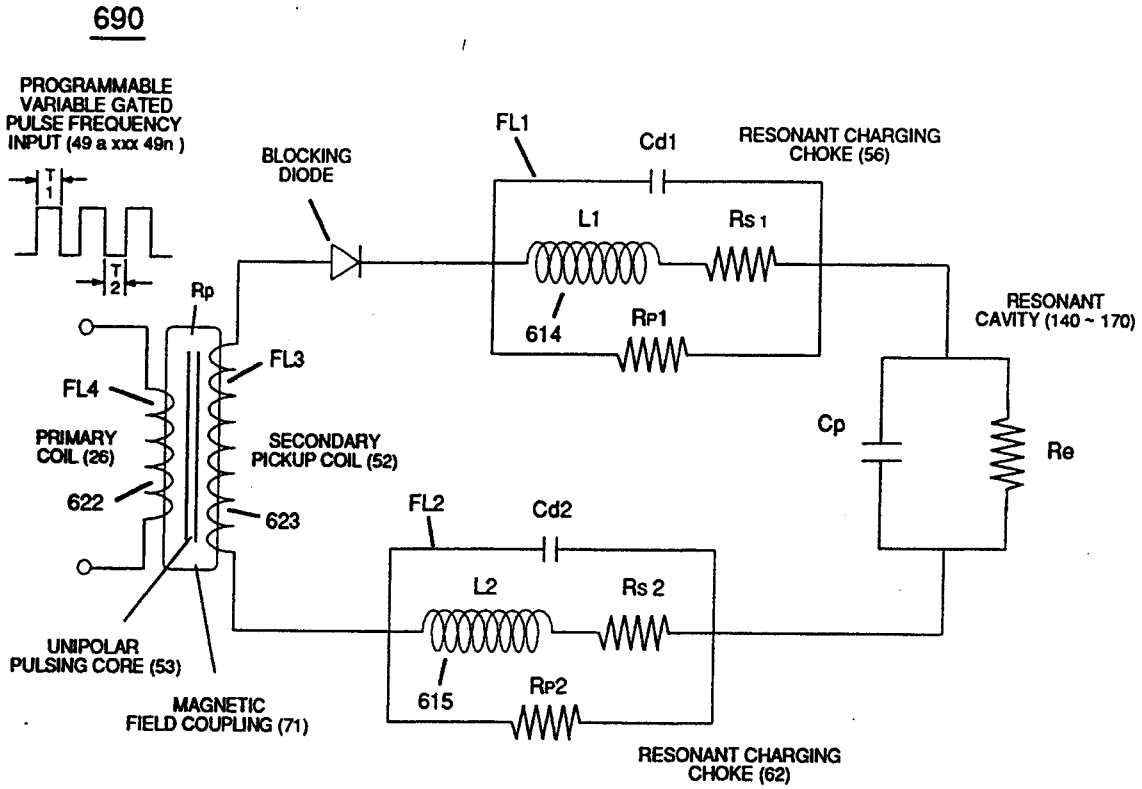


FIGURE 7-8: VIC MATRIX CIRCUIT

700

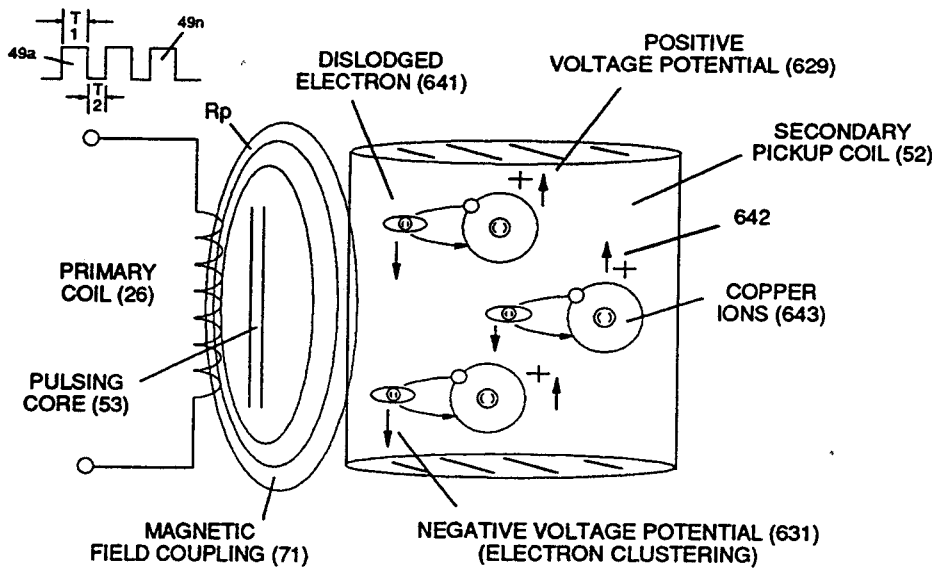


FIGURE 7-9: ELECTRON BOUNCE PHENOMENON (EbP)

710

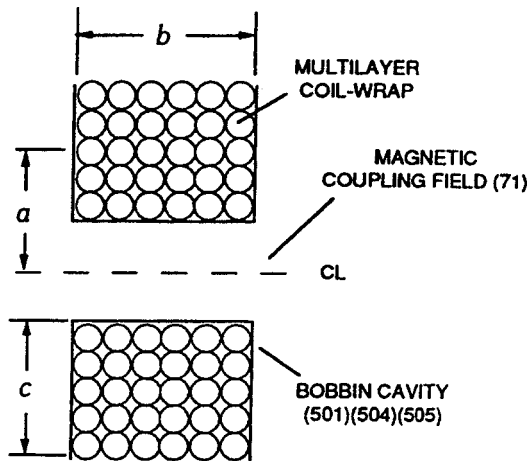


FIGURE 7-10: VOLTAGE STEPPING COILS

720

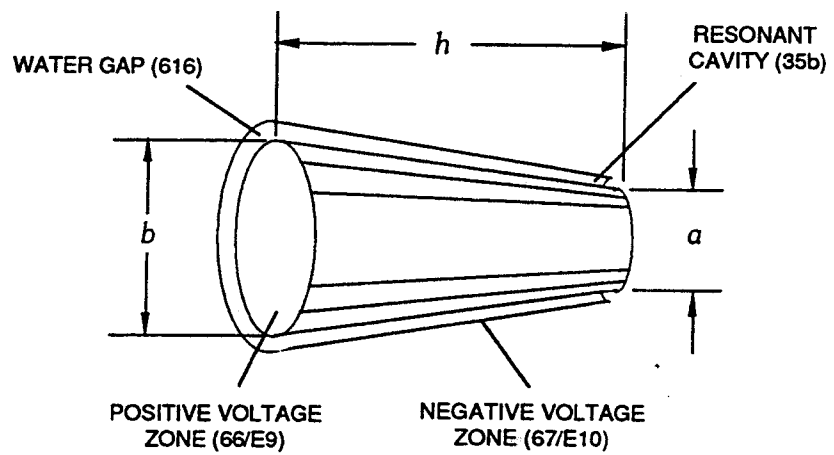
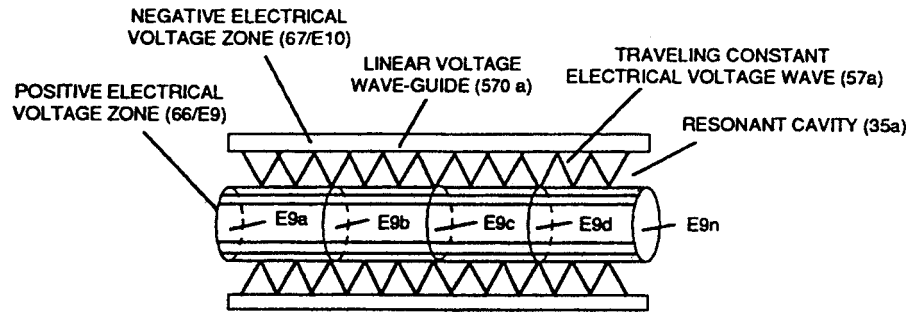
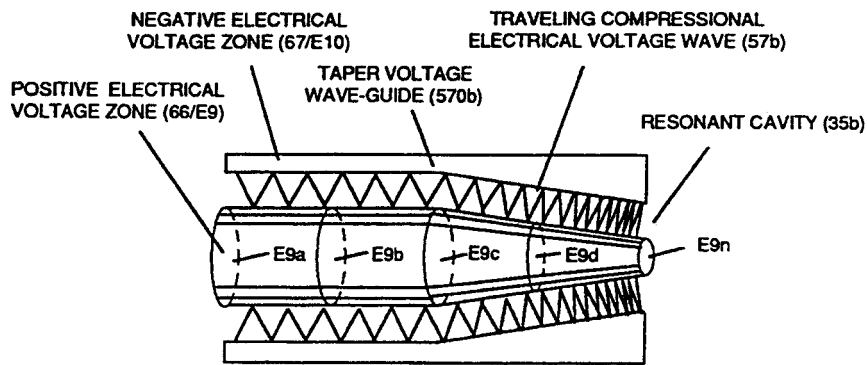


FIGURE 7-11: TAPERED VOLTAGE WAVE-GUIDE

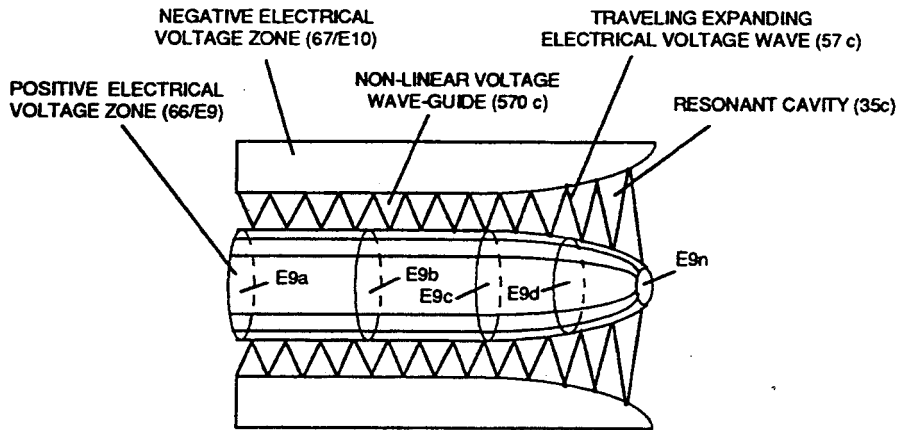
730



(A) LINEAR CYLINDRICAL RESONANT CAVITY



(B) TAPER CYLINDRICAL RESONANT CAVITY



(C) NON-LINEAR CYLINDRICAL RESONANT CAVITY

FIGURE 7-12: RESONANT CAVITY ELECTRICAL VOLTAGE WAVE

740

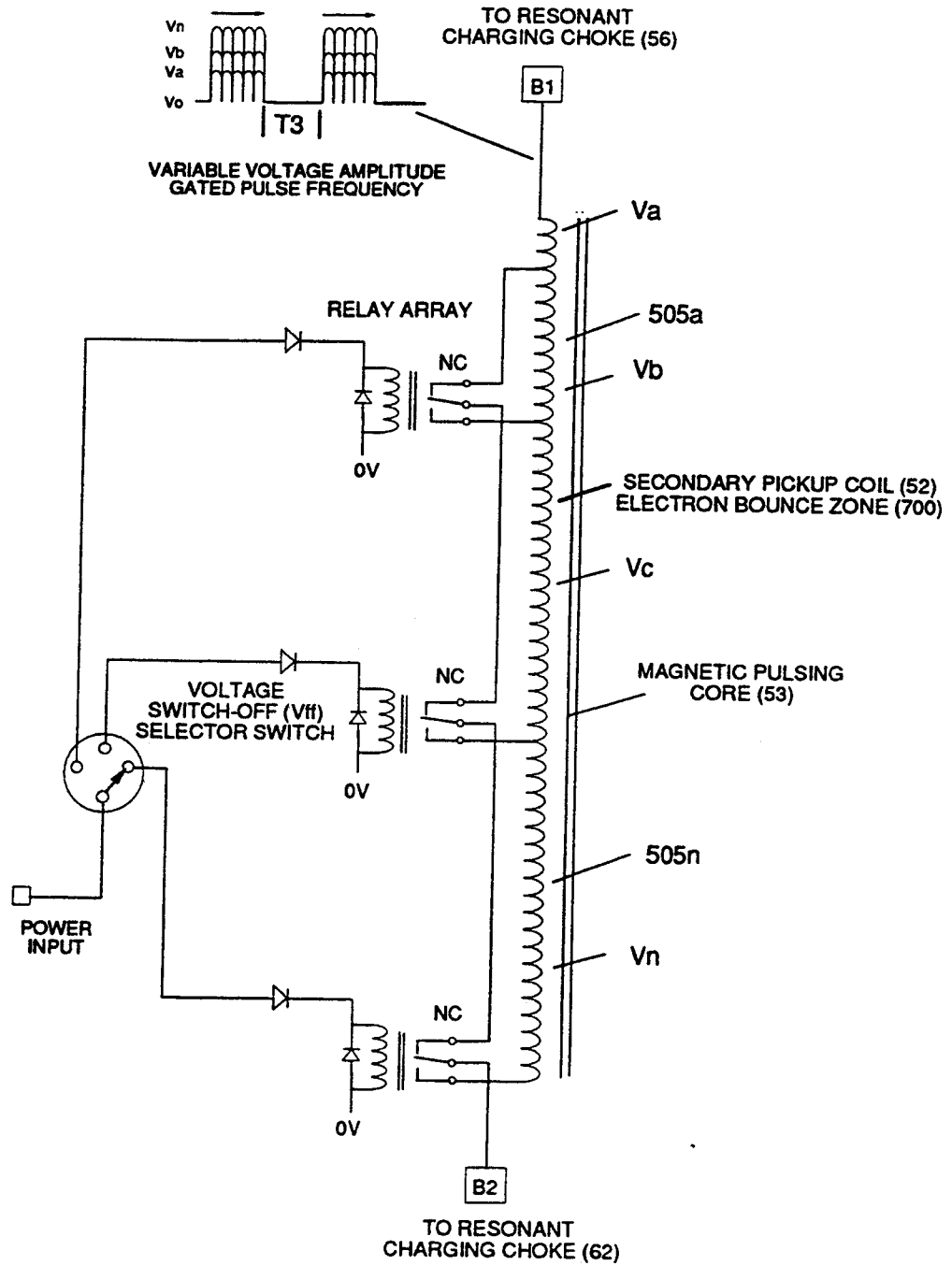


FIGURE 7-13: VIC SECONDARY SWITCH-OFF COIL-ARRAY

750

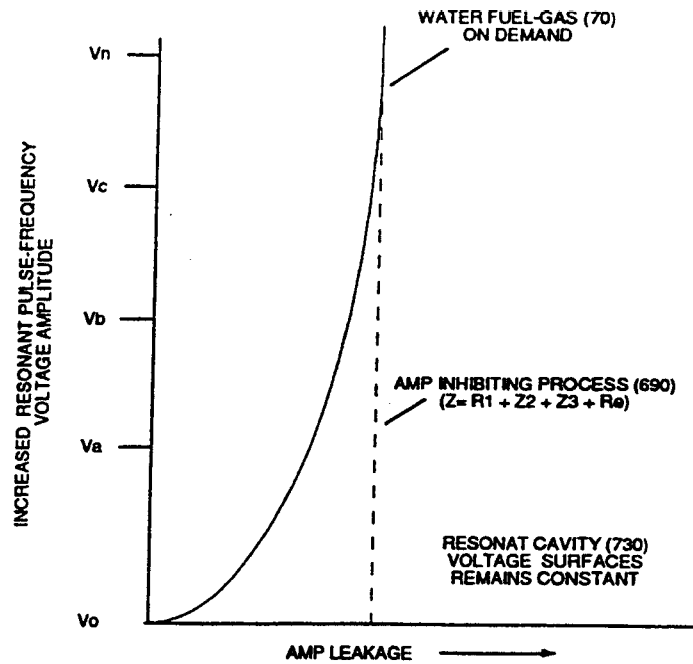


FIGURE 7-14: RESONANT CAVITY WATER-FUEL INJECTION

760

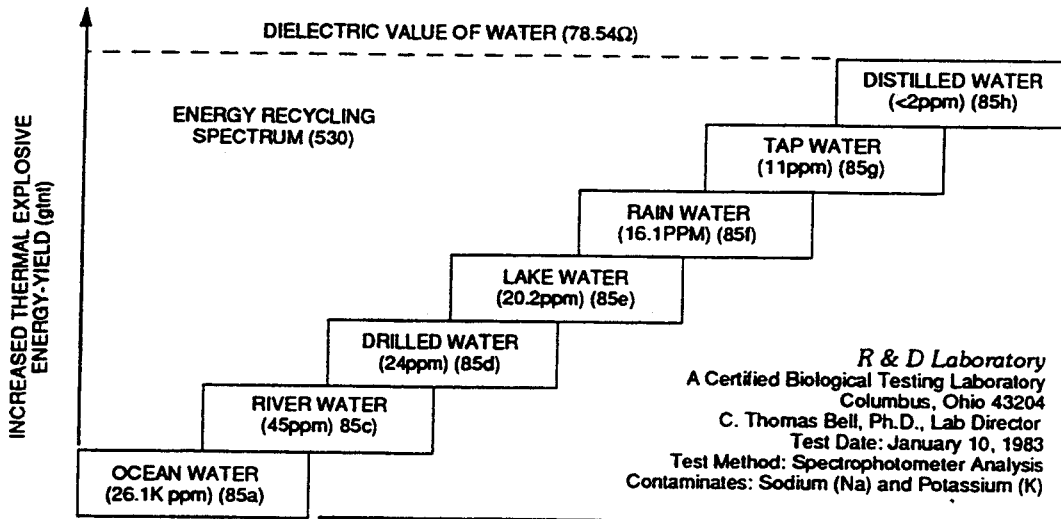


FIGURE 7-15: THERMAL EXPLOSIVE-ENERGY OF WATER

Guide d'ondes de tension
Propageant «l'action résonnante »
Par Voltage Tickling de l'espace d'état

Le « mode de l'Operability » de déterminer « les paramètres opérationnels d'ajuster l'énergie explosive thermique (gtnt) sortant le bec-port d'injecteur de carburant de l'eau est directement lié au type de train d'impulsion de tension étant employé et à la configuration géométrique de la cavité résonnante.

En termes de forme d'onde d'impulsion de tension, plusieurs paramètres opérationnels électriques existe : L'espace dynamique d'état qui change l'intensité électrique d'effort continuellement pendant la formation unipolaire d'impulsion de tension et l'espace statique d'état étant un état électrique par lequel l'effort électrique est jugé constant pendant une certaine temps-période.

Dans la référence à la configuration résonnante de conception de cavité à diriger d'énergie de bringon du front de flamme de gaz d'hydrogène, les injecteurs de carburant suivants de l'eau sont utilisés : Cavité résonnante cylindrique linéaire ; Cavité résonnante cylindrique de cône ; et cavité résonnante cylindrique non linéaire.

La combinaison « des paramètres électriques de tension » avec « des paramètres de conception physiques » d'un type donné de cavité résonnante permet énergie-rapportent du front de flamme de gaz d'hydrogène pour être plus ou moins d'énergie calorifique thermique d'excédent thermique d'énergie explosive (gtnt) et ci-dessus s'appellent la «énergie dirigeant »... et sont exécutées de la façon suivante :

RE : Propagation de guides d'ondes de tension de la note WFC 427 de guide d'ondes de tension

« Action résonnante » par Voltage Tickling de l'espace d'état

Le « mode-de-operability » de déterminer « les paramètres opérationnels » de libérer l'énergie explosive thermique (gtnt) (la flamme force-rapportent) dans le rapport direct avec thermique chaleur-rapportent (la température de flamme) au delà de l'impulsion-fréquence appliquée de tension d'intensité opposée de polarité (le plus loin de l'état d'équilibre) est effectué en changeant simplement ou en changeant la configuration physique des « guides d'ondes de tension » (structure résonnante de cavité de conception) dans la référence directe à l'amplitude unipolaire changeante jamais appliquée de tension Impulsion-Ondulez (voir le schéma 6-3 de la note 425 de WFC) à apporter-sur et propagez un flamedensity de prédétermination de projection en pré-sélectionnant le « espace d'état » dans ce que le bain d'eau injecté et entrant est soumis... à effectuer le travail de l'eau convertissante immédiatement dans l'énergie explosive thermique (gtnt) sur demande... employant l'eau comme carburant. Le « espace d'état » établi est régi par une de deux variables étant de la « charge statique » ou de l'état « dynamique » de condition. L'état dynamique d'état est une variable de l'état qui change toute heure ; considérant que, la variable statique de la condition est placée à un certain point mais ne change jamais alors. Un point dans le « espace d'état » représente l'état du flamme-système à un moment donné et est l'un ou l'autre dans un mouvement synchronisé et synchrony. L'interaction » de l'espace statique d'état « ou « de l'espace dynamique d'état » en l'état semblable de conditions ou états opposés des « états » laisse « Énergie-Diriger » de l'hydrogène flamme-avant ou de la projection de flamme de la trajectoire... établissant une corrélation sur la façon dont concevoir la modification le ® d'injecteur de carburant de l'eau à n'importe quel type existant de dispositif consommateur d'énergie.

L'état statique de variables est établi quand la pression de gaz résultante est jugée constante avec l'effort électrique statique ne changeant jamais de la polarité opposée de la tension Impulsion-Ondulent (64) de figure (3-20) de la note 422DA de WFC. Les conditions variables dynamiques existe quand l'effort électrique appliqué de la polarité opposée et la pression de gaz dynamique changent continuellement dans prérèglent la tranche de temps. Là où, les conditions combinatoires de variables est une fonction « de l'espace d'état » de soumettre la pression de gaz statique constante à un effort électrique changeant jamais de polarité opposée (SS') de RR'-. Et, l'état dynamique différentiel de variables du « espace d'état » est accompli toutes les fois que changeant l'effort électrique dynamique de la polarité opposée (le SS') de RR'- rencontre (diminution/baisse-dans) une pression de gaz dynamique négative. Dans chacun et tout le « état de l'espace » de changements, les atomes combustibles de gaz de l'eau est/sont « soumettent à une contrainte électriquement » sous les « différents » niveaux de pression à apporter-sur le point de déclenchement de mettre à feu thermiquement les gaz combustibles de l'eau là-bas ou loin « de l'état stable » d'équilibre. Chatouillement de tension de l'espace d'état sous « l'effort électrique résonnant » sans ampère influxing tandis que « Accordant-ln » aux propriétés diélectriques de l'eau est ci-après mentionné à ce WFC Technologie-manuel en tant que « action résonnante. »

Guides d'ondes de déplacement de tension

La formation de figure de déplacement tubulaire du guide d'ondes de tension (570a) .of (7-12) (note 426 de WFC) quant à (770) de figure (8-1) est physiquement formée quand la surface électrique positive de tension (661^E9) et la surface électrique négative de tension (671^E 10) sont placées dans le rapport parallèle de l'espace avec les swfaces de tension de forme (E91E1O) autour d'un axe cylindrique de la rotation ayant l'espace-espace (35) là

entre... et ainsi, éventant la cavité résonnante cylindrique (730A) de figure (7-12) quant à (770A) de figure (8-1) quand l'espace-espace (616) de figure (720) expose le bain d'eau injecté (85) à la pulse-oscillation unipolaire de l'intensité à haute tension de la polarité opposée (67/66) quant à (780) de figure (8-2) qui, alternativement, propage vis-à-vis de la force électrique d'attraction (RR _ 88 ') de figure (7-4), comme illustré dedans (590) de figure (6-2) quant à (585) de figure (8-1). La propriété diélectrique de l'eau (85) (résistance à l'écoulement d'électron) en même temps que VIC le circuit de Matrix d'enroulement (690) de figure (7-8) (note 426 de WFC) quant VIC au jeu de bobine (580) de figure (6-1) (note 425 de WFC) capacité d'empêcher l'ampère « influxing » (phénomène EbP de rebond d'électron) pendant les opérations de palpitation (49a xx 49n) permet l'amplitude de tension de potentiel d'impulsion-fréquence (T1 xxx un T1 n) quant à (Vo - 64a-64b - 64c - navigation verticale) de la figure (780A) (8-2) d'être appliqué à travers le bain d'eau circularring en coupe (85) (la forme de beignet) pour causer la forme d'onde de tension (57) de figure (6-2) à voyager la longueur longitudinale entière du l'eau-espace (616) puisque le matériel en acier inoxydable (s/s) (T304) formant la tension apprête (E9/E10) électriquement des conduites et seul transfère l'Impulsion-Frequency de tension (d'effet de peau) potentielle (583) la superficie intérieure (s/s) du material tubulaire en acier inoxydable chimiquement inerte et non-s'oxydant (E9/E10) qui dicte physiquement la forme et la configuration de la tension ondule (66/67)... formant le guide d'ondes tubulaire de tension (s) (570) de figure (7-12) que cela, maintenant, devient la même configuration physique de l'espace de l'eau (616), comme il lustrated dedans (720) de figure (7-11). La tension superficielle de l'eau (584) à côté des deux aides des surfaces de tension (E9IEIO) autres la transmission du potentiel de tension (66/67) puisque l'effet de remplissage électrique (585) de figure (7-4) ne change pas ou ne change pas la valeur diélectrique de l'eau (au sujet de). Ensemble, le coefficient de tension de l'eau (e/ordre technique) de l'équation (Eq 21) et le coefficient de tension de la tension funning (s/s) de matériel en acier inoxydable apprête (E9/E10), maintenant, permet l'établissement et l'exécution du déplacement

Le guide d'ondes d'Electical Voltage (583/602) puisque la zone électrique de conductibilité (587) entre la surface électrique (s) (E9IEIO) et la tension superficielle diélectrique de 584) actes de l'eau (et exécute comme conducteur électrique (effet de peau)... puisque la zone électrique de transmission (587) est presque exempte de fuite d'électron... puisque le bain d'eau (85) est un diélectrique-liquide (typiquement 78.54Q) qui n'aime pas transférer de ce fait ni échanger des électrons..., maintenant le potentiel d'amplitude de tension (Vo _ 64a _ 64b --64c - Navigation verticale) de figure (8-6) sans éprouver l'ampère arc-au-dessus de à travers l'Eau-Espace (616) dans toute quantité appréciable... permettant la palpitation vis-à-vis des forces électriques d'attraction (SS') de RR _ pour effectuer le travail de l'hydrogène « électriquement de remplissage » de bain d'eau (85) à apporter-sur et de déclenchement rompant processus (90) de figure (5-5), comme illustré à étape de pompage

d'énergie (520) de figure (5-3). Le circuit de Matrix de renforceur de tension (690) de figure (7-8) électriquement liée au liquide résistif (85/au sujet de) (formant espace résonnant Q2 de l'eau du schéma 7-8) propage la transmission de la forme d'onde de déplacement de tension (57) de figure (6-2) quant à (770) de figure (8-1) par le fonctionnel

rapport d'équation de résistance de circuit (Eq 9) pendant les opérations de palpitation programmables de tension (49a xxx 1 ' 3 xxx49n) de figure (8-2).

L'Onduler-Transmission électrique de Tension-Impulsion (583a xxx 583n), maintenant formée, se produit le long de la zone électrique de conductibilité (587) puisque l'amplitude électrique appliquée de tension d'impulsion (V_o - 64a - 64b - 64c - navigation verticale) est temps sensible ($T1/T2$ a - $T1$ du - $T3/T2$ n) à la fréquence à déchenchements périodiques entrante d'impulsion de tension (49a xxx - 1 ' 3 - xxx 49n). Chaque temps-période de durée d'impulsion de tension ($T1$ à l'heure) de début à la finition est directement liée à l'amplitude appliquée de Tension-Impulsion (navigation verticale de V_o xxx) et la fréquence se reproduisante d'impulsion de tension (49a xxx 49n) formant « la tension unipolaire Impulsion-Ondulent » (583) de la tension nulle l'état fondamental que (V_o) à un niveau de tension prédéterminé (xxx 64 x - 64y - 64z - navigation verticale) sur le marginal de la tension Impulsion-Ondulent (V_{pa}) et, puis, l'oscillation haute de tension inverse à la baisse sur le rebord arrière (V_{pb}), accomplissant Tension-ondulent (583). Le principal bord nouvellement établi de tension (V_{pa}) et le bord de remorquage de tension (V_{pb}) étant uniforme dans la forme/configuration puisque les deux le remplissage résonnant obstrue ($56/Z2 - 62/Z3$) des valeurs résistives sont le même ($k \sim$ en général 11.6 chaque) et le signal entrant (49a xxx 49n) est électriquement lié avec le condensateur d'Eau-Espace (CP) de figure (7-8) ayant le liquide diélectrique de l'eau (85) là entre... de ce fait, empêchant loveronner pendant chaque impulsion en prolongation... permettant au phénomène de rebond d'électron (EbP) de se produire sans ampère influxing à moins VIC du circuit de Matrix (690) de figure (7-8) comme ainsi régi par des équations de Circuit Resistance (Eq. 9) ce qui, dans l'électrique-état activé, permet la tension positive Impulsion-Ondule (583) pour être reproduit en succession pour former le train d'impulsion de tension (66 - 583a xxx 583n), comme illustré dedans (770) de figure (8-1). Le train négatif opposé d'impulsion de tension (67 - 602a xxx 602n) est pareillement formé puisque « l'effet groupant d'électron » (631) de figure (7-9) produit « une intensité électrique négative de tension (67) dans la grandeur égale « à l'intensité électrique positive de tension (66) pendant :=ach/pulsecycle magnétique répétitif (RP/71). Rappelez-vous, l'enroulement secondaire de collecte de tension (52) de figure (7-8) déplace et sépare les bobines de remplissage résonnantes (56/62) sur l'extrémité opposée de ledit enroulement secondaire de collecte (52).

Énoncez l'espace (le PS)

Pendant l'électrique-formation (66 - V_{pa}/V_{pb} - 67 - V_{pa}/V_{pb}) de chaque tension électrique opposée ?1 :Ise-Ondulez (66-583 - 67-602), vis-à-vis de la force électrique d'attraction (RR - SS') de figure (7-4) est produit à travers le chapeau de l'eau (CP) de figure (7-8) quant à la laquelle, maintenant, place vers le

haut et définit les conditions du « espace d'état, » comme illustrés dedans (770AIB) de figure (8-1) (650) de figure (7-4). Le récemment formé vis-à-vis de la force électrique d'attraction (RR - intensité de SS') est directement lié au l'Éclater-Temps appliqué d'amplitude de tension (V_{pa} - navigation verticale - V_{pb}) quant à l'Éclater-Fréquence de tension (49a xxx 49n)

RE : Note WFC 427 de guide d'ondes de tension

quant au point d'excursion de crête de tension «P» à la taille de la vague unipolaire d'impulsion de tension (583/602) qui, aux tours, détermine le Crête-Potentiel maximum de tension (V_{pp}) à n'importe quelle heure donnée pendant chaque cycle d'impulsion de tension (V_{pa}/V_{pb}). L'intensité électrique de force d'attraction ($RR - \text{solides solubles}$ quant au RU/RU - rue/ST quant à 550 du schéma 5-8) au potentiel maximal de tension (V_{pp}) est augmentante ou diminue ou constante restant quant tracer-position du point à la «P» d'excursion de crête de tension qui balaye la forme d'onde exacte \ bltagePu1se (66583/67-602) étant produite, comme illustré dedans (780B) de figure (82). La tension s'égalisant Impulsion-Balayent (des bps) du début d'un Impulsion-Champ de tension (V_{pf}) au début du prochain Impulsion-Champ de tension ($V_{pfa} + V_{pfb} + V_{pfc} + V_{pfn}$) est déterminée par toute la moyenne du nombre de Tension-Impulsions appliquées (avenue de V_p) composant vis-à-vis du train d'impulsion de tension (583/602a xxx 583/602n) dans le mouvement synchrone. D'une manière générale, changer de la courbe d'arc (VCA)/changeant en l'Arc-Ligne (bravoures) de la forme d'onde unipolaire d'impulsion de tension (V_{pwf}) définit le profil de balayage de champ d'impulsion de tension (V_{pf}) (V_{sp}) par lequel le Tracer-point «P» détermine le type de «espace d'état» étant employé pour propager la «tension chatouillant» de la molécule d'eau (85) subissant «l'effort électrique» sous différentes fluides-pressions.

Toutes les fois que, le point «P» d'excursion de tension change toujours dans un espace-temps indiqué, le «espace d'état» désigné sous le nom «de l'espace dynamique d'état ;» tandis que, «l'espace statique d'état» existe quand les restes du point «P» d'excursion de tension constants pendant une période précise d'espace-temps au potentiel maximal de tension (V_{pp}) formant la forme d'onde coupée d'impulsion de tension (V_{cwf}) pendant l'impulsion de tension formant par le circuit de palpitation programmable (projet de WFC 422DA/423DA) se sont électriquement connectés par interface VIC au circuit de Matrix (690), comme illustré dedans (780) de figure (8-2). L'espace dynamique d'état cause vis-à-vis de la force électrique d'attraction ($RR - SS'$) à changer continuellement dans intensité électrique (le *cei de RR'SS*) quant à la formation de courbe de crête de tension (V_{pc}) ; où, l'espace statique d'état permet vis-à-vis de la force d'attraction ($RR - SS'$) à rester à l'intensité électrique constante ($RR - SS'$ *cei*) si maximal le potentiel de tension (V_{pp}) est coupé en formant l'Arc-Ligne (bravoures), comme illustré dedans (780C) de figure (82). Le train d'impulsion unipolaire de croisement (780B) est utilisé quand l'oscillation de particules de l'atome de molécule d'eau (s) est/sont être continuellement élém. élect. soumis à une contrainte ($RR - \text{le vei des solides solubles}$) dans des conditions changeantes d'une grandeur plus élevée (forme d'onde de compression d'impulsion de tension) que l'utilisation du train d'impulsion unipolaire planaire (780A). Le train d'impulsion unipolaire coupé (780C) est utilisé pour encourager un accroissement plus ultérieur du l'angle de saturation-temps atomique capable d'élever le niveau d'énergie atomique (AEI) des atomes de l'eau pour égaliser un énergie-état plus élevé avant que la Casser-Action se produise quand la vague unipolaire d'impulsion (U_{pw}) revient à l'état fondamental (V_o) après la propagation de tension (V_{pa}/V_{pb}). Naturellement, le répétition-taux de «SnappingAction atomique» (asa) (le nombre de champs V_{pf} d'impulsion de tension se produisant par unité d'espace-temps) détermine directement la force résultante de l'effet de remplissage électrique statique (585) de figure (8-1) puisque la «oscillation de particules» est employée comme «générateur d'énergie» (EGpo), comme ainsi souscrit dans WFC

RE :Note WFC 427 de guide d'ondes de tension

la note (424) a intitulé l'équilibre d'énergie atomique de l'eau quant aux paramètres fonctionnels liés à la forme d'onde potentielle de tension dynamique (600) de figure (6-3)... qui emploie le potentiel d'impulsion de tension de la polarité électrique opposée de l'attraction (RR - solides solubles rue quant de RU/RU à - /DST') pour effectuer le travail dans la séquence d'opérations suivante dans un instant de temps : Processus électrique de polarisation (160) (prolongeant la molécule d'eau... changeant le taux de division du temps de la commutation covalente d'électrons... outre du lien covalent en atténuant les champs électromagnétiques des atomes soumis à une contrainte électriques subissant la séparation de molécule ; Étape universelle d'amorçage d'énergie (500) (oscillation de particules comme générateur d'énergie en guidant les particules atomiques sous changer l'effort électrique) ; Liquide pour intoxiquer l'étape d'ionisation (230) (éjectant des électrons de la structure atomique sous l'effort électrique divergent) ; et gaz thermique déclenchant l'étape (E9d) (gaz mettant à feu électriquement les atomes combustibles de gaz de soumettre à une contrainte le plus loin de l'état d'équilibre électrique)... déclenchant l'hydrogène rompant le processus (90) (gaz combustibles de sous-critique-état étinceler-étant miss à feu sous la résonance électrique de l'effort).

En termes d'oscillation de particules (Poe) comme Énergie-Générateur (EGpo), si la ligne d'arc de tension (bravoures) longueur est prolongée tandis que l'amplitude de tension (xx 64a - 64b - 64c - navigation verticale) est ajustée sur interaction atomique plus élevée de Crête-Potentiel de tension une plus grande (Vpp) puis (585) de figure (8-1) (voir la note 424 de WFC intitulée équilibre d'énergie atomique de l'eau, de nouveau) se produit quand l'oscillation de particules (Poe) du débattement de la masse atomique (voyez 550 du schéma 5-8) (élongation d'atome) est électriquement soulignée le plus loin du point d'état d'atomique-équilibre par la force électrique d'attraction de tension opposée (RR - les solides solubles quant au RU/au RU - Rue/ST'), comme encore illustré dedans (500) de figure (5-1) quant à (510) de figure (5-2). Chatouillement de tension de l'espace d'état sous « l'effort électrique résonnant » sans ampère influant tandis que le « de Accord-~ de « aux propriétés diélectriques de l'eau est ci-après mentionné à ce WFC Technologie-manuel en tant que « action résonnante, » comme illustré graphiquement dans figure (5-4 A, B, C) quant à la cavité résonnante (170) de figure (3-25) quant à figure (1-13).

Diriger d'énergie (Ev)

Le « mode de l'operability » de déterminer « les paramètres opérationnels » d'ajuster l'énergie explosive thermique (gtnt) sortant du bec-port (32) de figure (4-5) quant à (40) de figure (4-2) est directement lié aux caractéristiques de la forme d'onde potentielle appliquée d'impulsion de tension (Vpp) (s) (Vpwt) et à la configuration géométrique de la cavité résonnante (90) de figure (4-7) quant à (730) de figure (7-12). En termes de forme d'onde d'impulsion de tension (s) (Vpwt) plusieurs paramètres opérationnels électriques de « » existe : L'espace dynamique d'état (SAD) qui continuellement change/change la force électrique

d'attraction (RR - solides solubles quant à RUIRU - rue/ST') de la basse intensité d'effort (lente) à la haute

RE : Note WFC 427 de guide d'ondes de tension

l'intensité d'effort (s haut) et de nouveau au bas point d'effort (lent) quant à la courbe d'arc (VCA) formant le champ d'impulsion de tension (Vpt) placé sur l'impulsion de tension éclatée (Vpb)... qui a combiné ensemble (Vpf + Vpb) des désaccords électriques de l'effort (es) correspond à la forme d'impulsion de tension du chaque synchronisé vis-à-vis de la vague d'impulsion de tension (583 - 602) (770A) de figure (8-1) étant produite pendant l'opération appliquée d'impulsion de tension (49a xxx 49n) ; L'espace statique d'état (Sss) est l'état électrique par lequel la force électrique d'attraction (RR - *solides solubles* quant au RU/au RU - *rue/ST'*) est une fois éclat constant jugé Vpb d'impulsion de tension) se produit pendant l'opération d'impulsion de tension (Vpwf)... formant la forme d'onde coupée synchronisée de tension (780C) de figure (8-2) de manière semblable à la synchro-impulsion de tension (583 - 602).

Dans le secteur de la tension Synchro-Ondulez (+/-) la propagation, le train unipolaire d'impulsion de tension (583/602a xxx 583/602) de (770A) de figure (8-1), le train coupé d'impulsion de tension (605/606a xxx 605/606n) de la figure (780C) de figure (8-2), et la stimulation statique de tension d'impulsion de croisement de bringson unipolaire du train (607/608a xxx 607/608n) (Vsvs) par laquelle l'effet de remplissage électrique statique (585) est puisqu'élément. élect. soumettez à une contrainte la force constante jugée (est) fait la moyenne dehors de l'espace dynamique d'état (SAD) ou de l'espace statique d'état (Sss) pendant l'opération de palpitation répétée (49a xxx 49n). D'une part, la tension progressive Synchro-Ondulent (+609/- 611) (609/611a xxx 609/611n) de la figure (780A) de figure (8-2) stimulation dynamique de tension d'encrages (Dvs) puisque potentiel maximal de tension (Vpp) augmente pendant que la tension Synchro-Ondulent des avances de l'avant (a à b à c et ainsi de suite) dans le nombre de l'impulsion de tension unipolaire (s) (Vwp), comme illustré dans figure (3-21)... causant l'espace dynamique d'état (SAD) ou l'espace statique d'état (Sss) à augmenter progressivement dans l'intensité électrique d'effort (Esi) pendant un continuum donné d'espace-temps... produisant l'effet de remplissage électrique dynamique (612) de Figure (8-1) que pression électrique d'effort d'augmentations (Espa + Espb + Espc, et ainsi de suite) continuellement pendant chaque cycle de palpitation à déchenchements périodiques de tension (T3 xxx 49n de 49a xxx). Ajuster plus loin le train unipolaire entrant d'impulsion de tension d'étape d'amorçage de tension (Vps) (Vpt) est déclenché plein-sur pour permettre le continuum ou le back-off d'espace-temps dans le format à déchenchements périodiques de 100% à un pour cent inférieur (%) de période active d'Impulsion-Fréquence, comme illustré dans figure (3-20).

VIC circuit de Synchro-Impulsion de tension

La Synchro-Impulsion de tension a déclenché la fréquence (583/602a xxx 583/602n) (603/604a xxx 603/604n) de figure (8-1) quant à (605/606a xxx 605/606n) (607/608a xxx 607/608n) (609/611a xxx 609/611n) de figure (8-2)... tout, en formant la vague d'éclat d'impulsion de tension (619) quant à unipolaire Impulsion-Formez (780A), croisement unipolaire Impulsion-Forment (780B), et le train d'impulsion unipolaire coupé (780C) quant à l'Onduler-Action de déplacement de tension (770) de figure (8-1) de polarité opposée de tension

(+/-) des amplitudes égales de Tension-Impulsion (+Vpp/- Vpp) sont la référence nulle à l'état fondamental électrique (OV) en plaçant le circuit d'inhibiteur d'ampère (860) (enroulement empêchant 617 d'ampère, bloquant diode 618, et noyau 619 d'induction magnétique) entre la terre électrique (OV) et le robinet de centre des enroulements secondaires duels de collecte de Bifilar (616A/B) VIC du circuit de Matrix (690) de figure (7-8) quant VIC au circuit de réseau d'impédance (620) de figure (7-1), comme illustré dedans (840) de figure (8-10). En faisant ainsi, la mise en phase d'équilibre de l'intensité opposée de tension (+Vpp/- Vpp) est accomplie sans éprouver influxing courant provoqué par des désaccords différentiels où le potentiel négatif de crête de tension (- Vpp) est moins que le potentiel positif de crête de tension (+Vpp) ou l'état Versa... permettant l'inducteur la bobine que résonnante love l'intensité de champs électromagnétiques (+Z2/- Z3) pour être, alternativement, exempte de désaccords électromagnétiques de l'intensité (Z2 - Z3). Les aides de ce décalage de non-tension (mise en phase d'équilibre de potentiel opposé de tension) empêche le déplacement d'atome pendant la « Casser-Action » par quel « effort électrique résonnant » de la polarité électrique opposée (RU/RU - la rue/ST') est appliquée également à travers la molécule d'eau (s) (85) pour propager (612) les effets de remplissage électriques statique (585) ou dynamique (s) au potentiel élevé de crête de tension (s). La Lover-Assemblée empêchante d'ampère (617) se compose du matériel en acier inoxydable du fil 430FIFR d'inductance magnétique enroulé autour d'un noyau d'aimant d'induction en circuit fermé (619) qui sont une lover-unité séparée (860) indépendamment VIC du jeu de bobine (580) de figure (6-1). Le blocage de la diode (618) fonctionne comme « isolant électrique » qui empêche la décharge électrique de l'enroulement secondaire duel (616A/B) pendant les opérations de palpitation appliquées (49a xxx 49n).

Pour assurer et maintenir l'effet de remplissage de capacité (650) de figure (7-4) à travers l'Eau—Gap (CP) de (7-8) pendant les opérations de palpitation appliquées (49a xxx 49n), la forme d'onde de tension de croisement (780B) quant à (780C) de figure (8-2) est généralement utilisée en ne permettant pas au point convergent « Q » de la figure (780B) d'atteindre le point au sol électrique (OV) quand chaque impulsion de tension unipolaire (Vpp) est élém. élect. activée dans le rapport de phase-distance avec la cause le rebord arrière (Vpb) de la première Tension-Impulsion (Vpp1) pour rencontrer le soulèvement marginal (Vpa) de la deuxième vague d'impulsion de tension (Vpp2) à une distance au-dessus de l'état fondamental (OV) déterminé par l'Espace-mouvement de la vague de reformation de crête de tension (Vppa xxx Vppn) dans la largeur d'impulsion de tension (TI), comme illustré dans le circuit rotatoire de Synchro-Impulsion de tension de croisement (850) de figure (8-11) où les enroulements de chaque collecte VIC (52A52B - 52C) sont axialement espacés 120° causer à part le point convergent « Q » d'être localisé 1/3 la taille du niveau de crête d'amplitude de tension (Vpp), comme exemple.

Configuration résonnante de cavité (s)

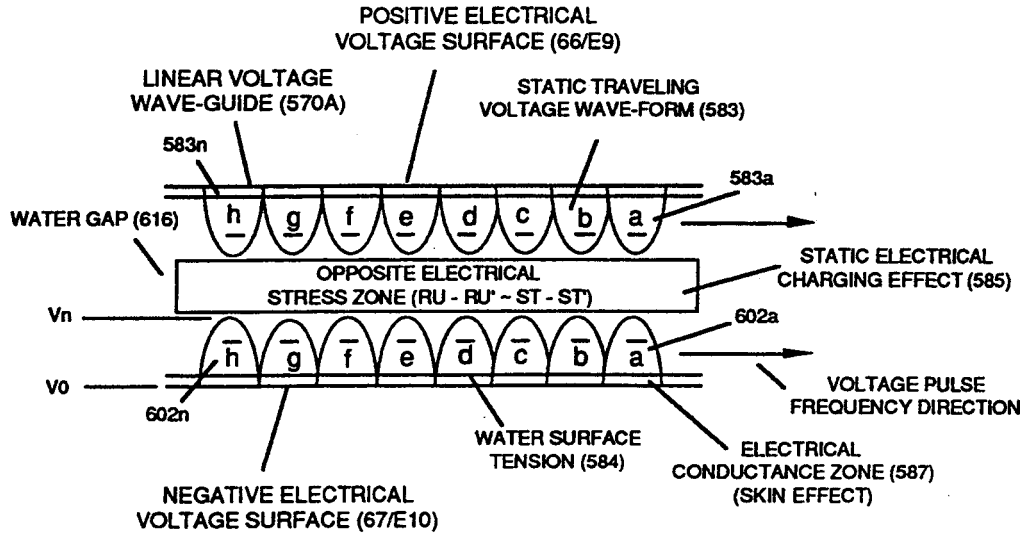
Dans la référence à la configuration géométrique de cavité résonnante à apporter-sur davantage de réponse à l'énergie dirigeant (Ev) indépendamment de l'étape d'amorçage de tension (Vps) (tension entrante appliquée PulseFrequency 49a xxx 49n), les 730) paramètres de conception physiques résonnant de cavité ((s) sont maintenant pris

en considération en déterminant la projection de la flamme-chaleur (16), comme illustré dedans (70) de figure (4-5) quant à (590) de figure (6-2) : (a) Cavité résonnante cylindrique linéaire ; (b) Cavité résonnante cylindrique de cône ; et (c) cavité résonnante cylindrique non linéaire, comme illustré dedans (730) de figure (7-12). L'état variable statique résonnant cylindrique linéaire de la cavité (730A) (Svc) (790) de figure (8-3) permet Flamme-Avant (VS1 statique électrique thermique explosif thermique « de figure (8-7) à être de la grandeur égale quand l'energyyield (gtnt) est comparé à la chaleur-énergie () puisque le facteur d'effort (RR' - solides solubles quant au RU/au RU - la rue/ST') est constant avec la pression de gaz (Sgp), comme illustré dans le graphique de vecteur d'énergie (830) de figure (8-7). Variable dynamique (800) de figure (8-4) produit le front de flamme (VS3) quand effort électrique dynamique (RR - solides solubles quant au RU/au RU - rue/ST') et pression de gaz dynamique (Dgp) sont tous deux qui augmentent dans la grandeur par l'utilisation de la cavité résonnante cylindrique de cône (730B) de la figure (712), comme encore indiqué dans le graphique de vecteur d'énergie (830) de figure (8-7) sous l'intituler-ligne « l'espace d'état de Progressional » (VS3). La variable combinatoire existe quand la vague dynamique d'impulsion de tension (600) de figure (6-3) est utilisée avec la cavité résonnante cylindrique linéaire (730A) de la figure (7-12), comme illustré dans le graphique d'exécution (810) de figure (8-5). Plus grand Chaleur-rapportez du front de flamme (16) est réalisé quand la cavité résonnante cylindrique non linéaire (730C) de figure (7-12) est employée en même temps que les variables dynamiques différentielles (820) de figure (8-6) où effort électrique dynamique (RR - solides solubles quant au RU/au RU - STIST') est augmenté tandis que la pression de gaz résultante est laissent se laisser tomber pendant l'étape d'allumage de gaz (E9d) de figure (6-3) quant à figure (590) de figure (6-2), comme finalement remarquable par le graphique d'Energy Vector (830) de figure (8-7) sous l'intituler-ligne « l'espace de extension d'état » (VS4).

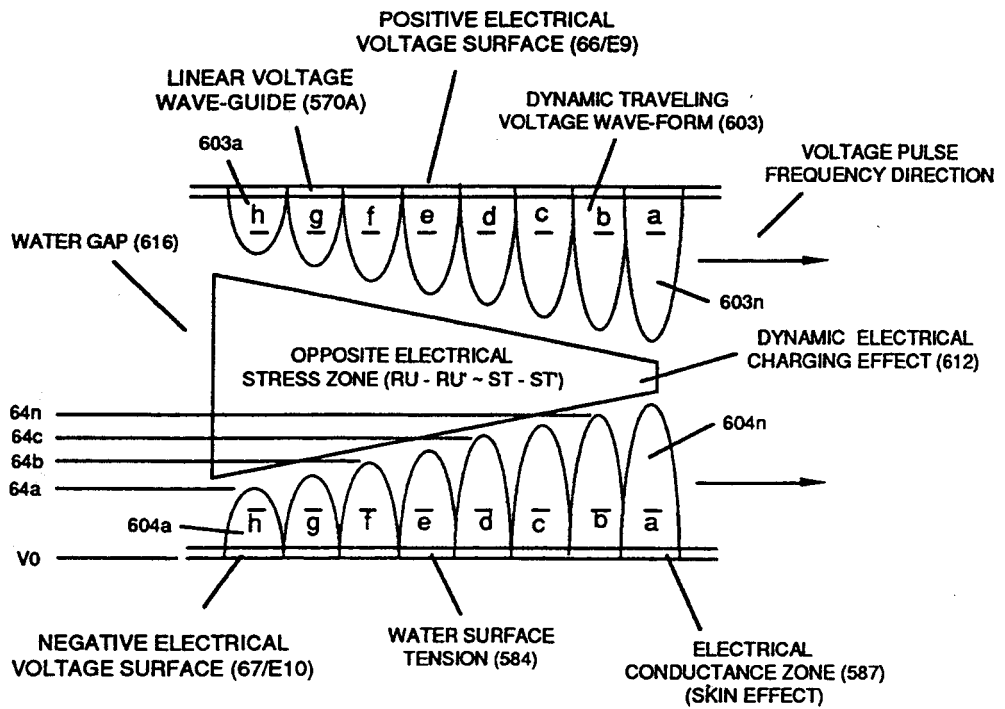
Application d'utilisation

En entremêlant simplement/mterchanging n'importe quel Impulsion-État électrique appliqué de tension avec n'importe quel état de pression de gaz comme ci-dessus décrit ci-dessus peut avoir comme conséquence un gaz d'hydrogène prédéterminé FlameFront qui peut être utilisé pour une application particulière d'utilisation. Par exemple, la cavité résonnante de cône (590) de figure (6-2) quant à (820B) de figure (8-6) approprié idéalement aux moteurs à combustion interne d'I.C. aussi bien que des moteurs de fusée où haut pousser-rapportent de la puissance explosive (gtnt) (582B) est exigée ; considérant que, la cavité résonnante de extension (730C) de figure (7-12) quant à (820C) de figure (86) est plus adaptée pour des applications de four. La cavité résonnante linéaire (730A) de figure (7-12) quant à la figure (820A) est pour Découpage-Incendient les applications (582)... pour mentionner uns. Dans chacun et toute la (582A, B, C,) impulsion résonnante Flamme-Avant des vagues sont produites pour produire net une énergie plus élevée : - rapportez au delà des niveaux à gaz normaux. L'énergie de laser (588) étant injectée dans les vagues résonnantes d'impulsion (16) par le laser injectent 589) aides de Tube-Port (maintiennent les Plasma-températures aux températures extrêmement élevées au-dessus de l'art antérieur.

770



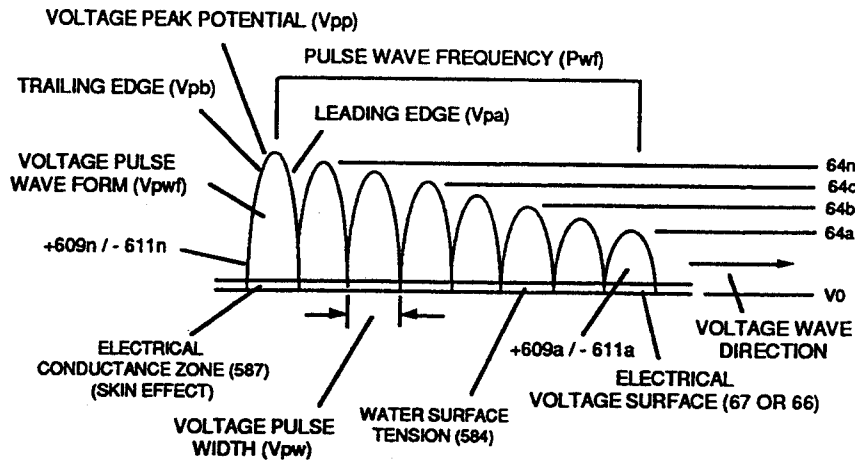
(A) STATIC VOLTAGE STIMULATION



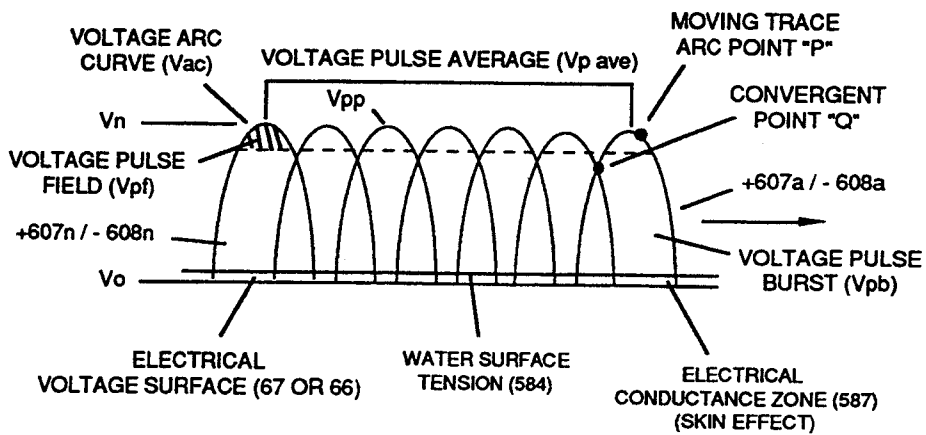
(B) DYNAMIC VOLTAGE STIMULATION

FIGURE 8-1: ELECTRICAL CHARGING STAGE

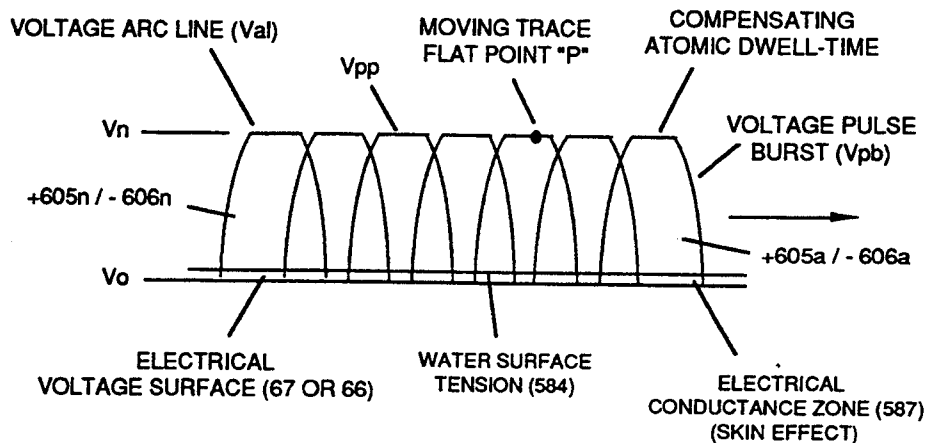
780



(A) PROGRAMMABLE UNIPOLAR PULSE-TRAIN



(B) CROSSOVER UNIPOLAR PULSE-TRAIN



(C) CLIPPED UNIPOLAR PULSE-TRAIN

FIGURE 8-2: PROGRAMMABLE VOLTAGE PULSE-WAVE

790

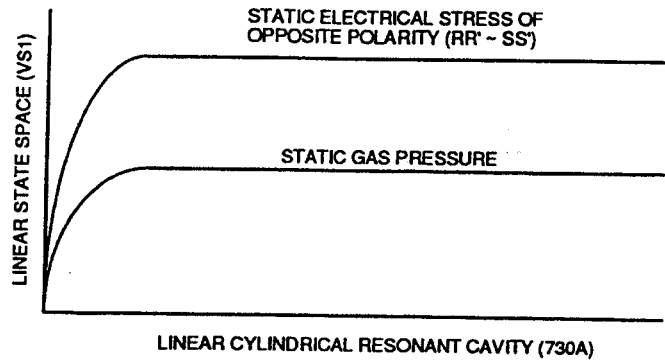


FIGURE 8-3: STATIC VARIABLES

800

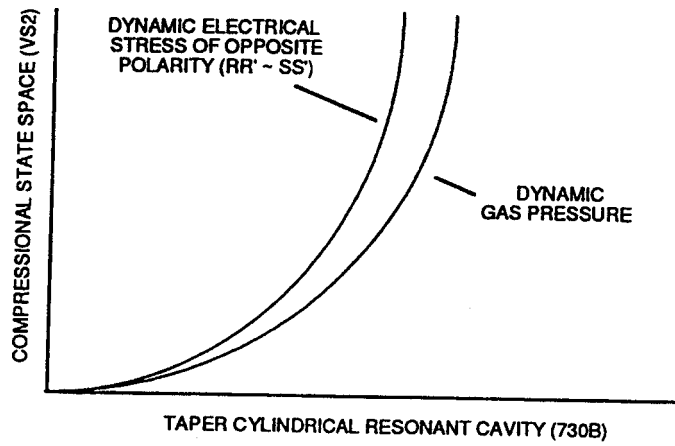


FIGURE 8-4: DYNAMIC VARIABLES

810

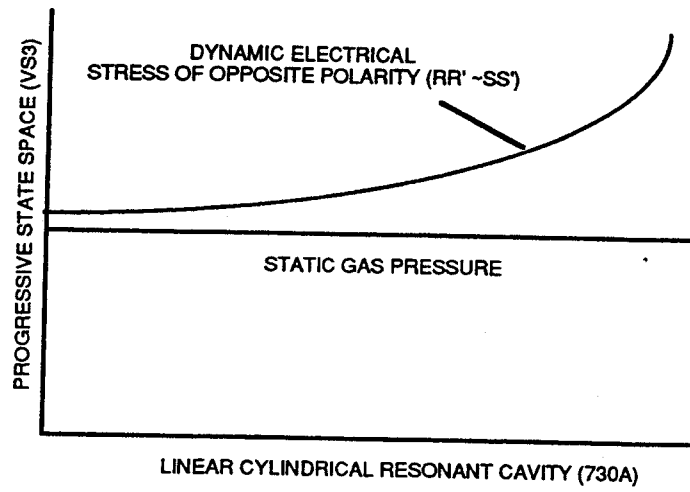


FIGURE 8-5: COMBINATORIAL VARIABLES

820

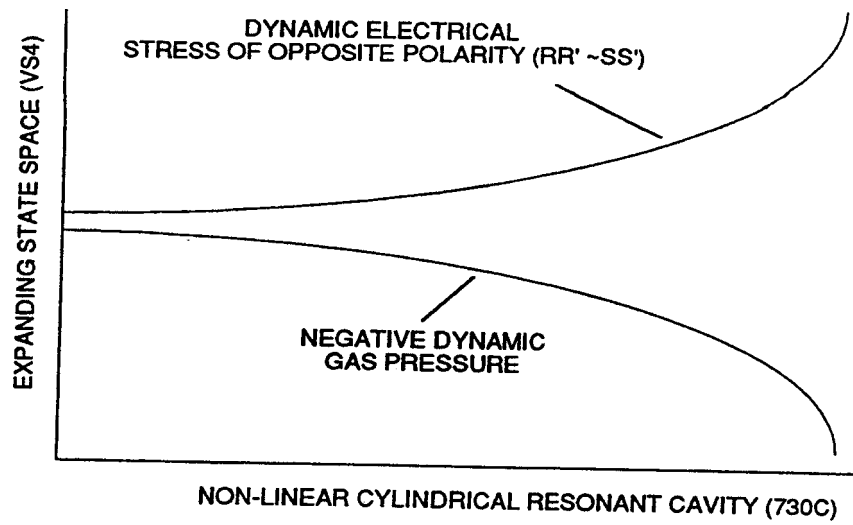


FIGURE 8-6: DIFFERENTIAL DYNAMIC VARIABLES

830

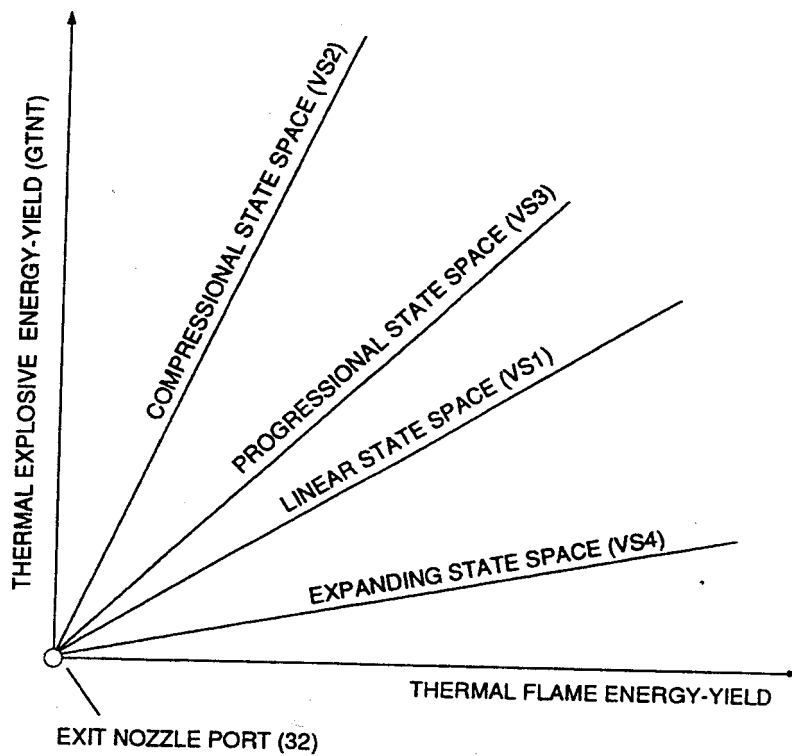
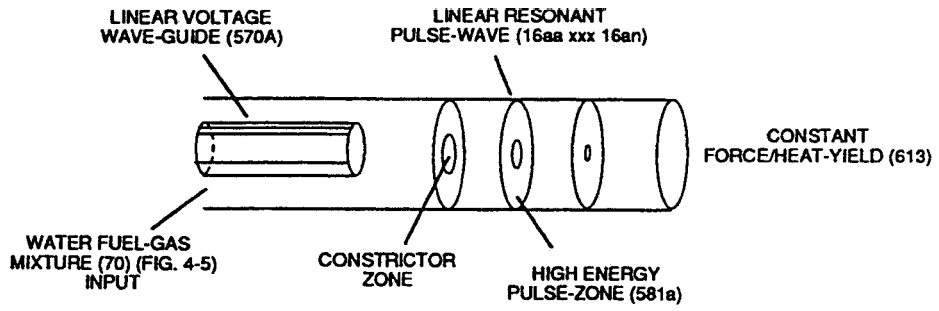
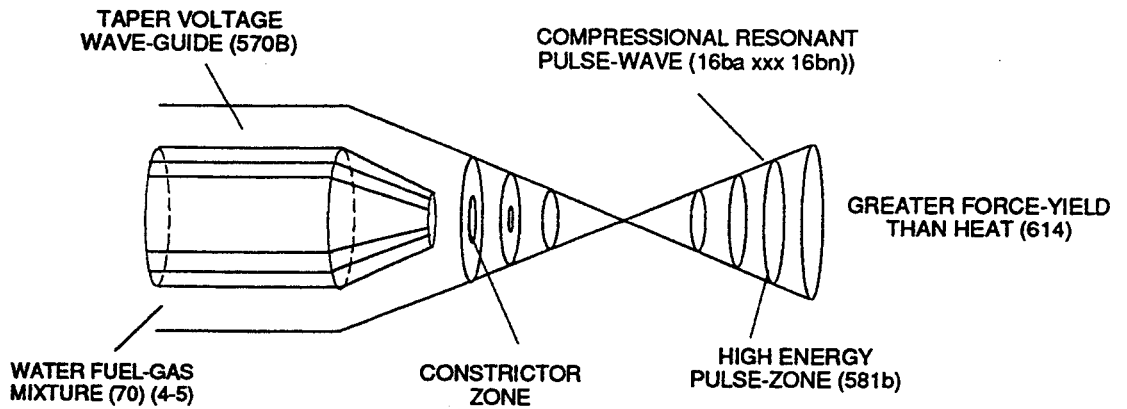


FIGURE 8-7: ENERGY VECTOR GRAPH

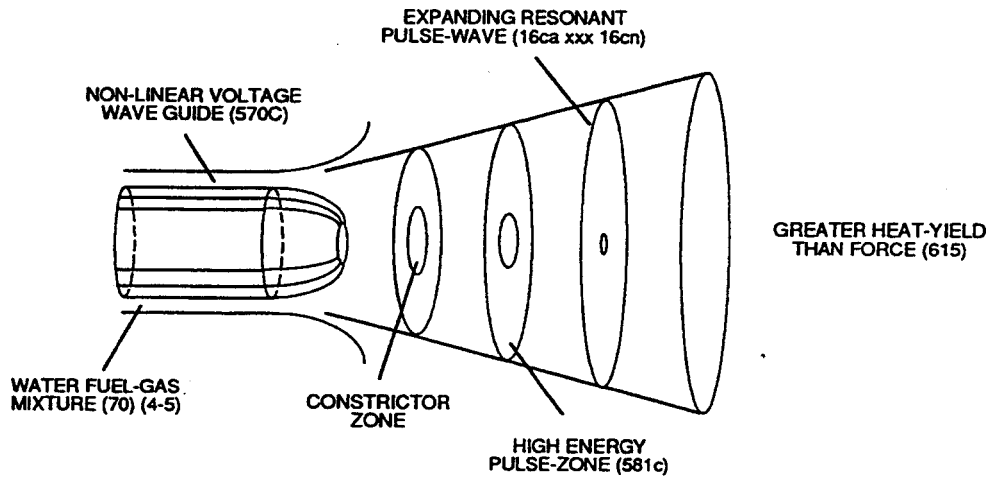
820



(A) LINEAR STATE SPACE (VS1)



(B) COMPRESSIONAL STATE SPACE (VS2)



(C) EXPANDING STATE SPACE (VS4)

FIGURE 8-6: RESONANT CAVITY STATE SPACE

830

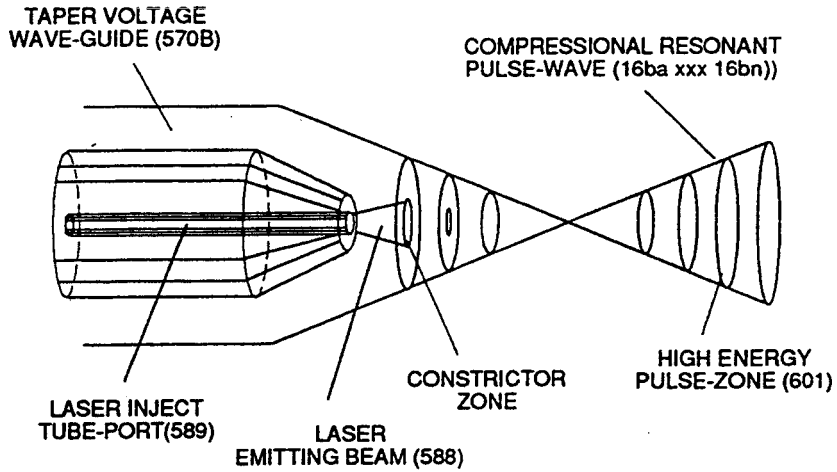


FIGURE 8-9: LASER ENERGY INTERACTION

840

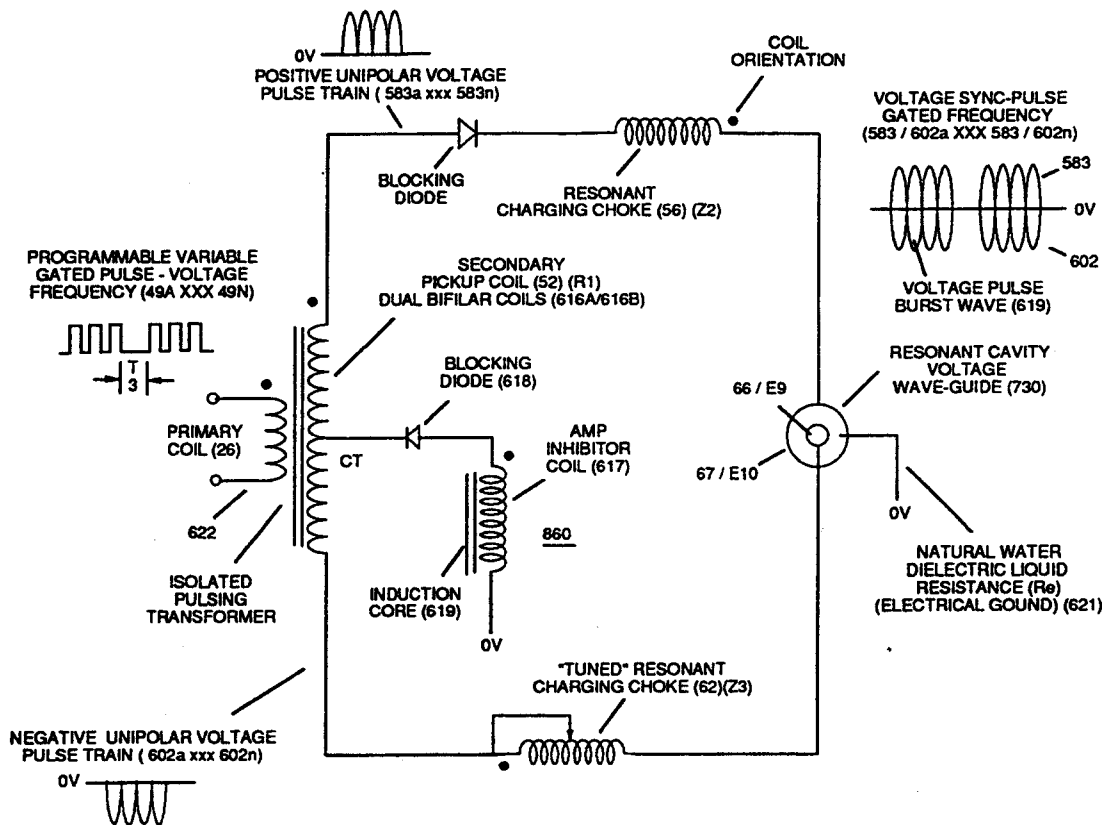
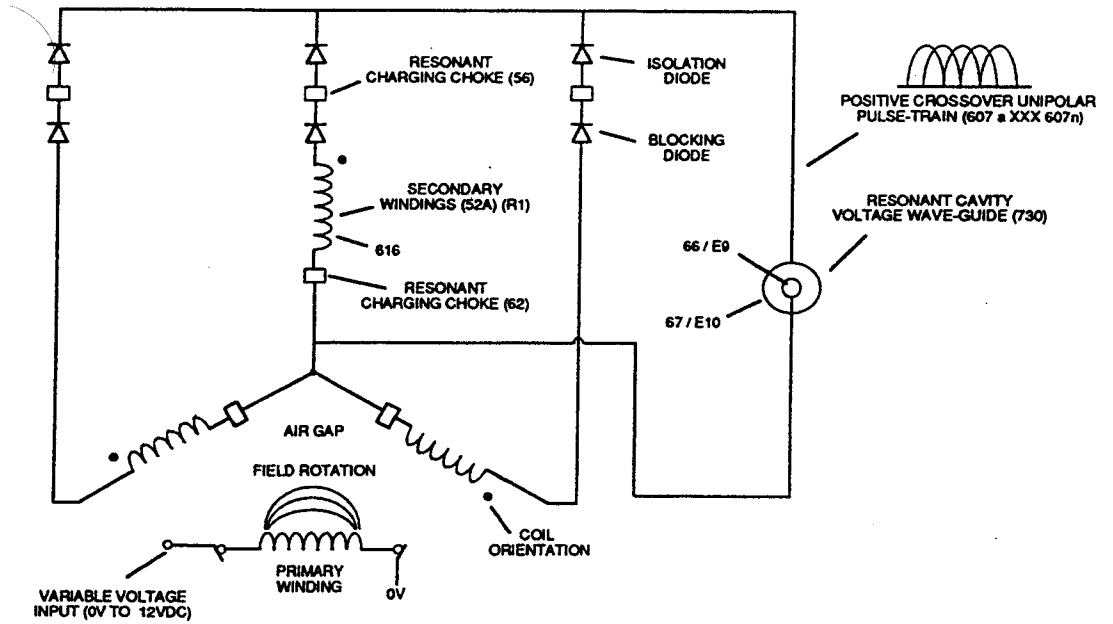
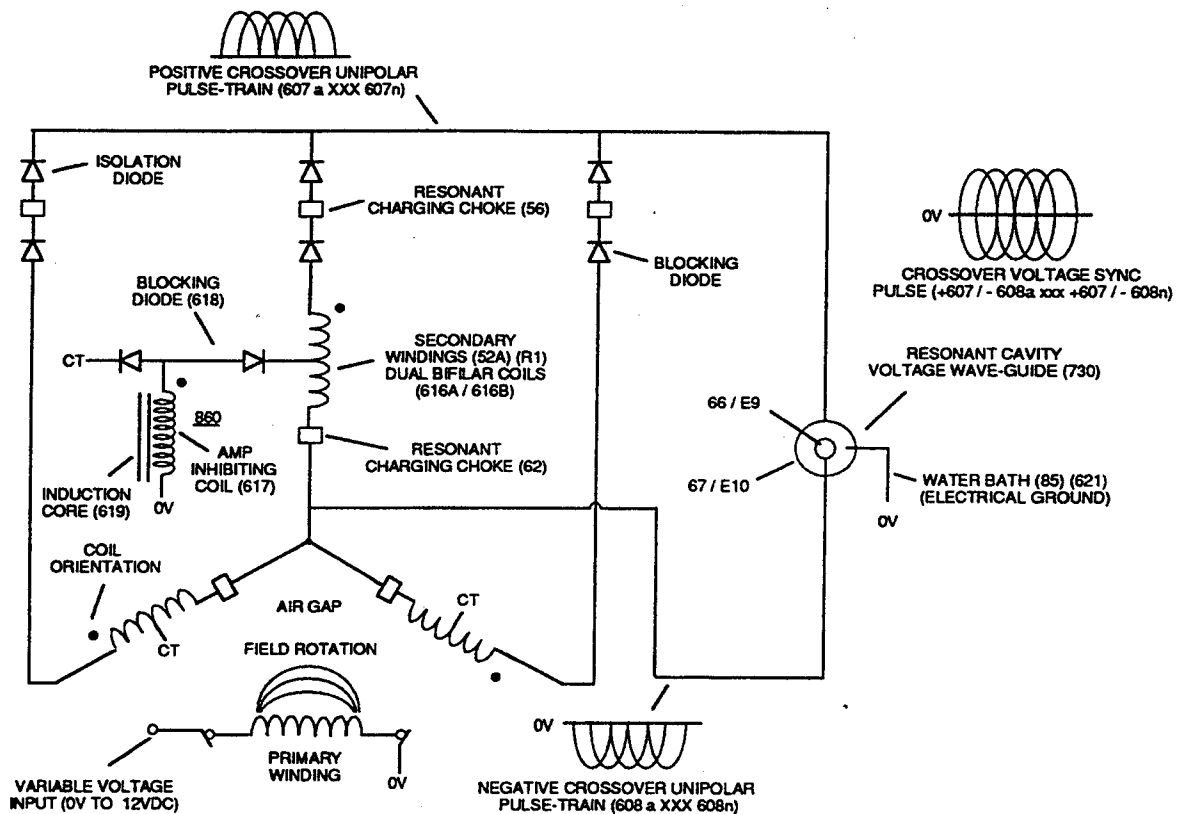


FIGURE 8-10: VIC VOLTAGE SYNC-PULSE CIRCUIT

850



(A) UNIPOLAR CROSSOVER VOLTAGE PULSE-TRAIN



(B) CROSSOVER VOLTAGE BURST SYNC-PULSE

FIGURE 8-11: ROTARY (VIC) PULSE VOLTAGE FREQUENCY GENERATOR

Reprenant notre air... pour la vie saine

L'objectif principal de la technologie d'injection de carburant de l'eau de l'invention (s) est d'aider l'inverse les dommages étant faits « à mettre à la terre l'appareil respiratoire écologique » près d'abord d'encourager tout l'utilisation la « eau » comme de nouvelle source de « carburant » puisque le sous-produit de libérer l'énergie explosive thermique (gtnt) de l'eau est simplement une « brume de l'eau » qui est énergie recyclable en absorbant l'énergie solaire du soleil entrant rayonne... automatiquement limitant l'utilisation de la brûlure de combustible fossile •. arrêtant l'extraction de l'oxygène O₂ molécules de l'air puisque le Water'~ de « le fournit possèdent la molécule de l'oxygène pour soutenir le processus de combustion d'hydrogène.

Deuxièmement, re-activant l'énergie-niveau de l'air par l'utilisation du processeur de gaz de WFC en branchant sur l'énergie « universelle » par l'oscillation de particules comme générateur d'énergie.

Et le lastly~ se servent de l'air d'échappement de WFC reprenant la technologie pour ouvrir et éliminer les produit-oxydes aéroportés dérivés du combustible fossile brûlant quand l'air ambiant traverse le moteur à combustion interne (d'IC) tournant sur l'eau... repurifying de ce fait notre air pour la vie saine tout en maintenant l'économie industrielle du monde. L'eau de Remember~, naturellement ~ est libre, abondant~ et énergie recyclable.

La technologie de récupérateur d'air d'échappement de WFC utilise le processus électrique de polarisation de WFC pour renverser l'effet de dégradation de brûler l'oxygène de libération de produit-oxydes de combustible fossile... O₂ molécules de nouveau pour la réutilisation sous la « terre l'appareil respiratoire où écologique »... rassemblant des atomes sous la charge statique facturée la réutilisation industrielle... ayant pour résultat revitalisé « nettoient » l'air de nouveau pour soutenir tous les lifeforms sur terre. Le récupérateur d'air d'échappement de WFC fonctionne de la façon suivante :

Section 9

RE : Note WFC 428 de récupérateur d'air d'échappement reprenant notre air... pour la vie saine

Dans presque tous les cas des accomplissements scientifiques, la technologie secondaire se produit. La technologie de cellules de carburant de l'eau des inventions n'est aucune exception à cette règle. Pour chaque cause il y a

une raison et de chaque raison il y a une réponse et pour chaque réponse il y a de progrès. Sans progrès scientifique, nous ne pouvons pas espérer faire face à, ni résoudre, les besoins du monde. Les réponses données ci-dessous sont à cette fin un but de .this seulement. Liaison d'Electrovalent

De la façon semblable par laquelle atomes différents polaires de molécule d'eau (identification d'atome d'oxygène d'atomes 78 1 d'hydrogène (210) de figure (3-27) prendre-sur frais électriques opposés (B+ 1B), l'autre expérience de molécule de gaz-atomes (s) le même effet de charge électrique (q - q') quand le partage de covalent-électron se produit, comme illustré en CO₂ d'anhydride carbonique de polaire-molécule (910) de figure (9-2) quant à la molécule allotropique de l'ozone O₃ (930) de figure (9-4). La liaison de la molécule O₂ (910) Electrovalent d'anhydride carbonique force (q - le q') hérite l'existence quand à la différence de l'atome de carbone (902) partage des électrons avec chacun de deux atomes d'oxygène (901a/ 901b) puisque les électrons covalents admis et capturés émigre vers les deux le proton-faisceau de noyau d'atome d'oxygène (901a et 901b) de huit particules ayant une plus grande charge statique positive totale que le proton-faisceau de noyau d'atome de carbone (902) seulement de six... formant (B+/b) la molécule chargée polaire de CO₂ d'anhydride carbonique (910). Les deux additifs capturés/ont accepté des causes d'électrons (total dix 10 électrons quant à seulement huit protons de B) les deux atomes d'oxygène (901 a/901b) à individuellement prendre-sur une charge électrique négative (b) tandis que l'atome de carbone placé central (902) émane une charge électrique positive (B+) de l'égale mais vis-à-vis de l'intensité électrique (q - q') quand ses électrons partagés sont employés/acceptés près à la différence des atomes d'oxygène (901a/901b). Le bioxyde N₂ (940) d'azote de la figure (95) est un autre exemple du remplissage électrique polaire (q') de q - de deux atomes différents formant une molécule stable où un atome d'azote (n) (903) enclenche en covalence avec deux atomes d'oxygène (904a 1904b). Les gaz-atomes identiques des atomes d'oxygène (905a/905b 1905c) de figure (9-4) montre plus loin l'effet de remplissage électrique (q - q') puisque dans tous les cas la deuxième coquille d'électron (1 orbite) peut accepter jusqu'à huit (8) électrons pour causer la stabilisation de molécule. La gaz-molécule transitoire de l'oxygène O₂ combine ensemble deux atomes d'oxygène (906a/906b) de cette façon tandis que permettre l'atome d'oxygène de distributeur (906b) à excepté un autre atome d'oxygène (905c) de figure (9-4) puisque c'est L-Orbite (coquille externe) still a deux disponibles « des Électron-Espaces » pour le lien covalent, comme illustré dedans (920) de figure (9-3). Effet de remplissage électrique (q - g') est la force électrique d'attraction (q - q') de polarité électrique opposée entre le positif établi (B+) a électriquement chargé l'atome (s) et (b) l'atome chargé électrique négatif (s). Intensité électrique de la force électrique opposée d'attraction (q-qa' - 907a + q-qb - 907b) (ci-dessus après Electrovalent Bonding appelé) (force électrique totale de liaison entre deux atomes chargés électriques opposés) soyez équivalent à tout le nombre d'électrons employé/admis par l'atome de centre serveur (s) ayant

un plus grand noyau (B+) chargé positif comme ainsi établi en vertu des lois de la physique qui énonce pour « chaque action il y a une réaction égale et opposée ». C'est dû possible le fait qui tout orbital les différents électrons montrent leur propre charge électrique négative (b) tandis que chaque proton-particule soutient séparément une charge électrique positive (B+)... les deux particules chargées électriques opposées

(Proton quant à chaque électron) étant égal dans la grandeur électrique (=B- de B+). Et étant donné que l'atome d'oxygène pas prendre-sur un champ chargé électromagnétique puisque ses électrons appareillent ensemble

et rotation dans la direction opposée. Changer écologique de cycle de soutien

La liaison d'Electrovalent des atomes semblables et non-semblables pour former la gaz-molécule (s) produit différents éléments de substance. Par exemple, en processus de combustion de brûler le combustible fossile (pétrole, essence, diesel-carburant, charbon, ou gaz naturel) en air a comme conséquence les polluants aéroportés non désirés tels que l'oxyde de carbone Co, le NO. nitrique d'oxyde, le bioxyde N02 d'azote, l'oxyde de carbone Co, l'anhydride carbonique 2C02, l'anhydride sulfureux S02, et les hydrocarbures non brûlés... pour mentionner uns. Une fois que ces chemicaloxides entre/déchargé dans la terre environnante de l'atmosphère (voyez que le graphique 950 du schéma 9-6) d'autres interactions chimiques (oxydation) peut se produire sous le processus « de la liaison photochimique » par lumière du soleil. Par exemple, quand lien d'Electrovalent de molécule de l'anhydride sulfureux S02 jusqu'à une molécule de l'oxygène 02 (920) du schéma 9-3)... formant trioxydes 2S03 de soufre qui une fois mélangés à la pluie produisent « l'acide sulfurique » connu dans le monde entier en tant que « pluies acides ». Ibxicity de ces (dilution en air) produit-oxydes aéroportés (907) de figure (9-6) met en danger non seulement « le système écologique de soutien de la terre » mais dans la formation de ces produit-oxydes aéroportés par la catalytique-action de la combustion (brûlure) énormes quantités extrait/consumant de la molécule flottante libre de l'oxygène 02 (920) de figure (9-3) hors Lire-formes de l'air (moins de 20% maintenant par rapport à 30% avant l'âge industriel comme ainsi déterminé par les échantillons polaires de calotte glaciaire) il est essentiel soutenir que des toutes les sur terre (voir le cinématographie-film bleu de planète par Imax, .NASA.).

Ces augmentations des polluants aéroportés au cours des années sont, aussi, un contribuant important de la Soleil-Énergie décroissante (l'absorption de photon savent comme « effet de serre chaude ») (réduction estimée de 10% de quelques régions du monde aujourd'hui) que qui est, maintenant, permettant le viro-germe de la « rouille » à l'usine de la région I de forêt de massacre-au loin de forme... - la vie autour du monde. Rappelez-vous, l'usine-vie est prié de convertir le CO2 d'anhydride carbonique (910) de figure (9-2) en oxygène libéré 02 de sorte que le « souffle de la vie » soit donné pour toute l'animal-vie. L'occlusion de la molécule de l'oxygène 02 dans le processus de produit-oxyde de brûler le combustible fossile (s) est, également, la perturbation/empêchant « le procédé externe de respiration » des usines d'échanger l'oxygène 02 et l'anhydride carbonique 2m2 entre l'usine-organization et son environnement dans le présent de la lumière du soleil. La réduction de lumière du soleil est autre arrêtant la croissance des usines tandis que, simultanément, entraînant le faire un cycle-taux de procédé de respiration d'usine diminuer exponentiellement. Le plus mauvais encore, les polluants aéroportés de produit-oxyde dérivés des combustibles fossiles brûlants agissent l'un sur l'autre chimiquement avec la couche d'ozone 20 milles au-dessus de la terre. ... entraînant l'épuisement de couche d'ozone... permettant le rayonnement ultraviolet accru provenant du soleil pour passer par le troposphere d'air... contribuant non seulement à

changer/changeant l'appareil respiratoire « écologique » de l'homme sur terre mais permettant une partie de la terre « air intoxique » pour s'échapper dans l'espace extra-atmosphérique. En outre, libre-flottant

les produit-oxydes sont « Electrovalent-Liaison » pour mettre à la terre l'ionosphère ' » air convertissante de la terre dans substance « gélatineuse une »... enfermant l'humidité du cycle de perturbation de pluie de la terre d'air..., comme ainsi illustré dedans (960) de figure (9-7). La dispersion les approvisionnements de pétrole souillés par (s) biologique radioactif de genn-agent/chimique sortant de la guerre du Golfe arabe peut constituer une autre vraie menace à la survie de l'homme. L'inhalation des vapeurs radioactives d'échappement de l'huile arabe souillée certainement causerait le cancer de poumon si on permettait à une situation si déplorable d'exister même pendant une brève période.

Objectifs de développement de WFC

Le premiers but/objectif du système d'injection de carburant de l'eau (590) de figure (6-2) quant au développement de « FullSystem » (10) de figure (4-1) est, dans le royaume de la recherche scientifique, d'aider l'inverse les dommages étant faits « à mettre à la terre l'appareil respiratoire écologique » près d'abord d'encourager tout l'utilisation la « eau » comme de nouvelle source de « carburant » puisque le sous-produit de libérer l'énergie explosive thermique (gtnt) de l'eau est simplement la 'brume de l'eau » qui est « énergie recyclable » en absorbant « énergie solaire » des rayons entrants du soleil, comme ainsi illustrés dans le spectre de recyclage d'énergie (530) de figure (5-6)... automatiquement limitant l'utilisation du combustible fossile brûlant... arrêtant l'extraction de la molécule de l'oxygène O₂ de l'air puisque la « eau » fournit sa propre molécule de l'oxygène pour soutenir le processus de combustion d'hydrogène. Deuxièmement, re-activant la force de l'air par l'utilisation du processeur de gaz de WFC (80) de figure (1-17) en branchant sur l'énergie « universelle » par l'oscillation de particules comme générateur d'énergie, comme ainsi illustré dans le pompage d'énergie (520) de figure (5-3) quant à l'ouverture d'énergie (570) de figure (5-10). Et pour finir, servez-vous de l'air d'échappement de WFC reprenant la technologie (900) de figure (9-1) pour ouvrir et éliminer les produit-oxydes aéroportés dérivés du combustible fossile brûlant quand l'air ambiant traverse le moteur à combustion interne (d'IC) tournant sur l'eau... repurifying de ce fait notre air pour la vie saine tout en maintenant l'économie industrielle du monde. Rappelez-vous, arrosez, naturellement, est libre, abondante, et l'énergie recyclable.

Récupérateur d'air d'échappement de WFC

Pour éliminer la possibilité d'expulser dehors n'importe quel oxyde nitrique AUCUN gaz qui est généralement produit quand une cosse électrique se produit à l'intérieur d'un moteur (LC) à combustion interne ou de n'importe quel autre produit-oxyde qui peuvent être présents au l'échappement-air, le récupérateur d'air d'échappement de WFC (900) de la figure (91) ne peut être utilisé pour se conformer à la Loi propre d'air de l'agence de protection de l'environnement des États-Unis (EPA) semblable dans la construction au circuit de renforçateur de tension (110) de figure (4-9), le récupérateur d'air d'échappement de WFC (900) de figure (9-1) utilise vis-à-vis de la force électrique d'attraction (RR - SS') de potentiel de tension (navigation verticale de la Virginie xxx) de séparer les atomes du Oxyde nitrique qu'AUCUNE molécule (typiquement < 1ppm en courant sur l'eau) en surmontant l'attraction d'Electrovalent ne forcez (q - q') qui existent entre l'azote polaire-chargé (B+) et les atomes de l'oxygène (b). Ceci est accompli puisque le circuit de renforçateur de tension (110) de figure (4-9) est sensible pulsé (49a xxx 49n) à accorder-dans aux propriétés diélectriques de la gaz-molécule aéroportée pour activer

non seulement le phénomène covalent de Commutateur-Au loin (550) de figure (5-8) par l'ampère limiteur influxing pour causer « l'effort électrique » à travers

l'espace de condensateur (CP) (690) de figure (7-6) mais, également, prolonge l'oxyde nitrique électriquement polarisé AUCUNE molécule pour changer le diviser le temps-taux de l'électron covalent (s).•• exécutant la même fonction que le processus électrique de polarisation (160) de figure (3-26) par laquelle le potentiel électrique positif de tension (71) attire l'atome d'oxygène chargé négatif ; tandis que, simultanément, le potentiel électrique négatif de tension (61) attire l'atome chargé positif d'azote... séparant et séparant les atomes de l'oxyde nitrique AUCUNE molécule par la dynamique de tension (220) de figure (3-29) en vertu de la loi de la physique que les états « vis-à-vis des frais électriques attire », comme ainsi illustré dedans (900) de figure (9-1). De même, l'autre molécule de gaz de produit-oxyde (s) tel que le bioxyde N02 (940) d'azote de figure (9-5) exposée au processus électrique de polarisation (160) utilisant la cavité résonnante de gaz (140) subit de ce fait la même séparation de molécule-à-atome..., renversant l'effet de dégradation de brûler des combustibles fossiles

. la molécule de libération de l'oxygène O2 pour la réutilisation sous « l'appareil respiratoire écologique de la terre »... rassemblant des atomes sous la charge statique a facturé de nouveau la réutilisation industrielle •. ayant pour résultat l'air propre revitalisé de nouveau pour soutenir toutes les vie-formes sur terre. Naturellement, la brume de l'eau dérivée de la combustion d'hydrogène est enlevée avant des air-gaz d'échappement de moteur entrant dans et passant par le système de récupérateur d'air d'échappement de WFC (900).

La purification d'air par le débattement atomique (900) de figure (9-1) est puisque des atomes aéroportés ni ne sont détruits ni sont créés pendant l'impulsion-stimulation de « tension » d'exposer (E11/E12... 49a xxx 49n) propageant « effort électrique possible » impulsion-ondule (l'ASS') de Mm' - qui, alternativement, induit le phénomène « de Commutateur-au loin d'Electrovalent » (550) de figure (5-8). Le perfectionnement d'énergie de ces atomes aéroportés libérés pendant le processus de la moléculaire-séparation (900) vient du processus d'absorption de photon (537) de figure (5-6), ou du pompage d'énergie (520) de figure (5-3), ou de la combinaison de l'énergie du soleil de les deux sources d'énergie... (534) dans la rétrospection à la voie universelle 2 d'énergie de la figure ~, comme ainsi illustré dans « le spectre de recyclage d'énergie (530) de figure (5-6). En forme alternative, la source électrique à semi-conducteurs de photonlight (diodes électroluminescentes) (1100 xxx 116n) de figure (3-33) remplace les rayons du soleil (539) de figure (5-6) quand « chatouillement de tension de l'espace d'état » (770 de figure (8-1) agit en tant que « générateur d'énergie » par ~ « d'oscillation de particules » de figure ~ quant à (figure ~ de ~ .of à causer/activent l'ajustement de niveau d'énergie atomique (540) de figure (5-7), comme illustré dans le processus de processeur de gaz (260) de figure (3-33) quant à figure (1-17).

Écologique plus des facteurs

L'autre application (s) de la technologie de récupérateur d'air de WFC (900) de figure (9-1) est réalisée, comme mais pas limitée : les bactéries détruisantes en gaspiller-boue humaine pour la fertilisation normale, omission des beaucoup de toxique-gaspillent des produits chimiques par séparation atomique là de liquide pour intoxiquer des molécules pour la réutilisation industrielle, et même pour l'eau de mer de remplissage statique souille pour l'alimentation en eau fraîche... pour mentionner uns.

900

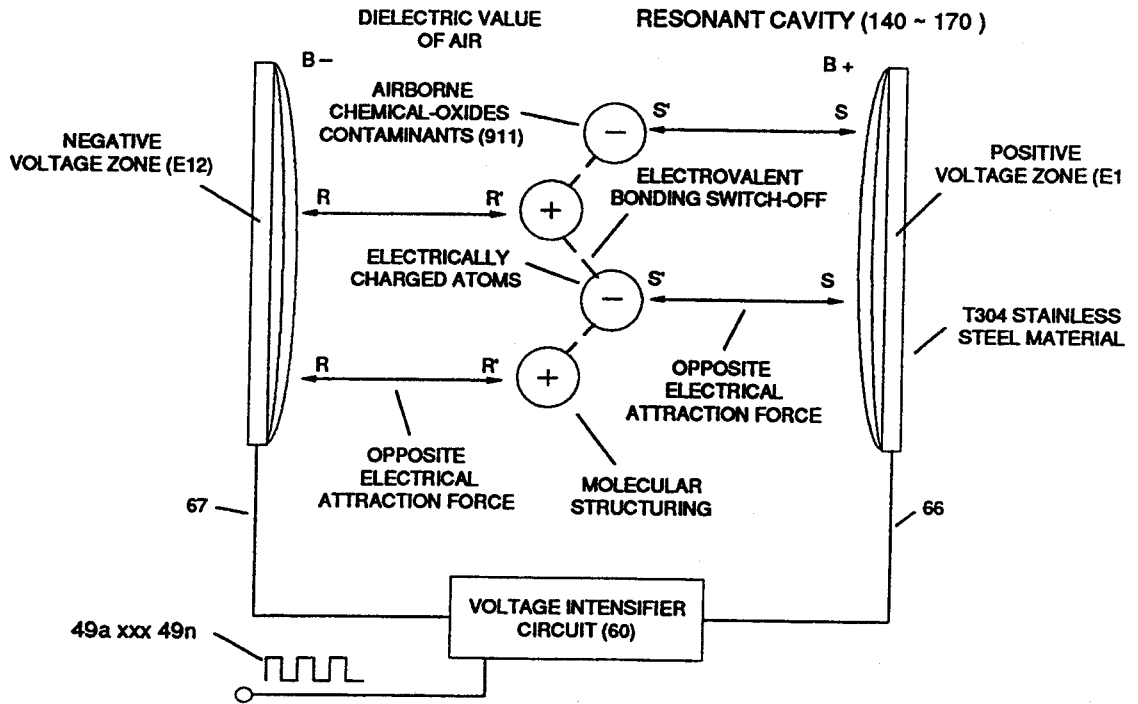


FIGURE 9-1: EXHAUST AIR RECLAIMER

910

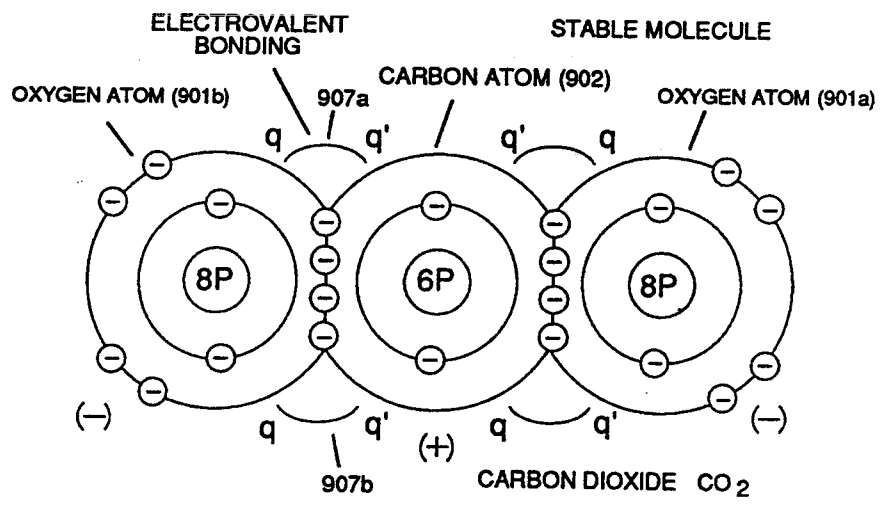


FIGURE 9-2: CARBON DIOXIDE CO₂

920

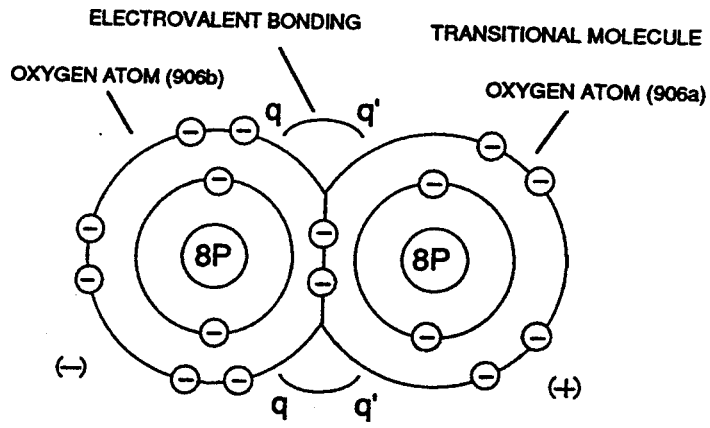


FIGURE 9-3: OXYGEN O₂

930

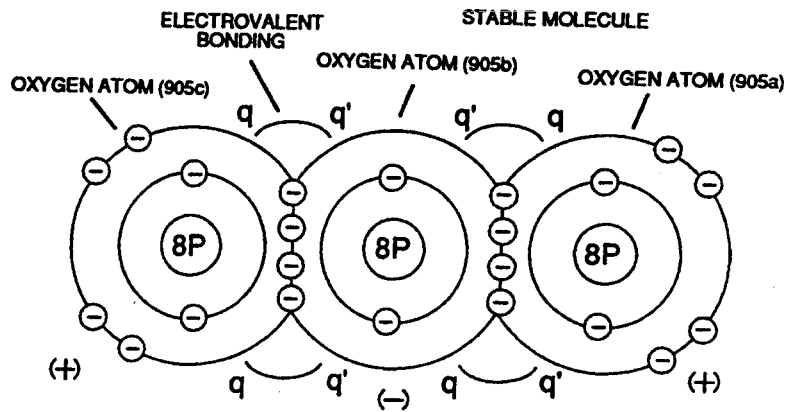


FIGURE 9-4: OZONE O₃

940

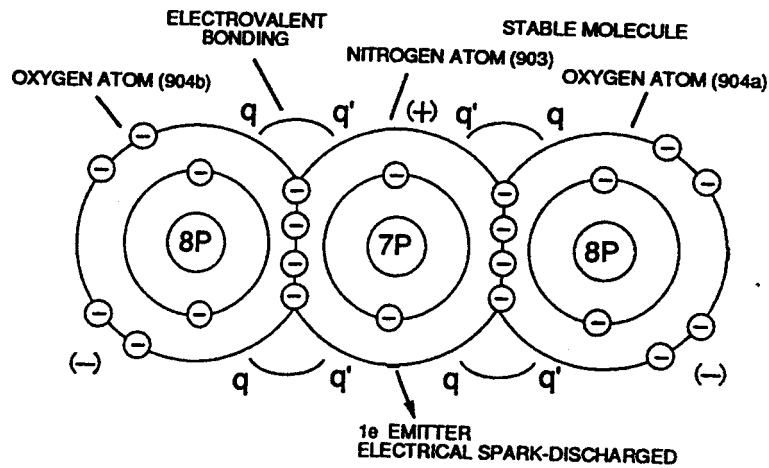


FIGURE 9-5: NITROGEN DIOXIDE NO₂

RE : Note WFC 428 de récupérateur d'air d'échappement

950

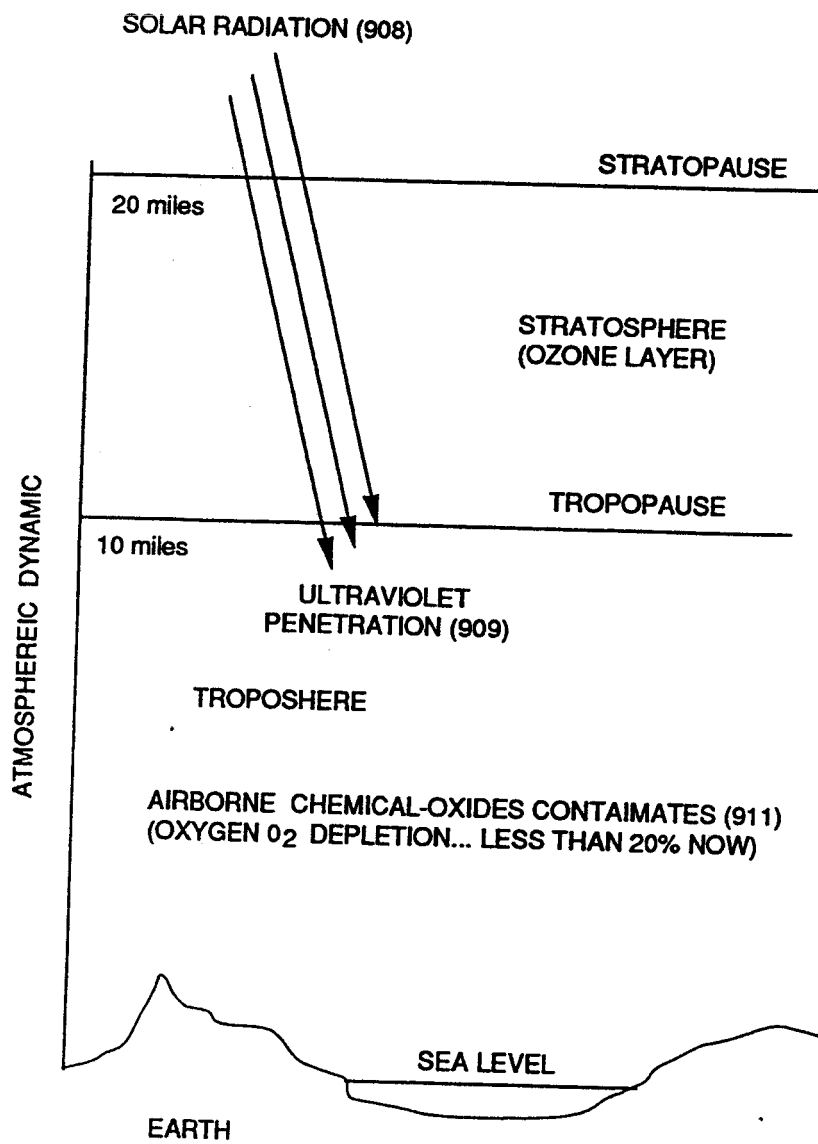


FIGURE 9-6: RE-PURIFYING EARTH AIR SUPPLY

960

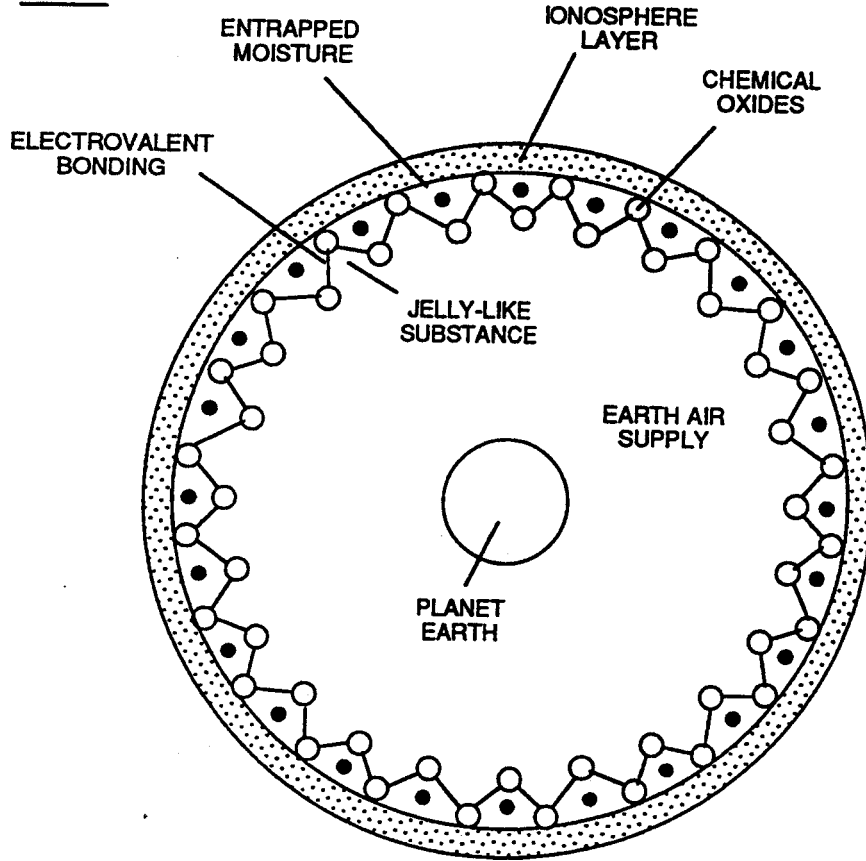


FIGURE 9-7: SPACESHIP EARTH

Un soleil contrôlable miniature

Objectif thermique optique :

Comment est-ce qu'il se fait- il qu'une graine d'une usine peut produire des atomes, subissent la molécule structurer, processus chimiques de soutien qui soutient la vie ? Le soleil, les aliments de sol, et l'eau sont seulement des stimulateurs de croissance.

Comment est-elle cette qu'un bébé dans l'utérus de mère subit structurer atomique pour nous donner la vie ? La mère d'enfant ne consomme pas assez de nourriture ni n'absorbe pas assez de rayons du soleil pour créer l'un atome non même du nouveau-né.

Comment est-ce la masse est-il créé en notre univers ? Et pourquoi est-il ce des planètes continuent-ils à se déplacer des voies orbitales ? Que remplissent de combustible l'univers ? L'univers augmente toujours tout en étant maintenu.

D'où est-ce que le feu vient puisque des atomes ni ne sont créés ni sont détruits pendant le processus brûlant ?

Pourquoi l'éclairage est-il associé aux molécules d'eau en air ? Et quels ouragans de carburants... est-ce la molécule d'eau ?

L'équation d'Einstein $E=MC^2$ prouve que l'énergie vient quelque part là-bas de notre univers physique.

La « oscillation de particules » comme « générateur d'énergie » la manière de brancher sur ce carburant universel de source d'énergie est-elle notre économie ? Et si oui, par quels moyens ?

La technique de WFC de « Easer » est, maintenant, s'ouvrent pour la dissertation scientifique... et sont expliquées de la façon suivante :

Section 10

RE : Objectif thermique optique de la note WFC 429 thermiques optiques d'objectif un soleil
contrôlable miniature

Dans les annales des efforts scientifiques, l'art antérieur seulement souscrit en employant les scénarios suivants pour causer la « oscillation de particules » comme « générateur d'énergie » : impact de particules pour produire l'énergie cinétique ; écoulement courant à l'énergie légère manifeste par laquelle nous voyons de l'les ampoules incandescentes ; flux-énergie électromagnétique pour ioniser des gaz à l'intérieur d'un tube fluorescent exposé à un de ligne de courant électrique ; absorption d'énergie de photon pour activer un dispositif de laser par l'utilisation d'une lumière de stroboscope ; effort chimique pour causer la combustion en réarrangeant les structures moléculaires ; transmission légère de réorientation et se dédoublante par les structures prismatiques optiques, et l'absorption atomique et le re-rayonnement de l'énergie acoustique pour l'amplification de caisse de résonance. Dans la référence à la technologie de WFC des inventions, « l'effort électrique » propagé par « vis-à-vis de la polarité de tension » ser d'une « nouvelle » manière de causer la « oscillation de particules » comme « générateur d'énergie »... menant « à la naissance de la nouvelle technologie »... comme, « l'objectif thermique optique Easer » » appelé « ... branchant sur « l'énergie universelle » par l'intermédiaire du « chatouillement de tension de l'espace d'état » dans des conditions résonnantes.

Propagation de l'effort électrique

Comme dans la référence au rapport de validation de brevet de WFC daté du 14 janvier 1983 selon mode de WFC TestResults le «de l'Operability » d'employer le «potentiel de tension » « dissocie la molécule d'eau » par « le processus électrique de polarisation » (160) de figure (3-26) comme ainsi indiqué en vertu du droit des brevets des États-Unis (35 USC 101) démontrez l'operability, la fréquence appliquée d'Impulsion-Tension est ajusté sur accorder-dans sur les propriétés diélectriques de l'eau par l'utilisation du circuit empêchant de WFC « ampère » (970) de la figure (101), comme encore illustré dans Technologie-Bref de WFC intitulé «la naissance des notes de brevet des États-Unis de nouvelle technologie »... 420 - 428, y compris le « Tableau de la tabulation » (annexe A) quant « au glossaire de l'application note » (annexe B).

Le circuit empêchant d'ampère (970) de figure (10-1) quant à (690) de figure (7-8) se compose de blessure de cuivre de « Bifilar » de deux fils (enveloppée) au sujet d'un noyau d'induction magnétique pour permettre la restriction d'ampère (fuite courante réduisante au minimum) tandis que « potentiel de tension » encourageant (la Virginie xxx V n) à travers la molécule d'eau d'exécuter WFC « processus électrique de polarisation », comme ainsi illustré dans figure (7-1) circuit intitulé de la note de WFC (426) VIC Matrix. « La bobine de remplissage résonnante » activée (56). de figure (7-1) quant à figure (10-1) par les tension-impulsions d'entrée (49a xxx 49n) crée un champ électromagnétique d'accouplement (Rp1) de figure (7-8) dû à son self-inductance (640) de figure croix de 73B) plus d'et passages par la bobine de remplissage résonnante reliée électriquement rectifiée (62), comme ainsi illustré dans figure (10-1)... causant la restriction d'écoulement d'ampère pendant chaque palpiter-cycle depuis des

électrons exhibent la caractéristique électromagnétique... formant « les champs mutuels d'inductance » (RP 1/Rp2) une fois que l'enroulement secondaire (62) active électromagnétiquement par l'enroulement primaire (56) et le vice

versa... de ce fait, empêchant l'ampère « dans-jaillissant » (arc de découragement d'électron plus de) à travers l'espace diélectrique de condensateur (HEU) (66/67) tandis qu'effort électrique (ST-ST - RU-RU') de la polarité opposée de tension (B+/b) apporte sur l'étape d'amorçage d'énergie (520) de figure (5-3) qui est se rapportent, ci-dessus, comme le « chatouillement de tension de l'espace d'état. »

Figure empêchante résultante de circuit d'ampère (10-1) quant à la figure (A 10-3/B) permet plus loin à la restriction d'ampère (fuite courante réduisante au minimum) d'être continuée même si la « amplitude de tension » appliquée est augmentée. La taille de longueur et de diamètre de la spirale de cuivre-fil a enveloppé l'enroulement (56/62) de figure (10-1) étant appareillée ensemble et électriquement activé en même temps que l'Impulsion-Fréquence appliquée de tension détermine combien la « fuite d'ampère » se produira à travers l'espace de condensateur (CP) tandis que la « tension PulsePotential » (navigation verticale de la Virginie xxx/49a xxx 49n) de « vis-à-vis de la polarité » (B+/b) est permise d'être appliquée à travers « la tension électrique plaque » (Tension-Zones) (66/67). Pour réduire la fuite d'ampère encore plus, le fil de cuivre des bobines de remplissage résonnantes (56/62) peut être remplacé avec un fil en acier inoxydable par magnétisme ^{-ductive} (430F/franc) ayant une valeur résistive (ohms) à l'écoulement des électrons tout en prenant la capacité et l'inductance caractéristiques d'un fil d'enroulement. VIC le Lover-Ensemble d'enveloppe de Bifilar (10-3B) et VIC l'Envelopper-Ensemble duel d'enroulement (10-3A) tous les deux utilisent l'une ou l'autre configurations de noyau d'inductance de « E » et de « I » et de « U » pour concentrer les champs mutuels d'inductance (RP I/Rp2) afin d'optimiser le processus empêchant d'ampère (750) de figure (7-14). La forme de noyau de « I » de « E » (10-3B) est la plus préférable puisque la montée subite de transitoire d'ampère est réduisent au minimum pendant des opérations de palpitation répétées.

Au delà de ampère limitant caractéristique de dit ampère empêchant circuit (970) de figure (10-1) quant à tension renforçateur circuit (60) de figure (3-22), spirale-enveloppé enroulement (le remplissage résonnant obstrue 56/62) étant appareillé ensemble, aussi, cause niveau de tension perfectionnement au delà de appliqué tension entré puisque « a distribué capacité » (C1a xxx C1n - C2) de xxx C2 n/« l'inductance distribuée » (FL1a xxx FL1n - FL2a xxx FL2n) de lesdits enroulements enveloppés « bifilar » (le schéma 7-3) quant à (990) de figure (10-3) encourage l'effet composant (de champ magnétique-force croissante pendant chaque cycle de palpitation) de la champ-force électromagnétique (RP 1 un xxx RP 1 n - Rp2a xxx Rp2n) (induction mutuelle) quand fréquence appliquée d'Impulsion-Tension (49a xxx 49n) de figure (334) passages par la bobine de remplissage résonnante activée positive (56). En outre, les lover-fils appareillés vis-à-vis du potentiel de tension [force électrique positive d'attraction (B+) - force électrique négative d'attraction (b)] [ci-après appelé Electrical Stress (solides solubles - RR') quant à (160) de figure (3-26)] soyez toujours égal dans la grandeur électrique/intensité puisque le wirelength de chaque enroulement sont identique. Le taux de répétition d'Impulsion-Tension établit figure de

remplissage survoltrice d'effet (1-3) puisque «la cavité résonnante » (CP) fonctionne comme « condensateur » (HEU) dû à la valeur diélectrique du liquide (ou des gaz) qui devient une pièce intégrale du circuit VIC, comme ainsi illustré dedans (650) de figure (7-4).

RE : Note thermique optique WFC 429 de la note WFC 429 d'objectif

le perfectionnement résultant de tension (amplitude de tension) peut excéder 40 kilovolts pour convertir immédiatement l'eau (gouttelettes) en énergie explosive thermique (gtnt) sur demande, comme ainsi illustré dans le schéma de circuit de renforteur de tension (970) de figure (10-1). Le blocage de la diode (52) de figure (4-9) quant à figure (1-1) permet unipolaire impulsion-ondulent pour aller plus positif sur chaque impulsion-cycle puisque la diode de blocage (52) empêche la cavité résonnante (CP) de décharger pendant l'impulsion en prolongation, comme ainsi illustré dans figure (1-4) quant (60) derrière figure (3-22)... permettant « l'effort électrique » développé (RU/RU - la rue/ST') de figure (5-1/5-2) à travers l'espace de condensateur (CP) à aller au point le plus lointain au delà du « état d'équilibre »... voient l'équilibre d'énergie atomique de l'eau (note 424 de WFC), de nouveau. L'impulsion-fréquence programmable (49a xxx 49n) de figure (10-1) entrée est simplement ajustée sur accorder-dans sur la propriété diélectrique de la molécule d'eau. L'effet de remplissage électrique dynamique résultant (612) de figure (8-1) agit en tant que renforteur progressif d'énergie (étape d'amorçage d'énergie) (500) de figure (5-1) quand l'espace statique d'état (790) de (8-3) est configuré à l'espace dynamique d'état (800) de figure (8-4), comme ainsi illustré dans guide d'ondes de tension » intitulé de la note de WFC le « (427)... par lequel, les guides d'ondes de tension forme l'espace de l'eau (CP).

Tension au rapport de différentiel d'ampère

On laisse l'éclat opposé de vague de tension de polarité (1010) de figure (10-5) quant à la stimulation dynamique de tension (770B) de figure (8-1) est simplement quand le Pulse-Width variable programmable Impulsion-Formant la forme d'onde produite (49a xxx 49n) être électriquement transmis à travers et là-bas

Le remplissage résonnant obstrue les étapes (56/62a xx 56/62n + SS56/62a xxx SS56/62n) de la figure (10)

4) qui non seulement sont électriquement reliés dans l'ordre séquentiel mais de même par magnétisme liés par le champ d'Inductance Coupling (511/512a xxx 511/512n), comme tellement pictorially illustré dedans (580) de figure (6-1). La palpitation toujours croissante résultante vis-à-vis des champs électriques de tension (603/604a xxx 603/604n) de figure (8-1) ayant superposé là-dessus le compteur s'opposant ondulant VoltageSurfaces (64/B+a xxx 64/B-n) [effet Electrica1 de remplissage dynamique (612) de figure (8-1b)], maintenant, réglé se lève, des causes, et applique (effet d'étirement) la palpitation toujours croissante vis-à-vis de l'effort électrique (RU-RU - rue-ST') à travers oscillation de particules » encourageante d'espace de l'eau la « (CP)... comme A. « générateur d'énergie » par « l'effort électrique » de palpitation pendant que les particules combustibles d'atome de gaz de la molécule d'eau subissent « débattement de particules » le plus loin du point « état d'équilibre » et de renvoi de nouveau « état stable derrière la pendant-impulsion d'équilibre » en prolongation (T2) pour « l'action se cassante » répétée (effet d'étirement) selon l'effet de ondulation de tension polaire bi- (1010) de figure (10-5), comme ainsi illustré dedans (280) de la figure (3-35). Plus l'effort électrique

(RU-RU xxx une rue - ST'n est grand) s'appliquait (64B+/64B-a xxx 64B+/64B-), plus grande la quantité d'énergie explosive thermique (16/gtnta xxx 16/gtntn) de figure (6-2) quant à (70) de la figure

RE : Note thermique optique WFC 429 d'objectif

(4-5) est libéré de l'espace résonnant de l'eau (CP) (970) de figure (10-1), comme encore illustré dedans (70) de figure (4-5). L'augmentation énergie-rapportent (16/gtnt) encore plus (xxx 16/gtntnl+ 16/gtntn2 + 16/gtntn... etc.) est accomplie en augmentant le nombre d'étapes de remplissage résonnantes de bobine (xxx 56/62n + 56/62n 1+ 56/62n2 + 56/62n... etc. - s xxx SS56/62n + SS56/62nl + SS56/62n2 + SS56/62n... etc.) de figure (10-4) dans « l'ordre séquentiel » (- s) puisque tout le nombre de Multi-Lovent l'aimant les enroulements que bifilar (56/62a xxx 56/62n) en série électriquement reliés ensemble séquentiellement sont électriquement liés à un nombre égal de en série enroulements résonnants en acier inoxydable électriquement alignés (solides solubles/56/62a xxx solides solubles/56/62n)... permettant eachlboth au jeu de bobine bifilar (56/62a xxx 56/62n - SSS56/62a xxx SS56/62n) activer électriquement et par magnétisme dans la même direction progressive vers l'espace de l'eau (CP) et loin de bloquer la diode (55) de figure (3-34) quant à figure (10-1) et de figure (10-3) ' » gardant l'ampère-montée subite (écoulement empêchant d'ampère) à un niveau minimal [voir le graphique d'exécution de tension (750) de figure (7-14)] tout en augmentant le potentiel de tension de l'effort électrique (64/RU-RU'a xxx 64/Rue-ST'n) pendant que les enroulements duels additionnels de bobine (56/62 _ SS56/62) sont inclus dans empilé lover-rangez former le circuit de renforçateur de tension (970) de figure (10-1) quant à (620) de figure (7-1)... voient la forme d'onde dynamique de tension (770) de figure (8-1), de nouveau.

Dans la rétrospection, l'utilisation du lover-fil composé en acier inoxydable (430FIFR) se compose de l'inductance et des propriétés résistives (en général .0048 ohm par pied) qui une fois combinée ensemble en forme métallurgique facilite la restriction d'ampère au delà singulièrement du lover-fil (de cuivre) d'aimant d'ot~elf-inductance d'utilisation ayant une valeur résistive plus basse. Le montage en acier inoxydable de Lover-Étape de bifil~ (SS56/62a xxx SS56/62n) est électriquement placé entre l'Assemblée de Lover-Étape d'aimant (56/62a xxx 56/62n) et l'eau

Lacune (CP) pour obtenir la tension optima au rapport différentiel d'ampère ($V_{highest}$: Rapport $d'_{A_{lowest}}$). Ensemble, enroulement

Les étapes (56/62a xxx 56/62n + SS56/62a xxx SS56/62) supplémentaires/empilées séquentiellement dans un global simple lover-rangent l'ensemble (990A/B) de la figure (10-3) réseaux empêchants d'ampère de formes (figure 8XA) quant à (970) de figure (10-1) (ci-après appelé VIC Multi-Lovez l'Assemblée de bobine).

Le Lover-Fil d'aimant (56/62) est plus adapté pour l'incitation de tension tandis que les propriétés d'inductance/capacité/résistance du lover-fil en acier inoxydable (SS56-SS62) est convenablement employées pour limiter le mouvement d'électron au delà du self-inductance de chaque enroulement activé quand des niveaux de tension élevés (jusqu'à au delà de 40

kilovolts) doivent être atteinte/obtenue sans éprouver n'importe quelle quantité appréciable de « ampère Influxing. » Généralement, la longueur de lover-fil d'aimant est plus longue que la longueur et l'aimant en acier inoxydable de lover-fil bifilar-lovent (56/62) est placée sur en acier inoxydable bifilar-lovent (SS56/62) pour maximiser le lover-champ mutuel d'inductance (Rp2) (ajoutant Rp1

RE : Note thermique optique WFC 429 d'objectif

+Rp2) de (690) de figure (7-8) pour causer la capacité d'enroulement (Cda xxx Cdn) à l'aide maintiennent et augmentent même l'amplitude de tension d'impulsion (xxx navigation verticale + navigation verticale $v_1 + Vn2 +$ navigation verticale etc.) tandis que la valeur résistive (Rs2) du Lover-Fil de solides solubles (SS56/62) effectue le travail de résister plus loin à l'écoulement des ampères non empêchés par les deux champs de self-Inductance (Rpl + Rp2), comme ainsi illustré dedans (690) de figure (7-8). Dans tous les cas, les enroulements bifilar (56/62 - SS56/62) sont électromagnétiquement orientés dans la même direction.

En termes d'operability, électriquement le fléchissement (oscillation de particules) des atomes combustibles de la molécule d'eau comme « générateur d'énergie » par la polarité opposée de tension est extrêmement économique puisque la tension n'est pas consommée dans un circuit électronique. Le circuit empêchant d'ampère (970) de figure (10-1) limite/empêche l'écoulement d'ampère à un niveau minimal tout en élevant la « différence du potentiel » au niveau plus élevé possible. Plus la « différence du potentiel » (dans ce cas-ci est grande, effort électrique) plus grande la quantité de travail est exécutée de ce fait..., étant conformément aux lois de la physique puisque les atomes sont la source de toute l'énergie en notre univers physique et les atomes sont directement à sensible/stimulé par les forces électriques externes.

Objectif thermique optique

Quand la matière de calme (état tranquille) est stimulée dans un état passionnant (état actif) par « l'effort électrique », une nouvelle forme de dégagement de thermique-énergie (Ers) est possible au delà de l'étape de combustion de gaz (gtnt) par l'utilisation de l'objectif thermique optique de WFC ; comme ainsi illustré dedans (980) de figure (10-2). Le chapeau de l'eau (CP) est maintenant transformé en cavité de vide (Vc) où seulement des atomes d'hydrogène dans un milieu liquide est exposés à la tension répartit en zones (HEU)... former l'espace de condensateur (cv) depuis le milieu de gaz, le \sim_{so} , les objets exposés une valeur diélectrique et l'ampère dans-jaillissant (interdisant la fuite d'ampère dans et loin de cv de CapacitorVacuum-Espace) est tenu sur un minimum dû au bifilar enveloppé résonnant-love (56/62). L'étape de pompage d'énergie (520) de figure (5-3) quant à (500) de figure (5-1) atténue l'ouverture d'énergie d'hydrogène (7) de (550) de figure (5-8) si appliqué vis-à-vis de potentiel de tension (navigation verticale de la Virginie xxx) (49a xxx 49n) (B+/b) produit la forme d'onde électrique de palpitation d'effort (vis-à-vis de force électrique d'attraction) (RU/RU - rue/ST'a xxx RU/rue de RU/ST'n) pendant les opérations de palpitation. Le rayonnement émis stimulé d'énergie (Ers) des atomes d'hydrogène sont maintenant amplifiés (comprimé ensemble) quand des ondelettes émises discrètes de rayonnement d'énergie (Ersa xxx Ersn) de chaque atome d'hydrogène sont reflétées dans les deux sens entre les plaques d'extrémité réfléchissantes (915/916) avant de sortir par la plaque d'extrémité partiellement transparente (916)... émettant l'énergie logique Ondulent-Fonn (917), comme ainsi illustré dedans (980) de figure (10-2). La chambre à vide (cv) contenant les atomes de gaz d'hydrogène se compose de matériel de quartz à hautes

températures (918) tandis que les zones de tension (HEU) devient les guides d'ondes de tension (770) de figure (8-1) par l'utilisation du matériel en acier inoxydable chimiquement inerte T304... formant la conductibilité électrique

RE : Note thermique optique WFC 429 d'objectif

Les zones (effet de peau) (587)... permettant la tension unipolaire Impulsion-ondule (583/602axxx 583/602n) de la figure (8-1A) pour voyager la longueur linéaire du guide d'ondes de tension. L'effet de remplissage électrique statique (-) (585) est placé vers le haut de quand la forme d'onde électrique appliquée d'effort (R D/R D - la rue/ST') est simultanément appliquée des côtés opposés des atomes d'hydrogène... propageant la « oscillation de particules » comme « générateur d'énergie » dans un vide plutôt que par interaction chimique (effort chimique) de la combustion de gaz (gtnt).

Configuration de tube de quartz et paramètres opérationnels

Exposer les atomes d'hydrogène à la stimulation statique appliquée de tension (770) de figure (8-1) cause l'effet de remplissage électrique statique (585) à ensemble vers le haut « de tension chatouillement actif de l'espace d'état » qui prend l'atome d'hydrogène (s) « de l'état tranquille » (Qs) « d'à l'état » (comme) et en arrière encore « à l'état tranquille (Qs) puis a par b passé appliqué unipolaire impulsion-ondulent (583/602) passe par le cycle de palpitation de tension (Vpwf) « de l'état fondamental » (Gs) au potentiel de crête de tension (Vpp) (780) de la figure (8-2A) et puis revient « à l'état fondamental » (les Gs) pour la Tension-Palpitation réitérée continue (583/602a xxx 583/602n)... formant la fréquence de vague d'impulsion (Pwf), comme ainsi illustré dedans (780) de figure (8-2) quant à (770) de figure (8-1).

La Fléchir-Densité résultante (FD) de l'atome d'hydrogène (s), maintenant, est directement liée à l'amplitude appliquée de tension (64a - 64b - 64c - 64n) de la figure (8-2A) qui détermine directement la force de champ (Fs) de l'effet de remplissage électrique statique (Sece) (585). Le champ d'impulsion de tension (Vpf) (formant les rebords principaux et arrière de chaque impulsion de tension) détermine la durée de l'effet de remplissage électrique statique (Sece) étant superposé sur l'atome d'hydrogène (s) pendant chaque cycle d'impulsion de tension (Vpwf). La zone de conduction électrique (587) (effet de peau) entre le milieu diélectrique de gaz (919) et la surface de contact électrique de la superficie intérieure des guides d'ondes de tension (66/67) permet au train d'impulsion unipolaire (583a/602a-583b/602b - 583n/602n) de voyager la longueur entière des guides de vague de tension qui composent des zones de tension (66/E9 – 67/E10). La stimulation statique de tension (770) de la figure (8-1A) est où les restes maximaux de potentiel de tension (Vpp) constants pendant la formation d'impulsion de tension (VpbNpa) continuer à reformer la Fléchir-Densité potentiel (Fdpa xxx Fdpn) d'aller au delà d'un certain point loin de l'état statique d'équilibre (Esse) [état tranquille de l'atome d'hydrogène (s)] ; par lequel, la stimulation dynamique de tension (770) de la figure (8-1b) continue à aller plus loin et plus loin loin de l'état d'équilibre

(Esse) pendant chaque cycle de palpitation de tension (V_{pf}), comme ainsi illustré dedans (770) de la figure (8-1b)... établissant l'effet de remplissage électrique dynamique variable (612).

RE : Note thermique optique WFC 429 d'objectif

Dans les deux cas, la stimulation statique de tension (770) de la figure (8-1A) et la stimulation dynamique de tension (770) de la figure (8-1b) incorpore l'utilisation du potentiel électrique positif de tension (B+) (E11) et du potentiel électrique négatif de tension (b) (E12) à la Porte-Impulsion diamétralement opposée de ce fait de tension synchronisée par forme (Vgp) (583/602) à travers l'espace de vide (V c)... , établissant des paramètres fonctionnels de l'objectif thermique optique (980) de figure (10-2) quand le circuit de renforceur de tension (VIC circuit) (10-1) est électriquement relié aux zones de tension (HEU) (66/E11-67/E12). Rappelez-vous, Porte-Impulsion de VoltageSync (Vgp) produit vis-à-vis des forces électriques d'attraction (B+/rue - ST - b/R U - U') de R de figure (5-1) qui ne sont pas consommées dans un circuit électronique.

Une technique appelée « Easer »

L'étape d'amorçage d'énergie (500) de figure (5-1) est maintenant activée et exécutée quand l'atome d'hydrogène (s) est exposé à l'impulsion de porte Tension-Synchro appliquée (généraliste de V) par laquelle les forces électriques d'attraction de tension (effort électrique) (RU-RU - rue-ST') fait émettre la « oscillation de particules » de l'atome d'hydrogène (s) l'énergie radiante (Ers) (919), comme ainsi est illustrée dedans (980) de figure (10-2) quant à (500) de figure (5-1). L'impulsion de tension positive unipolaire appliquée (B+) (rue - le ST') attire électriquement l'électron chargé négatif d'atome ; tandis que, simultanément, impulsion de tension négative unipolaire appliquée (b) (RU-RU') attire électriquement la force chargée positive de proton λ , (3) qui forme le noyau de l'atome d'hydrogène... faisant prolonger l'atome d'hydrogène sous l'effort électrique atomique (Aes) ("AA'-ZZ')... par lequel, d'attraction atomicelectrica1 (4) qui existe entre l'électron chargé négatif orbital braqué (1) et le proton chargé positif pivotal (3) soit atténué ("4a xxx "4n- "5axxx. "5n)... qui, aux tours, atténuent la tourner-vitesse « du régulateur gyroscopique » du noyau d'hydrogène pour faire émettre l'ouverture d'énergie (7)/transmettent plus ou une plus grande quantité d'énergie universelle (9) dans, par, et au delà du spectre d'énergies de l'atome d'hydrogène pour la « propagation d'énergie » (des atomes étant un « générateur d'énergie » en notre univers physique) par la « oscillation de particules » de l'atome d'hydrogène (ou de tout autre atome), comme ainsi illustré dedans (570) de figure (5-10) quant à (550) de figure (5-8).

Le potentiel maximal de tension [faisant une pointe-dehors l'effort électrique (xxx Aes) puisque vis-à-vis de la tension le potentiel crée/détermine la champ-force électrique/établit les forces électriques d'attraction entre les particules chargées électriques dans le rapport de l'espace dans un circuit électronique] (Vpp) détermine non seulement sur à quelle distance l'électron orbital braqué éloignera du proton pivotal pendant « l'état actif » mais, également, est directement lié à la Fléchir-Densité (FD) de la Fléchir-Densité d'atome d'hydrogène... (FD) étant la mesure d'intensité énergétique (ondelettes d'énergie) émise/libérée de l'oscillant

atome d'hydrogène (subissant l'oscillation de particules) dans le rapport proportionnel avec la force de champ/intensité de la soumettre à une contrainte-force électrique externe (est) superposée sur le champ électrique la force (AA - ZZ') de figure (5-3) de l'atome d'hydrogène dans « l'État-Espace tranquille » (Qss)... qui, aux tours, fait prolonger l'ouverture d'énergie (7) de l'atome d'hydrogène (agrandit) pour émettre une quantité discrète d'énergie universelle (Ue) (9) dans le spectre d'énergies de l'atome d'hydrogène pendant chaque cycle Tension-Synchro de palpitation appliqué (Vgpa xxx Vgpn).

Aller du l'État-Espace « actif » « du l'État-Espace tranquille » (Qss) (âne) et le renvoi « au l'État-Espace tranquille » (Qss) de nouveau pour le « changement d'état » réitéré au delà du « état d'état » de l'équilibre (Esse) dans donné/ont prédéterminé l'unité du temps (temps de d), ci-dessus, s'appelle le « chatouillement de tension de l'espace d'état. » Plus la force électrique d'effort (xxxEsfn est grande) par (-) Porte-Impulsion de tension (gpn du FSE V du gpa xxx du FSE V) s'appliquait, plus grande la quantité de Fléchir-Densité (xxx Fdn) de l'énergie radiante électromagnétique (917 un xxx 917) de figure (10-2) par cm³ se produit.

Une fois que l'atome d'hydrogène « absorbe » une quantité suffisante d'énergie universelle (Ue) (9a-9b-9c9n) dans le spectre d'énergies d'atome, defecté l'électron (15) qui ont le ~ à un état d'énergie plus élevée (état activé) (K à L orbite ou là-bas) sautent soudainement de nouveau à lui l'état inférieur original d'énergie (état tranquille) (de nouveau à l'orbite de K) quand la fréquence d'impulsion d'entrée (49) termine l'impulsion Tension-Synchro (Vsp) pendant l'impulsion appliquée en prolongation (T2) de figure (7-8)... causant l'émission spontanée de l'énergie logique (919) de figure (10-2) d'être émise de la plaque d'extrémité partiellement transparente (916) tant que positif l'impulsion « période active » (TI) de figure (7-8) continue. La Radiant-Intensité (Rei) de l'onduler-énergie thecoherent (919) étant libérée du tube de quartz (918) est, autre, augmenté quand on permet des énergie-ondelettes émises (Ers) dégagées par l'atome activé d'hydrogène oscille (mouvement de va-et-vient) à une « différence toujours croissante de potentiel » entre les plaques d'extrémité (915/916).

Ensemble mais sous les formes variables séparées, le potentiel appliqué de crête de tension (Vpp), l'impulsion de tension faisant un cycle (49a xxx 49n), et la tension opposée potentielle (Vgpa xxx Vgp) formant la Synchro-Impulsion de tension (49-Vpp-Vgpa xxx 49-Vpp-Vgpn) détermine l'intensité énergétique (Eie) du logique-faisceau (919). L'objectif se

focalisant (921) est simplement utilisé pour réorienter la Radiant-Énergie (917) à un diffuseur de la chaleur (923) capable de convertir la Radiant-Énergie (917) en énergie calorifique pour l'utilisation industrielle. Spontanément stimulée l'émission du rayonnement électromagnétique de l'atome d'hydrogène (ou d'autres atomes) par « l'effort électrique », ci-après, s'appelle « Easer. »

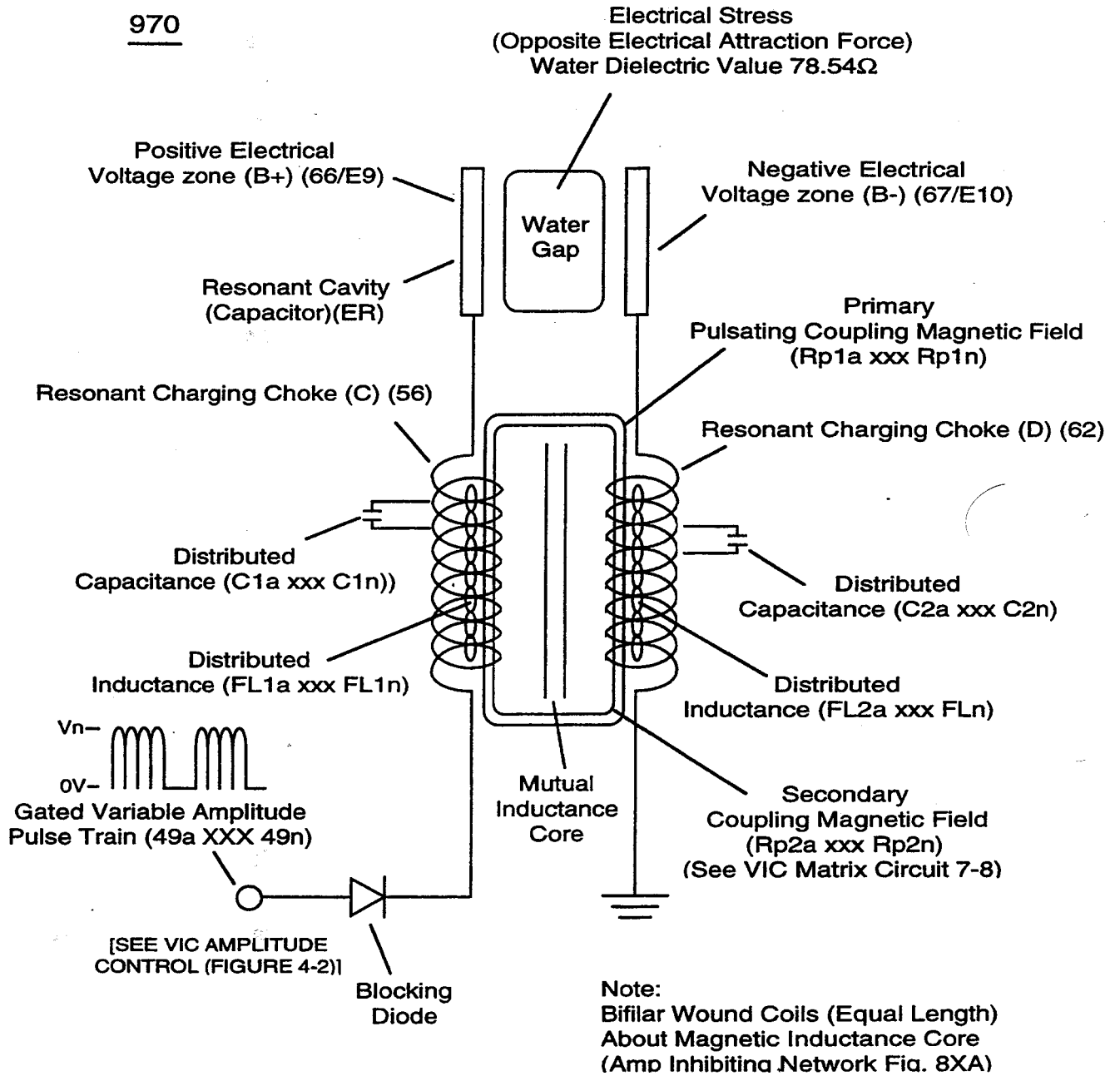
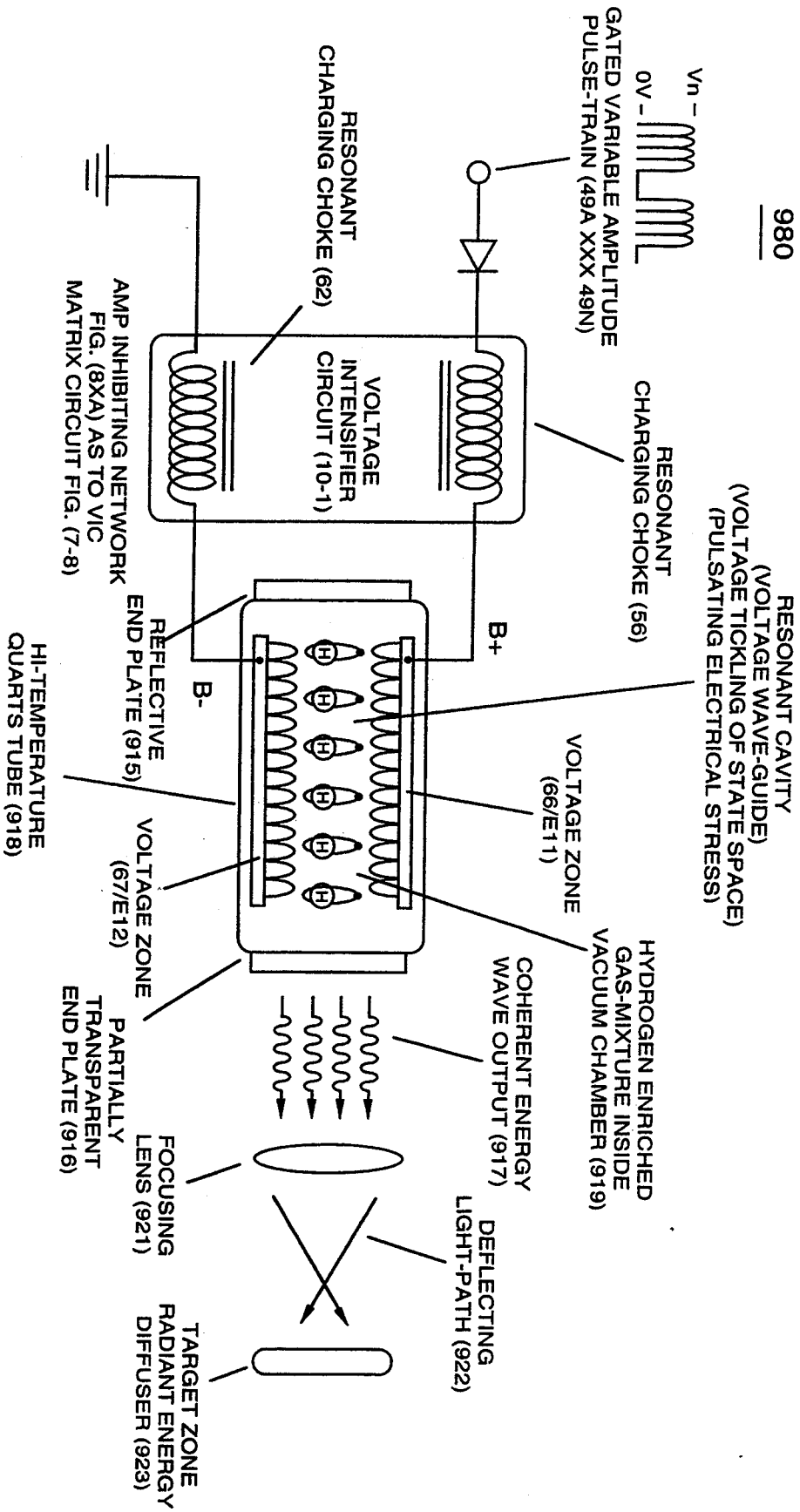


FIGURE 10-1: VOLTAGE INTENSIFIER CIRCUIT

RE : Note thermique optique WFC 429 d'objectif



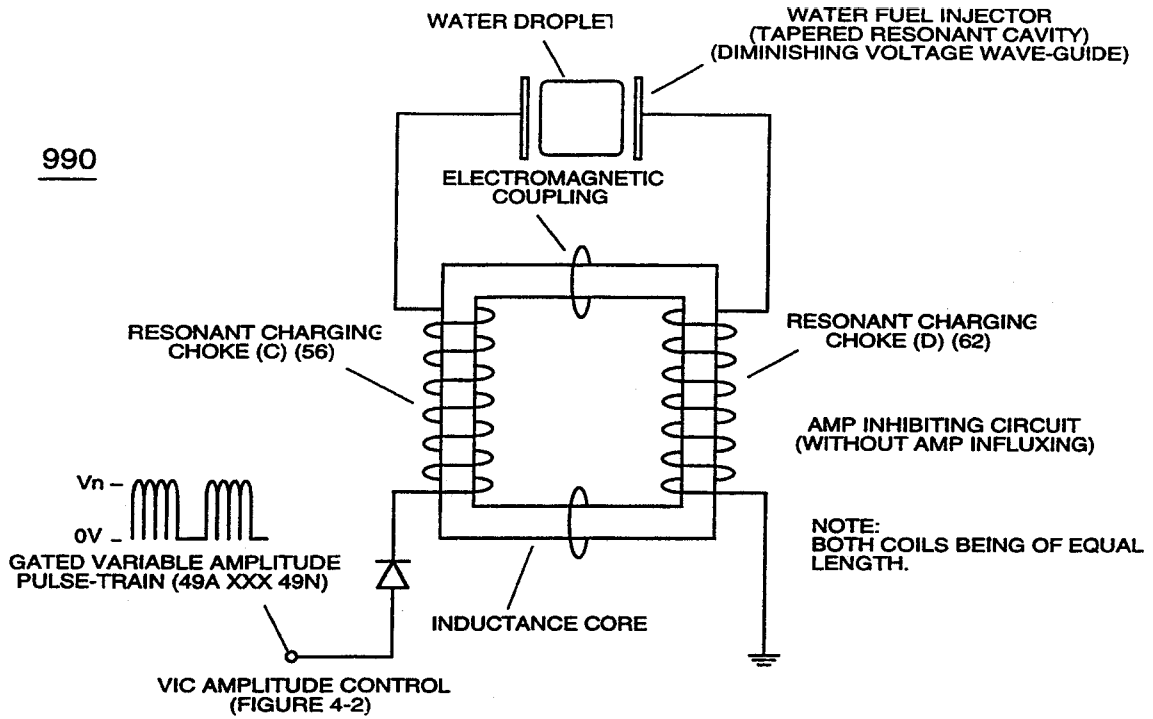


FIGURE 10-3A:VIC DUAL SINGLE-COIL ASS'Y

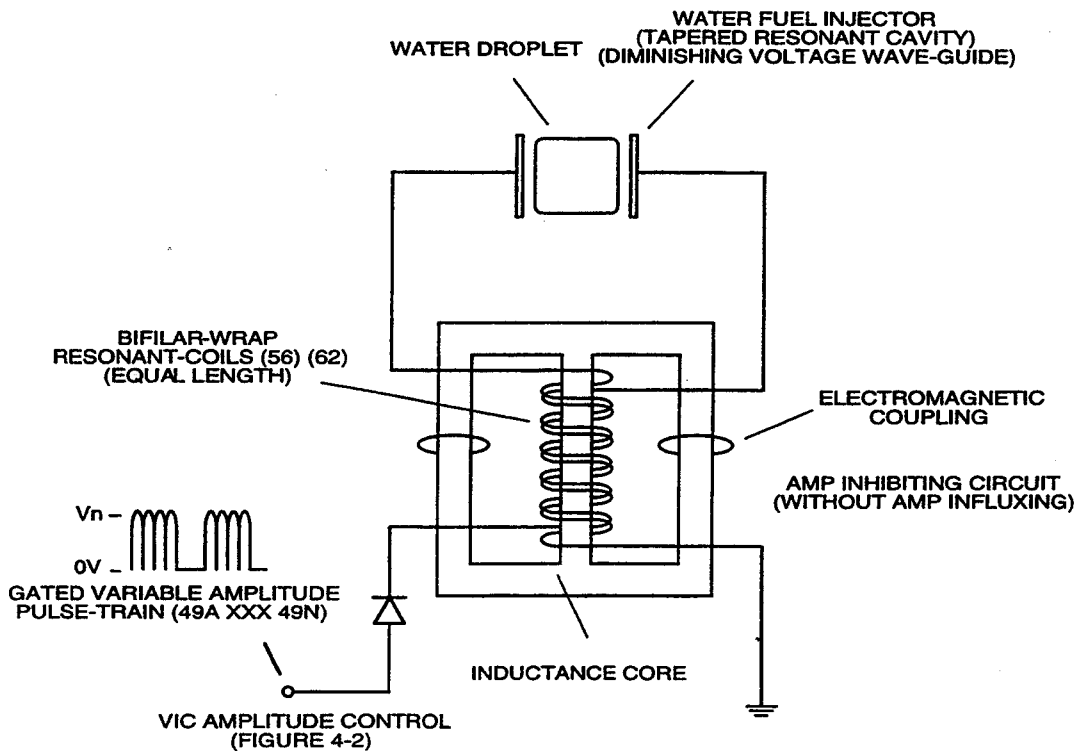


FIGURE 10-3B:VIC BIFILAR-WRAP ASS'Y

FIGURE 10-3: VIC COIL-WRAP CONFIGURATION

Stanley A. Meyer 10-11

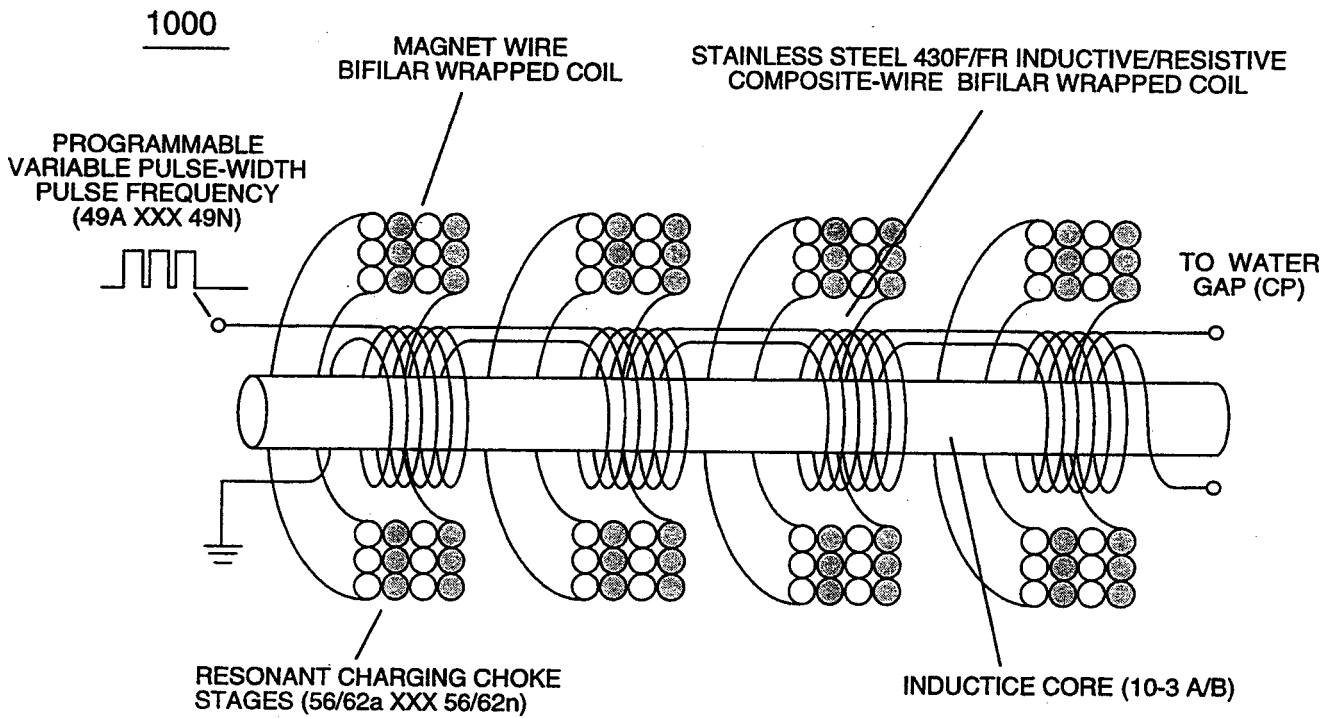


FIGURE 10-4: DUAL-LAYERED MULTI - SPOOL CONFIGURATION

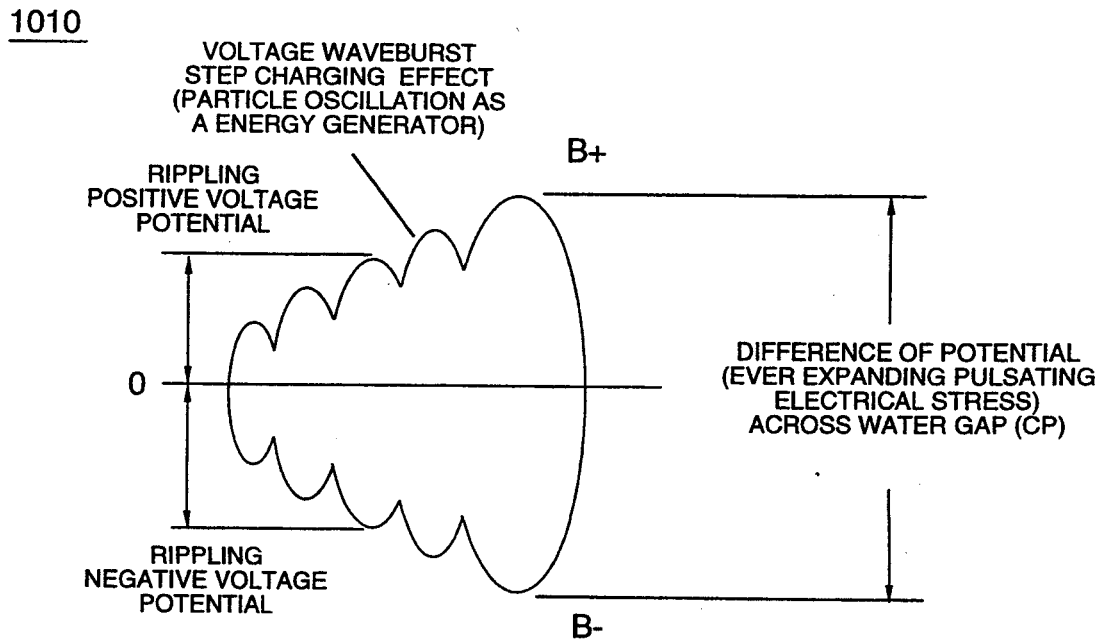


FIGURE 10-5: OPPOSITE VOLTAGE CHARGING EFFECT

Note WFC 430

Résonateur de vapeur de WFC

Oscillation de particules comme générateur d'énergie

Le fléchissement de l'atome comme générateur d'énergie est aussi fondamental que la science elle-même... pour sans l'atome ayant les possibilités pour libérer l'énergie que notre univers pas existe pendant que nous le savons.

Des atomes peuvent « être fléchis » de beaucoup de différentes manières

pour libérer certain/donné type d'énergie. L'effort physique étant soumis à et subissant l'effort électrique est de loin la manière la plus dynamique de faire aller l'atome le plus loin de le point d'état d'équilibre sans affaiblissement atomique.

L'effort électrique apporté dessus par polarité opposée de tension dans un circuit électronique est extrêmement économique depuis les champs appliqués de tension propageant vis-à-vis des forces électriques d'attraction entre la molécule d'eau bipolaire et les champs stationnaires de tension ne sont pas consommés dans un circuit électronique quand l'ampère influxing est interdit.

Le processus de fléchissement de tension pour guider la molécule d'eau sous l'effort physique et électrique pour émettre l'énergie calorifique thermique de l'atome (s) de l'eau

la molécule sous l'état de commande, est, maintenant, être présenté par l'utilisation de la technologie de résonateur de vapeur de WFC qui incorpore l'utilisation du circuit de changement de renforceur de tension (VIC) de causer la « oscillation de particules » comme « générateur d'énergie : »

RE : Oscillation de particules de résonateur d'équipe de la note WFC 430 S de résonateur de vapeur comme générateur d'énergie

Toute l'énergie en notre univers physique (la troisième dimension) vient d'une source singulière... l'atome. Il y a quatre forces de base qui composent et effectuent la structure atomique : force électrique, force électromagnétique, forces nucléaires faibles et fortes, et pesanteur. Par l'un ou l'autre qui atténue l'un ou l'autre un ou plusieurs de ces forces atomiques, énergie peut être dégagement de l'atome pour effectuer le travail par une multitude de moyens : comme, émettant le photon, électromagnétique, ou même l'énergie calorifique radiante ; Exposant l'atome de molécule d'eau (s) à une force électrique externe d'attraction (« de solides solubles/rr ») séparément ou combinant la force électrique externe d'attraction avec une force répulsive électrique externe (le WW') de RR' - du TT'/des solides solubles peut faire libérer l'atome chargé électrique bipolaire de molécule d'eau (s) l'énergie calorifique thermique quand l'impact physique (force physique) est réalisé en raison de la particule (s) se heurtant ensemble sous l'effort électrique qui devient et est le moteur physique... faisant osciller le rebond d'électron l'ouverture d'énergie de chaque atome de la molécule d'eau.

Processus de fléchissement de tension

L'oscillation de particules comme « générateur d'énergie » par « l'impact physique » provoqué par une polarité alternée unipolaire singulière de forme d'onde d'impulsion de tension déclenchée est encore une autre méthode

au delà de l'art antérieur pour fléchir la molécule d'eau pour libérer l'énergie thermique (énergie cinétique) de l'atome de molécule d'eau (s) sans besoin de la combustion de gaz a provoqué par séparation de gaz

de l'eau, comme ainsi illustré dedans (1050) de figure (11-5).

Afin d'accomplir cette tâche, le circuit unipolaire duel d'impulsion de tension (1010) de figure (11-1) est maintenant utilisé pour braquer (mouvement physique) la molécule d'eau électriquement chargée bipolaire

(210) de figure (3-46) tout en subissant et éprouvant l'effort physique et électrique, simultanément... entraînant le fléchissement atomique de l'ouverture d'énergie d'atome de molécule d'eau (s) (7) de Figure (5-1) ce qui, aux tours, libère l'énergie calorifique thermique radiante (165) de la structure d'atome (s), comme encore illustré dedans (450) de figure (3-46).

Comme externe appliqué vis-à-vis des forces électriques d'attraction (S-S') et/ou (R-R') comme ainsi montré dedans

(1030) de la figure (11-3) capture et ferme à clef électriquement sur l'atome d'oxygène chargé négatif ou sur l'atome chargé positif d'hydrogène (s)... celui qui le cas peut être, l'appliqué les champs stationnaires de tension (952/E13 – 953/E14) ou (954/E15 – 956/E16) alternativement

excédent de commutateur superpose périodiquement les forces électriques d'effort (solides solubles et $R - R'$) sur le spectre d'énergies du
atome de molécule d'eau (s) (210) tandis que l'examen médical fléchissant (951) de figure (11-5) de
l'atome de molécule d'eau (s) se produit... perturbant la tourner-vitesse de

RE : Note WFC 430 de résonateur de vapeur

électrons orbitaux de l'atome de molécule d'eau (s) (s)... forçant des ouvertures d'énergie (7) de tous les deux à la différence des atomes de la molécule d'eau (500) de figure (5-1) et (510) de figure (5-2) à agrandir momentanément à une plus grande taille (oscillation de fléchissement de particules de particules... ci-après appelée), séparément mais simultanément... permettant à une plus grande quantité d'énergie d'entrer dans, de voyage à travers, et de passage au delà du spectre d'énergies de chaque atome stimulé (s), avec respect... émettant énergie additive/en surplus loin de l'atome passionnant (s) sous forme d'énergie calorifique thermique radiante (165) quand l'atome fléchi (s) (effort physique/électrique de subir) retourne à l'état stable de la forme d'onde électrique une fois appliquée atomique d'impulsion-tension d'équilibre (952 953) ou (954 - 956) est électriquement commutateur au loin et laissé s'effondrer en arrière vers l'état fondamental électrique de volts zéro (OV).

La formation réitérée des champs de tension d'impulsion (952a xxx 952n) - 953a xxx 953n) ou (954a xxx 954n- 956a xxx 956n) continue cet « effet thermique de transfert activé par tension » (1050) de figure (11-5) (ci-après appelé processus d'Atomic Flexing) pendant chaque période active de tension d'impulsion, comme ainsi illustré par la forme d'onde à déchenchements périodiques d'impulsion-tension (1020) de figure (11-2). Essentiellement, puis, le fléchissement continué d'un liquide ou atomes de gaz étant exposés à l'effort physique (954) par une force électrique externe d'attraction (le R') IR des solides solubles est, ci-dessus, une manière plus efficace d'induire et propager la « oscillation de particules » comme « générateur d'énergie » puisque le potentiel de tension de la polarité opposée pose un plus grand « différentiel de potentiel » au-dessus de l'art antérieur. (Voir la note WFC 429 intitulée « objectif thermique optique » quant à la note WFC 424 intitulée « équilibre d'énergie atomique de l'eau » pour d'autres références).

VIC circuit de changement

VIC le circuit de changement (1010) de figure (11-1) est utilisé pour provoquer le processus de fléchissement de tension (1050) en empêchant l'ampère influxing dans et loin (-) des zones séparées et périodiquement espacées de tension (E13-EI4 - E15-EI6) du diagramme (1030) de figure (11-3) quant à (1010) de figure (11-1) ; tandis que, en même temps, permettant le potentiel de tension des forces électriques opposées d'attraction (solides solubles/R-R') pour effectuer le travail en braquant la molécule d'eau chargée électrique bipolaire (210) dans une voie directionnelle donnée, en tant qu'ainsi dans d'accord/avec la loi de coulomb (Eq12) et de newton deuxièmes de force électrique (Eq13) dans circuit électrique/électronique.

Quand la forme d'onde à déchenchements périodiques programmable entrante d'impulsion-fréquence (T4A) de figure (11-2) active électriquement l'enroulement primaire d'entrée (957) de figure (11-3) pour produire le champ positif de tension (952) à travers la zone de tension (EI3), la molécule d'eau chargée électrique bipolaire ayant un atome d'oxygène chargé négatif est braquée et déplacée vers le plat positif stationnaire de tension (E13) dû à la force électrique opposée d'attraction (le S-S') qui existe entre les les deux opposé électriquement a chargé des entités. Considérant que, dedans comme

RE : Note WFC 430 de résonateur de vapeur

la façon et dans le même instant du temps, le champ négatif stationnaire de tension (958) attire et déplace des autres et la molécule d'eau bipolaire totalement séparée dans un mouvement linéaire puisque vis-à-vis de la force électrique d'attraction (le R-R') existe également entre le plat négatif stationnaire de tension charge (953) et, maintenant, l'atome chargé positif mobile d'hydrogène (s) étant électrovalentement lié à l'atome chargé négatif.

Le déplacement physique résultant (mouvement physique) des les deux molécule d'eau bipolaire séparée se déplace relativement à la même vitesse de déplacement puisque les deux masses de particules de la molécule d'eau (s) sont fondamentalement identiques dans la volume-taille et l'intensité électrique sur les deux champs stationnaires de tension (952/953) sont due semblable au fait que l'enroulement primaire (957) et l'enroulement secondaire (958) comportant et formant le circuit de renforteur de tension (990) de figure (10-3) sont ensemble bifilar enveloppés dans la longueur égale.

Simultanément la formation du champ positif de tension (952) et du champ négatif de tension (953) est simplement accomplie par le champ électromagnétique mutuel d'accouplement d'inductance qui est produit entre les deux enroulements enveloppés bifilar (957/56 - 958/62) quand l'enroulement primaire (957/56) active électriquement en le train entrant d'impulsion de tension (T4a xxx T4n), comme ainsi est illustré dedans (970) de figure (10-1).

Automatiquement, l'accouplement de self-inductance (619a xxx 619n) de figure (7-3) empêche l'ampère influxing [écoulement courant limiteur dans et loin de bain d'eau (68) pendant chaque cycle de palpitation T4AIT 4B]. Tandis que, la capacité distribuée (Cda xxx Cdn) de chaque enroulement éprouvant l'accouplement d'inductance (619) élève le niveau de tension appliqué (navigation verticale) à une amplitude plus élevée de tension (intensité croissante de tension) exigée pour braquer la molécule d'eau bipolaire à une distance donnée ou pré-sélectionnée. L'intensité de tension (952/953), donc, est directement déterminée par le nombre de tours de chaque enroulement (957/958) quant à l'amplitude appliquée de tension d'entrant impulsion-ondulent (... navigation verticale xxx) (1060) de la figure (11-2c). L'intensité de tension comme en termes de « différent du potentiel » établit la quantité de travail exécutée par « l'effort électrique » appliqué pour provoquer à molécule le déplacement de masse de la molécule d'eau dans un milieu liquide.

Le circuit électriquement de activation de renforteur de tension (VIC) (1002), maintenant, cause les molécules d'eau bipolaires (1004/1006) pour être braqué et déplacé dans un mouvement à gauche, comme ainsi pour être illustré dedans (1030) de figure (11-3). À la direction d'inversion de la ligne de cheminement de la molécule d'eau de déflexion du mouvement à gauche au mouvement droit, des autres et le renforteur complètement séparé de tension VIC-Lovent l'Assemblée (1003) de figure (11-3) sont périodiquement d'allumage électriquement par forme d'onde alternative d'impulsion de tension de la forme d'onde d'impulsion de tension la première (T4B) une fois (T4A) sont terminés pour la période de dossier d'a (T3 A)... reproduisant la force électrique d'attraction (solides solubles !le R-R') comme avant excepté la molécule d'eau bipolaire (s) (1004/1006) sont maintenant réorientés et guidés dans la direction opposée vers les champs de tension (956/954), avec respect, comme ainsi illustrés dans (1030) diagrammes (b) de figure (11-3).

L'oscillation continue et répétée de ceci de la molécule d'eau bipolaire (1004/1006) dans la direction opposée du voyage linéaire (mouvement de va-et-vient) produit l'énergie cinétique (165) quand la molécule d'eau bipolaire mobile et braquée (1004/1006) ou n'importe quelle autre molécule bipolaire de l'eau enclenchant avec changer jamais les forces électriques d'attraction (solides solubles/R-R') se heurte les molécules d'eau voisines actuelles sur le même bain d'eau (68).

La forme d'onde alternative électriquement de interface d'impulsion de tension de « changement » (T4A/T4B) à chacun des deux VIC Lover-Rangent (s) (1002/1003) de figure (11-3) comme schématiquement représenté, maintenant, le circuit de changement des formes VIC (1010) de figure (11-1).

L'appareillement ensemble de la zone positive de tension (EI3/952) avec la zone négative de tension (EI6/956) et faire la même chose avec les tension-surfaces (EI4/953) à (EI5/954) comme tellement graphiquement montré dedans (1010) de figure (11-1) et de chacune qui a un axe longitudinal de la longueur identique, maintenant, forme individuellement ce qui s'appelle ci-après « un guide d'ondes différentiel de tension » (1040)... étant défini comme eau de chauffage par la pulsation alternative des champs opposés de tension à l'impulsion différente temps-sur des périodes, collectivement appelé « la logique de mise à feu de changement de tension (B+/O de b/o- o-/B - O/B+).

De manière semblable quant à la cavité résonnante cylindrique linéaire (730) de figure (7-12), le guide d'ondes différentiel de tension (1040) de (1010) de figure (11-1) quant à figure (11-6) est construit de façon à permettre à un plus petit tube d'être placé à l'intérieur d'un tube beaucoup plus grand ayant le rapport de l'espace pour permettre à l'eau de passer là entre, comme tellement pictorialement montré dedans (170) de figure (3-25). Construits tubulaire-Rangent se composent de matériel T304 en acier inoxydable, ou d'équivalent en, qui est chimiquement inerte à la tension braquant le processus (1050) de la figure (11-5).

La conductivité électrique du matériel en acier inoxydable T304 et des propriétés diélectriques de l'eau (l'eau étant un isolateur à l'écoulement des ampères) établit ensemble la zone de conduction électrique (587) qui facilitent la capacité de la forme d'onde d'impulsion de tension (T4a xxx T4n) et/ou (T4ba xxx T4bn), si que ce soit positif ou le négatif dans la polarité électrique, être électriquement transmis et linéairement déplacé le long de l'axe longitudinal des murs latéraux intérieurs à côté du bain d'eau (68), comme ainsi illustré dedans (1040) de figure (11-4). Ce phénomène des formes d'onde de transfert de tension le long d'une surface conductrice électrique est connu dans le domaine de la physique comme effet de peau. La valeur diélectrique de l'eau (78.54) empêche la fuite d'ampère dans le bain d'eau... empêchant la déformation des formes d'onde se reproduisantes et de déplacements de tension (T4Aa xxx T4AnI T4Ba xxx T4Bn). L'effort électrique de palpitation de résultante (solides solubles/rr) pénètre le bain liquide de l'eau puisque le bain d'eau prend une charge électrique quand la rotation de rotation (1019) de la molécule d'eau (s) se produit pour provoquer l'alignement bipolaire de la molécule d'eau comportant le bain d'eau (68)

RE : Note WFC 430 de résonateur de vapeur

pendant chaque cycle de palpitation de tension inverse (B+/OIB+ de b/o- o- - OIB-), comme ainsi illustré dedans (650) de figure (7-4).

Non seulement la première impulsion de tension à déchenchements périodiques alternative (B+/b o-/O) et alors la deuxième impulsion de tension à déchenchements périodiques (OIB+ - OIB-) oscille la molécule d'eau bipolaire (s) dans les deux sens dans la succession rapide à l'eau de chauffage par produit à un niveau de température prédéterminé sur demande ; mais, également, braque la molécule d'eau bipolaire de oscillation dans une direction ascendante depuis les vagues de reformation d'impulsion de tension sont toujours dans un état de mouvement progressif du déplacement linéaire... exécutant la même fonction comme pompe d'eau... une pompe d'eau, cependant, n'ayant aucune pièce mobile mécanique pour porter dehors.

Changeant le pulse-width à déchenchements périodiques (T4AfT4B), l'amplitude atténuante de tension (xxx navigation verticale), et le taux de fréquence d'impulsion de changement (Sopr), collectivité détermine le taux par quant au lequel la température de l'eau s'élève pendant que le milieu de l'eau (68) voyage par l'Onduler-Guilde différentielle de tension (1040), comme ainsi illustré dedans (1060) de figure (11-2) (1040) de figure (11-6).

Circuit électrique de commutation de croisement

Pour ramener le nombre de VIC-Circuit de renforçateur de tension à l'utilisation de seulement un jeu de bobine VIC (1002) tout en encourageant l'utilisation d'employer une tension repoussant la force (W - W') et/ou (le TT'), le circuit électrique de croisement (1060) de figure (11-7) est maintenant électriquement placé entre VIC-Lovez l'Assemblée (1003) et les deux Onduler-Guildes différentielles de tension (1030N1030B), comme ainsi illustré dedans (1050) de figure (11-7). Le circuit électrique de commutation de croisement (1060) place singulièrement un potentiel positif de tension (1014) à travers les zones de tension (E 181^E 14) et/ou un potentiel négatif de tension à travers les zones de tension (EI71E16) ou le versa d'état. De cette manière, forces répulsives électriques (T-T') et (le W-W'), maintenant, exerce une « poussée de l'effet » sur les molécules d'eau déjà de déflexion (1017/1018) puisque comme les forces électriques repoussez ou enfoncez loin les uns des autres une façon strictement physique.

En termes de paramètres opérationnels, force électrique d'attraction (le R') des solides solubles et les forces IR de repousser (le T-T' IW-W') peut être appliqué simultanément ou appliqué dans une séquence de temps d'opérations en tant que circuit électrique de commutateur de croisement (1060) renverse la polarité de tension d'une Onduler-Guilde différentielle de tension (1040B) à l'autre et la tension différentielle complètement séparée WaveGuild (1040A) de semblable ou comme la configuration... exécutant les fonctions de logique de changement de tension (B+/B+/1030B - le BAVOIR de changement le BAVOIR/1030A/1030B - B+IB+/1 030A) de figure (11-7) pendant chaque cycle de palpitation de tension séquentielle (T4A - T4B - T4A - T4B et ainsi de suite). Quand (B+IB+ - BAVOIR/1030B) la fonction de commutateur est activée, les bornes de commutateur (T1/T2 - T3/T4) sont fermées. Tension inverse de la position de commutateur (T1/T4 - T3/T2)

RE : Note WFC 430 de résonateur de vapeur

polarité une fois que la fonction de commutateur (T1/T2 - T3/T4) va clôturer la position après que la fonction de logique de commutateur (1013) devienne un circuit ouvert... et puis vice versa et ainsi de suite dans un format réitéré... causant la « oscillation de particules » comme « générateur d'énergie » par « l'effort physique » subissant « l'effort électrique » de palpitation toutes les fois que les cycles de commutation d'impulsion (1060) est électriquement activés par la fréquence entrante d'impulsion de déclenchement (1019/T4a xxx 1019/T4n), comme ainsi illustré dedans (1050) de figure (11-7).

Oscillant la molécule d'eau bipolaire par les champs opposés de tension sans ampère influxing à l'eau de la chaleur sur demande, par ceci, défmes le « mode de l'Operability » du résonateur de vapeur de WFC.

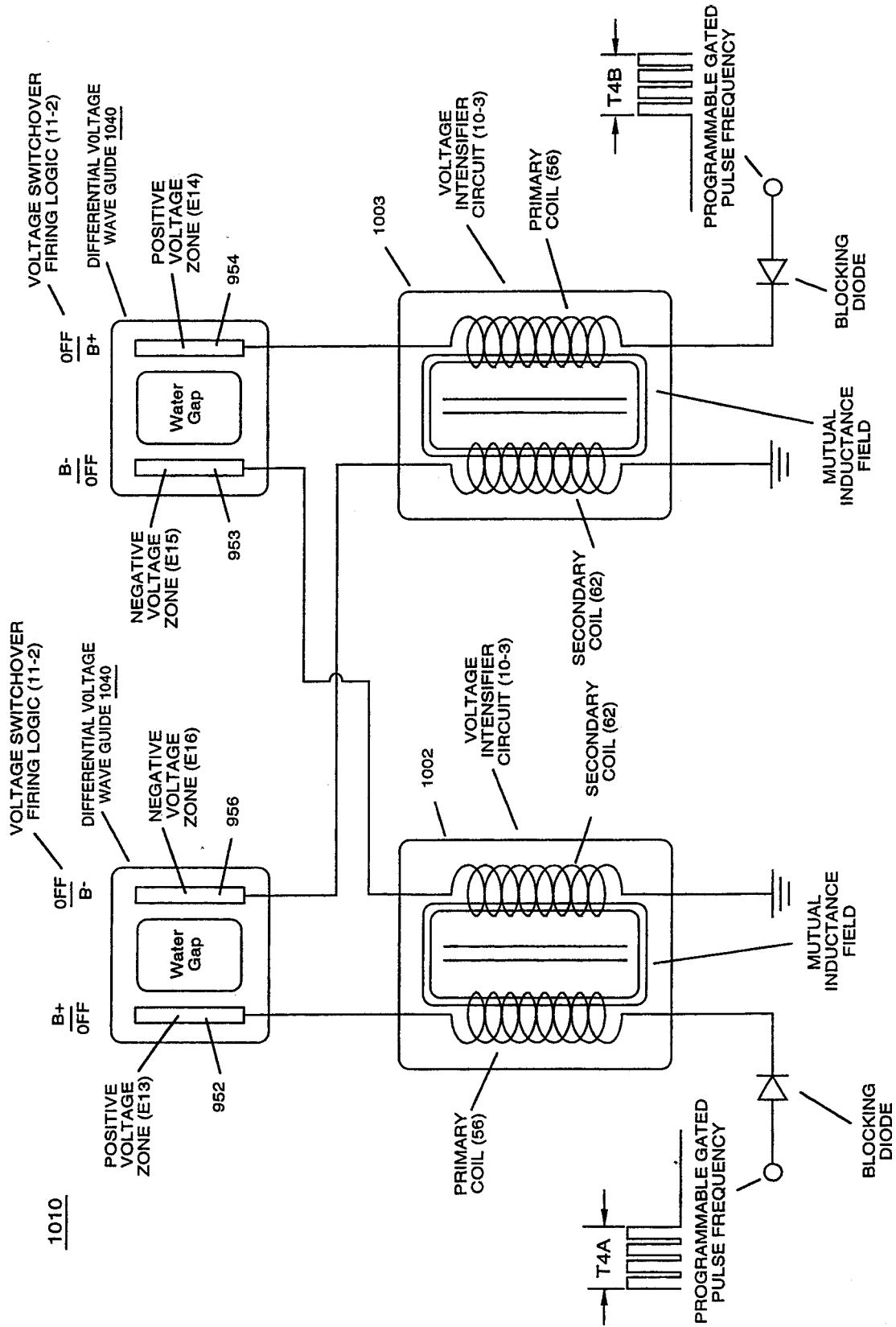


FIGURE 11-1: VIC Switchover Circuit

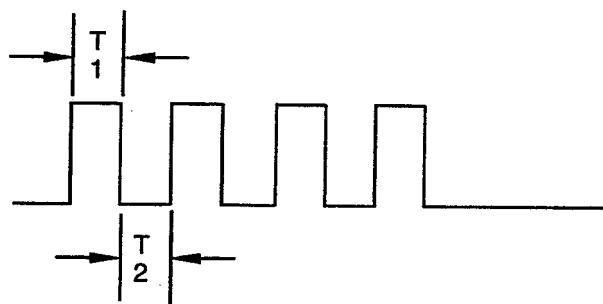
1060

TO VIC COIL
(1002)

— (A)

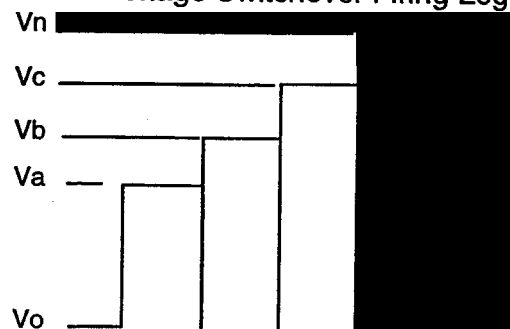
TO VIC COIL
(1003)

(A) ALTERNATE-FIRING PROGRAMMABLE
GATED PULSE FREQUENCY



(B) PROGRAMMABLE PULSE FREQUENCY

FIGURE 11-2: Voltage Switchover Firing Logic



(C) DIGITAL VOLTAGE AMPLITUDE CONTROL

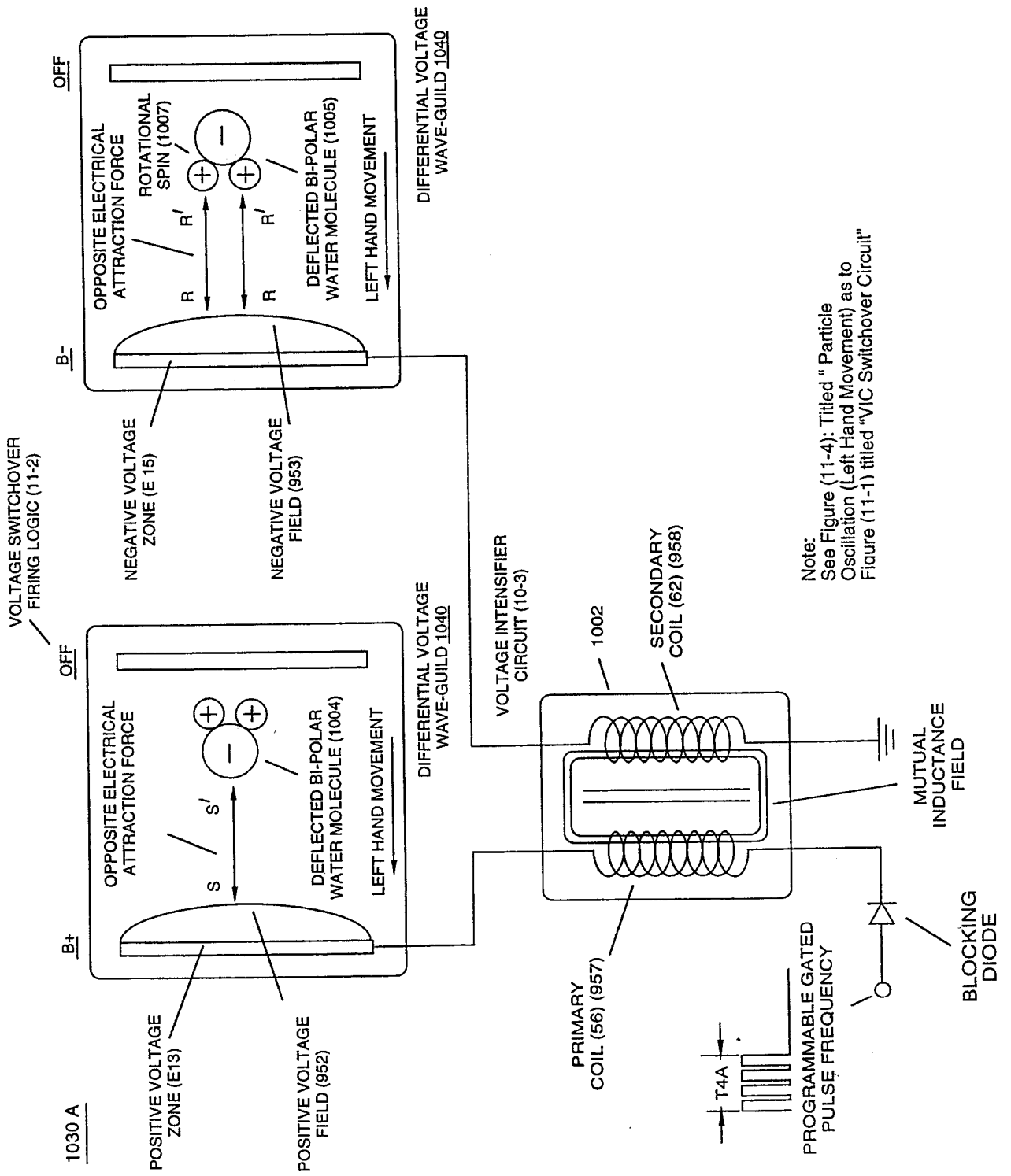
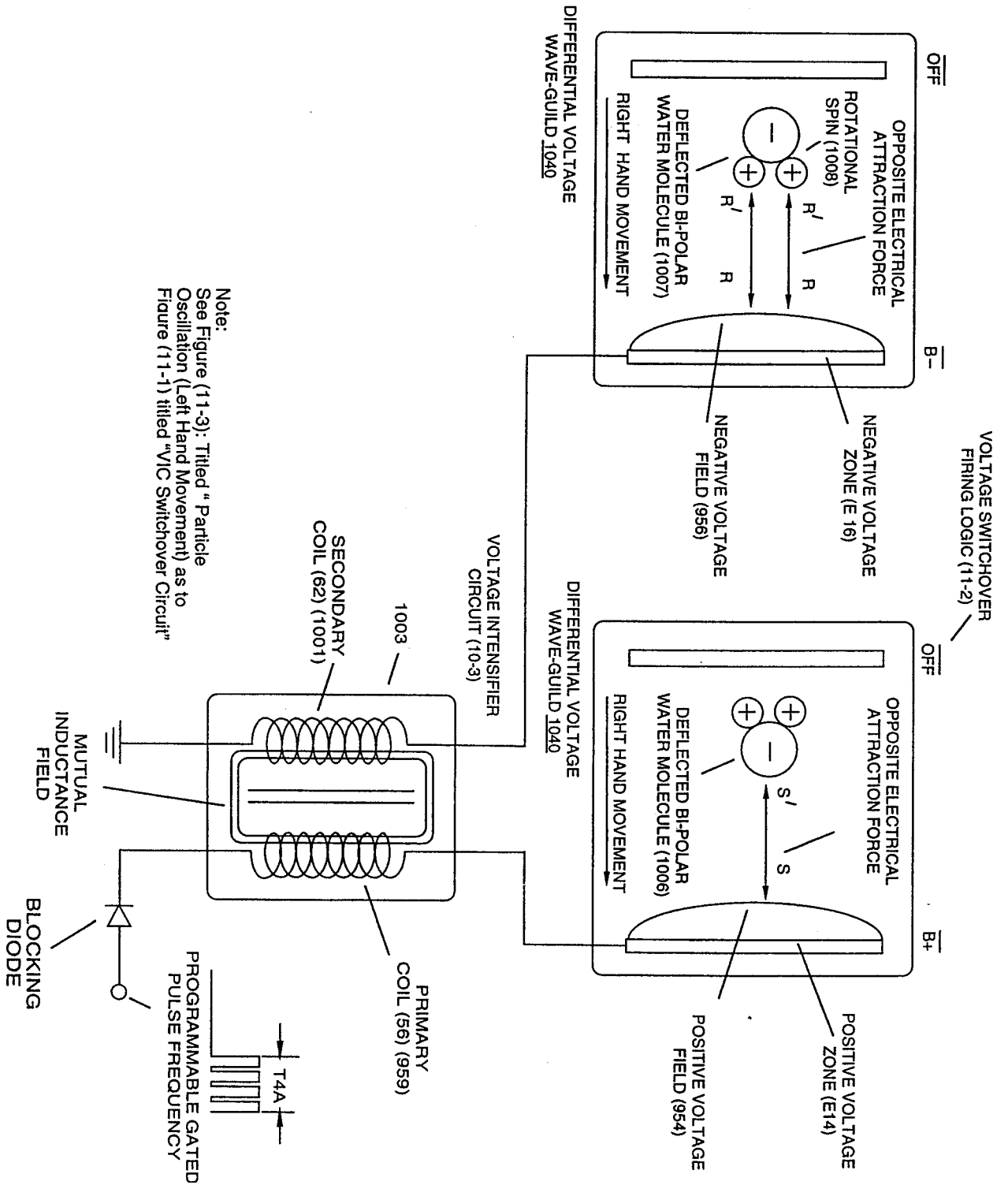


FIGURE 11-3: PARTICLE OSCILLATION (LEFT HAND MOVEMENT)

030 B



Note:
See Figure (11-3): Titled "Particle Oscillation (Left Hand Movement) as to Figure (11-1) titled "VIC Swichover Circuit"

FIGURE 11-4: PARTICLE OSCILLATION (RIGHT HAND MOVEMENT)

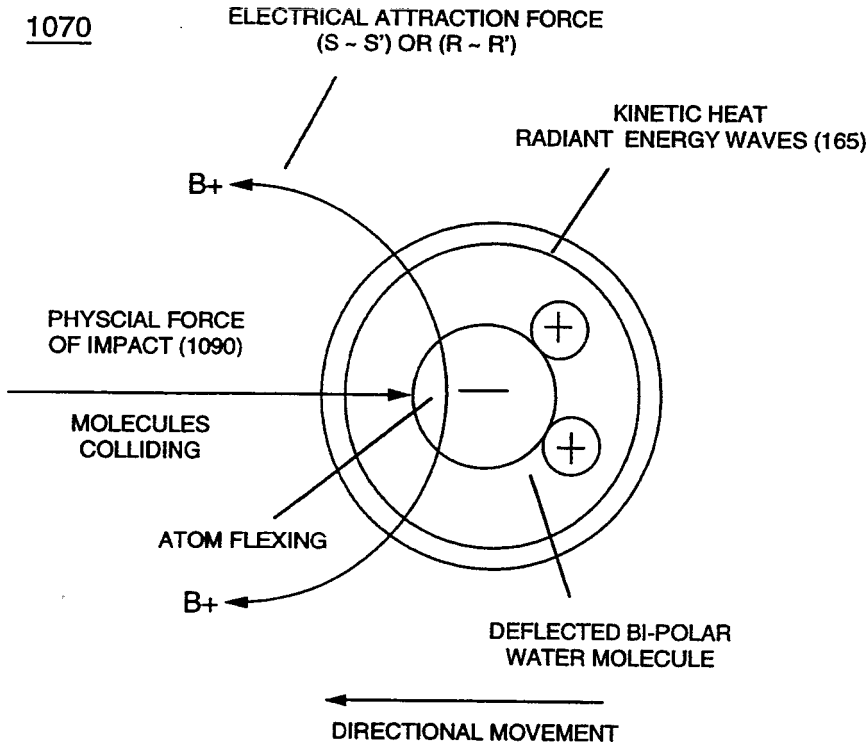


FIGURE 11-5: Particle Oscillation As An Energy Generator

1040

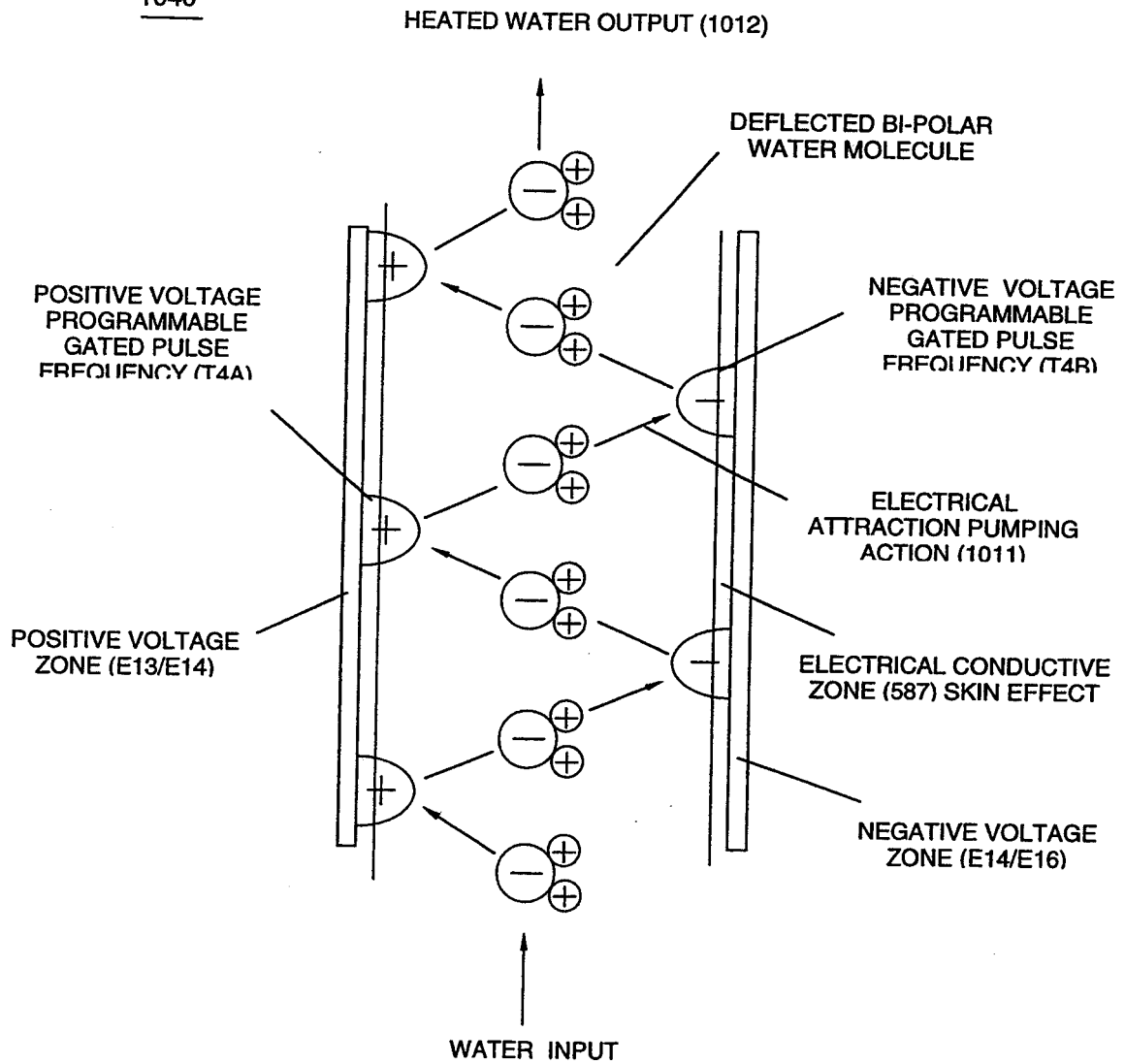


FIGURE 11-6: DIFFERENTIAL VOLTAGE WAVE-GUILD

1050

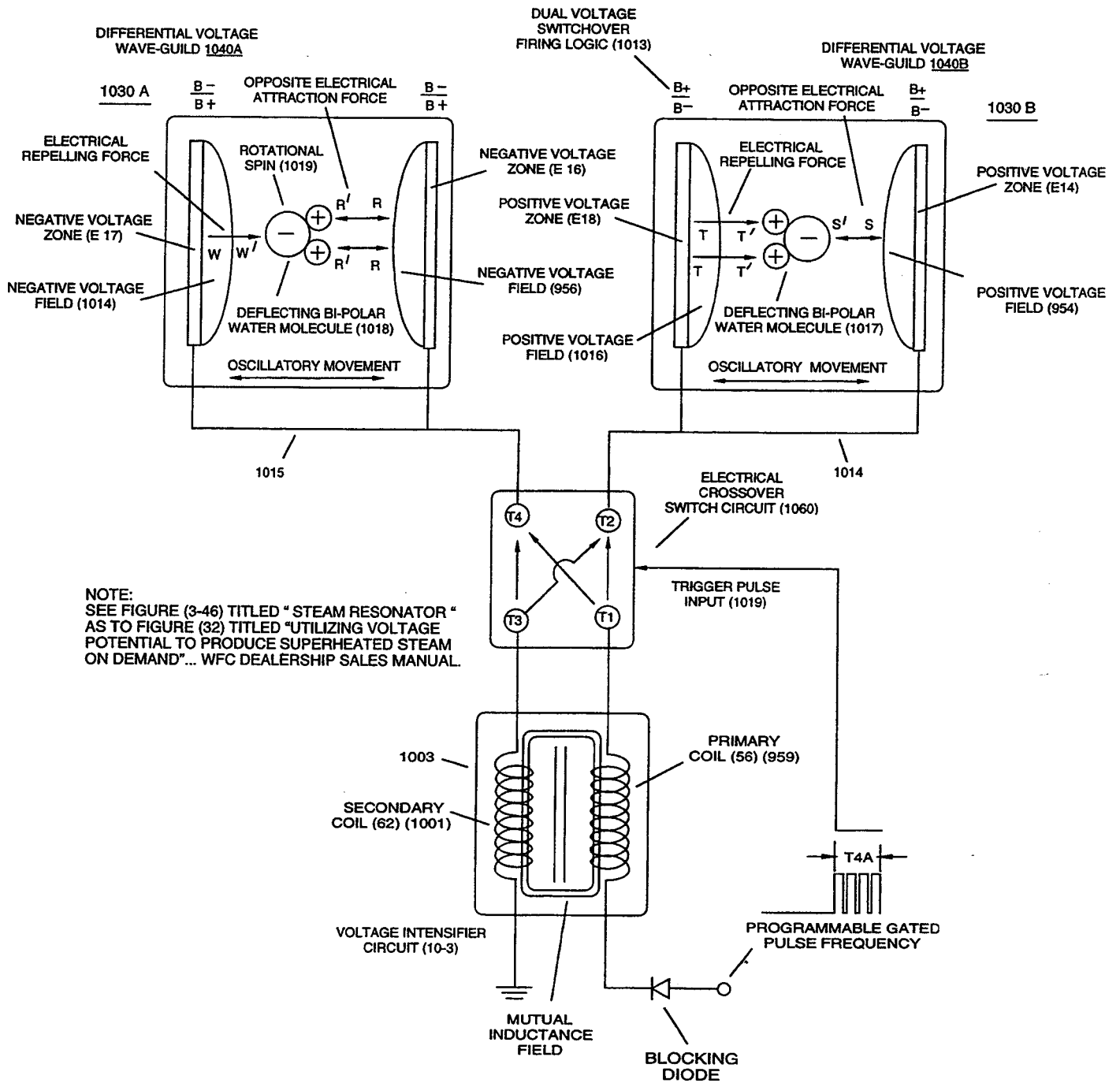


FIGURE 11-7: ELECTRICAL CROSSOVER SWITCHING CIRCUIT

